

539.1
4-59

Ա. Ա. ԿԻՐԱԿՈՍՅԱՆ

ՊԻՆԴ ՍԱՐՍՆԻ ՖԻԶԻԿԱՅԻ
ՆԵՐԱԾՈՒԹՅՈՒՆ
ՄԱՍ I

ՀԱՅԱՍՏԱՆ ՀՐԱՏԱՐԱԿՉՈՒԹՅՈՒՆ
ՀԱՅԻՆՖՈ ԳՈՐԾԱԿԱԼՈՒԹՅՈՒՆ

ԵՐԵՎԱՆ 1998

ԴՏՀ 53
ԳՄԴ 22.3
Կ-530

Ա. Ա. Կիրակոսյան

Կ-530 Պինդ մարմնի ֆիզիկայի ներածություն, Սաս I
«ՀԱՅԻՆՖՈ» գործակալություն, 1998 թ.

Գրքում տրված են նախնական տեղեկություններ բյուրեղական ցանցի կառուցվածքի և դիմամիկայի, բյուրեղներում համշխառող կապերի տեսակների, ինչպես նաև բյուրեղական ցանցի ջերմային և դիէլեկտրական հատկությունների մասին:

Նախատեսված է ԵՊՀ-ի ֆիզիկայի և ուսումնական ֆակուլտետների, Արցախի պետական համալսարանի բնագիտական ֆակուլտետի, ՀՊՃՀ-ի Կիրեռնետախիկայի, Կիսահաղործային սարքերի ֆիզիկայի, ճյութաբանության և հարակից բնագավառներում մասնագիտացող ուսանողների, ինչպես նաև մագիստրոսների և ասպիրանտների համար:

Գիրքը կարող է օգտակար լինել նաև պինդ մարմնի ֆիզիկան ինքնուրույն ուսումնասիրել ցանկացող գիտաշխատողների և ճարտարագետների համար:

186492

2000866218

1604010000
Կ-----1998 թ.
701 (01) 98

ԳՄԴ 22.3

©«ՀԱՅԻՆՖՈ» գործակալություն
©«ՀԱՅԱՍՏԱՆ» իրատարակչություն

**Նախաձեռնությամբ Ամերիկահայ ճարտարագետների
և զիտնականների ընկերակցության**

**ԾԱՀԵՆ և ԱՇԻԿ ՊՈՂՈՍՅԱՆՆԵՐԸ
և իրենց զավակներ ՆԱԺԱԼԻՆ և ԱՐՄԵՆԸ,
ի նշան
ՎՈԱՄ և ՓԱՌԱՆՉԵՄ ՊՈՂՈՍՅԱՆՆԵՐԻ և
ՍԱՐԳԻՍ ու ՀԱՍՍԻԿ ԴԱՀՐԱՍՍՆՅԱՆՆԵՐԻ
երախտիքի,
Խովանավորել են սույն գործի երաժարակությունը**

ԲՈՎԱՆԴԱԿՈՒԹՅՈՒՆ

Նախաբան.....	6
Գլուխ I. Բյուրեղական կառուցվածքներ	
§1. Տեղափոխական համաշափություն.....	9
§2. Վիզներ-Զեյտցի բջիջ.....	18
§3. Բրավեի ցանց: Բյուրեղական համակարգեր.....	21
§4. Կարևոր բյուրեղական կառուցվածքներ.....	26
§5. Հակադարձ ցանց.....	36
§6. Հակադարձ ցանցի հատկությունները: Միերյան ցուցիչներ:	
Հակադարձ ցանցի կառուցումը.....	41
§7. Դիմումական բյուրեղական կառուցվածքներում.....	50
Գլուխ II. Կապերի տեսակները բյուրեղներում	
§1. Բյուրեղական մարմինների դասակարգում.....	58
§2. Վանդերվաալյան կապի տեսությունը.....	67
§3. Մոլեկուլային բյուրեղի կապի էներգիայի հաշվարկը.....	73
§4. Իօնական կապի տեսությունը.....	78
§5. Մադելունգի հաստատունի հաշվարկման մեթոդները.....	83
§6. Կովալենտ կապի տեսությունը.....	96
§7. Սետարական կապի տեսությունը.....	106
Գլուխ III. Բյուրեղական ցանցի դիմամիկան	
§1. Ներդաշնակ մոտավորություն.....	111
§2. Տատանումները և ալիքները պարզ միաչափ ցանցում.....	113
§3. Ամենամոտ հարկանների մոտավորությունը.....	120
§4. Տատանումները և ալիքները բարդ (բազիսով)	
միաչափ ցանցում.....	123
§5. Եռաչափ բարդ ցանցի տատանումները.....	134
§6. Սահմանային պայմանների ուսումնասիրությունը.....	146
§7. Տատանումների բաշխումը սպեկարտում: Վիճակների խոռոքյան ֆունկցիա.....	151

Գլուխ IV. Բյուրեղական ցանցի ջերմային հատկությունները

§1. Պինդ մարմնի ջերմունակության դասական տեսությունը.....	164
§2. Պինդ մարմնի ջերմունակության քվանտային տեսությունը.....	170
§3. Պինդ մարմնի ջերմունակության Էյնշտեյնի տեսությունը.....	177
§4. Պինդ մարմնի ջերմունակության Դեբայի տեսությունը.....	181
§5. Դեբայի տեսության բննարկումը.....	192
§6. Բյուրեղական ցանցի ջերմային տատանումները: Հալման շափանիշը.....	202
§7. Դեբայ-Ռուբերի գործոնը.....	209
§8. Տատանումների աններդաշնակությամբ պայմանավորված երևոյթներ բյուրեղներում.....	214

Գլուխ V. Մեկուսիչների էլեկտրական հատկությունները

§1. Էլեկտրական դաշտը մեկուսիչներում: Դիէլեկտրական բափանցելիություն.....	227
§2. Ապարենուացնող դաշտ: Ապարենուացման գործակից.....	230
§3. Տեղային դաշտ: Լորենցի դաշտ.....	234
§4. Բևեռացվելիության տեսությունը.....	237
§5. Օպտիկական տատանումները խոնային բյուրեղներում.....	245
§6. Էլեկտրամագնիսական ալիքի փոխազդեցությունը ցանցային տատանումների հետ.....	253
§7. Դիէլեկտրական ռելաքսացիա.....	258
§8. Պիրոէլեկտրականություն.....	263
§9. Պիեզոէլեկտրականություն.....	265
§10. Մեզոնտակալեկտրականություն.....	270
Հավելված 1. Ֆիզիկական հաստատունների աղյուսակ.....	281
Հավելված 2. Մաթեմատիկական լրացումներ.....	282
Գրականություն.....	288

ՆԱԽԱԲԱՆ

Ընթերցողների ուշադրությանը ներկայացվող սույն գիրքը հեղինակի կողմից Երևանի պետհամալսարանի ֆիզիկայի ֆակուլտետի ուսանողներին կարդացվող «Թինգ մարմնի ֆիզիկայի ներածություն» ընդհանուր դասընթացի դասախոսությունների վերամշակված և ընդլայնված շարադրանքն է:

Պինդ մարմնի ֆիզիկան ֆիզիկայի կարևորագույն և ընդարձակ բաժիններից մեկն է: Այն գիտության և տեխնիկայի ամենատարրեր բնագավառների՝ նյութաբանության, կիսահաղորդիչների և կիսահաղորդչային սարքերի ֆիզիկայի, էլեկտրոնիկայի և պինդմարմնային միկրոէլեկտրոնիկայի, ցածր ջերմաստիճանների ֆիզիկայի գիտական հիմքն է:

Վերջին տասնամյակների ընթացքում էապես ընդլայնվել են պինդ մարմնի տեսառյան գործնական կիրառման ախրույթները: Ստեղծվել են պինդմարմնային լազերների նոր տեսակներ, էապես կիրապարանափոխակերպության միկրոէլեկտրոնիկան, որտեղ լայնորեն կիրառվում են ցածր շափականությամբ էլեկտրոնային համակարգեր պարունակող տարրեր կառուցվածքներ: Ներկայումս հաջողությամբ կիրառվում են հազվագյուտ հողային մետաղների հիման վրա սինթեզված բյուրեղները, մագնիսական կիսահաղորդիչները, ամորֆ մետաղները և կիսահաղորդիչները, բարձրջերմաստիճանային գերհաղորդիչները և այլ նյութեր:

Պինդ մարմնի ֆիզիկայի տեսական և կիրառական նվաճումների հետ մեկտես մեծ զարգացում են ապրել պինդ մարմինների հետազոտման փորձարարական մեթոդները՝ մագնիսական, մագնիսական ռեզոնանսային, մյուսքառության սպեկտրոսկոպիան, Շեյտրմագրությունը, մոռավացիոն սպեկտրոսկոպիան և այլն:

Դասագրքում շարադրված են պինդ մարմնի ֆիզիկայի հիմնական բաժինները: Գրքի առաջին մասը նվիրված է բյուրեղական կառուցվածքների, պինդ մարմիններում կապերի տեսակների և բյուրեղական ցանցի ֆիզիկական հատկությունների ուսումնասիրությանը: Մանրամասն դիտարկված են ցանցի դիմամիկան և ցանցի ջերմային հատկությունները, ինչպես նաև պինդ մարմինների դիէլեկտրական հատկությունները:

Գրքի երկրորդ մասը նվիրված է պինդ մարմնի էլեկտրամագին ենթահմակարգի հատկությունների ուսումնասիրությանը: Հանգամանորեն շա-

րադրված է դասական էլեկտրոնային տեսությունը (Պ.Դրույե, Հ.Լորենց) և ազատ էլեկտրոնային զազի քվանտային տեսությունը (Ա.Զոմերֆելդ): Տրված են նախնական տեղեկություններ պինդ բյուրնդական մարմնում էլեկտրոնի էներգիական սպեկտրի գոտիական կառուցվածքի մասին: Առանձին գլուխներ են նվիրված գերհաղորդականության երևոյթի, պինդ մարմնի մագնիսական հատկությունների և արատների ուսումնասիրությանը: Տրված են նաև նախնական, ընդհանուր բնույթի տեղեկություններ ամորֆ պինդ մարմնների և հեղուկ բյուրեղների մասին:

Գրքում գործնականորեն չեն քննարկված պինդ մարմնի ֆիզիկայի գարզացման գործում նշանակալի դեր խաղացած տարբեր փորձեր: Այս հանգամանքն ամենակին չի նշանակում պինդ մարմնի ֆիզիկայում վարձի և փորձարարական հետազոտությունների դերի բերազնահատում կամ անտեսում: Հեղինակի հիմնական նպատակն է եղել մասամբ լրացնել պինդ մարմնի ֆիզիկային վերաբերվող, մայրենի լեզվով ուսումնական գրականության պակասը, տարլով պինդ մարմնի ֆիզիկայի տեսական գիտելիքների այն նվազագույնը, որն անհրաժեշտ է ֆիզիկայի և տեխնիկայի տարբեր բնագավառներում մասնագիտացող գիտաշխատողներին և ճարտարագետներին ինքնուրույն աշխատանքային գործունեության մեջ:

Ծանոթությունը սույն դասագրքին կնախապատրաստի ընթերցողին ավելի մանրամասնորեն ուսումնասիրելու պինդ մարմնի ֆիզիկայի առանձին բաժինները ժամանակակից և ավելի խոր մակարդակով:

Ենթադրվում է, որ ընթերցողը ծանոթ է համալսարանների բնագիտական ֆակուլտետների ուսումնական ծրագրերով նախատեսված նարեմատիկայի և ընդհանուր տեսական դասընթացի (հիմնականում՝ քվանտային մեխանիկայի և վիճակագրական ֆիզիկայի) գիտելիքների նվազագույնին:

Գրքի օգտակարությունը մեծացնելու նպատակով բանաձևերի արտածումները, որպես կանոն, կատարված են համեմատաբար մանրամասն ձևով: Աստղանիշով (*) պարագրաֆներն առաջին ընթերցման ժամանակ կարելի է բաց բռնել:

Գրքում օգտագործված գրականության ցանկը բաժանված է երկու մասի: Ընդհանուր գրականության ցանկում տրված են շարադրված բաժինների վերաբերյալ տեղեկություններ պարունակող, ինչպես նաև հիմնարար բնույթի հանրահայտ դասագրքերի եղումներ: Երկրորդ մասում տրված է

յորաքանչյուր գլխում շարադրված նյութին առավել մոտ և մասնագիտական բնույթի դասազրերի և մենագրությունների ցանկն ըստ գլուխների:

Սույն դասագիրքը նախև առաջ ուսումնական ձեռնարկ է, ուստի նրանում, որպես կանոն, տրված չեն հղումներ առանձին բնագրերի և սկզբնադրյալների վրա:

Գրքում, եզակի բացառություններով, օգտագործված է ֆիզիկական միավորների գառաքայան (CGSE) համակարգը: Նկարները և աղյուսակները եամբարակաված են տվյալ գլխի, իսկ բանաձևները՝ պարագրաֆի շրջանակներում: Պարագրաֆների և բանաձևների վրա հղումներում նշվում է զլուխը (օրինակ՝ Ա.7, III.5.14):

Սույն դասագիրքը նախատեսված է որպես ուսումնական ձեռնարկ պետական համալսարանի ֆիզիկայի և ռադիոֆիզիկայի ֆակուլտետների, Արցախի պետական համալսարանի բնագիտական ֆակուլտետի, ինչպես նաև ճարտարագիտական համալսարանի համապատասխան մասնագիտացումների ուսանողների համար: Այն կարող է օգտակար լինել նաև պիտույքի մարմնի ֆիզիկայի, կիսահաղորդիչների և կիսահաղորդչային սարքերի ֆիզիկայի, մագնիսականության, գերհաղորդականության, նյութաբանության, տեսական քիմիայի, քիմիական ֆիզիկայի և հարակից այլ բնագավառներում մասնագիտացող մագիստրոսների և ասպիրանտների համար, ինչպես նաև որպես տեղեկատու ձեռնարկ՝ դասախոսների և գիտաշխատառների համար:

Ես անկեղծ շնորհակալություն եմ հայտնում գրքի խմբագիր, ակադեմիկոս Է.Ղազարյանին՝ մշտական աջակցության, օգտակար խորհուրդների և դիտողությունների համար: Երախտապարտ եմ իմ գործընկերներին՝ Ա.Վարդանյանին, Է.Արովյանին, Կ.Ջեշտյանին և Հ.Հակոբյանին՝ բազմաբնույթ օգնության և քննարկումների համար:

Իմ երախտագիտությունն եմ հայտնում նաև Ա.Ասատրյանին, առանց որի անմիջական և արենտապարժ օգնության սույն դասագրքի երատարակումը կարող էր հետաձգվել անորոշ ժամանակով:

Գիտակցելով, որ զրոյն անխուսափելի են բացքությունները և անճշտությունները, երախտագիտությամբ կընդունեմ բոլոր դներցողների, հատկապես՝ ուսանողների, դիտողությունները և խորհուրդները:

Հեղինակ

ԲՅՈՒՐԵԴԱԿԱՆ ԿԱՌՈՒՑՎԱԾՔՆԵՐ

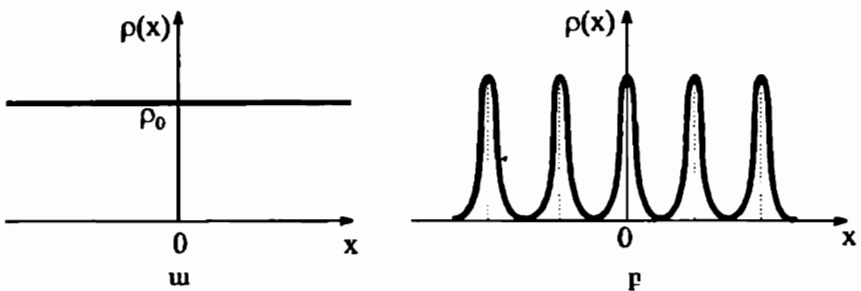
§1. Տեղափոխական համաչափություն

Մարմինների համաչափության հատկությունները պայմանավորված են նրանցում մասնիկների (ատոմների, իոնների, մոլեկուլների) տարածական դասավորությամբ: Հարժվող մասնիկները մարմնում չունեն որոշված տեղեր, ուստի նրանց դիրքերը որոշվում են $\rho(x, y, z)$ խտության ֆունկցիայի միջոցով, որը հավանականության խտության իմաստ ունի (հավանականությունն այն բանի, որ մասնիկը գտնվում է $r(x, y, z)$ կետի մոտ dV ծավալում, հավասար է $\rho(r) dV$): Մասնիկների տարածական բաշխման համաչափության հատկությունները որոշվում են կոօրդինատների այն ձևափոխություններով (տեղափոխություններով, պտույտներով, անդրադարձումներով), որոնք անվանվում են բողնում $\rho(x, y, z)$ ֆունկցիան: Մարմնի համաչափության ձևափոխությունների բազմությունը կազմում է մարմնի համաչափության խումբը:

Ամենաբարձր համաչափությամբ օժտված են իզոտրոպ մարմինները, որոնց հատկությունները բոլոր ուղղություններով նույնն են, օրինակ՝ զագերը, հեղուկները, ամորֆ պինդ մարմինները: Իզոտրոպ մարմնում յուրաքանչյուր մասնիկի բոլոր դիրքերը տարածության մեջ հավասարահնարավոր են, այսինքն՝ $\rho(x, y, z) = \rho_0 = \text{const}$ (նկ. I.1, ա): Ընդհակառակը, պինդ բյուրեղական մարմիններում, որոնց հատկությունները կախված են ուղղությունից (անիզոտրոպություն), խտության ֆունկցիան ունի խիստ արտահայտված մաքսիմումներ, որոնց տարածական դասավորվածությունն օժտված է հատակ արտահայտված համաչափությամբ (նկ. I.1, բ):

Այսպիսով, բյուրեղական վիճակին բնորոշ է մասնիկների բաշխումը տարածության մեջ կանոնավոր համաչափ կառուցվածքի ձևով, որը կռչվում է տարածական կամ բյուրեղական ցանց: Այն առաջին հերթին բնորագրվում է տարածական պարբերականությամբ կամ տեղափոխական համաչափությամբ: Վերջինս նշանակում է, որ ցանկացած բյուրեղի համար գոյտ-

բյուն ունեն միևնույն հարթության մեջ չգտնվող a_1, a_2, a_3 վեկտորներ, որոնցով բյուրեղը՝ որպես ամբողջություն տեղափոխվելիս, համընկնում է ինքն իր հետ: Տարածական ցանցի միևնույն ձևով դասավորված կետերը, որոնք այս տեղափոխության արդյունքում համընկնում են իրար հետ, կռվում են բյուրեղական ցանցի հանգույցներ: Քանի որ բյուրեղի տեղափոխությանը a_k -ին ($k = 1, 2, 3$) պատիկ վեկտորների շափով նորից հանգեցնում է բյուրեղի համընկնմանն ինքն իր հետ, ապա հարմար է որպես եիմնական վեկտորներ ընտրել տվյալ ուղղություններով տեղափոխությանների ամենափոքր երկարությամբ վեկտորները:



Նկ. I.1

Եթե կոորդինատների սկզբնակետը համընկնում է որևէ հանգույցի հետ, ապա ցանկացած հանգույցի դիրք կարելի է տալ a_1, a_2, a_3 հիմնական վեկտորների գծային համակցության (կոմբինացիայի) տեսքով՝

$$I = n_1 a_1 + n_2 a_2 + n_3 a_3 , \quad (1.1)$$

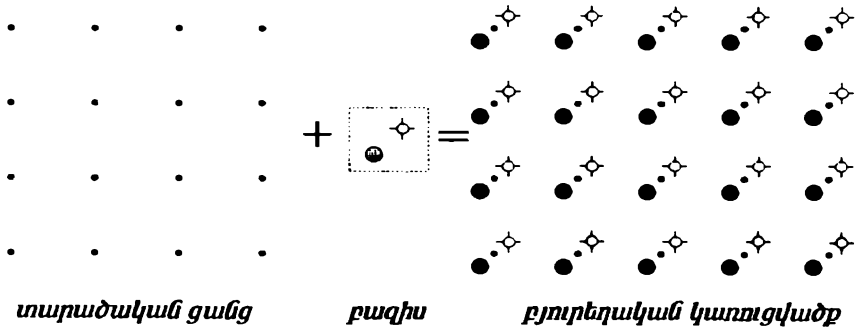
որտեղ $n_1, n_2, n_3 = 0, \pm 1, \pm 2, \dots : I$ վեկտորը կռչվում է բյուրեղական ցանցի տեղափոխության վեկտոր կամ տեղափոխական պարբերություն:

Տեղափոխական պարբերականությամբ օժտված է միայն իդեալական, պյունքը՝ տարածականորեն անսահմանավակ և արատներից գործ բյուրեղը: Սահմանափակ բյուրեղի համար տեղափոխման ձևափոխությանը համաչափության ձևափոխություն չէ, քանի որ «տեղափոխված» բյուրեղն այլև չի համընկնում նախնական բյուրեղի հետ: Եթե տեղափոխության չափը շատ փոքր է բյուրեղի չափերից, ապա տեղափոխության հետևանքով ծավալից հեռացած մասնիկների թիվը շատ փոքր է մարմնի ծավալում եղած

մասնիկների թվից, ուստի իրական բյուրեղների հատկությունները կարելի է ուսումնասիրել, օգտվելով անվերջ բյուրեղական տարածության հասկացությունից, որի համար տեղափշտթություններն իրոք համաշավության ձևափոխությաններ են:

Նման մռանցքումը կարելի է հիմնավորել նաև հետևյալ քանակական գնահատականում: Մակրոսկոպական չափեր ունեցող նմուշի սահմանային շերտում գտնվող մասնիկների ներդրումը նմուշի որևէ աղիտիվ մեծության (օրինակ՝ ներքին էներգիայի) մեջ համեմատական է $N_s/N \sim L^2/L^3 \sim \sim 1/L \sim N^{-1/3}$ -ին, որտեղ L -ը նմուշի գծային չափն է, $N \sim L^3$ -ը՝ նմուշում մասնիկների թիվը, իսկ N_s -ը նմուշի սահմանային շերտում գտնվող մասնիկների թիվն է: Քանի որ մակրոսկոպական նմուշում $N = \nu N_A$, որտեղ $N_A = 6,02 \cdot 10^{23} \text{մոլ}^{-1}$ Ավոգադրոյի հաստատունն է, ν -ն՝ մոլերի թիվը, ապա $\nu \sim 1$ դեպքում $N_s/N \sim 10^{-8}$, ուստի սահմանի գոյությամբ պայմանավորված ներդրումը կարելի է անտեսել:

Տարածական ցանցը մաքեմատիկական հասկացության է. բյուրեղական կառուցվածք առաջանում է միայն այն դեպքում, եթե տարածական ցանցի յուրաքանչյուր հանգույցի հետ կապվում է ասումների որոշակի խումբ՝ բազիս, ընդ որում բռնոր հանգույցների հետ կապված խմբերը նույնական են ինչպես կազմությամբ, այնպես էլ տեղադրությամբ և դիրքորոշմամբ (Ակ. I.2):



Ակ. I.2

Մետաղների, իներս գազերի բյուրեղներում բազիսը կազմված է ընդամենը մեկ ատոմից, սակայն հայսմի են բազմաթիվ բյուրեղներ, որոնց բազիսը պարունակում է հազարավոր ատոմներ: N ատոմներից (իոններից) կազմված բազիսը տրվում է

$$r_j = a_1 x_j + a_2 y_j + a_3 z_j, \quad j = 1, 2, \dots, N \quad (1.2)$$

Վեկտորների հավաքածուով, որով որոշվում է ցանցի հանգույցի նկատմամբ ատոմների դիրքը: Սովորաբար ատոմները ցանցի տվյալ կետի նկատմամբ տեղադրում են այնպես, որ $0 \leq x_j, y_j, z_j \leq 1$:

Տեղափոխության հիմնական վեկտորներով կառուցված գուգահեռանիստը կզգաւած է տարրական բջիջ: Պարզ է, որ տարրական բջիջի ընտրությունը միարժեք չէ, քանի որ միարժեք չէ տարածական ցանցի հիմնական վեկտորների ընտրությանը: Դեռ ավելին, վերջիններս կարելի է ընտրել բազմաթիվ ձևերով:

Դիցուք՝ a_1, a_2, a_3 -ը հիմնական վեկտորներ են: Դրանց փոխարեն ներմուծենք նոր վեկտորներ՝

$$a'_i = \sum_k \alpha_{ik} a_k, \quad (i = 1, 2, 3), \quad (1.3)$$

որտեղ α_{ik} -երը ամբողջ թվեր են: Մյուս կողմից, եթե a'_i վեկտորները հիմնական են, ապա a_i «նախկին» հիմնական վեկտորները պետք է արտահայտվեն a'_i «նոր» վեկտորների միջոցով (1.3) բանաձևով՝

$$a_i = \sum_k \beta_{ik} a'_k, \quad (1.4)$$

որտեղ β_{ik} գործակիցները նոյնպես ամբողջ թվեր են: (1.3) և (1.4) բանաձևերից հետևում է, որ

$$a_i = \sum_{kl} \beta_{ik} \alpha_{kl} a_k \quad \text{և} \quad \sum_k \beta_{ik} \alpha_{kl} = \delta_{il} = \begin{cases} 1, & i = l, \\ 0, & i \neq l, \end{cases} \quad (1.5)$$

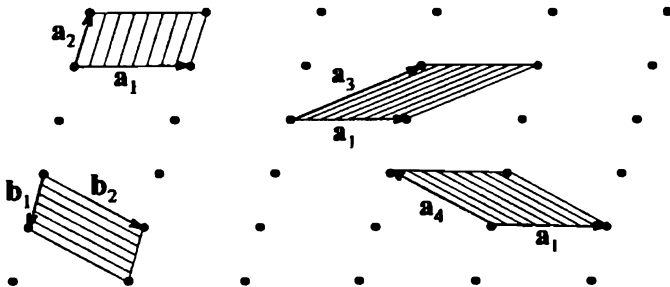
որտեղ δ_{il} -ը Կրոնեկերի խորերդանիշն է: Համաձայն (1.5) առնչության, $\| \alpha_{ik} \|$ և $\| \beta_{ik} \|$ մատրիցներն իրար հակադարձ են, հետևաբար $\| \beta_{ik} \|$ մատրիցի որոշիչը՝

$$\det \beta_{ik} = (\det \alpha_{ik})^{-1}: \quad (1.6)$$

Քանի որ և α_{ik} , և β_{ik} գործակիցներն ամբողջ թվեր են, ապա a_i վեկտորների հիմնական լինելու անհրաժեշտ և բավարար պայմանը, համաձայն (1.6) բանաձևի, հետևյալն է

$$\det \alpha_{ik} = \pm 1 : \quad (1.7)$$

Տարրական բջջի ընտրության տարրեր դեպքեր երկասի բյուրեղական ցանցում բերված են նկ. I.3-ում:



Նկ. I.3

Տարրական բջջին բաժին է ընկնում բյուրեղական ցանցի միայն մեկ հանգույց, իսկ բջջում առողմների թիվը հավասար է բազիսի առողմների թիվն: Տարրական բջջի ծավալը որոշվում է

$$v_0 = (a_1 \cdot [a_2, a_3]) = \begin{vmatrix} a_{1x} & a_{1y} & a_{1z} \\ a_{2x} & a_{2y} & a_{2z} \\ a_{3x} & a_{3y} & a_{3z} \end{vmatrix} \quad (1.8)$$

բանաձևով: (1.8) որոշիչի տարրերն են հիմնական վեկտորների բաղադրիչները, գրված որևէ դեկարտյան կոորդինատական համակարգում:

Հիմնական վեկտորների բազմության ցանկացած եռյակի վրա կառուցված տարրական բջիջների ծավալներն իրար հավասար են: Իրոք, համաձայն (1.3), (1.7) և (1.8) բանաձևերի՝

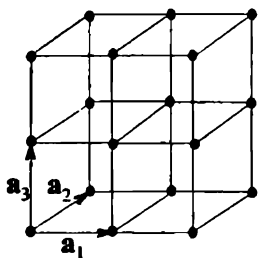
$$v'_0 = \det \alpha'_{im} = \det \alpha_{il} \cdot \det \alpha_{lm} = \det \alpha_{lm} = v_0 :$$

Եթե տարրական բջիջը պարունակում է միայն մեկ հանգույց, ապա ցանցը կօշվում է պարզ կամ բրավեի տիպի, իսկ եթե պարունակում է մեկից ավելի հանգույց, ապա կօշվում է բարդ կամ բազխով: Այսպիսով, տարրածական ցանցը կանվանենք պարզ, եթե հնարավոր է ընտրել տարրական բջիջն այնպես, որ այն պարունակի մեկ հանգույց:

Դիտարկենք մի քանի օրինակ:

1. Պարզ խորանարդային (Պի) ցանց

Այս ցանցի տարրական բջիջը խորանարդ է, որը կազմված է մեծարյամբ հավասար և իրար հետ ուղիղ անկյուն կազմող հիմնական վեկտորներից:

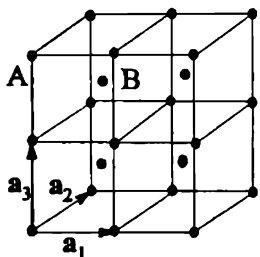


Նկ. I.4

Ինչ՝ $|a_1| = |a_2| = |a_3| \equiv a$ (նկ. I.4): Ցանցի ցանկացած հանգույց պատկանում է որպես խորանարդի, այսինքն՝ յուրաքանչյուր խորանարդի բաժին է ընկնում $1/8$ հանգույց: Բազմապատկելով այն խորանարդի զագաքների քվառ (8), կստանանք, որ տարրական բջիջն բաժին է ընկնում մեկ հանգույց, հետևաբար՝ խորանարդային ցանցը պարզ ցանց է: Տարրական բջիջի (տարրական խորանարդի) ծավալը՝ $v_0 = a^3$:

2. Ծավալակենտրոնացված խորանարդային (ԾԿի) ցանց

Այս ցանցը կարելի է ստանալ նկ. 1.4-ում պատկերված խորանարդային կառուցվածքից, եթե յուրաքանչյուր խորանարդի կենտրոնում ավելացվի մեկ հանգույց (նկ. I.5):



Նկ. I.5

Առաջին հայացքից այս ցանցը քվառ է բարդ, քանի որ յուրաքանչյուր խորանարդ պարունակում է երկու հանգույց: Ցանցի զագաքները (A) որոշվում են

$$l_A = l_1 a_1 + l_2 a_2 + l_3 a_3 , \quad (1.9)$$

իսկ կենտրոնները (B)՝

$$l_B = \left(l_1 + \frac{1}{2}\right) a_1 + \left(l_2 + \frac{1}{2}\right) a_2 + \left(l_3 + \frac{1}{2}\right) a_3 \quad (1.10)$$

տեղափոխարյան վեկտորներով, $\mathbf{l}_1, \mathbf{l}_2, \mathbf{l}_3$ -ը կամայական ամբողջ թվեր են: Ցույց տանք, որ կարելի է ընտրել նոր հիմնական վեկտորներ այնպես, որ և գագարները, և կենտրոնները տրվեն միևնույն տեղափոխարյան վեկտորով: Նոր հիմնական վեկտորներն ընտրենք հետևյալ կերպ:

$$\begin{aligned} \mathbf{c}_1 &= \frac{1}{2}(-\mathbf{a}_1 + \mathbf{a}_2 + \mathbf{a}_3), \\ \mathbf{c}_2 &= \frac{1}{2}(\mathbf{a}_1 - \mathbf{a}_2 + \mathbf{a}_3), \\ \mathbf{c}_3 &= \frac{1}{2}(\mathbf{a}_1 + \mathbf{a}_2 - \mathbf{a}_3). \end{aligned} \quad (1.11)$$

(1.11) բանաձևից \mathbf{a}_i -երն արտահայտելով \mathbf{c}_i -երի ($i = 1, 2, 3$) միջոցով՝

$$\mathbf{a}_1 = \mathbf{c}_2 + \mathbf{c}_3, \quad \mathbf{a}_2 = \mathbf{c}_1 + \mathbf{c}_3, \quad \mathbf{a}_3 = \mathbf{c}_1 + \mathbf{c}_2 \quad (1.12)$$

և աւելացրելով (1.9) և (1.10) բանաձևերում, կստանանք՝

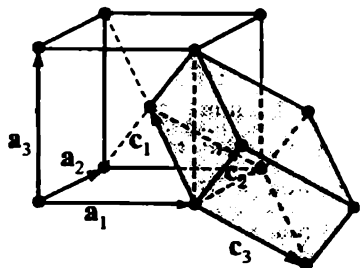
$$\mathbf{l}_A = (\mathbf{l}_2 + \mathbf{l}_3)\mathbf{c}_1 + (\mathbf{l}_3 + \mathbf{l}_1)\mathbf{c}_2 + (\mathbf{l}_1 + \mathbf{l}_2)\mathbf{c}_3, \quad (1.13)$$

$$\mathbf{l}_B = (\mathbf{l}_2 + \mathbf{l}_3 + 1)\mathbf{c}_1 + (\mathbf{l}_3 + \mathbf{l}_1 + 1)\mathbf{c}_2 + (\mathbf{l}_1 + \mathbf{l}_2 + 1)\mathbf{c}_3 : \quad (1.14)$$

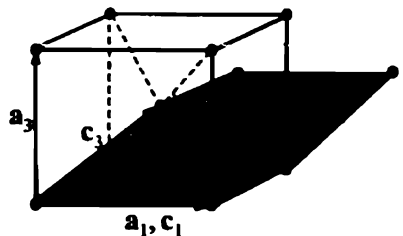
Քանի որ $\mathbf{l}_1, \mathbf{l}_2, \mathbf{l}_3$ -ը կամայական ամբողջ թվեր են, ապա (1.13) և (1.14) վեկտորները կարելի է ներկայացնել

$$\mathbf{l} = n_1 \mathbf{c}_1 + n_2 \mathbf{c}_2 + n_3 \mathbf{c}_3 \quad (1.15)$$

Վեկտորով, որտեղ n_1, n_2, n_3 -ը կամայական ամբողջ թվեր են:



ա



բ

Նկ. I.6

Նոր հիմնական վեկտորներ կարելի է ընտրել նաև հետևյալ կերպ

$$c'_1 = a_1, \quad c'_2 = a_2, \quad c'_3 = \frac{1}{2}(a_1 + a_2 + a_3) : \quad (1.16)$$

Նկ. I.6-ում պատկերված են տարրական խարանարդը և տարրական բջիջը հիմնական վեկտորների (1.11) և (1.16) բանաձևերով տրված ընտրության դեպքում:

Որոշենք (1.11) և (1.16) բանաձևերով տրվող հիմնական վեկտորների վրա կառուցված տարրական բջիջների ծավալները: Համաձայն (1.8) արտահայտության

$$v_0 = (c_1 \cdot [c_2, c_3]) = \begin{vmatrix} c_{1x} & c_{1y} & c_{1z} \\ c_{2x} & c_{2y} & c_{2z} \\ c_{3x} & c_{3y} & c_{3z} \end{vmatrix} = \begin{vmatrix} -\frac{a}{2} & \frac{a}{2} & \frac{a}{2} \\ \frac{a}{2} & -\frac{a}{2} & \frac{a}{2} \\ \frac{a}{2} & \frac{a}{2} & -\frac{a}{2} \end{vmatrix} = \frac{a^3}{2}, \quad (1.17)$$

նույն ձևով կստանանք, որ

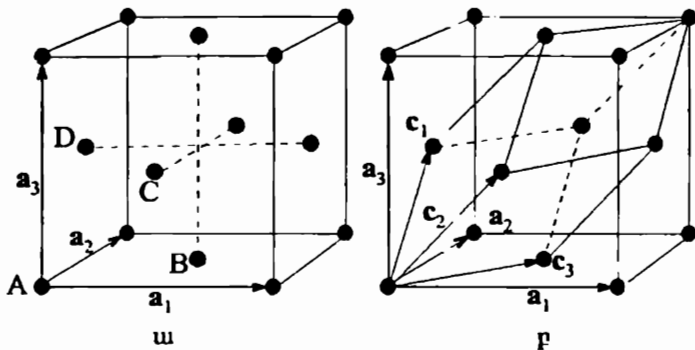
$$v'_0 = (c'_1 \cdot [c'_2, c'_3]) = \frac{a^3}{2} = v_0 : \quad (1.18)$$

Այս օրինակով համոզվեցինք, որ տարրական բջիջի ծավալը կախված չէ հիմնական վեկտորների ընտրությունից: Եթե տարրական խորանարդում կար երկու հանգույց, ապա տարրական բջիջն բաժին է ընկնում մեկ հանգույց: Այսպիսով, ծավալակենտրոնացված խորանարդային ցանցը պարզ ցանց է:

3. Նիստակենտրոնացված խորանարդային (ՆԿԽ) ցանց

Այս ցանցը ստանալու համար եարկավոր է պարզ խորանարդային ցանցի յուրաքանչյար նիստի կենտրոնում տեղադրել մեկ հանգույց: Ցանցի տարրական խորանարդը պարունակում է 4 հանգույց ($6 \times 1/2 = 3$ հանգույց՝ ի հաշիվ a^3 ծավալ (նկ. I.7, ա): Նշանակենք I_A, I_B, I_C և I_D -ով համապատասխանաբար խորանարդի գագաթներում և նիստերի կենտրոններում գտնվող հանգույցների դիրքերը որոշող վեկտորները՝

$$\begin{aligned}
 l_A &= l_1 \mathbf{a}_1 + l_2 \mathbf{a}_2 + l_3 \mathbf{a}_3, \\
 l_B &= \left(l_1 + \frac{1}{2} \right) \mathbf{a}_1 + \left(l_2 + \frac{1}{2} \right) \mathbf{a}_2 + l_3 \mathbf{a}_3 = l_A + \frac{\mathbf{a}_1 + \mathbf{a}_2}{2}, \\
 l_C &= \left(l_1 + \frac{1}{2} \right) \mathbf{a}_1 + l_2 \mathbf{a}_2 + \left(l_3 + \frac{1}{2} \right) \mathbf{a}_3 = l_A + \frac{\mathbf{a}_1 + \mathbf{a}_3}{2}, \\
 l_D &= l_1 \mathbf{a}_1 + \left(l_2 + \frac{1}{2} \right) \mathbf{a}_2 + \left(l_3 + \frac{1}{2} \right) \mathbf{a}_3 = l_A + \frac{\mathbf{a}_2 + \mathbf{a}_3}.
 \end{aligned} \tag{1.19}$$



Նկ. I.7

Այսմ անցնենք նոր հիմնական վեկտորների, որոնք $\mathbf{a}_1, \mathbf{a}_2, \mathbf{a}_3$ -ի հետ կապված են հետևյալ կերպ՝ (Նկ. I.7, բ)

$$c_1 = \frac{1}{2}(\mathbf{a}_2 + \mathbf{a}_3), \quad c_2 = \frac{1}{2}(\mathbf{a}_3 + \mathbf{a}_1), \quad c_3 = \frac{1}{2}(\mathbf{a}_1 + \mathbf{a}_2) : \tag{1.20}$$

Դժվար չէ համոզվել, որ c_1, c_2, c_3 հիմնական վեկտորներով արտահայտված l_A, l_B, l_C և l_D վեկտորները կարենի և ներկայացնել մեկ միասնական տեսքով՝

$$l = n_1 c_1 + n_2 c_2 + n_3 c_3 ,$$

որտեղ n_1, n_2, n_3 -ը կամայական ամբողջ թվեր են: Օգտվելով (1.20) բանաձևերից, հաշվենք նոր հիմնական վեկտորներով կազմված տարրական բջիջ ծավալը՝

$$v_0 = \left(c_1 \cdot [c_2, c_3] \right) = \begin{vmatrix} 0 & \frac{a}{2} & \frac{a}{2} \\ \frac{a}{2} & 0 & \frac{a}{2} \\ \frac{a}{2} & \frac{a}{2} & 0 \end{vmatrix} = \frac{a^3}{8} \begin{vmatrix} 0 & 1 & 1 \\ 1 & 0 & 1 \\ 1 & 1 & 0 \end{vmatrix} = \frac{1}{4} a^3, \quad (1.21)$$

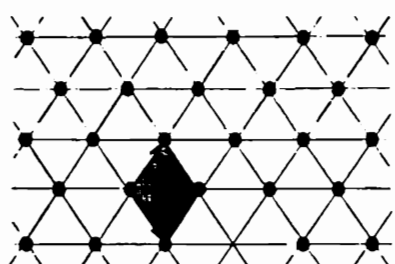
որը չորս անգամ փոքր է տարրական խորանարդի ծավալից: Այսպիսով, տարրական բջին բաժին է ընկեռում մեկ հանգույց, հետևաբար, նիստակենուրունացված խորանարդային ցանցը պարզ ցանց է:

Պարզ և բարդ ցանցերի միջև առաջին հայացքից ծևական թվացող տարրերությունն իրականում բերում է բյուրեղների ֆիզիկական հասկությունների էական որակական տարրերությունների: Մասնավորապես, բարդ ցանցի տատանումների սպեկտրն ունի օպտիկական ճյուղեր, որոնցից գուրկ է պարզ ցանցի տատանումների սպեկտրը (տես գլուխ III):

§2. Վիզուել-Զեյտցի բջիջ

Տեղափոխական համաշավության հետ մեկտեղ տարածական ցանցն օժտված է համաշավության նաև այլ տարրերով, որոնց կիրառման դեպքում ցանցը համընկեռում է ինքն իր հետ: Դրանց թվին են պատկանում պտույտները համաշափության առանցքների շարքը և անդրադարձումները համաշափության հարքություններում, որոնց համախումբը կազմում է տարածական ցանցի կետային ծևափոխությունների խումբը:

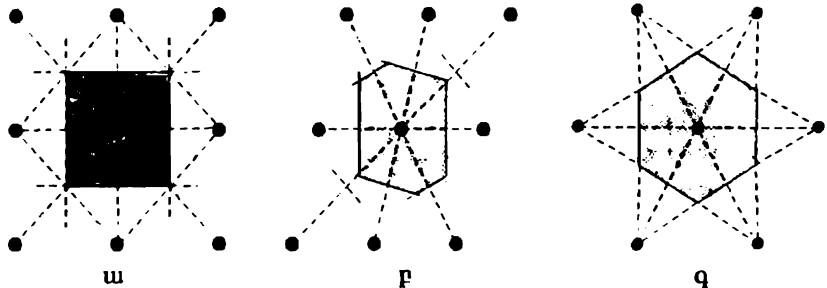
Տարրական բջիջն իր մեջ պարունակում է բյուրեղի տեղափոխական



Նկ. I.8

համաշափության բոլոր տարրերը: Ունենալով տարրական բջիջ, կարելի է տարածության մեջ նրա կրկնությամբ կառուցել ողջ բյուրեղը, սակայն որպես երկրաչափական մարմին այն օժտված չէ ցանցի կետային ծևափոխությունների խմբին պատկանող համաշափության տարրերով: Օրինակ՝ նկ. I.8-ում պատկերված երկչափ հերսա-

գրնալ տարածական ցանցն անի 6-րդ կարգի համաշավության առանցք (այսինքն՝ որևէ հանգույցով ամցնող և հարթության ուղղահայաց առանցքի շարջը ցանցը 60° -ով պտտելիս այն համընկնում է իր եետ), իսկ այդ ցանցի տարրական բջիջը (ընդգծված շեղանկյունը) չունի այդպիսի առանցք: Սակայն պարզ ցանցում միշտ կարելի է ընտրել այնպիսի տարրական բջիջ, որն իր մեջ պարունակի ցանցի համաշավության առանցքների և հարթությանների մասին ողջ ինֆորմացիան:

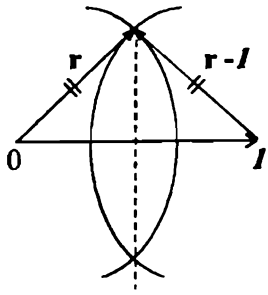


Նկ. I.9

Այդպիսի բջիջ կառուցելու համար որևէ հանգույցից, որն ընտրված է որպես կենտրոն, տանենք ճառագայթ դեպի ամենամոտ հարևան հանգույցը, իսկ հետո ճառագայթի միջնակետով տանենք այդ ճառագայթին ուղղահայաց հարթություն: Այնուհետև նույն գործողությունը կատարենք մնացած հարևան հանգույցների նկատմամբ: Ստացված հարթությունների համախմբը որպես կենտրոն ընտրված հանգույցի շարժը կառանձնացնի տարածության որոշակի տիրույթը, որը կոչվում է համաշավ բջիջ կամ Վիզներ-Զեյտցի բջիջ:

Ըստ կառուցման, Վիզներ-Զեյտցի բջիջն այն բոլոր կետերի համախմբն է, որոնք ավելի մոտ են ընտրված կենտրոն-հանգույցին, քան մնացած հանգույցներին: Նկ. I.9-ում պատկերված են Վիզներ-Զեյտցի բջիջները մի քանի երկշավի տարածական ցանցերի համար:

Ի տարբերություն ցանցի տարրական բջիջ, Վիզներ-Զեյտցի բջիջը եռաշավ ցանցում ընդհանուր դեպքում գուգահեռանիստ չէ, այլ բազմանիստ, որի կենտրոնում գտնվում է հանգույցը:



Նկ. I.10

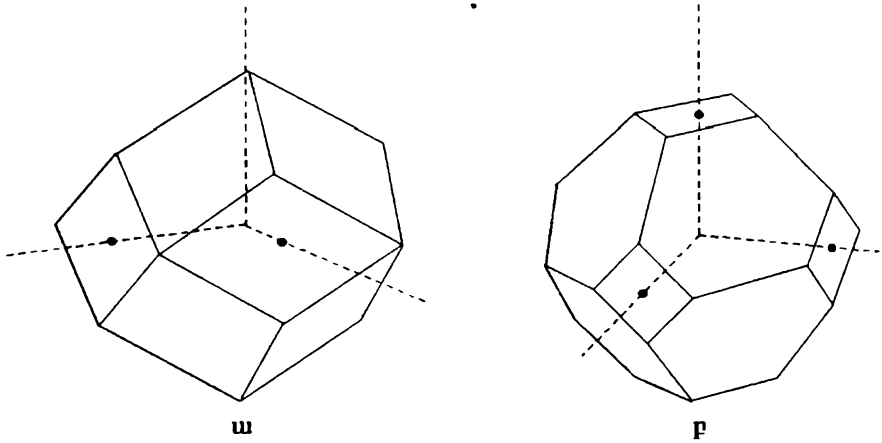
Սակայն ամենակարևորն այն է, որ Վիզներ-Զեյտցի բջիջը որպես երկրաչափական մարմին օժտված է տարածական ցանցի կետային ձևափոխությունների խմբի համաշափության բոլոր տարրերով:

Վիզներ-Զեյտցի բջիջի նիստերի հարքությունները որոշվում են

$$|r| = |r - l| \quad (2.1)$$

հավասարումով, որտեղ r -ը նիստի հարքության որևէ կետի շառավիղ-վեկտորն է բջիջի կենտրոնի

նկատմամբ, l -ը՝ մոտակա հանգույցի դիրքը որոշակ վեկտորը (Յկ. I.10): Համաձայն (2.1) հավասարման, նիստի հարքությունը որոշվում է երկու հարկան կետերում գտնվող կենտրոններով և հավաար (r) շառավիղներով գնդերի հատումով:



Նկ. I.11

Նկ. I.11, ա-ում պատկերված է նիստակենտրոնացված խորանարդային ցանցի Վիզներ-Զեյտցի բջիջը, որն իրենից ներկայացնում է ոռմբական տասներկուսանիստ (դոդեկաէդր), իսկ Բկ. I.11, բ-ում՝ ծավալակենտրոնացված խորանարդային ցանցինը, որը տասնչորսանիստ է («հատված ութանիստ»):

§3. Բրավեի ցանց: Բյուրեղական համակարգեր

Բրավեի ցանց անվանում են բյուրեղի բոլոր իրար համարժեք հանգույցների համախումբը, որը սրվում է (1.1) արտահայտությամբ: Պարզ ցանցի Բրավեի ցանցը ենց նրա տարածական ցանցն է: Բարդ ցանցը բաղկացած է իրար մեջ ներդրված Բրավեի ցանցերից, ընդ որում՝ բոլոր ցանցերը, որոնցից բաղկացած է բարդ ցանցը, երկրաչափորեն նույնական են (նկ. I.12): Բրավեի ցանցերի դասակարգումը կատարվում է ըստ կետային խմբի համաշափության տարրերի, ուստի ուսումնաաիրենք այժմ Բրավեի ցանցերի համաշափության բոլոր հնարավոր տեսակները:

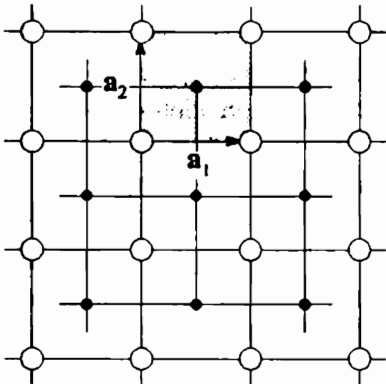
Նախ պարզենք, թե համաշափության ինչպիսի առանցքներ կարող են ունենալ Բրավեի ցանցը:

Դիցու՞՝ A-ն Բրավեի ցանցի որևէ հանգույց է, որով անցնում է նկ. I.13-ի հարթությանն ուղղահայաց համաշափության առանցք: Եթե Բ-ն նույնպես ցանցի հանգույց է, որը գտնվում է A-ից տեղափոխման որևէ վեկտորի հավասար հեռավորության վրա, ապա նրանով նույնպես կանցնի համաշափության առանցք: Կատարենք պտույտ φ անկյունով A-ով անցնող առանցքի շուրջը: Այժմ Բ կետը կգրավի նոր՝ B' դիրք: Նման ձևով պտույտը B-ի շուրջը կրերի A-ին նոր՝ A' դիրքի (նկ. I.13): Ըստ ենթադրության, A' և B' հանգույցները պատկանում են Բրավեի նոյն ցանցին, ինտևաբար նրանք կարող են համընկնել գուգահեռ տեղափոխության միջոցով: Նկ. I.13-ից հետևում է, որ

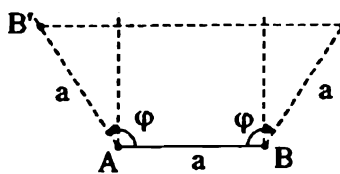
$$B'A' = a \cdot p = AB + 2a \sin\left(\varphi - \frac{\pi}{2}\right), \quad (3.1)$$

որտեղ p -ն ամբողջ թիվ է: (3.1) արտահայտությունից հետևում է, որ

$$2 \cos \varphi = 1 - p : \quad (3.2)$$



Նկ. I.12



Նկ. I.13

Քանի որ $|\cos \varphi| \leq 1$, ապա p -ն կարող է լցնունել միայն հետևյալ արժեքները՝ $p = 0$ ($\varphi = 60^\circ$), $p = 1$ ($\varphi = 90^\circ$), $p = 2$ ($\varphi = 120^\circ$), $p = 3$ ($\varphi = 180^\circ$):

Եթե φ անկյունը ներկայացնենք

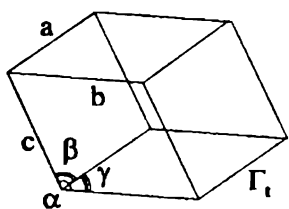
$$\varphi = \frac{2\pi}{n} \quad (3.3)$$

տեսքով, ապա n -ի համար կստանանք հետևյալ արժեքները՝ $n = 6, 4, 3, 2$: Այսպիսով, Բրավեի ցանցը կարող է ունենալ միայն 2-րդ, 3-րդ, 4-րդ և 6-րդ կարգի համաչափության (պտտական) առանցքներ:

Այժմ ուսումնասիրները Բրավեի ցանցի համաչափության հնարավոր տեսակները պտույտների և անդրադարձումների նկատմամբ: Համաշափության այս տեսակները կրում են բյուրեղական համակարգ կամ սինգոնիա անվանումները: Բյուրեղական համակարգը որոշակի առանցքների և համաշափության հարրությունների համախումք է, այսինքն՝ կետային խմբերից մեկն է: Բրավեի ցանցի յուրաքանչյուր հանգույց նրա համաշափության (ինվերտիայի) կենտրոնն է: Եթե համաշափության կենտրոնը Բրավեի ցանցի համաշափության միակ տարրն է (տեղափոխություններից բացի), ապա ունենք

1. Տրիկլինային համակարգ (Նկ. I.14)

Այս համակարգի համաշափությունն ամենացածրն է: Բրավեի ցանցի հանգույցները տեղադրված են կամայական երկարության կողմերով ($a \neq b \neq c$) և կամայական անկյուններով ($\alpha \neq \beta \neq \gamma$) զուգահեռանիստի զազարներում: Տրիկլինային համակարգի Բրավեի ցանցը նշանակվում է Γ -ով:



Նկ. I.14

2. Մոնոկլինային համակարգ (Նկ. I.15)

Այս համակարգի համաշափությունն ունի կամայական հիմքով ուղիղ զուգահեռանիստը ($a \neq b \neq c$, $\alpha = \gamma = 90^\circ$, $\beta \neq 90^\circ$): Բրավեի ցանցն իրա-

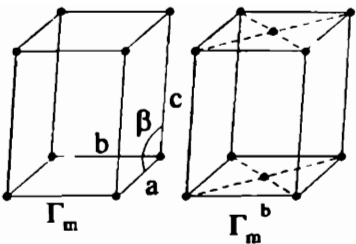
կանացվում է երկու եղանակով.

ա) Բրավեի պարզ մոնոկլինային ցանց (Γ_m), որի հանգույցները տեղադրված են ուղղանկյուն նիստերի գագաթներում,

բ) նիստակենտրոնացված մոնոկլինային ցանց (Γ_m^b), որի հանգույցները տեղադրված են նաև զուգահեռանիստի (ab)

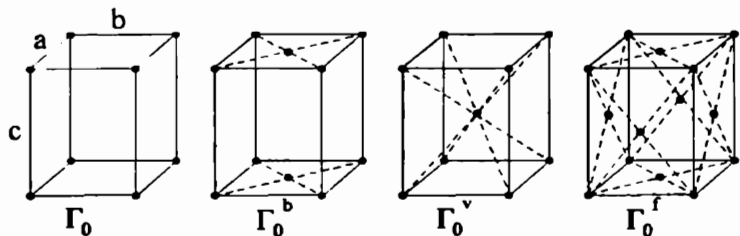
հանդիպակաց ուղղանկյուն նիստերի կենտրոններում:

Նկ. I.15



3. Ոռմրական (օրթոգոնալ) համակարգ (Նկ. I.16)

Բնորոշվում է կամայական կողմերով ($a \neq b \neq c$) և ուղղանկյուն ($\alpha = \beta = \gamma = 90^\circ$) զուգահեռանիստի համաչափությամբ:



Նկ. I.16

Այս համակարգին են պատկանում չորս տեսակի Բրավեի ցանցեր.

ա) պարզ ոռմրական (Γ_0), որի հանգույցները տեղադրված են ուղղանկյուն զուգահեռանիստի գագաթներում,

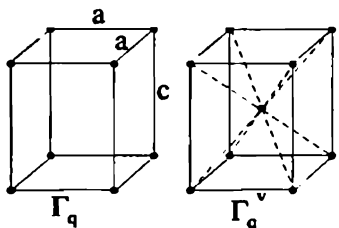
բ) հիմնակենտրոն (Γ_0^b), որի հանգույցները տեղադրված են նաև երկու հանդիպակաց նիստերի (հիմքերի) կենտրոններում,

գ) ծավալակենտրոնացված (Γ_0^v), որի հանգույցները տեղադրված են զուգահեռանիստի գագաթներում և կենտրոններում,

դ) նիստակենտրոնացված (Γ_0^f), որի հանգույցները տեղադրված են զուգահեռանիստի գագաթներում և բոլոր նիստերի կենտրոններում:

4. Տետրագոնալ (քառակուսային) համակարգ (նկ. I.17)

Բնորոշվում է քառակուսային հիմքով ուղղանկյուն գուգահեռանիստի համաչափությամբ ($a = b \neq c, \alpha = \beta = \gamma = 90^\circ$): Բրավեի ցանցն իրականացվում է երկու ձևով.



Նկ. I.17

ա) պարզ տետրագոնալ ցանց (Γ_q),

երբ հանգույցները տեղադրված են գուգահեռանիստի գագարներում,

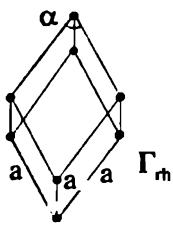
բ) ծավալակենտրոնացված ցանց (Γ_q^v), երբ հանգույցները տեղադրված են նաև գուգահեռանիստի կենտրոնում:

5. Ռոմբէդրական (եռանիստ) համակարգ (նկ. I.18)

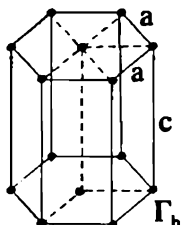
Բնորոշվում է ռոմբէդրի (տարածական անկյունագծի ուղղությամբ ձգված կամ սեղմված խորանարդի) համաչափությամբ ($a = b = c, \alpha = \beta = \gamma \neq 90^\circ$): Բրավեի ցանցը (Γ_h) իրականացվում է միակ ձևով՝ հանգույցները տեղադրվում են ռոմբէդրի գագարներում:

6. Հեքսագոնալ համակարգ (նկ. I.19)

Բնորոշվում է կանոնավոր վեցանկյուն պղիզմայի համաչափությամբ: Բրավեի ցանցը (Γ_h) իրականացվում է միակ ձևով՝ նրա հանգույցները տեղադրվում են վեցանկյուն պղիզմայի գագարներում և վեցանկյուն հիմքերի կենտրոններում:



Նկ. I.18



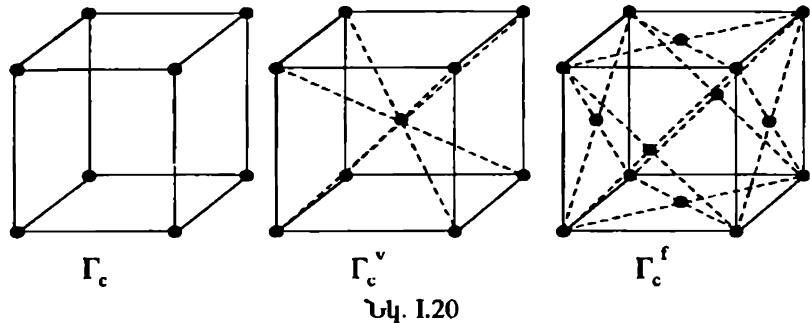
Նկ. I.19

7. Խորանարդային համակարգ (նկ. I.20)

Այս համակարգը բնորոշվում է խորանարդի համաչափությամբ և ոնի

Երեք տեսակի Բրավեի ցանց՝ պարզ (Γ_c), ծավալակենտրոնացված (Γ_c^v) և նիստակենտրոնացված (Γ_c^f):

Այսպիսով, գոյություն ունեն յոր տարրեր կետային խմբեր, որոնք կարող է ունենալ Բրավեի ցանցը: Նկատի ունենալով յուրաքանչյուր բյուրեղական համակարգում Բրավեի հնարավոր ցանցերի թիվը, կստանանք՝ $1+2+4+2+1+1+3=14$: Այս 14 Բրավեի ցանցերը կազմում են համաշափության լրիվ տարածական խումբ, որն իր մեջ պարունակում է տարածական ցանցի ինչպես կետային, այնպես էլ տեղափոխական համաշափության բյուր տարրերը:



Նկ. I.20

Ուսումնասիրված 7 բյուրեղական համակարգերը և 14 Բրավեի ցանցերը համապատասխանում են այն դեպքին, երբ ցանցի բազիսն օժտված է առավելագույն՝ զնդային համաշափությամբ (Բրավեի ցանցի հանգույցներում տեղադրված են զնդեր): Կամայական բյուրեղական կառուցվածքի համաշափության խումբը կախված է ինչպես բազիսի, այնպես էլ Բրավեի ցանցի համաշափությունից: Համաձայն Ե.Ֆյոդորովի, գոյություն ունեն բազիս ցանցերի 230 տարրեր համաշափության խմբեր՝ 230 տարածական խմբեր: Այս 230 տարածական խմբերը բաշխված են 32 բյուրեղագրական կետային խմբերի (դասերի) միջև: 32 բյուրեղական դասերը կարելի է ստանալ 7 բյուրեղական համակարգերից, քննարկելով Բրավեի ցանցի համաշափության նվազեցման բոլոր հնարավոր եղանակները: Այսուակ I.1-ում տրված են Բրավեի ցանցերի և բյուրեղական կառուցվածքների կետային և տարածական խմբերը:

	Բրավեի ցանց (զնդային համաշափ. բազիս)	Բյուրեղական կառուցվածք (կամայական համաշափ. բազիս)
Կետային խմբերի թիվը	7 (7 բյուրեղ.համակարգ)	32 (32 բյուրեղագր.կետ.խումբ)
Տարածական խմբերի թիվը	14 (14 Բրավեի ցանց)	230 (230 տարածական խումբ)

Բյուրեղական դասը, որը բյուրեղի համաշափության առանցքների և հարթությունների համախումբն է և կապված չէ տեղափոխությունների հետ, որոշում է բյուրեղում ֆիզիկական համարժեք ուղղությունները և դրանով իսկ անհզուտրուպ հոծ միջավայրի մակրոսկոպական համաշափությունը: Այս համաշափությամբ որոշվում են այնպիսի ֆիզիկական երևույթներ, ինչպիսիք են, օրինակ, լույսի տարածումը բյուրեղում, նրա ջերմային ընդարձակումը և մեխանիկական հատկությունները:

Տ4. Կարևոր բյուրեղական կառուցվածքներ

Ուսումնահինք մի քանի տարածված բյուրեղական կառուցվածքներ, որոնք մեծ հետաքրքրություն են ներկայացնում ինչպես փորձնական, այնպես էլ տեսական ենթագուտությունների տեսանկյունից:

1. Պարզագույն բյուրեղական կառուցվածքների՝ պարզ, ծավալակենտրոնացված և նիստակենտրոնացված խորանարդային ցանցերի հետ ծանոթացել ենք §1-ում: Հարկ է ավելացնել, որ նորմալ պայմաններում միատարր նյութերից պարզ խորանարդային կառուցվածք ունի միայն ալֆա-պոլի-նիտրը (α -Ro): Ծավալակենտրոնացված և նիստակենտրոնացված խորանարդային կառուցվածքը տնեցող միատարր նյութերը տրված են համապատասխանաբար Աղյուսակ I.2-ում և Աղյուսակ I.3-ում:

Ինչպես երևում է բերված տվյալներից, մաքուր մետաղների բյուրեղների մեծ մասը պատկանում է խորանարդային համակարգին:

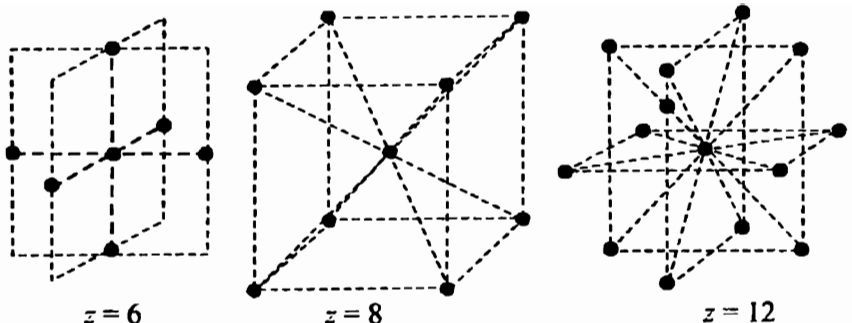
Աղյուսակ I.2

Տարր	a , Å	Տարր	a , Å	Տարր	a , Å
Ba	5,02	Li	3,49 (78K)	Ta	3,31
Cr	2,88	Mo	3,15	V	3,02
Cs	6,05 (78K)	Na	4,23	W	3,16
K	5,23 (5K)	Nb	3,30	Fe	2,87

Աղյուսակ I.3

Տարր	a , Å	Տարր	a , Å	Տարր	a , Å
Ar	5,26 (4,2K)	Ir	3,84	Pt	3,92
Ag	4,09	Kr	5,72 (58K)	δ -Pu	4,64
Al	4,05	La	5,30	Rh	3,80
Au	4,08	Ne	4,43 (4,2K)	Sc	4,54
Ca	5,58	Ni	3,52	Sr	6,08
Ce	5,16	Pb	4,95	Th	5,08
β -Co	3,55	Pd	3,89	Xe	6,20
Cu	3,61	Pr	5,16	Yb	5,49

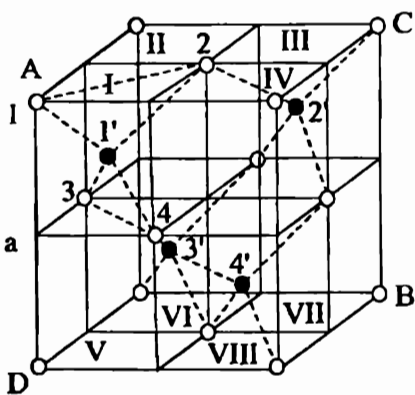
Բյուրեղական ցանցի կարևոր բնութագիրն է կոօրդինացիոն քիվը՝ տվյալ հանգույցին ամենամուտ հարևանների (հանգույցների) քիվը, որը սովորաբար նշանակում են z -ով: Ցանկացած պարզ ցանցում z -ը միևնույն է ցանցի բոլոր հանգույցների համար: Պարզ խորանարդային ցանցում $z = 6$ և կոօրդինացիոն խմբի ատոմների հեռավորությունը տվյալ հանգույցից՝ $d = a$, որտեղ a -ն ցանցի հաստատունն է (խորանարդի կողը): Ծավալակենտրոնացված ցանցում $z = 8$, $d = a\sqrt{3}/2$, իսկ նիստակենտրոնացված ցանցում՝ $z = 12$, $d = a\sqrt{2}/2$ (Յկ. I.21):



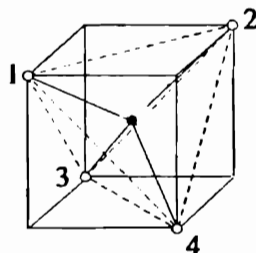
Նկ. I.21

2. Ալմաստի կառուցվածք

Ալմաստի ցանցը կարելի է ներկայացնել որպես իրար նկատմամբ խորանարդի տարածական անկյունազգծի մեկ քառորդի չափով շեղված երկու նիստակենտրոնացված խորանարդային ցանցերի վերադրման արդյունք (Նկ. I.22):



Նկ. I.22



Նկ. I.23

Իրոք, եթե լրսավոր զնդիկներով նիստակենտրոնացված ցանցը AB անկյունազգծով տեղաշարժենք $AB/4$ -ով, ապա 1 աստո՞մը կգրադեցնի 1' աստո՞մի տեղը, 2 աստո՞մը՝ 2'-ի, 3 աստո՞մը՝ 3'-ի և 4 աստո՞մը՝ 4'-ի տեղը: Քանի որ նիստակենտրոնացված խորանարդային ցանցը Բրավեի տիպի ցանց է, ապա ալմաստի ցանցում կարելի է ընտրել տարրական բջիջ, որը կպարունակի եր-

կու ատոմ (բազիսը կազմող ատոմների կոօրդինատներն են՝ 000, $a/4$, $a/4$, $a/4$): Յուրաքանչյուր ատոմ ունի 4 ամենամոտ հարևան ($z = 4$) կապերի տեսարակութական դասավորվածությամբ (նկ. I.23):

Նկ. I.22-ում պատկերված խորանարդային բջիջը կազմված է 18 ատոմից: Ատոմների դասավորությունը պատկերացնելու համար նիշակալենարունացված խորանարդը բաժանենք ուր միատեսակ խորանարդների (նկ. I.22, I-VIII): Ատոմները դնենք I, III (վերին շերտ) և VI, VIII (ներին շերտ) խորանարդների կենտրոններում: Արդյունքում կստանանք նկ. I.23-ում պատկերված չորս՝ տեսրակությունը պարունակող խորանարդները: I և III խորանարդների տակ տեղադրենք V և VII «դասաւարել» խորանարդները, կստանանք նկ. I.22-ում պատկերված ալմաստի կառուցվածքը: Հաշվենք խորանարդում հանգույցների թիվը՝ $8 \cdot (1/8) + 6 \cdot (1/2) + 4 = 8$: Նկ. I.22-ում պատկերված խորանարդը օժտված չէ խորանարդի համաչափության բոլոր տարրերով: Օրինակ՝ ուղղաձիգ առանցքի շուրջը 90° -ով պյտտելիս հանգույցներն իրար հետ չեն համընկնում: Վյուիհանդերձ, իր մակրոսկզբական հատկություններով ալմաստի բյուրենին օժտված է խորանարդային համաչափությամբ: Ալմաստի կառուցվածքով բյուրեղացող տարրերը տրված են Աղյուսակ I.4-ում:

Աղյուսակ I.4

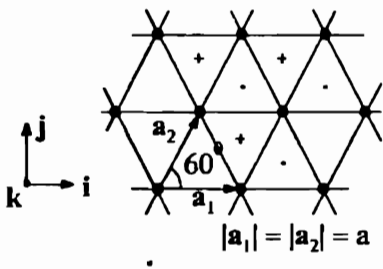
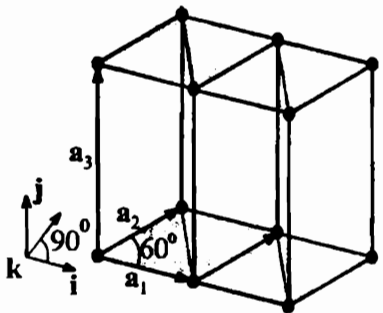
Տարր	Խորանարդի կողը՝ a , Å
C (ալմաստ)	3,57
Si	5,43
Ge	5,66
α -Sn (զորշ անազ)	6,49

3. Հերսագոնալ խիտ դարսվածքով կառուցվածք

Հերսագոնալ խիտ դարսվածքով (ՀԽԴ) կառուցվածքի հիմքում ընկած է Բրավեի պարզ հերսագոնալ ցանցը, որը ստացվում է եարք (Երկարվ) եռանկյուն ցանցերն իրար վրա դարսելիս: Դարսման ուղղությունն անվանում են c -առանցք: Հիմնական վեկտորների եռյակը հետևյալն է՝ (նկ. I.24):

$$\mathbf{a}_1 = \mathbf{a} \cdot \mathbf{i}, \quad \mathbf{a}_2 = \frac{\mathbf{a}}{2} \mathbf{i} + \frac{\sqrt{3}\mathbf{a}}{2} \mathbf{j}, \quad \mathbf{a}_3 = \mathbf{c} \cdot \mathbf{k}, \quad (4.1)$$

որտեղ i, j, k -ն միավոր վեկտորներ են ուղղանկյուն կոորդինատական համակարգում: \mathbf{a}_1 և \mathbf{a}_2 վեկտորները ծնում են եռանկյուն ցանց x - y հարթության մեջ, իսկ \mathbf{a}_3 -ը «դարսում» է ցանցը ցանցի վրա c եռավորությամբ:

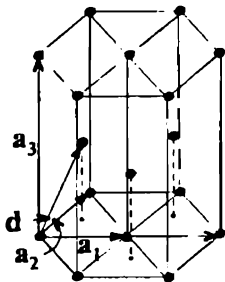


Նկ. I.24

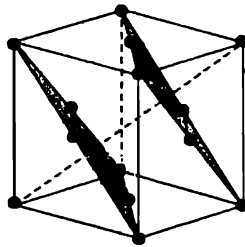
Հեքսագոնալ խիտ դարավածքը կազմված է երկու պարզ հեքսագոնալ ցանցերից, որոնք իրար նկատմամբ տեղաշարժված են $d = (\mathbf{a}_1 + \mathbf{a}_2)/3 + \mathbf{a}/2$ վեկտորով (նկ. I.25): Նման կառուցվածքը կարելի է ստանալ a տրամագծով կոչտ գնդերի խիտ դարավածքի օգնությամբ հետևյալ ձևով: Գնդերի առաջին շերտը դարսվում է եռանկյուն խիտ դարավածքով: Երկրորդ շերտի գնդերը դարսվում են առաջին շերտի գնդերից կազմված եռանկյունների կենտրոններում (նկ. I.24, փոքր կետերը): Արդյունքում երկրորդ շերտը ստացվում է առաջին շերտի նկատմամբ շեղված $|\mathbf{a}_1 + \mathbf{a}_2|/3 = a/\sqrt{3}$ չափով: Երրորդ շերտը կազմում են, տեղադրելով գնդերը երկրորդ շերտի փոսիկների մեջ այնպես, որ նրանք գտնվեն հենց առաջին շերտի գնդերի կենտրոնների վրա: Չորրորդ շերտը դարսվում է երկրորդ շերտի նման և այլն: Արդյունքում ստացվում է հեքսագոնալ խիտ դարավածքով ցանց $|\mathbf{a}_3| = c$ -ի խիստ որոշակի արժեքով՝

$$c = \sqrt{\frac{8}{3}} a \approx 1,633a : \quad (4.2)$$

Եթե բյուրեղական կառուցվածքը կազմող միավորները տարբերվում են կոչտ գնդերից, ապա c/a հարաբերությունը կարող է տարբերվել իր $(8/3)^{1/2}$ «իդեալական» արժեքից:



Նկ. I.25



Նկ. I.26

Ինչպես և ալմաստի ցանցը, հեքսագոնալ խիտ դարավածքով ցանցը Բրավեի ցանց չէ, քանի որ c -առանցքով շերտից շերտ անցնելիս փոխվում է համագույշի շրջապատի կողմնորոշումը:

Հնարավոր են կոչտ գնդերի խիտ դասավորման բազմաթիվ այլ եղանակներ: Օրինակ, եթե գնդերի III շերտը դասավորենք այնպես, որ գնդերը գտնվեն և I, և II շերտերում «օօտագործված» փոսիկների վրա ընկած փոսիկներում, որոնց նկ. I.24-ում համապատասխանում են + նշանները, ապա IV շերտը կտեղադրվի III շերտի փոսիկներում ճիշտ I շերտի գնդերի վրա, V շերտը՝ II շերտի վրա և այլն: Ստացված ցանցն իրենից ներկայացնում է բրավեի նիստակենտրոնացված ցանց խորանարդի տարածական անկյունագծով, ուղղահայաց դարսման շերտերին (նկ. I.26): Շերտերի հաջորդականությունը հեքսագոնալ խիտ դարավածքում կարելի է պատկերել հետևյալ կերպ՝ ABABABAB..., իսկ նիստակենտրոնացված խորանարդային ցանցի դեպքում ABCABCABC...: Հայտնի են խիտ դարավածքով նաև այլ տեսակի կառուցվածքներ: Օրինակ՝ որոշ հազվագյուտ հոդային մետաղներ ունեն ABACABACABAC... տիպի կառուցվածք:

Տարր	a , Å	c	c/a	Տարր	a , Å	c	c/a
Be	2,29	3,58	1,56	Os	2,74	4,32	1,58
Cd	2,98	5,62	1,89	Pr	3,67	5,92	1,61
Ce	3,65	5,96	1,63	Re	2,76	4,46	1,62
α-Co	2,51	4,07	1,62	Ru	2,70	4,28	1,59
Dy	3,59	5,65	1,57	Sc	3,31	5,27	1,59
Er	3,56	5,59	1,57	Tb	3,60	5,69	1,58
Gd	3,64	5,78	1,59	Ti	2,95	4,69	1,59
He (2K)	3,57	5,83	1,63	Tl	3,46	5,53	1,60
Hf	3,20	5,06	1,58	Tu	3,54	5,55	1,57
Ho	3,58	5,62	1,57	Y	3,65	5,73	1,57
La	3,75	6,07	1,62	Zn	2,66	4,95	1,86
Lu	3,50	5,55	1,59	Zr	3,23	5,15	1,59
Nd	3,66	5,90	1,61	Mg	3,21	5,21	1,62

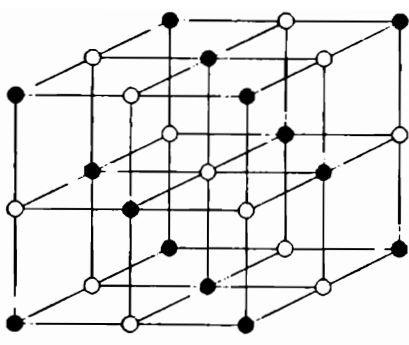
Հեքսագոնալ խիտ դարսվածքի համար կոօրդինացիոն թիվը՝ $z = 12$:

Ալյուսակ I.5-ում տրված են հեքսագոնալ խիտ դարսվածքով միատարր նյութերը:

4. Նատրիումի բլորիդի կառուցվածք

Բազիսով ցանց հարկավոր է օգտագործել նաև այնպիսի բյուրեղական կառուցվածքներ նկարագրելիս, որոնցում ատոմները (իոնները) գտնվում են միայն Բրավեի ցանցի հանգույցներում, սակայն ցանցի լրիվ տեղափոխական համաշավույթունը բացակայում է, քանի որ կան երկու տեսակի ատոմներ (իոններ): Օրինակ՝ նատրիումի բլորիդը բաղկացած է հավասար քվով նատրիումի և քլորի իոններից, որոնք դասավորված են պարզ խորանարդային ցանցի հանգույցներում այնպես, որ տվյալ իոննի ամենամոտ հարևանները

բը մյուս տեսակի 6 իոններն են (Նկ. I.27): Առանձին-առանձին նատրիումի և քրորի իոնները կազմում են նիստակենտրոնացված խորանարդային ցանցեր, որոնք իրար նկատմամբ շեղված են խորանարդի տարածական անկյունագծի կեսի չափով: Վյսպիսի կառուցվածքը կարելի է նկարագրել որպես Բրավեի նիստակենտրոնացված ցանց՝ բազիսով, որը կազմված է (000) կետում գտնվող նատրիումի իոնից և $(i + j + k)a/2$ կետում գտնվող քրորի իոնից:



Նկ. I.27

Աղյուսակ I.6

Բյուրեղ	a , Å	Բյուրեղ	a , Å	Բյուրեղ	a , Å
LiF	4,02	RbF	5,64	CaS	5,69
LiCl	5,13	RbCl	6,58	CaSe	5,91
LiBr	5,50	RbBr	6,85	CaTe	6,34
Ll	6,00	RbI	7,34	SrO	5,16
NaF	4,62	CsF	6,01	SrS	6,02
NaCl	5,64	AgF	4,92	SrSe	6,23
NaBr	5,97	AgCl	5,55	SrTe	6,47
NaI	6,47	AgBr	5,77	BaO	5,52
KCl	6,29	MgO	4,21	BaS	6,39
KBr	6,60	MgS	5,20	BaSe	6,60
KF	5,35	MgSe	5,45	BaTe	6,99
KI	7,07	CaO	4,81		

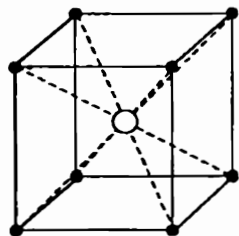
Աղյուսակ I.6-ում տրված են նաև բարիումի քլորիդի կառուցվածք ունեցող որոշ միացություններ:

5. Ցեզիումի քլորիդի կառուցվածք

Բաղկացած է ցեզիումի և քլորի իոններից, որոնք տեղավորված են խորանարդի գագարներում և կենտրոնում, այնպես, որ ամեն մի իոն ունի ուր ամենամուտ հարևան՝ հակառակ նշանի լիցքով (նկ. I.28): Այս կառուցվածքը կարելի է նկարագրել որպես Բրավեի պարզ խորանարդային ցանց՝ բազիավով, որը բաղկացած է (000) կետում գտնվող ցեզիումի և $(i+j+k)a/2$ կետում գտնվող քլորի իոններից:

Աղյուսակ I.7

Բյուրեղ	a , Å	Բյուրեղ	a , Å
CsCl	4,12	CuPd	2,99
CsBr	4,29	BeCu	2,70
CsI	4,57	LiHg	3,29
TlCl	3,83	AlNi	2,88
TlBr	3,97	NH₄Cl	3,87
TlI	4,20	AgMg	3,28



Նկ. I.28

Այս կառուցվածքը կարելի է ներկայացնել նաև որպես երկու պարզ խորանարդային (մի տեսակի իոններից կազմված) ցանցերի վերադրում, որոնք իրար նկատմամբ շեղված են խորանարդի տարածական անկյունագծի կեսի չափավով: Աղյուսակ I.7-ում տրված են ցեզիումի քլորիդի կառուցվածքով մի բանի միացություններ:

Ցեզիումի քլորիդի, ինչպես նաև նատրիումի քլորիդի կառուցվածքներում բջջի գումարային լիցքը և դիպոլային մոմենտը զրո են: Իոնների ջերմային շարժման հետևանքով դիպոլային մոմենտը դառնում է զրոյից տարբեր, ինչը բերում է իոնային բյուրեղներում հաղորդականության էլեկտրոնների ցրման:

6. Ցինկի խարուսակի կառուցվածք

Այս կառուցվածքը երկրաչափորեն համընկնում է ալմաստի կառուցվածքի հետ: Մի նիստակենտրոնացված ցանցի հանգույցներում **Zn**-ի ատոմներն են, իսկ մյուսի հանգույցներում **S**-ի (նկ. I.22): Յուրաքանչյուր ատոմ ունի այլ տեսակի 4 ամենամուա հարևան ատոմներ, որոնք տեղադրված են անտրաէլեկտրոն գազաքններում (նկ. I.23): Աղյուսակ I.8-ում արված են ցինկի խարուսակի կառուցվածքով մի քանի միացույցներ:

Աղյուսակ I.8

Բյուրեղ	a , Å	Բյուրեղ	a , Å
ZnS	5,41	AlSb	6,13
ZnSe	5,67	GaP	5,45
ZnTe	6,09	GaAs	5,65
CdS	5,82	GaSb	6,12
CdTe	6,48	InP	5,87
HgS	5,85	InAs	6,04
HgSe	6,08	InSb	6,47
AlAs	5,62	SiC	4,35

Աղյուսակ I.9

Բյուրեղ	a , Å	c , Å
ZnO	3,25	5,12
ZnS	3,81	6,23
ZnSe	3,98	6,53
ZnTe	4,27	6,99
SiC	3,25	5,21
ալմաստ	2,52	4,12
CdS	4,13	6,75
CdSe	4,30	7,02

Հայտնի է ցինկի խարուսակի դիտարկված խորանարդային կառուցվածքի, ինչպես նաև ալմաստի կառուցվածքի հեքսագոնալ տարատեսակը: Երկու տարատեսակներն ել քաղկացած են կրկնակի շերտերից՝ մի շերտը գրադեցնում են **Zn**-ի, մյուսը՝ **S**-ի ատոմները: Խորանարդային կառուցվածքում կրկնակի շերտերը դարսվում են ABCABCABC..., իսկ հեքսագոնալ կառուցվածքում՝ ABABABAB... հաջորդականությամբ: Աղյուսակ I.9-ում բերված են ցինկի խարուսակի հեքսագոնալ կառուցվածք ունեցող մի քանի միացույցներ: Ինչպես նրանում է Աղյուսակ I.8-ից և Աղյուսակ I.9-ից, միևնույն միացույցնը կարող է ունենալ և խորանարդային, և հեքսագոնալ կառուցվածք: Օրինակ՝ **ZnS**-ի խորանարդային կառուցվածքը 1300K-ից բարձր ջերմաստիճաններում անցնում է հեքսագոնալ կառուցվածքի: Այս

Երևայքը հայտնի է որպես բազմատեսակություն (պոլիտիպիզմ): Այս երևոյթի դասական օրինակ է SiC բյուրեղը, որը, բացի խորանարդային և հեքսագոնալ կառուցվածքներից, կարող է գոյաւթյուն ունենալ նաև 45 այլ տարատեսակների ձևով, որոնք ունեն տարբեր հեքսագոնալ դարսվածքներ:

§5. Հակադարձ ցանց

Բյուրեղական կառուցվածքը բնուրագրող բոլոր ֆիզիկական մեծությունները ներկայացվում են այնպիսի ֆունկցիաներով, որոնք ունեն նույն պարբերականությունը, ինչ որ տարածական ցանցը: Այդպիսի մեծություններից են էլեկտրոնային լիցքի բաշխումը, էլեկտրաստատիկ պոտենցիալը, ցանցի որևէ կետում ատոմի գտնվելոր հավանականությունը և այլն:

Եթե $f(r)$ -ը այդպիսի մի ֆունկցիա է, ապա պարբերականության պայմանը կգրվի հետևյալ տեսքով՝

$$f(r+l) = f(r), \quad . \quad (5.1)$$

Որտեղ l -ը տեղափոխության ցանկացած վեկտոր է և տրվում է (1.1) արտահայտությամբ, իսկ r -ը կամայական կետի շառավիղ-վեկտոր է:

Նպատակահարմար է նախ քննարկել միաշափ բյուրեղի պարզ դեպքը, երբ բյուրեղի ֆիզիկական բնուրագրերը վստիշվում են միայն մեկ ուղղությամբ: Այս դեպքում (5.1) պայմանը կգրվի

$$f(x+l) = f(x) \quad (5.2)$$

տեսքով, որտեղ $l = l_1 \cdot a$, $l_1 = 0, \pm 1, \pm 2, \dots$, իսկ a -ն $f(x)$ ֆունկցիայի պարբերությունն է (միաշափ ցանցի հաստատունը):

Ինչպես հայտնի է, ցանկացած պարբերական ֆունկցիա կարելի է վերածել Ֆուրյեի շարքի՝

$$f(x) = \sum_g A_g e^{igx}, \quad (5.3)$$

որտեղ g մեծության ընդունած արժեքները որոշվում են (5.2) պայմանից՝

$$f(x+l) = \sum_g A_g e^{ig(x+l)} = \sum_g A_g e^{igx} \cdot e^{igl} \equiv f(x),$$

այսինքն՝

$$e^{igI} = 1 \quad \text{կամ} \quad e^{igal_1} = 1 : \quad (5.4)$$

Քանի որ I_1 -ը կամայական ամբողջ թիվ է, ապա (5.4) պլայմանը տեղի կանոնավոր միայն այն դեպքում, եթե

$$g = \frac{2\pi}{a} m \equiv g_1 m, \quad (5.5)$$

որտեղ m -ը կամայական ամբողջ թիվ է: $g = g_1 m$ ($m = 0, \pm 1, \pm 2, \dots$)

մեծությունները կազմում են միաշափ ցանցի հակադարձ երկարությունների բազմությունը: Ֆուրյե-վերլուծության A_g գործակիցները որոշելու համար

(5.3) շարքի աջև և ձախ մասերը բազմապատկենք $\exp(-ig'x)$ -ով և ինտեգրենք ըստ x -ի՝ $0 - L_x$ տիրույթում՝

$$\int_0^{L_x} f(x) e^{-ig'x} dx = \sum_g A_g \int_0^{L_x} e^{ix(g-g')} dx, \quad (5.6)$$

$L_x = \sigma N_x$ -ը միաշափ ցանցի երկարությունն է, N_x -ը՝ տարրական բջիջների թիվը: Զեափոխնենք (5.6) հավասարման ձախ մասը, նկատի ունենալով (5.2) և (5.5) արտահայտությունները.

$$\begin{aligned} \int_0^{L_x} f(x) e^{-ig'x} dx &= \sum_{m=0}^{N_x-1} \int_{ma}^{(m+1)a} f(x) e^{-ig'x} dx = \\ &= \sum_{m=0}^{N_x-1} \int_0^a f(x' + ma) e^{-ig'(x'+ma)} dx' = \\ &= \sum_{m=0}^{N_x-1} e^{-ig'ma} \int_0^a f(x') e^{-ig'x'} dx' = N_x \cdot \int_0^a f(x) e^{-ig'x} dx. \end{aligned} \quad (5.7)$$

(5.6) հավասարման աջև կողմում զրված ինտեգրալը՝

$$I_{gg'} \equiv \int_0^{L_x} e^{ix(g-g')} dx = L_x, \quad \text{եթե } g = g' \quad (5.8)$$

և

$$I_{gg'} = \frac{e^{iL_x(g-g')} - 1}{i(g-g')} = \frac{e^{iN_x a(g-g')} - 1}{i(g-g')} = 0, \quad \text{եթե } g \neq g'. \quad (5.9)$$

բանի որ, համաձայն (5.4) պայմանի, կոսորակի համարիչը հավասար է զրոյի: (5.8) և (5.9) արտահայտությունները կարելի է միավորել՝

$$I_{gg'} = L_x \cdot \delta_{gg'} , \quad (5.10)$$

որտեղ $\delta_{gg'}$ -ը լրտեսվելու խորհրդանշիշն է: (5.6), (5.7) և (5.10) արտահայտություններից կստանանք՝

$$A_g = \frac{1}{L_x} \int_0^{L_x} f(x) e^{-igx} dx = \frac{N_x}{L_x} \int_0^a f(x) e^{-igx} dx = \frac{1}{a} \int_0^a f(x) e^{-igx} dx : \quad (5.11)$$

Այժմ անցնենք ընդհանուր դեպքի ուսումնասիրությանը: $f(r)$ պարբերական ֆունկցիան ներկայացնենք Ֆուրյեի եռակի շարքի տեսքով՝

$$f(r) = \sum_g A_g e^{igr} : \quad (5.12)$$

(5.1) և (5.12) առնչություններից բխում է, որ տեղափոխության կամայական l վեկտորի համար

$$e^{igl} = 1 , \quad (5.13)$$

որը համարժեք է հետևյալ պայմանին՝

$$g \cdot l = 2\pi \times \text{ամբողջ թիվ} : \quad (5.14)$$

Հարմարության համար նշանակելով $g = 2\pi b$ և (5.14) պայմանում տեղադրելով (1.1) արտահայտությունը, կստանանք՝

$$g \cdot l = 2\pi(ba_1 \cdot n_1 + ba_2 \cdot n_2 + ba_3 \cdot n_3) = 2\pi \times \text{ամբողջ թիվ} : \quad (5.15)$$

Քանի որ n_1, n_2, n_3 -ը կամայական ամբողջ թվեր են, ապա (5.15) պայմանը տեղի կունենա միայն այն դեպքում, եթե

$$ba_1 = l_1, \quad ba_2 = l_2, \quad ba_3 = l_3 , \quad (5.16)$$

որտեղ l_1, l_2, l_3 -ը կամայական ամբողջ թվեր են: Ստացված 3 հավասարություններից որոշվում է b անհայտ վեկտորը: Ներկայացնենք այն մեկ հարթության մեջ չգտնվող $[a_1, a_2], [a_2, a_3]$ և $[a_3, a_1]$ երեք վեկտորների գծային համակցության տեսքով

$$b = \alpha [a_2, a_3] + \beta [a_3, a_1] + \gamma [a_1, a_2] : \quad (5.17)$$

Բազմապատկենք (5.17) արտահայտությունը սկայար ձևով a_1 -ով: Նկատի ունենալով (5.16) հավասարություններից առաջինը, ինչպես նաև այն, որ a_1

վեկտորն ուղղահայաց $\mathbf{t} = [a_3, a_1]$ և $[a_1, a_2]$ վեկտորներին, կստանանք՝

$$ba_1 = \alpha(a_1[a_2, a_3]) = l_1 \quad \text{և} \quad \alpha = \frac{l_1}{v_0}, \quad (5.18)$$

որտեղ v_0 -ն տարրական թզի ծավալն է: (5.17) արտահայտությունը բազմապատկելով a_2 -ով, և ապա a_3 -ով, նույն ձևով կգտնենք β և γ գործակիցները՝

$$\beta = \frac{l_2}{v_0}, \quad \gamma = \frac{l_3}{v_0}; \quad (5.19)$$

Այսպիսով, (5.17) արտահայտությունը կընդունի հետևյալ տեսքը՝

$$\mathbf{b} = b_1 l_1 + b_2 l_2 + b_3 l_3, \quad (5.20)$$

որտեղ

$$b_1 = \frac{1}{v_0}[a_2, a_3], \quad b_2 = \frac{1}{v_0}[a_3, a_1], \quad b_3 = \frac{1}{v_0}[a_1, a_2]; \quad (5.21)$$

Քանի որ a_1, a_2 և a_3 վեկտորները չեն գտնվում մեկ հարթության մեջ, ապա նույնը կարելի է ասել նաև b_1, b_2 և b_3 վեկտորների մասին: Համաձայն (5.20) արտահայտության

$$\mathbf{g} = 2\pi\mathbf{b} = 2\pi b_1 \cdot l_1 + 2\pi b_2 \cdot l_2 + 2\pi b_3 \cdot l_3; \quad (5.22)$$

\mathbf{g} վեկտորները կազմում են ցանց, որի տարրական թզիջը կառուցված է $g_1 = 2\pi b_1, g_2 = 2\pi b_2, g_3 = 2\pi b_3$ հիմնական վեկտորներով: Այս ցանցը ընդունված է անվանել հակադարձ նախնական ուղիղ (a_1, a_2, a_3 հիմնական վեկտորներով) ցանցի նկատմամբ: Ակնհայտ է, որ հակադարձ ցանցը միարժեքորեն որոշվում է a_1, a_2 և a_3 վեկտորներով, այսինքն՝ տալով ուղիղ ցանցը, միաժամանակ տրվում է և հակադարձ ցանցը: «Հակադարձ» անվանումը պայմանավորված է այն հանգամանքով, որ \mathbf{g} վեկտորը չափվում է սմ^{-1} միավորով:

Հակադարձ ցանցը բրավեի ցանց է, քանի որ այն տրվում է (5.22) բանաձևով, հետևաբար, կարելի է կառուցել նրա համար հակադարձ ցանց, որը համընկնում է ուղիղ ցանցի հետ: Դժվար չէ նկատել, որ g_j , ($j = 1, 2, 3$) վեկտորները բավարարում են

$$\mathbf{a}_i \cdot \mathbf{g}_j = 2\pi\delta_{ij}, \quad (5.23)$$

առնչությանը, այսինքն՝ \mathbf{g}_1 վեկտորն ուղղահայաց է \mathbf{a}_2 և \mathbf{a}_3 , \mathbf{g}_2 -ը՝ \mathbf{a}_1 և \mathbf{a}_3 , իսկ \mathbf{g}_3 -ը՝ \mathbf{a}_1 և \mathbf{a}_2 վեկտորներին:

Հաշվենք հակադարձ ցանցի տարրական բջջի ծավալը՝

$$\begin{aligned} \Omega_0 &= (\mathbf{g}_1[\mathbf{g}_2, \mathbf{g}_3]) = (2\pi)^3 (b_1[b_2, b_3]) = \\ &= \frac{(2\pi)^3}{v_0^3} \left\{ [\mathbf{a}_2, \mathbf{a}_3] \cdot ([\mathbf{a}_3, \mathbf{a}_1] \times [\mathbf{a}_1, \mathbf{a}_2]) \right\} = \\ &= \frac{(2\pi)^3}{v_0^3} \cdot [\mathbf{a}_2, \mathbf{a}_3] \left\{ \mathbf{a}_1([\mathbf{a}_3, \mathbf{a}_1] \cdot \mathbf{a}_2) - \mathbf{a}_2([\mathbf{a}_3, \mathbf{a}_1] \cdot \mathbf{a}_1) \right\} = \frac{(2\pi)^3}{v_0}. \end{aligned} \quad (5.24)$$

Ուղիղ և հակադարձ ցանցերի տարրական բջջների ծավալների միջև (5.24) կապը ստանալիս օգտվեցինք վեկտորական հաշվից հայտնի $A \times [B \times C] = B(AC) - C(AB)$ բանաձևից:

(5.12) ֆուրյե-վերլուծության անհայտ A_g գործակիցները որոշվում են նոյն եղանակով, ինչ որ միաշափ դեպքում: Արդյունքում ստացվում է (5.11) արտահայտության եռաչափ ընդհանրացումը՝

$$A_g = \frac{1}{V} \int_V f(\mathbf{r}) e^{-i\mathbf{gr}} d\mathbf{r} = \frac{1}{v_0} \int_{v_0} f(\mathbf{r}) e^{-i\mathbf{gr}} d\mathbf{r}, \quad (5.25)$$

որն արտածելիս օգտվել ենք

$$I_{gg'} \equiv \int_V e^{i\mathbf{r}(\mathbf{g}-\mathbf{g}')} d\mathbf{r} = V\delta_{gg'} \quad (5.26)$$

առնչությանից, որն, իր հերքին, (5.8) բանաձևի եռաչափ ընդհանրացումն է:

Ապացուցենք (5.26) առնչությունը:

Քանի որ

$$\mathbf{G} = \mathbf{g} - \mathbf{g}' = 2\pi(n_1 \mathbf{b}_1 + n_2 \mathbf{b}_2 + n_3 \mathbf{b}_3) \quad (5.27)$$

վեկտորը պատկանում է հակադարձ ցանցին, ապա $e^{i\mathbf{r}G}$ ֆունկցիան պարբերական է ըստ \mathbf{r} -ի, հետևաբար՝ (5.26) բանաձևում ըստ բյուրեղի V ծավալի ինտեգրալը կարելի է ներկայացնել որպես ինտեգրալ ըստ մեկ տարրական բջջի v_0 ծավալի՝ բազմապատկած բջջների N բվով՝

$$I_{gg'} = N \int\limits_{v_0} e^{irG} dr = N \int\limits_{v_0} e^{i \cdot 2\pi(n_1 b_1 + n_2 b_2 + n_3 b_3) r} dr : \quad (5.28)$$

Անցնենք ինտեգրման նոր վառփոխականների՝

$$\xi = rb_1, \quad \eta = rb_2, \quad \zeta = rb_3 : \quad (5.29)$$

Նկատի ունենալով (5.23) առնչությունը, հեշտ է համոզվել, որ

$$r = \xi a_1 + \eta a_2 + \zeta a_3 : \quad (5.30)$$

Եթե r -ը վառփոխական է v_0 ծավալում, $0 \leq \xi, \eta, \zeta \leq 1$, հետևաբար՝

$$I_{gg'} = N \int\limits_0^1 d\xi \int\limits_0^1 d\eta \int\limits_0^1 d\zeta e^{i \cdot 2\pi(n_1 \xi + n_2 \eta + n_3 \zeta)} J\left(\frac{x, y, z}{\xi, \eta, \zeta}\right),$$

որտեղ $(x, y, z) \rightarrow (\xi, \eta, \zeta)$ ձևափոխության յակոբիանը՝

$$J\left(\frac{x, y, z}{\xi, \eta, \zeta}\right) = \frac{D(x, y, z)}{D(\xi, \eta, \zeta)} = \begin{vmatrix} a_{1x} & a_{1y} & a_{1z} \\ a_{2x} & a_{2y} & a_{2z} \\ a_{3x} & a_{3y} & a_{3z} \end{vmatrix} = (a_1 [a_2, a_3]) = v_0 :$$

Արյունքում

$$I_{gg'} = N v_0 \int\limits_0^1 d\xi e^{i \cdot 2\pi n_1 \xi} \int\limits_0^1 d\eta e^{i \cdot 2\pi n_2 \eta} \int\limits_0^1 d\zeta e^{i \cdot 2\pi n_3 \zeta} = V \cdot \delta_{n_1, 0} \cdot \delta_{n_2, 0} \cdot \delta_{n_3, 0},$$

որը զրոյից տարրեր է միայն $n_1 = n_2 = n_3 = 0$ դեպքում, ինչը, համաձայն (5.27) արտահայտության, համարժեք է $g = g'$ հավասարությանը:

§6. Հակադարձ ցանցի հատկությունները: Միլերյան ցուցիչներ:

Հակադարձ ցանցի կառուցումը

Այժմ ծանրանանք հակադարձ ցանցի հատկություններին:

1. Հակադարձ ցանցի ցանկացած վեկտոր ուղարկացած է ուղիղ ցանցի որոշակի հարթությանների բազմությանը:

Հակադարձ ցանցի կամայական $g = hg_1 + kg_2 + lg_3$ վեկտորի և ուղիղ ցանցի որևէ $l = n_1 a_1 + n_2 a_2 + n_3 a_3$ վեկտորի արտադրյալը, համաձայն (5.23) առնչության, հավասար է

$$gl = 2\pi(hn_1 + kn_2 + ln_3) = 2\pi M , \quad (6.1)$$

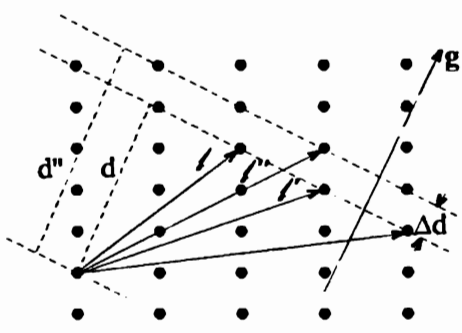
որտեղ M -ն ամբողջ թիվ է: Այսաւ կողմից

$$gl = |g| \cdot |l| \cdot \cos(\hat{gl}) = |g| \cdot d , \quad (6.2)$$

որտեղ $d = |l| \cos(\hat{gl})$ մեծությունը $|l|$ -ի պրոյեկցիան է g վեկտորի ուղղության վրա: (6.1) և (6.2) արտահայտություններից

$$d = \frac{2\pi M}{|g|} : \quad (6.3)$$

Այսպիսի պրոյեկցիա տնեն ուղիղ ցանցի անվերջ թվով l' վեկտորներ, որոնք որոշում են կոռդինատների սկզբնակետից d հեռավորության վրա գտնվող և g -ին ուղղահայաց հարթության մեջ գտնվող հանգույցները (նկ. I.29):



Նկ. I.29

Ստացանք Բրավեի ցանցի ատոմական հարթություններից մեկը, որն ըստ սահմանման, պարունակում է Բրավեի ցանցին պատկանող և մեկ ուղղի վրա չգտնվող առնվազն 3 հանգույց: Տեղափոխական համաշափության հետևանքով

այդպիսի ցանկացած ատոմական հարթություն պարունակում է անդիվ բազմությամբ հանգույցներ, որոնք կազմում են Բրավեի երկափ ցանց:

Ատոմական հարթությունների ընտանիք կոչվում է իրար գուգահեռ և իրարից հավասարակեռ ատոմական հարթությունների բազմությունը, որը պարունակում է Բրավեի եռաչափ ցանցի բղոք հանգույցները: Ակնհայտ է, որ Բրավեի ցանցը կարելի է բաժանել ատոմական հարթությունների ընտանիքների տարրեր ձևերով (նկ. I.30):

2. Եթե g վեկտորի բաղադրիչները չունեն ընդհանուր բաժանարար, ապա g -ին ուղղահայաց հարթությունների միջև հեռավորությունը հակադարձ համեմատական է նրա երկարությանը՝ $|g|$ -ին:

Համաձայն (6.1) և (6.2) առնչությունների, եթե h, k, l թվերը չունեն ընդհանուր բաժանարար, ապա միշտ կարելի է ընտրել ուղիղ ցանցի մի այնպիսի l'' վեկտոր, որ

$$gl'' = 2\pi(M+1) : \quad (6.4)$$

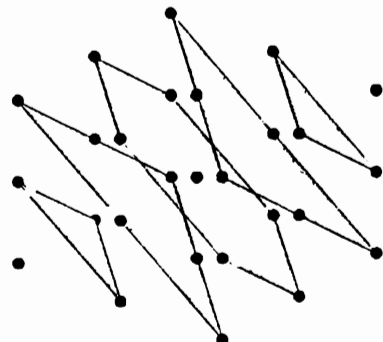
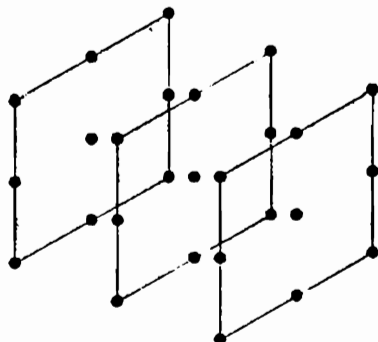
Սա նշանակում է, որ l'' վեկտորը տնեցող հանգույցը պատկանում է կոօրդինատների սկզբնակետից

$$d'' = \frac{2\pi(M+1)}{|g|} \quad (6.5)$$

Իեռավորության վրա գտնվող հարթությանը, որը հարեւան հարթությունից գտնվում է

$$\Delta d = d'' - d = \frac{2\pi}{|g|} \quad (6.6)$$

Իեռավորության վրա (նկ. I.29):



Նկ. I.30

1. և 2. հասկություններից հետևում է, որ ցանցի ատոմական հարթությունները կարելի է բնութագրել, տալով նրանց ուղղահայաց, հակադարձ ցանցին պատկանող g վեկտորները: Ատոմական հարթությունների նշանը հակադարձ ցանցի վեկտորների միջոցով համարժեք է բյուրեղագրության մեջ հայտնի միլերյան ցուցիչների տակտուն:

Իրոք, եթե g վեկտորը ուղղահայաց է որևէ ատոմական հարթության,

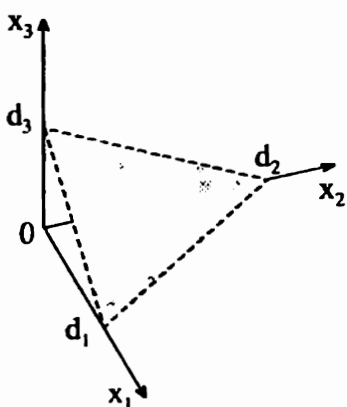
ապա այդ հարթության բոլոր հանգույցների համար աեղի ունի (6.1) պայմանը: Եթե վերցնենք այդ հարթության $n_2 = n_3 = 0$ կետը, որը պատկանում է x_1 առանցքին, ապա (6.1) առնչությունից կատանանք, որ $n_1 = M/h$, այսինքն՝ այդ հարթությունը x_1 առանցքից հատում է

$$d_1 = n_1 a_1 = \frac{M}{h} a_1 \quad (6.7)$$

երկարությամբ մի հատված: Նոյն ձևով կարելի է համոզվել, որ այն x_2 և x_3 առանցքներից հատում է համապատասխանաբար

$$d_2 = n_2 a_2 = \frac{M}{k} a_2 \quad \text{և} \quad d_3 = n_3 a_3 = \frac{M}{l} a_3 \quad (6.8)$$

երկարությամբ հատվածներ (նկ. I.31): (6.7) և (6.8) արտահայտություններից հետևում է, որ



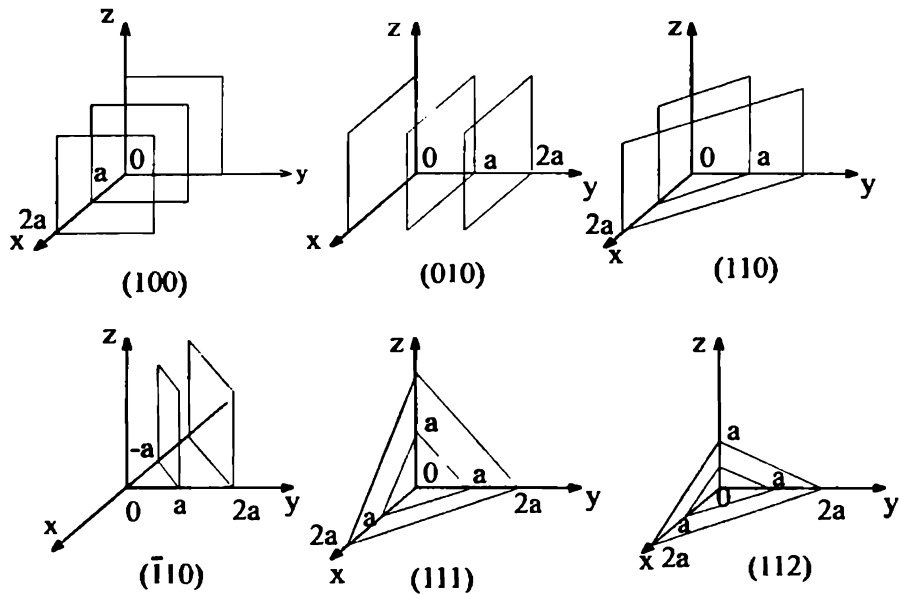
Նկ. I.31

$$\frac{d_1}{a_1} : \frac{d_2}{a_2} : \frac{d_3}{a_3} = \frac{1}{h} : \frac{1}{k} : \frac{1}{l}, \quad (6.9)$$

այսինքն՝ տվյալ ատոմական հարթության՝ կոորդինատական առանցքներից հատած հատվածները (արտահայտված համապատասխանաբար a_1, a_2, a_3 միավորներով) հակադարձ համեմատական են h, k, l քվերին, որոնք ընդհանուր բաժանարարով կրճատելուց հետո ներկայացնում են միլերյան ցուցիչները: Այսպիսով, որևէ ատոմական հարթության միլերյան ցուցիչները հակադարձ ցանցի ամենափոքր վեկտորի կոորդինատներն են, որն ուղղահայաց է տվյալ հարթությանը, այսինքն՝ h, k, l ցուցիչներով հարթությունն ուղղահայաց է հակադարձ ցանցի $g = 2\pi(hb_1 + kb_2 + lb_3)$ վեկտորին:

Ատոմական հարթությունները նշում են, փակագծերում տալով միլերյան ցուցիչներ՝ առանց ստորակետերի՝ (hkl), ցուցչի բացասական նշանը դրվում է վերևից, այսինքն՝ $-n$ -ի փոխարեն գրվում է \bar{n} :

Նման նշումներ օգտագործվում են նաև ուղիղ ցանցում ուղղությունների համար, սակայն միլերյան ցուցիչների հետ (որոնք որոշում են ուղղություն հակադարձ ցանցում) շշփոթելու համար օգտվում են քառակուսի փակազգերից: Օրինակ՝ խորանարդի տարածական անկյունազգծի ուղղությունն է $[111]$: Ըստիանուր դեպքում $I = n_1\alpha_1 + n_2\alpha_2 + n_3\alpha_3$ վեկտորն ընտրված կոորդինատական համակարգում ունի $[n_1n_2n_3]$ ուղղությունը:

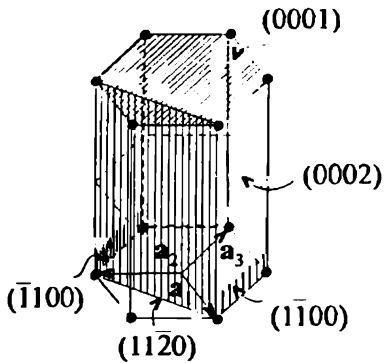


Նկ. I.32

Առաջական հարթությունների բոլոր ընտանիքները, որոնք իրար համարժեք են բյուրևայի համաչափության հետևանքով, նշվում են ձևավոր փակազգերով՝ $\{ \}$: Օրինակ՝ խորանարդային բյուրեղամ (100), (010), (001), ($\bar{1}00$), ($0\bar{1}0$), ($00\bar{1}$) հարթությունները նշվում են որպես $\{100\}$: Նման ձևով ֆիզիկորեն համարժեք ուղղությունների համար օգտագործում են անկյունային փակազգեր՝ $\langle \rangle$: Օրինակ՝ $\{100\}, [010], [001], [\bar{1}00], [\bar{0}\bar{1}0], [00\bar{1}]$

ուղղությունների ընտանիքը նշվում է որպես $<100>$: Նկ. I.32-ում տրված են մի քանի աստմական հարթություններ խորանարդային կառուցվածքով բյուրեղի համար:

Հեքսագոնալ բյուրեղներում աստմական հարթությունները բնյութագրեն-լու համար երեքի փոխարևեն օգտագործում են չորս թիվ՝ ($hkil$), որտեղ



Նկ. I.33

$i = -(h+k)$, որոնցից առաջին երեքը համապատախանում են վեցանիսատի եիմքի հարթության մեջ ընկած և իրար հետ 120° անկյուն կազմող a_1, a_2 և a_3 -ով ուղղված առանցքներից կտրած հասկածներին ($|a_1| = |a_2| = |a_3| = a$), իսկ չորրորդը՝ l -ը, համապատախանում է c -առանցքի վրա կտրած հասկածին, արտահայտված c -ուղղությամբ ցանցի հաստատունով (նկ. I.33): ($hkil$) նշանակումը հայտնի է որպես

«Ալիեր-Բրավեի ցուցիչներ»:

Կառուցենք մի քանի բյուրեղական ցանցերի հակադարձ ցանցերը:

1. Պարզ խորանարդային ցանց

Հիմնական վեկտորները սրբում են

$$a_1 = ai, \quad a_2 = aj, \quad a_3 = ak \quad (6.10)$$

արտահայտություններով, որտեղ i, j, k -ն միավոր վեկտորներ են: Համաձայն (5.21) բանաձևերի,

$$g_1 = 2\pi \frac{[a_2, a_3]}{(a_1[a_2, a_3])} = \frac{2\pi a^2 [j, k]}{a^3} = \frac{2\pi}{a} i, \quad (6.11)$$

$$g_2 = \frac{2\pi}{a} j, \quad g_3 = \frac{2\pi}{a} k,$$

այսինքն՝ հակադարձ ցանցը նույնպես պարզ խորանարդային է, որի հաստատունն է $2\pi/a$:

Վիզներ-Զեյտցի բջիջը, որը հակադարձ ցանցի դեպքում կոչվում է Բրիլյուտենի առաջին գոմա, սահմանափակված է հարթություններով, որոնք ուղղահայաց են հետևյալ վեց վեկտորներին՝

$$\pm \frac{1}{2} \mathbf{g}_1 = \pm \frac{\pi}{a} \mathbf{i}, \quad \pm \frac{1}{2} \mathbf{g}_2 = \pm \frac{\pi}{a} \mathbf{j}, \quad \pm \frac{1}{2} \mathbf{g}_3 = \pm \frac{\pi}{a} \mathbf{k} : \quad (6.12)$$

Ստացված վեց հարթությունները $2\pi/a$ կողով խորանարդի նիստերն են, իսկ նրա ծավալը հավասար է $(2\pi/a)^3$:

2. Ծավալակենտրոնացված խորանարդային ցանց

Հիմնական վեկտորները տրվում են (1.11) բանաձևերով՝

$$\mathbf{c}_1 = \frac{a}{2}(\mathbf{j} + \mathbf{k} - \mathbf{i}), \quad \mathbf{c}_2 = \frac{a}{2}(\mathbf{k} + \mathbf{i} - \mathbf{j}), \quad \mathbf{c}_3 = \frac{a}{2}(\mathbf{i} + \mathbf{j} - \mathbf{k}), \quad (6.13)$$

ուստի հակադարձ ցանցի հաստատումների համար կստանանք՝

$$\mathbf{g}_1 = \frac{2\pi}{a}(\mathbf{j} + \mathbf{k}), \quad \mathbf{g}_2 = \frac{2\pi}{a}(\mathbf{k} + \mathbf{i}), \quad \mathbf{g}_3 = \frac{2\pi}{a}(\mathbf{i} + \mathbf{j}), \quad (6.14)$$

ինչը տեսքով համընկնում է (1.20) արտահայտության եետ և որոշում է նիստակենտրոնացված ցանցի տարրական բջիջը: Այսպիսով, ծավալակենտրոնացված խորանարդային ցանցի հակադարձ ցանցը նիստակենտրոնացված խորանարդային ցանցն է:

Հակադարձ ցանցի ցանկացած վեկտոր կգրվի հետևյալ ձևով՝

$$\mathbf{g} = h\mathbf{g}_1 + k\mathbf{g}_2 + l\mathbf{g}_3 = \frac{2\pi}{a}[(h+l)\mathbf{i} + (h+k)\mathbf{j} + (k+l)\mathbf{k}] : \quad (6.15)$$

Զրոյից տարրեր և ամենակարճ վեկտորներն են՝

$$\frac{2\pi}{a}(\pm\mathbf{i} \pm \mathbf{j}), \quad \frac{2\pi}{a}(\pm\mathbf{j} \pm \mathbf{k}), \quad \frac{2\pi}{a}(\pm\mathbf{i} \pm \mathbf{k}) \quad (6.16)$$

լմդամենը 12 եատ: Ուտիո ցանցի տարրական բջիջի ծավալը հավասար է $a^3/2$, իսկ հակադարձ ցանցի տարրական բջիջնը, համաձայն (5.24) բանաձևի, հավասար է $2(2\pi/a)^3$:

Բրիլյուտենի առաջին գոման սակամանափակված է տասներկու հարթություններով, որոնք ուղղահայաց են (6.16) վեկտորներին, և իրենից ներկայացնում է կամոնավոր տասներկուսանիստ (ոռմբական դոդեկադոր, տես նկ. I.11, ա): Նիստերի կենտրոնները որոշվում են

$$\frac{\pi}{a}(\pm i \pm j), \quad \frac{\pi}{a}(\pm j \pm k), \quad \frac{\pi}{a}(\pm i \pm k) \quad (6.17)$$

Վեկտորներով:

3. Նիսաւակենարդացված խորանարդային ցանց

Ուղիղ ցանցի հիմնական վեկտորները արվում են (1.20) արտահայտություններով՝

$$c_1 = \frac{a}{2}(j+k), \quad c_2 = \frac{a}{2}(k+i), \quad c_3 = \frac{a}{2}(i+j), \quad (6.18)$$

ուստի հակադարձ ցանցի հիմնական վեկտորների համար (5.21) բանաձևերից կստանանք՝

$$g_1 = \frac{2\pi}{a}(-i+j+k), \quad g_2 = \frac{2\pi}{a}(i-j+k), \quad g_3 = \frac{2\pi}{a}(i+j-k), \quad (6.19)$$

ինչը տեսքով համընկնում է ծավալակենտրոնացված ցանցի հիմնական վեկտորների հետ: Այսպիսով, նիստավակենտրոնացված խորանարդային ցանցի հակադարձ ցանցը ծավալակենտրոնացված ցանցն է: Տարրական բջջի ծավալը, համաձայն (5.24) բանաձևի, հավասար է $4(2\pi/a)^3$:

Հակադարձ ցանցի վեկտորները արվում են

$$g = hg_1 + kg_2 + lg_3 =$$

$$= \frac{2\pi}{a} [(h-k+l)i + (h+k-l)j + (-h+k+l)k] \quad (6.20)$$

բանաձևով, որտեղ h, k, l -ը կամայական ամբողջ թվեր են: Զրոյից տարրեր ամենափոքր վեկտորներն են եեւևալ ուր վեկտորները՝

$$\frac{2\pi}{a}(\pm i \pm j \pm k) : \quad (6.21)$$

Բրիլյուտնի առաջին գոնան առաջանում է (6.21) վեկտորներին ուղղահայաց ուր հարթություններով կազմված ուրանիստի գազաքները

$$\frac{2\pi}{a}(\pm 2i), \quad \frac{2\pi}{a}(\pm 2j), \quad \frac{2\pi}{a}(\pm 2k) \quad (6.22)$$

Վեկտորներին ուղղահայաց և նրանց կիսող վեց հարթություններով հատելիս: Արդյունքում ստացվում է «հատված ուրանիստ», որն իրենից ներկայացնում է տասնչորսանիստ (տես նկ. I.11, բ):

4. Հեքսագոնալ ցանց

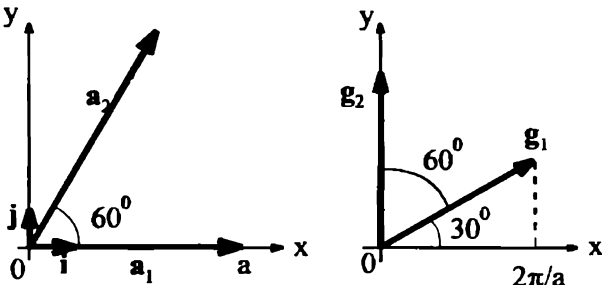
Ուղիղ ցանցի հիմնական վեկտորները տրվում են (4.1) արտահայտություններով՝

$$\mathbf{a}_1 = a\mathbf{i}, \quad \mathbf{a}_2 = \frac{a}{2}\mathbf{i} + \frac{\sqrt{3}a}{2}\mathbf{j}, \quad \mathbf{a}_3 = c\mathbf{k}, \quad (6.23)$$

ուստի հակադարձ ցանցի հիմնական վեկտորների համար (5.21) բանաձևից կստանանք՝

$$\mathbf{g}_1 = \frac{2\pi}{a} \left(\mathbf{i} + \frac{1}{\sqrt{3}} \mathbf{j} \right), \quad \mathbf{g}_2 = \frac{4\pi}{a\sqrt{3}} \mathbf{j}, \quad \mathbf{g}_3 = \frac{2\pi}{c} \mathbf{k}: \quad (6.24)$$

Դժվար չէ համոզվել, որ $|\mathbf{g}_1| = |\mathbf{g}_2| = 4\pi/a\sqrt{3}$, այսինքն՝ պարզ հեքսագոնալ ցանցի հակադարձ ցանցը նույնական պարզ հեքսագոնալ կառուցվածք է, որի \mathbf{g}_1 և \mathbf{g}_2 հիմնական վեկտորները 30° -ով պատճենած են \mathbf{k} ուղղության շուրջը (նկ. I.34):



Նկ. I.34

Հակադարձ ցանցի տարրական բջջի ծավալը՝

$$\Omega_0 = (\mathbf{g}_1 [\mathbf{g}_2, \mathbf{g}_3]) = \frac{2(2\pi)^3}{\sqrt{3} \cdot ca^2}, \quad (6.25)$$

իսկ ուղիղ ցանցի բջջինը՝

$$v_0 = \frac{(2\pi)^3}{\Omega_0} = \frac{\sqrt{3}}{2} a^2 c : \quad (6.26)$$

§7. Դիֆրակցիան բյուրեղական կառուցվածքներում

Բյուրեղների կառուցվածքային ուսումնասիրություններում օգտագործվում է ալիքների դիֆրակցիայի երևոյթը, որը դրսնորվում է առավել ցայսուն, երբ ընկնող ալիքի երկարությունը միջաստմական հեռավորությունների կարգի է: Ակզրունքուն կառուցվածքային հետազոտություններում կարելի է օգտագործել ցանկացած տեսակի ճառագայթում՝ ֆուտուններ, նեյտրոններ, էլեկտրոններ և այլ մասնիկների հոսքը:

Համաձայն դր Բրոյլի վարկածի, p իմպուլսով մասնիկին վերագրվում է

$$\lambda = \frac{h}{p} \quad (7.1)$$

Երկարությամբ ալիք, $h = 6,62 \cdot 10^{-34}$ էրգ·Վ Պլանկի հաստատունն է: Եթե ճառագայթումն իրենից ներկայացնում է m զանգվածով ոչ ուստաժիվատական մասնիկների հոսք, ապա դր Բրոյլի ալիքի երկարությունը՝

$$\lambda = \frac{h}{\sqrt{2m\varepsilon}} , \quad (7.2)$$

որտեղ ε -ն մասնիկի կիմետրիկ էներգիան է: Էլեկտրոնների համար (7.2) արտահայտությունից ստացվում է հետևյալ գնահատականը՝

$$\lambda \approx \frac{12}{\varepsilon^{1/2}} , \quad (7.3)$$

որտեղ λ -ն չափված է անգստրեմներով, իսկ էներգիան՝ էլեկտրոն-վոլտերով (1 էՎ = $1,6 \cdot 10^{-19}$ էրգ): Ցանցի հաստատունի կարգի ալիքի երկարություններ ստացվում են $\varepsilon \sim 100$ էՎ կարգի էներգիաների համար: Քանի որ էլեկտրոններն ունեն լիցք, նրանք ուժեղ փոխազդում են նյութի հետ և բյուրեղի մեջ խոր բափանցել չեն կարող: Այս պատճառով էլեկտրոնների դիֆրակցիայի մեթոդով հիմնականում ուսումնասիրում են բարակ բաղանքները, ինչպես նաև զանգվածեղ նմուշների մակերևութային շերտերը:

Նեյտրոնների դր Բրոյլի ալիքի երկարության համար (7.2) արտահայտությունից ստացվում է հետևյալ գնահատականը՝

$$\lambda \approx \frac{0,28}{\varepsilon^{1/2}} , \quad (7.4)$$

համաձայն որի $\lambda \sim 1\text{ Å}$, եթ $\varepsilon \approx 0,08\text{ eV}$ (ջերմային նեյտրոններ):

Ի տարբերություն էլեկտրոնների և ֆոտոնների, նեյտրոնները ցրվում են ատոմների միջուկների վրա և տեղեկություններ են տալիս բյուրեղի ատոմական կառուցվածքի մասին:

Նեյտրոններն ունեն մազնիսական մոմենտ, ուստի նեյտրոնային փոշոցով հաջողությամբ ուսումնասիրվում է մազնիսական բյուրեղների կառուցվածքը:

Էլեկտրամագնիսական ճառագայթման ալիքի երկարության կախումն էներգիայից նույնպես տրվում է (7.1) բանաձևով, որտեղ $p = \hbar\omega/c$ ($\hbar = h/2\pi = 1,05 \cdot 10^{-27}\text{ eV}\cdot\text{c}$)

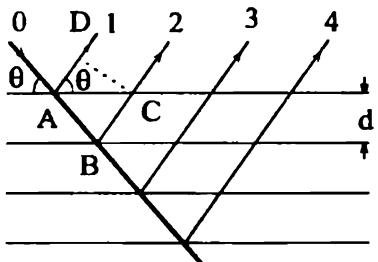
$$\lambda = \frac{12,4}{\varepsilon},$$

որտեղ λ -ն չափվում է անգստրևմներով, իսկ էներգիան՝ կէՎ-երով: $\lambda \sim 1\text{ Å}$ երկարությունների համար ε -ն մի քանի տասնյակ կէՎ կարգի մեծություն է, ինչը համապատասխանում է ճառագայթման ունտգենյան տիրույթին:

Ունտգենյան ճառագայթման լայն կիրառությունը նյութի կառուցվածքային հետազոտություններում պայմանավորված է նյութի հետ նրա բոլոր փոխագոյնեցությամբ, ինչի շնորհիվ ունտգենյան ճառագայթման կարող են բափանցել նմուշի ողջ ծավալի մեջ և տալ տեղեկություններ նրա բաղադրության և կառուցվածքի մասին: Ի տարբերություն նեյտրոնների, ունտգենյան ճառագայթման ցրվում են էլեկտրոնների վրա (միջուկների մեծ զանգվածի հետևանքով ցրումը նրանց վրա կարելի է արեամարել), ի հայտ բերելով նմուշում էլեկտրոնների տարածական բաշխման օրինաշափությունները:

Ուսումնասիրենք ունտգենյան ճառագայթման դիֆրակցիայի երևոյթը բյուրեղական կառուցվածքներում:

Համաձայն Ու.Բրեզի, բյուրեղի վրա ընկնող ունտգենյան ալիքները հայելային ձևով անդրադառնում են իրար գուգահեռ ատոմական հարթություններից, ընդ որում յուրաքանչյուր հարթությունից անդրադառնում է ընկած ճառագայթման շնչին մասը: Որևէ ուղղությամբ դիֆրակցված փունջը հնարավոր է դիտել, եթե այդ ուղղությամբ զնացող և տվյալ ատոմական հարթությունների ընտանիքի յուրաքանչյուր հարթությունից անդրադար-



Նկ. I.35

ճած երկրորդային ալիքներն իրար ուժնեցնում են, այսինքն՝ հարևան եարբույթուններից անդրադարձած ալիքների ընթացքների տարբերությունը հավասար է ամբողջ թվով ալիքի երկարության (նկ. I.35): Եթե d -ն հարբույթունների միջև հեռավորությունն է, ապա 1 և 2 անդրադարձած ալիքների միջև ընթացքների տարբերությունը՝

$$AB + BC - AD = 2d \sin \theta,$$

որտեղ θ անկյունը հաշվում է ատոմական հարբույթունից:

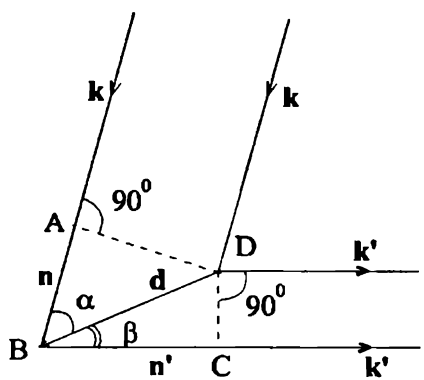
Անդրադարձան ինտերֆերենցիոն մաքսիմումի անհրաժեշտ պայմանը կզրկի

$$2d \sin \theta = n\lambda, \quad n = 1, 2, 3, \dots \quad (7.6)$$

տեսքով, որն իրենից ներկայացնում է բներքի օրենքը (պայմանը): Այն ենտևանք է բյուրեղական ցանցի պարբերականության: Համաձայն (7.6) պայմանի, բրեգյան անդրադարձան հնարավոր է միայն այն ալիքների համար, որոնց երկարությունը՝ $\lambda \leq 2d$:

Դիֆրակցիայի երևոյթի նկարագրությունը կարելի է տալ նաև այլ՝ Մ.Լառնի ձևակերպմամբ, որի շրջանակներում հատկապես ցայտունորեն է դրսևաբվում հակադարձ ցանցի գաղափարի կարևորությունը և օգտակարությունը:

Հստ Լառնեի, ցանցի բոլոր I համգույցներում տեղադրված են նույնական օբյեկտներ (ատոմներ, իոններ կամ նրանց խմբեր), որոնք իրենց վրա ընկնող ճառագայթումը



Նկ. I.36

ցրում են բոլոր ուղղություններով: Տրված ալիքի երկարության համար ինտերֆերենցիոն մաքսիմումներ ստացվում են այն ուղղություններով, որոնց գնացող ալիքներն իրար ուժնեցնում են:

Դիտարկենք երկու ցրող կենտրոն, որոնք իրար նկատմամբ շեղված են \mathbf{d} վեկտորով (նկ. I.36): B և D կենտրոնների ցրած ալիքների ընթացքների տարրերությունը՝

$$AB + BC = d \cos\alpha + d \cos\beta = d(n - n') , \quad (7.7)$$

որտեղ n -ը և n' -ը միավոր վեկտորներ ներկայացնելով ընկնող և ցրված ալիքների տարածման ուղղություններով, հավասարեցնենք ամբողջ թվով ալիքի երկարության՝ $m\lambda$: Նկատի ունենալով ցրման առաջական բնույթը՝ $|k| = |k'|$, ինչպես նաև ալիքի երկարության և ալիքային վեկտորի միջև կապը՝

$$k = \frac{2\pi}{\lambda} n, \quad k' = \frac{2\pi}{\lambda} n' , \quad (7.8)$$

(7.7) և (7.8) առնչություններից կստանանք՝

$$d(k - k') = 2\pi m, \quad m = \pm 1, \pm 2, \pm \dots : \quad (7.9)$$

Եթե ցրող կենտրոնների թիվն անվերջ մեծ է, ապա (7.9) պայմանը պետք է միաժամանակ տեղի ունենա բոլոր d վեկտորների համար, որոնք պատկանում են Բրավեի ցանցի I վեկտորների բազմությանը, այսինքն՝

$$I(k - k') = 2\pi m, \quad m = \pm 1, \pm 2, \pm \dots : \quad (7.10)$$

Դժվար չէ տևսնել, որ (7.10) պայմանը նույնաբար համընկնում է հակադարձ ցանցը որոշող (5.14) հավասարման հետ, ինտեղաբար $k - k'$ տարրերությունը պետք է հավասար լինի հակադարձ ցանցի վեկտորի՝ $k - k' = g$: Այս պայմանը (Լատե)՝

$$k - k' = g , \quad (7.11)$$

կարելի է տալ նաև այլ տեսքով, եթե նկատի ունենանք, որ $|k| = |k'|$.

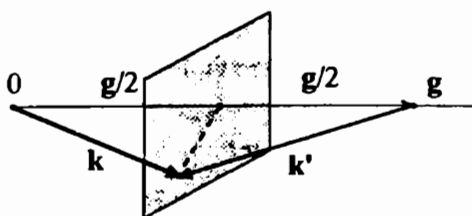
$$k - g = k' \text{ կամ } |k - g| = |k| : \quad (7.12)$$

(7.12) հավասարությունը բարձրացնելով քառակուսի, կստանանք՝

$$k n_s = \frac{1}{2} g , \quad (7.13)$$

որտեղ n_s -ն միավոր վեկտոր է g -ի ուղղությամբ: (7.13) առնչությունից բխում է, որ k վեկտորի ալեգրեցիան g վեկտորի ուղղության վրա հավասար է $g/2$: Երկրաչափորեն (7.13) պայմանը նշանակում է, որ k վեկտորի

ծայրը գտնվում է g վեկտորին ուղղահայաց և այն կիսող հարթության մեջ (նկ. I.37): k -տարածության մեջ գտնվող այս հարթությունները կոչվում են բրեզյան:



Նկ. I.37

Դիֆրակցիայի Բրեզի (7.6) և Լառնի (7.11) պայմանների համարժեքությունը կարելի է ցույց տալ, օգտվելով հակադարձ ցանցի համար ֆ6-ում ստացված 2. հատկությունից, համաձայն որի հակադարձ ցանցի ամենափոքր, ոչ զրոյական վեկտորի մեծությունը $2\pi/d$ է, որտեղ d -ն ատոմական հարթությունների միջև հեռավորությունն է: Այս վեկտորին գուգակեռ բոլոր վեկտորներն ունեն $n(2\pi/d)$ երկարություն: Մյուս կողմից, ըստ (7.12) հավասարման՝

$$g = 2k \sin \theta = \frac{2\pi}{d} n : \quad (7.14)$$

Նկատի ունենալով նաև, որ $k = 2\pi/\lambda$, (7.14) արտահայտությունից կստանանք դիֆրակցիայի Բրեզի (7.6) պայմանը:

Եթե տարրական քչիցն ունի միևնույն ատոմներից բաղկացած բազիս, ապա անհրաժեշտ է հաշվի առնել նաև բազիսի ատոմների (իոնների) վրա ցրված ալիքների ինտերֆերենցը: Եթե բրեզյան մաքսիմումին համապատասխանում է ալիքային վեկտորի $k' - k = K$ փոփոխություն, ապա d_i և d_j կետերում ցրված ալիքների փուլերը կտարբերվեն $\exp[iK(d_i - d_j)]$ արտադրիչով, ինտևաբար, ամբողջ քչի կողմից ցրված ալիքների վերադրման ինտևանքով առաջացած ալիքի ամպլիտուդը կալարանակի

$$S_K = \sum_{j=1}^n \exp(iKd_j) \quad (7.15)$$

արտադրիչը, որտեղ n -ը բազիսում ատոմների թիվն է: S_K մեծությունը կոչվում է երկրաշափական կառուցվածքային գործոն և ցույց է տալիս, թե բազիսի ատոմների վրա ցրված ալիքների ինտենժնությունը որքան է փոքրացնում K վեկտորով որոշված բրեզյան մաքսիմումի ինտենժությունը, որը համեմատական է $|S_K|^2$ մեծությանը: Առանձնահատուկ կարևորություն են ներկայացնում այն դեպքերը, եթե $S_K = 0$:

Չննարկենք մի օրինակ: Ծավալակենտրոնացված խորանարդային ցանցը կարելի է դիտարկել նաև որպես $\alpha i, \alpha j, \alpha k$ հիմնական վեկտորներով պարզ խորանարդային ցանց, որի հետ կապված է $d_1 = 0$ և $d_2 = \alpha(i + j + k)/2$ վեկտորներով բազիս: Պարզ խորանարդային ցանցի հակադարձ ցանցը նույնապես պարզ խորանարդային է՝ $2\pi/\alpha$ կողով, սակայն այժմ յուրաքանչյուր բրեզյան անդրադարձման համապատասխանում է S_K կառուցվածքային գործոն: Համաձայն (7.15) սահմանման՝

$$S_K = \sum_{j=1}^2 \exp(i K d_j) = 1 + \exp(i K d_2) = 1 + \exp\left[i \cdot \frac{\alpha}{2} K(i + j + k)\right]: \quad (7.16)$$

Հակադարձ ցանցի K վեկտորը, համաձայն (6.11) արտահայտության, ունի հետևյալ տեսքը՝

$$K = \frac{2\pi}{\alpha}(n_1 i + n_2 j + n_3 k), \quad (7.17)$$

որտեղ n_1, n_2, n_3 -ը կամայական ամբողջ թվեր են: (7.16) և (7.17) արտահայտություններից կստանան՝

$$S_K = 1 + \exp[i\pi(n_1 + n_2 + n_3)] = \begin{cases} 2, & n_1 + n_2 + n_3 = 2m, \\ 0, & n_1 + n_2 + n_3 = 2m+1, \end{cases} \quad (7.18)$$

($m = 0, 1, 2, \dots$): Հետևաբար, այն հանգույցները, որոնց կոօրդինատների գումարը՝ արտահայտված $2\pi/\alpha$ հիմնական միավորներով, կենտ է, բրեզյան անդրադարձումներ չեն տալիս: Արյունքում պարզ խորանարդային հակադարձ ցանցը վերածվում է նիստակենտրոնացված ցանցի, որը և կստացվեր հենց սկզբից, եթե ծավալակենտրոնացված ցանցը դիտվեր ոչ թե որպես բազիսով, այլ Բրավեի ցանց:

Եթե բազիսի ատոմները նույնական չեն, ապա երկրաշափական կառուցվածքային գործոնի փոխարեն մտցվում է մի նոր մեծություն՝ կառուցվածքային գործոնը

$$\tilde{S}_K = \sum_{j=1}^n f_j(K) \exp(i K d_j) \quad . \quad (7.19)$$

արտահայտությամբ, որտեղ ցրման ատոմային գործոնը՝ $f_j(K)$ -ն, հաշվի է առնում էլեկտրոնների տարածական բաշխումը j -րդ ատոմում: Եթե նշանակենք $A(t)$ -ով մտովի ատոմի կենտրոնում տեղադրված էլեկտրոնի կողմից ցրված ունտգենյան ալիքի ամպլիտուդը որոշակի ուղղությամբ, ատոմից մեծ հեռավորության վրա, ապա r կետում գտնվող $n(r)dr$ էլեկտրոնների կողմից ցրված ալիքի ամպլիտուդը նույն ուղղությամբ համեմատական կլինի $n(r)dr \cdot \exp(iKr)$ մեծությանը (տես (7.7), (7.8) և (7.11) արտահայտությունները), որտեղ $n(r)$ -ը էլեկտրոնների խտությունն է ատոմում: j -րդ ատոմի բաղր էլեկտրոնների կողմից ցրված ալիքի ամպլիտուդը՝

$$A_j(t) = A(t) \cdot \int n_j(r) e^{iKr} dr : \quad (7.20)$$

Հստ սահմանման՝

$$f_j(K) = \frac{A_j(t)}{A(t)} = \int n_j(r) e^{iKr} dr , \quad (7.21)$$

որն էլեկտրոնների խտության ֆուրյե-բաղադրիչն է: Եթե ենթադրենք, որ ցանցում գտնվող ատոմը չի տարբերվում ազատ ատոմից, և նրանում լիցքի բաշխումն օժտված է գնդային համաչափությամբ, ապա (7.21) բանաձևից, բայց անկյունների ինտեգրումից հետո, կստանանք՝

$$f_j(K) = 4\pi \int_0^\infty r^2 n_j(r) \frac{\sin Kr}{Kr} dr , \quad (7.22)$$

որտեղ, ըստ (7.13) բանաձևի

$$K = 2k \sin \theta \equiv \frac{4\pi \sin \theta}{\lambda} : \quad (7.23)$$

Նկ. I.38-ում պատկերված է $f_j(K)$ ատոմային գործոնի վարքը, կախված $\sin \theta / \lambda$ փոփոխականից նատրիումի ատոմի համար (նատրիումի կարգա-

Քիվը՝ $Z = 1$): Եթե $\sin \theta / \lambda \rightarrow 0$ (կամ $\theta \rightarrow 0$, այսինքն՝ ցրումներ չկան, կամ $\lambda \rightarrow \infty$, բռոր էլեկտրոնները տատանվում են միևնույն փուլում)

$$\frac{\sin Kr}{Kr} = \frac{\sin(4\pi r \sin \theta / \lambda)}{4\pi r \sin \theta / \lambda} \rightarrow 1$$

և

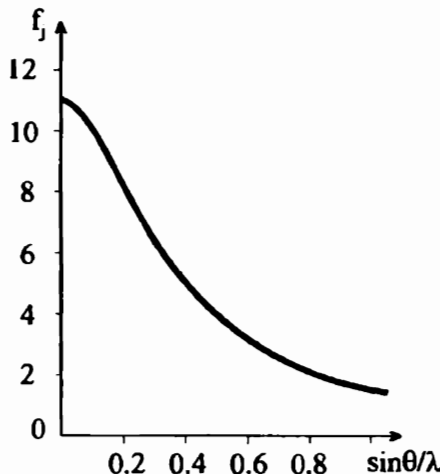
$$f_j(K) = 4\pi \int_0^{\infty} r^2 n_j(r) dr = Z_j : \quad (7.24)$$

Նույն արդյունքը կստացվի, եթե ենթադրենք, որ ատոմի բռոր էլեկտրոնները գտնվում են նրա կենտրոնում, այսինքն՝ (7.21) արտահայտության մեջ տեղադրենք

$$n_j(r) = Z_j \delta(r). \quad (7.25)$$

որտեղ $\delta(r)$ -ը Դիրակի «զելտա» ֆունկցիան է:

Այսպիսով, գալիս ենք այն եզրակացության, որ ատոմի վերջավոր շափերով պայմանավորված ինտերֆերենցիյն երևոյթները փոքրացնում են ատոմի՝ որպես ամրողություն ցրման ունակությունը, ինչն առավել ցայտուն ի հայտ է գալիս ատոմի շափերի կարգի և ավելի փոքր ալիքի երկարությունների համար: Զանի որ



Նկ. I.38

դիֆրակցված ճառագայթման ինտենսիվությունը համեմատական է $|\tilde{S}_K|^2$

մեծությանը, ապա այն զգալի կլինի միայն այն դեպքում, եթե կառուցվածքային գործոնը տարբեր է զրայից, իսկ ցրման ատոմային գործոնի արժեքը մոտ է տվյալ բյուրեղի համար հնարավոր առավելագույն արժեքին:

ԿԱՊԵՐԻ ՏԵՍԱԿՆԵՐԸ ԲՅՈՒՐԵԴՆԵՐՈՒՄ

§1. Բյուրեղական մարմինների դասակարգումը

Բյուրեղների դասակարգման վերը քննարկված սխեմայի հիմքում ընկած են բյուրեղական կառուցվածքների համաչափության հատկությունները: Այդպիսի դասակարգումն արտահայտում է պինդ մարմինների միայն երկրաչափական համաչափությունը, սակայն հաշվի չի առնում այն լարուրագույն կառուցվածքային առանձնահատկությունները, որոնք պայմանավորում են նրանց ֆիզիկական հատկությունները: Այդ է պատճառը, որ բոլոր բյուրեղական համակարգերում էլ կան տարբեր մեխանիկական, էլեկտրական, օպտիկական և այլ հատկություններ ունեցող բյուրեղներ:

Պինդ մարմինների տարբեր տեսակների միջև գոյություն ունեցող տարբերությունները են տևանք են նրանցում իդնների և արժեքական (վալենտական) էլեկտրոնների տարածական բաշխման: Վերջինն էապես տարբերվում է մեկուսացված ատոմում գոյություն ունեցող բաշխումից:

Կապը պինդ մարմինը կազմող մասնիկների միջև հիմնականում պայմանավորված է էլեկտրոնների և դրականապես լիցքավորված միջուկների միջև գրգռող կուլոնյան փոխազդեցության ուժերով: Կայուն կապի առաջացումը ենթադրված է, որ ցանցի հանգույցներում գտնվող մասնիկների և արժեքական էլեկտրոնների փոխազասավորությանը համապատասխանող էներգիան ավելի փոքր է, քան ցանկացած այլ փոխազասավորության էներգիան, այդ բվում և այն, որի դեպքում բոլոր ատոմներն իրարից անվերջ հեռավորությունների վրա են գտնվում:

Կապի քանակական բնութագիրը կապի էներգիան է, որը սահմանվում է որպես մեկուսացված ատոմների համակարգի պոտենցիալ էներգիայի (U_{∞}), կապված համակարգի պոտենցիալի էներգիայի (U) և մասնիկների տևղայնացումով պայմանավորված այսպես կոչված «զրոյական» կինետիկական էներգիաների (T_0) տարրերություն:

$$\Delta U = U_{\infty} - U - T_0 : \quad (1.1)$$

Եթե նմուշը բաղկացած է M , զանգվածով N , իոններից և m զանգվածով ազատ N_e էլեկտրոններից, ապա, օգտվելով անորոշությանների առնչությունից, նրանց գրայական կիմնետիկական էներգիաների հարաբերության համար կստանանք՝

$$\gamma = \frac{T_{0e}}{T_{0i}} = \frac{N_e p_e^2 / m}{N_i p_i^2 / M_i} = \frac{N_e M_i}{N_i m} \left(\frac{\Delta a}{L} \right)^2, \quad (1.2)$$

որտեղ Δa -ն (L -ը) իոնի (էլեկտրոնի) տևղայնացման տիրույթի զծային չափն է: Եթե ընդունենք, որ $\Delta a \leq a \sim 10^{-8}$ սմ (a -ն ցանցի հաստատունն է), իսկ $L \sim 1$ սմ (ազատ էլեկտրոնները կարող են գտնվել 1 սմ³ ծավալով նմուշի ցանկացած կետում), $N_i \sim N_e$ և $M_i \sim 10^4 \div 10^5 m$, ապա $\gamma \sim 10^{-12} \div 10^{-11}$: Այսպիսով, իոնների ուժեղ տևղայնացման հետևանքով էիմնական ներդրումը գրայական տատանումների էներգիայում պայմանավորված է իոններով $T_0 \simeq T_{0i}$:

Զրոյական տատանումները զգալի դեր կարող են խաղալ համեմատաբար թերև միջուկներից կազմված բյուրենուրում: Մասնավորապես, զրոյական տատանումների, ինչպես նաև բույլ փոխազդեցության հետևանքով հեղուկ հելիումը չի բյուրենանում մթնոլորտային ճնշման տակ անգամ 0K-ում⁹⁾ (հեղուկ Հե³-ը բյուրենանում է $p \geq 33$ մբն., իսկ հեղուկ Հե⁴-ը $p \geq 26$ մբն. ճնշման տակ): Մնացած դեպքերում (1.1) արտահայտության մեջ T_0 անդամն արեամարեելու հետևանքով առաջացող սխալը չի գերազանցում 1%-ը, ուստի կարելի է ընդունել, որ

$$\Delta U \simeq U_\infty - U_0 : \quad (1.3)$$

(1.1) արտահայտության մեջ T_0 անդամի արեամարեելու համարժեք է այն ենթադրությանը, որ իոնները (ատոմները) դասական մասնիկներ են:

Ընդունված է կապի էներգիան չափել կկալ/մոլ միավորներով կամ մեկ մոլեկուլին բաժին ընկնող էներգիայով՝ արտահայտված $1 \text{ к.} \cdot \text{երով.} \cdot 1 \text{ к.} \cdot \text{մ} \approx 23,05 \text{ ккал/մոլ}$:

Պինդ բյուրենական մարմիններն ըստ նրանցում էլեկտրոնների տարածական բաշխման, բաժանվում են հետևյալ տեսակների՝

⁹⁾ Նշված պայմաններում $\Delta U < 0$

ա) մոլեկուլային բյուրեղներ

բ) խմային բյուրեղներ

զ) կովալենտ բյուրեղներ

դ) մետաղներ

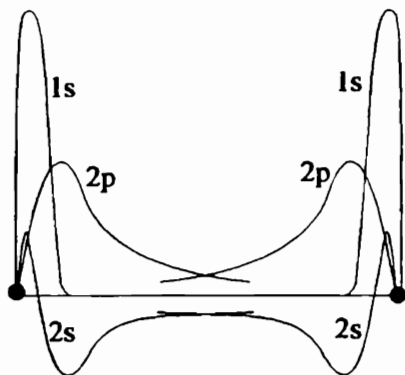
ե) ջրածնային կապով բյուրեղներ:

Համառոտակի թվարկենք նշված տեսակների յուրահատկությունները:

ա) *Մոլեկուլային բյուրեղներ*

Այս դասի բնութագրական ներկայացուցիչներն են իներտ գազերի բյուրեղները:

Ինչպես հայտնի է, իներտ գազերի ատոմներն ունեն լրացված (փակ) արտաքին էլեկտրոնային քաղանք:



Նկ. II.1

Ազատաքին էլեկտրոնային քաղանք: Ազատ ատոմում էլեկտրոնների տարածական բաշխումն օժտված է զնդային համաչափությամբ, որը գործնականորեն մնում է անփոփոխ նաև բյուրեղում գտնվող ատոմում: Նկ. II.1-ում պատկերված է ներճի (էլեկտրոնային փոխասավորությունը՝ $1s^2 2s^2 2p^6$) շառավղային $r\psi(r)$ ալիքային ֆունկցիան երկու հարևան հանգույցների համար: Ինչպես երեսում է զծագրից, և 2p, և 2s վիճակները թույլ չափով են «ծածկվում»:

Այս դասի բյուրեղների համար հաստկանշական է ատոմների խիտ դարսվածքը: Բացի He^3 և He^4 իզոտոպներից, բոլոր իներտ գազերի բյուրեղներն ունեն նիտուակենտրոնացված խորանարդային ցանց: Սեկուսիչներ են, ունեն կապի փոքր էներգիաներ և հալման ցածր ջերմաստիճաններ (*Ալյուսակ II.1*):

Ըստ մազնիսական հատկությունների դիամագնիաներ են: Բացի իներտ գազերի բյուրեղներից, այս դասին են պատկանում նաև H_2 , O_2 , N_2 , HCl , HBr , Cl_2 , NH_3 , CO_2 , CH_4 և բազմաթիվ այլ օրգանական միացությունների բյուրեղներ:

	Ցանցի հաստատուն, λ	Կապի էներգիա, էՎ/ատոմ	Հալման ջերմաստիճան, K	Իոնացման պոտենցիալ, էՎ
He	—	—	—	24,58
Ne	3,13	0,02	24	21,56
Ar	3,76	0,08	84	15,76
Kr	4,01	0,116	117	14,00
Xe	4,35	0,17	161	12,13

բ) Իոնային բյուրեղներ

Իոնային բյուրեղները կազմված են մետաղական և ոչ մետաղական տարրերից: Այս դասի բնութագրական ներկայացուցիչներն են A^+B^{VII} խմբի միացությունները (օրինակ՝ LiF , $NaCl$, KBr և այլն): $NaCl$ -ի օրինակով պարզենք, թե ինչպես են առաջանում իոնային բյուրեղները:

Առաջին խմբի մետաղներն ունեն համեմատաբար փոքր իոնացման պոտենցիալ, որն իրենից ներկայացնում է շեղոք ատոմից էլեկտրոն պոկելու և անվերջություն հեռացնելու համար աներաժեշտ էներգիան: Եթե հալոգենի, օրինակ՝ քլորի (Cl^-) շեղոք ատոմը մոտենում է մետաղի, օրինակ՝ նատրիումի (Na) ատոմին, ապա այն դեպի իրեն է ծգում վերջինիս համեմատաբար քոյլ կապված արժեքական էլեկտրոնը, առաջացնելով կայուն Cl^- իոն: Լրացուցիչ էլեկտրոնի կապի էներգիան (այսպես կոչված «իմանակցության» էներգիան) Cl^- իոնի համար հավասար է $\sim 3,6$ էՎ, իսկ Na^+ իոնացման պոտենցիալը $\sim 5,1$ էՎ: Այսպիսով, Na^+ -ի և Cl^- -ի շեղոք ատոմներից շփոխազդող, այսինքն՝ իրարից անվերջ հեռու գտնվող իոններ ստանալու համար պահանջվում է $(5,1-3,6)$ էՎ $= 1,5$ էՎ էներգիա: Սակայն եթե նկատի ունենանք Na^+ և Cl^- իոնների կոլունյան փոխազդեցության էներգիան, որը $\sigma \sim 2,8 \text{ \AA}$ հեռավորության դեպքում կազմում է $-e^2/a \approx -5,1$ էՎ, ապա Na^+Cl^- մոլեկուլին բաժին ընկնող էներգիայի համար կստանանք

(-5,1+1,5) էՎ \approx -3,6 էՎ: Հետևաբար, իրարից անվերջ հեռու գտնվող չեզոք ատոմների գայությունն էներգիական տեսակետից ավելի ծեռնտու է, քան խոններինը:

Մետաղի ատոմի արժեքական էլեկտրոնը հալոգենի ատոմին անցնելու հետևանքով առաջանում են մետաղի դրական և հալոգենի բացասական խոններ, որոնցում էլեկտրոնային փոխադասավորությունը համապատասխանում է n^2np^6 լրացված էլեկտրոնային քաղանքներին:

Աղյուսակ II.2

Բյուրեղ	Կապի էներգիա, էՎ/մ
LiF	10,51
NaCl	7,92
KBr	6,88
RbI	6,29

Խոնինը՝ $1s^22s^22p^63s^23p^6$, որը համապատասխանում է արգոնի (**Ar**) ատոմին: Բյուրեղում գտնվող խոններում լիցքի բաշխումը զործնականորեն չի տարբերվում համապատասխան իներտ տարրի ատոմում լիցքի բաշխումից, որն օժտված է զնողային համաշավությամբ: Դրական և բացասական խոնների միջև գործող կուլոնյան ձգողության շնորհիվ էլ առաջանում է խոնային բյուրեղը:

Խոնային բյուրեղները հիմնականում ունեն նիստակենտրոնացված և ծավալակենտրոնացված խորանարդային կառուցվածքներ, որոնց բնորոշ է խոնների խիտ դարսվածքը: Խոնային բյուրեղներն ունեն կապի մեծ էներգիաներ (Աղյուսակ II.2-ում բերված են կապի էներգիայի՝ փորձում, սենյակային ջերմաստիճանում ստացված արժեքները): Ցածր ջերմաստիճաններում լավ մեկուսիչներ են (չնշին էլեկտրոնային հաղորդականություն), բարձր ջերմաստիճաններում օժտված են զգալի խոնային հաղորդականությամբ: Բնութագրվում են նաև ինֆրալումիր ճառագայթների ուժեղ կլանումով: Ըստ մագնիսական հատկությունների դիամագնիսներ են:

զ) Կովալենտ բյուրեղներ

Կովալենտ բյուրեղներում կապը չեզոք ատոմների միջև առաջանում է երկու մոտակա ատոմների «ընդհանրացված» էլեկտրոնների շնորհիվ: Ի տարբերակություն խոնային բյուրեղների, որոնցում արժեքական էլեկտրոն-

Ներբ կապված են որոշակի խոնների հետ և որի հետևանքով նրկու խոնների միջև ընկած տիրույթում էլեկտրոնային խտությունը փոքր է, կովալենտ կապի դեպքում այն կարող է լինել զգալի: Այսպես, օրինակ՝ NaCl -ի բյուրեղում էլեկտրոնային խտությունը մոտակա խոնները միացնող գծի երկայնքով նվազում է մինչև $0,1 \text{ էլեկտրոն}/\text{\AA}^3$ և ավելի փոքր արժեք, իսկ ալմաստում, որը կովալենտ բյուրեղների դասի ամենացայտուն ներկայացուցիչն է, այն մեծ է $5 \text{ էլեկտրոն}/\text{\AA}^3$ -ից: Կապն առաջացնող էլեկտրոնային գույզում էլեկտրոնների սպիները հակազուգահետ են: Յուրաքանչյուր ատոմ կարող է սաւեղծել սահմանափակ քվով կովալենտ կապեր, որոնց քանակը կախված է ատոմի արտաքին էլեկտրոնային քաղանքը լրացնելու համար անհրաժեշտ էլեկտրոնների քվից: Կովալենտ կապին բնորոշ այս հազեցվածության հատկությունը քիմիայում բնութագրվում է «արժեքականություն» հասկացությամբ: Օրինակ՝ ածխածնի (ալմաստի) ատոմի էլեկտրոնային փոխասավորությունն է $1s^2 2s^2 2p^2$, այսինքն՝ $2p^6$ փակ քաղանք կառուցելու համար անհրաժեշտ է 4 էլեկտրոն, ուստի ածխածնի ատոմի մոտ ի հայտ է զալիս այդ պակասը մոտակա չորս հարկաների արժեքական էլեկտրոններով լրացնելու ձգտում: Կովալենտ կապի մյուս բնութագրական հատկությունը նրա խիստ արտահայտված տարածական ուղղորդվածությունն է: Դա է պատճառը, որ ալմաստի կառուցվածքով ցանցում ածխածնի յուրաքանչյուր ատոմ զբաղեցնում է մոտակա չորս հարկաներով կառուցված քառանիստի կենտրոնը (տես նկ. I.23):

Այս դասի բնութագրական ներկայացուցիչներն են IV խմբի տարրերը՝ C (ալմաստ), Si , Ge , $\alpha\text{-Sn}$ (գորշ անագ): Կովալենտ կապը զերակշռում է նաև $A^N B^{8-N}$ միացություններում, իրար մոտ N և $8-N$ քվերի դեպքում, օրինակ՝ $A^{III} B^{V}$ միացություններում:

Կովալենտ բյուրեղներն ունեն մեծ ամրություն, կապի մեծ էներգիաներ

Աղյուսակ II.3

Բյուրեղ	Կապի էներգիա, էՎ/մ
C (ալմաստ)	7,36
Si	4,64
Ge	3,87
$\alpha - \text{Sn}$	3,12
SiC	12,23

(Այլուսակ II.3), բայց և փիզուն են: Հաղորդականությունը շատ գգայուն է տարրեր խառնուրդների առկայության նկատմամբ և ջերմաստիճանից կախված փոփոխվում է զգալիորեն, բարձր ջերմաստիճաններում մոտենալով որոշ մետաղների հաղորդականությանը: Ունեն համեմատարար մեծ դիելեկտրական թափանցելիություն և բեկման ցուցիչ, թափանցիկ են երկարալիքային ճառագայթման համար, սակայն որոշակի այլիքի երկարությունից (տեսանելի լուս ինֆրակարմիր տիրապյթում) ակսած դառնում են անքաղանցիկ: Ըստ մազնիսական հատկությունների դիամագնիսներ են:

դ) Մետաղներ

Մետաղները բնութագրվում են մեծ էլեկտրա- և ջերմահաղորդականությամբ, լույսի կլանման մեծ գործակցությամբ, մեծ պլաստիկությամբ և կոնվերժայամբ: Այս բոլոր հատկությունները հետևանք են մետաղներում ազատ էլեկտրոնների առկայության, որոնց համախումբը կարելի է դիտարկել որպես մետաղական՝ $n \sim 10^{23}$ սմ⁻³ կարգի խտությամբ էլեկտրոնային գագ:

Մետաղների կապի էներգիաներն ընկած են $1\text{--}5$ էՎ/մ տիրապյթում: Ալկալիական մետաղներում՝ (Li, Na, K, Rb, Cs) այն համեմատարար փոքր է՝ 1 էՎ/մ-ի կարգի, որի հետևանքով նրանց հալման ջերմաստիճանները հա-

Այլուսակ II.4

Մետաղ	Կապի էներգիա, էՎ/մ	Հալման ջերմ., °C
Li	1,65	186
Na	1,13	97,5
K	0,941	62,5
Rb	0,858	38,7
Cs	0,827	30
Fe	4,29	1535
Mo	6,81	2625
W	8,66	3380
Ru	6,615	2450

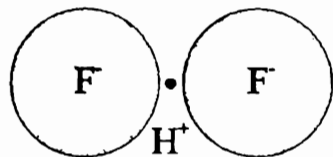
մեմատարար ցածր են (Աղյուսակ II.4): Այս մետաղների բյուրեղները կարենի և պատվերել որպես տարածական ցանց, որի համգույցներում գտնվում են դրական իմանները, և որն «ընկդմված» է էլեկտրոնային «ծովում»: Անցումային մետաղներում, որոնց ատոմներում կան ներքին շրացված էլեկտրոնային քաղանքներ (օրինակ՝ Fe, W, Mo և այլն), կապի եներգիան հասնում է մեծ արժեքների: Այս հանգամանքը պայմանավորված է մետաղական իմանների շրացված Ժ-քաղանքների էլեկտրոնների միջև զորող մասամբ կովալենտ կապով, մասամբ էլ վանդերվաալյան փոխազդեցորյամբ:

Որպես կանոն, մետաղները բյուրեղանում են, առաջացնելով նիստակենտրոնացված, ծավալակենտրոնացված խորանարդային, հեքսագոնալ և այլ խիտ դարսվածքով կառուցվածքներ: Ըստ մազնիսական հատկությունների լինում են և՛ դիամազնիսներ, և՛ պարամազնիսներ, և ֆեռոմազնիսներ:

Ե) Զրածնային կապով բյուրեղներ

Քյուրեղական կառուցվածքների առաջացման ժամանակ զրածինն իր յուրահատկությունների շնորհիվ խաղում է բոլորվին այլ դեր, քան մնացած բոլոր տարրերը:

Քանի որ զրածնի շեզոք ատոմն ունի ընդամենը մեկ էլեկտրոն, ապա այն կարող է առաջացնել միայն մեկ կապ, որով կարող է կապվել այլ տարրի միայն մեկ ատոմի հետ: Սակայն եայտնի է, որ որոշակի պայմաններում զրածնի ատոմը կարող է ձգողականության զգալի ուժերով կապված լինել միաժամանակ երկու (բայց ոչ ավելի) ատոմների հետ, առաջացնելով այսպես կոչված զրածնային կապ, որի էներգիան 0,1 էՎ-ի կարգի է: Զրածնային կապն ունի հիմնականում իմային բնույթ: Սահմանային դեպքում զրածնի ատոմը կորցնում է իր միակ էլեկտրոնը, տալով այն երկու ատոմներից որևէ մեկին և վերածվելով պրոտոնի, որը և առաջացնում է կապն ատոմների միջև: Պրոտոնի փոքր չափերը ($\sim 10^{-13}$ սմ) հնարավորություն շնորհած տալիս նրան իրար կապել երկուսից ավել ատոմներ (նկ. II.2):



Նկ. II.2

Զրածնային կապով են պայմանավորված ջրի և սառույցի յուրահատկությունները, ինչպես նաև որոշ սեզնետա-

Էլեկտրական բյուրեղների, մասնավորապես՝ կալիումի դինիորոֆոսֆատի և բազմապիսի օրգանական միացությունների ֆիզիկական հատկությունները:

Դինի մարմինների վերը նկարագրված դասակարգումը համապատասխանում է այն սահմանային դեպքերին, երբ բյուրեղը կազմող մասնիկների միջև կապն ամրադրությամբ վերագրվում է մեկ՝ որպաշկի տեսակի փոխազդեցության: «Մաքուր» տևարով կապերը հազվադեպ են հանդիպում: Գործնականում համարյա բոլոր բյուրեղներում միաժամանակ գործում են մեկից ավելի կապերի տեսակներ: Օրինակ՝ գորշ անազում առաջանում են կովալենտ կապին բնորոշ էլեկտրոնային զույգեր, սակայն փոքրաթիվ էլեկտրոններ կարող են «խոսափել» կապերին մասնակցելուց, ստեղծելով փոքր էլեկտրոնային հաղորդականություն, որը բնորոշ է մետաղական կապին: Զրածնի մոլեկուլում հճարավոր է այնպիսի իրադրություն, երբ երկու էլեկտրոններն էլ գտնվում են միևնույն միջուկի մոտ, այսինքն, մոլեկուլում կապը դառնում է իրնային՝ առաջանում են իրար ձգող H^+ և H^- իոններ: Ջանի որ այսպիսի վիճակը շատ կարծ է տևում ($\sim 10^{-17}$ վ), ապա կապը H_2 -ում դիտվում է որպես կովալենտ: Մի շարք նյութերում միաժամանակ գործում են և խճային, և կովալենտ կապերը: Այդպիսիների թվին են պատկանում $A^{III}B^V$ միացություններից շատերը, որոնք նկարագրվում են որպես կովալենտ բյուրեղներ, որոնց խճային մնացորդների մոտ պահպանվել և հավելության վեցը (Աղյուսակ II.5): Հարկ է նշել նաև, որ ցանկացած դեպքում ատոմների

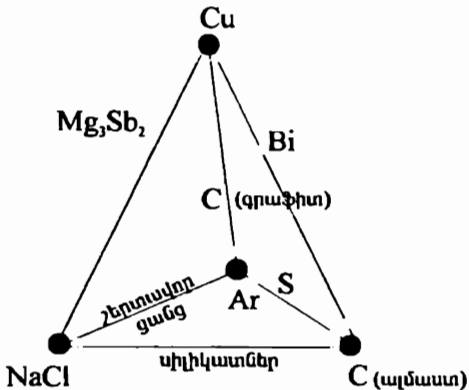
Աղյուսակ II.5

Բյուրեղ	Կապի իրնականության աստիճանը
Si	0,00
Ge	0,00
SiC	0,18
GaSb	0,26
GaAs	0,32
InSb	0,32
InP	0,44
ZnO	0,62
CuCl	0,75
NaCl	0,94
RbF	0,96

ներն էլ գտնվում են միևնույն միջուկի մոտ, այսինքն, մոլեկուլում կապը դառնում է իրնային՝ առաջանում են իրար ձգող H^+ և H^- իոններ: Ջանի որ այսպիսի վիճակը շատ կարծ է տևում ($\sim 10^{-17}$ վ), ապա կապը H_2 -ում դիտվում է որպես կովալենտ: Մի շարք նյութերում միաժամանակ գործում են և խճային, և կովալենտ կապերը: Այդպիսիների թվին են պատկանում $A^{III}B^V$ միացություններից շատերը, որոնք նկարագրվում են որպես կովալենտ բյուրեղներ, որոնց խճային մնացորդների մոտ պահպանվել և հավելության վեցը (Աղյուսակ II.5): Հարկ է նշել նաև, որ ցանկացած դեպքում ատոմների

(ինների) միջև գործում են ունիվերսալ բնույթ ունեցող վանդերվաալյան ուժեր, որոնք սակայն իննային և կովալենտ փոխազդեցություններից զգալի թույլ լինելու հետևանքով նրանց հետ միաժամանակ հաշվի չեն առնվում:

Տարբեր տեսակի կապերի միջև անցումները նպատակահարմար է պատկերել Գրիմի քառանիստի օգնությամբ, որի շորս զագարներում գտնվում են «մաքուր» կապերի ներկայացուցիչները, իսկ կողմերը խորհրդանշում են անցումներն այդ կապերի միջև (նկ. II.3): Օրինակ՝ Bi-ի դեպքում վերադրվում են կովալենտ և մետադական կապերը: Միջմետադական Mg,Sb₂ միացությունը ներկայացնում է անցումը մետադական կապից իննայինին: Գրաֆիտի շերտերն ունեն հստակ արտահայտված մետադական հատկություններ և իրար հետ կապված են վանդերվաալյան կապով: Միլիկատները կազմում են բնորոշ անցումնային խումբ իննական և կովալենտ կապերի միջև: Ծծոմքի օղակում 8 ատոմներ կապված են կովալենտ կապով, իսկ առանձին օղակները կապվում են իրար հետ վանդերվաալյան ուժերով:



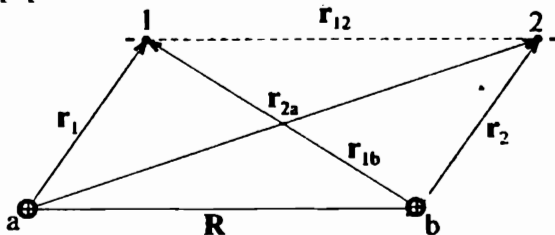
Նկ. II.3

§2. Վանդերվաալյան կապի տեսությունը

Վանդերվաալյան (ընդունված են նաև «ֆլուկտուացիոն», «դիսպերսիոն», «մոլեկուլային» անվանումները) կապի տեսությունը ջրածնի երկու ատոմների օրինակով առաջին անգամ տրվել է Ֆ.Լոնդոնի և Ռ.Այզենշիցի կողմից 1930թ.:

Դիտարկենք իրարից R ենոավորության վրա գտնվող ջրածնի երկու ատոմ (նկ. II.4): 1-ին էլեկտրոնի դիրքը և միջուկի նկատմամբ որոշվում է $r_i(x_i, y_i, z_i)$ շառավիղ-վեկտորով, 2-ինը՝ և միջուկի նկատմամբ՝

$r_2(x_2, y_2, z_2)$ -ով, կորդինատական շ առանցքն ուղղված է միջուկները միացնող ուղղություն:



Նկ. II.4

Անշարժ a և b միջուկներից և 1-ին և 2-րդ էլեկտրոններից կազմված համակարգի համբլտոնիանն ունի հետևյալ տեսքը՝

$$\hat{H} = -\frac{\hbar^2}{2m} (\Delta_1 + \Delta_2) - \frac{e^2}{r_1} - \frac{e^2}{r_2} + \frac{e^2}{R} + \frac{e^2}{r_{12}} - \frac{e^2}{r_{1b}} - \frac{e^2}{r_{2a}}, \quad (2.1)$$

որտեղ Δ_1 և Δ_2 լավասիաններն ազդում են համապատասխանարար r_1 և r_2 փոփոխականների վրա, e^2/r_{12} անդամը «էլեկտրոն-էլեկտրոն» փոխազդեցության պոտենցիալ էներգիան է, $-e^2/r_{1b}$ -ն՝ «1-ին էլեկտրոն- b միջուկ», իսկ $-e^2/r_{2a}$ -ն՝ «2-րդ էլեկտրոն- a միջուկ» փոխազդեցության էներգիաները:

Եթե ատոմները գտնվում են իրարից մեծ հեռավորության վրա՝ $R \gg a_0$, որտեղ $a_0 = \hbar^2/me^2$ մեծությունը Բորի շառավիղն է, ապա $r_{12} \sim r_{1b} \sim r_{2a} \sim R$ և (2.1) արտահայտության վերջին չորս անդամների գումարը՝

$$\hat{H}' = \frac{e^2}{R} + \frac{e^2}{r_{12}} - \frac{e^2}{r_{1b}} - \frac{e^2}{r_{2a}} \quad (2.2)$$

կարելի է դիտել որպես գրգռում չփոխազդող ատոմների

$$\hat{H}_0 = -\frac{\hbar^2}{2m} (\Delta_1 + \Delta_2) - \frac{e^2}{r_1} - \frac{e^2}{r_2} \quad (2.3)$$

համիլտոնիանի նկատմամբ: Արտահայտելով r_{12}, r_{1b} և r_{2a} մեծությունները r_1, r_2 և R վեկտորների միջոցով և հաշվի առնելով $r_1, r_2 < R$ անհավասարությունները, (2.2) արտահայտությունը կարելի է ներկայացնել հետևյալ տեսքով՝

$$\hat{H}' = \frac{\mathbf{p}_1 \cdot \mathbf{p}_2}{R^3} - \frac{3(\mathbf{p}_1 R) \cdot (\mathbf{p}_2 R)}{R^5} = -\mathbf{p}_2 \cdot \mathbf{E}_1, \quad (2.4)$$

որտեղ $\mathbf{p}_1 = -e\mathbf{r}_1$ և $\mathbf{p}_2 = -e\mathbf{r}_2$ վեկտորները և և ատոմների դիպոլային մոմենտներն են, իսկ

$$\mathbf{E}_1 = \frac{3R(\mathbf{p}_1 R)}{R^5} - \frac{\mathbf{p}_1}{R^3} \quad (2.5)$$

վեկտորը \mathbf{p}_1 դիպոլի ստեղծած էլեկտրական դաշտի լարվածությունն է \mathbf{p}_2 դիպոլի գոնվելու կետում: Այսպիսով, H' անդամը դիպոլ-դիպոլ փոխազդեցության համիլտոնիանն է:

\hat{H}_0 օպերատորի սեփական էներգիան՝

$$E_1^{(0)} = 2\varepsilon_1^{(0)}, \quad (2.6)$$

որտեղ $\varepsilon_1^{(0)}$ մեծությունը ջրածնի ատոմի էներգիան է էիմնական վիճակում: Գրգռումների տեսության առաջին մոտավորությամբ էներգիայի ուղղումը հավասար է զրգուման \hat{H}' օպերատորի միջին արժեքին՝

$$E_1^{(1)} = \int \psi_{11}^*(\mathbf{r}_1, \mathbf{r}_2) \hat{H}' \psi_{11}(\mathbf{r}_1, \mathbf{r}_2) d\mathbf{r}_1 d\mathbf{r}_2, \quad (2.7)$$

որտեղ $\psi_{11}(\mathbf{r}_1, \mathbf{r}_2)$ -ը համակարգի էիմնական վիճակի ալիքային ֆունկցիան է զրյական մոտավորությամբ: Քանի որ $R \gg a_0$, ապա կարելի է հաշվի չառնել էլեկտրոնների նույնականությամբ պայմանավորված փոխանակային փոխազդեցությունը և էիմնական վիճակի ալիքային ֆունկցիան ներկայացնել 1-ին և 2-րդ էլեկտրոնների էիմնական վիճակի ալիքային ֆունկցիաների արտադրյալի տեսքով՝

$$\psi_{11}(\mathbf{r}_1, \mathbf{r}_2) = \psi_1(\mathbf{r}_1) \cdot \psi_2(\mathbf{r}_2) : \quad (2.8)$$

(2.7) և (2.8) բանաձևերից հետևում է, որ էներգիայի ուղղումը՝ $E_1^{(1)} = 0$, քանի որ այն համեմատական է ատոմի դիպոլային մոմենտի պրայեկցիաների միջինների արտադրյալին, որոնցից յուրաքանչյուրը՝

$$\langle p_i \rangle = -e\langle x_i \rangle \equiv -e \int_{-\infty}^{\infty} \psi_i(r_1) x_i \psi_i(r_1) dr_1 = 0 \quad (i = 1, 2, 3) \quad (2.9)$$

ատոմի գնդային համաչափության հետևանքով:

Գրգռումների անսուբյան երկրորդ մոտավորությամբ հիմնական վիճակի համար էներգիայի ուղղումը տրվում է

$$E_1^{(2)} = \sum_{(n)} \frac{|\hat{H}'_{1n}|^2}{E_1^{(0)} - E_{(n)}^{(0)}} , \quad (2.10)$$

բանաձևով, որտեղ գումարը տարվում է բոլոր վիճակներով՝ (n)-ով, բացի հիմնականից, $E_{(n)}^{(0)}$ -ը չփոխազդող ատոմների համակարգի էներգիան է (n) վիճակում՝

$$E_{(n)}^{(0)} = \varepsilon_i^{(0)} + \varepsilon_k^{(0)} , \quad (2.11)$$

$$\varepsilon_i^{(0)} = -\frac{me^4}{2\hbar^2} \cdot \frac{1}{i^2} , \quad i = 1, 2, \dots \quad (2.12)$$

ջրածնի ատոմի էներգիան է (i) քվանտային վիճակում:

Փոխազդեցության համիլտոնիանի \hat{H}'_{1n} մատրիցական տարրը հարմար է ներկայացնել հետևյալ տեսքով՝

$$\begin{aligned} \hat{H}'_{1n} &= \int \psi_{11}(r_1, r_2) \hat{H}' \psi_{(n)}(r_1, r_2) dr_1 dr_2 = \\ &= \frac{e^2}{R^3} \int \psi_{11}(r_1, r_2) \omega \psi_{(n)}(r_1, r_2) dr_1 dr_2 \equiv \frac{e^2}{R^3} \langle 1, 1 | \omega | (n) \rangle \end{aligned} \quad (2.13)$$

որտեղ, համաձայն (2.4) արտահայտության

$$\omega = x_1 x_2 + y_1 y_2 - 2 z_1 z_2 , \quad (2.14)$$

իսկ զրգոված վիճակի ալիքային ֆունկցիան՝

$$\psi_{(n)}(r_1, r_2) = \psi_i(r_1) \cdot \psi_k(r_2) : \quad (2.15)$$

(2.10) արտահայտության մեջ էներգիական հայտարարը բացասական է, քանի որ $\varepsilon_i^{(0)} + \varepsilon_k^{(0)} > 2\varepsilon_1^{(0)}$, հետևաբար երկու ատոմների փոխազդեցության էներգիան որոշվում է

$$W(R) \equiv E_1^{(2)} = -\frac{W_0}{R^6} \quad (2.16)$$

արտահայտությամբ, որտեղ

$$W_0 = e^4 \sum_{i,k} \frac{|\langle l,l | \omega | i,k \rangle|^2}{|2\varepsilon_1^{(0)} - \varepsilon_i^{(0)} - \varepsilon_k^{(0)}|} : \quad (2.17)$$

(2.16) արտահայտության համաձայն, $R >> a_0$ հեռավորությունների վրա չեղոք ատոմների միջև գործում են ձգողականության ուժեր ($W(R) < 0$):

Այժմ զնահատենք (2.17) բանաձևով տրվող W_0 հաստատումը: Օգտվելով (2.12) բանաձևից, կստանանք, որ

$$\left| \frac{3me^4}{4\hbar^2} \right|_{i=2} \leq |2\varepsilon_1^{(0)} - \varepsilon_i^{(0)} - \varepsilon_k^{(0)}| \leq \left| \frac{me^4}{\hbar^2} \right|_{i=\infty, k=\infty},$$

ուստի, բոլոր (i,k) -երի համար կարելի է բավարար ճշտությամբ ընդունել, որ

$$|2\varepsilon_1^{(0)} - \varepsilon_i^{(0)} - \varepsilon_k^{(0)}| \approx \frac{me^4}{\hbar^2} : \quad (2.18)$$

Նկատի ունենալով (2.18) գնահատականը, W_0 հաստատումը կարելի է ներկայացնել հետևյալ տեսքով՝

$$\begin{aligned} W_0 &\approx \frac{\hbar^2}{m} \sum_{i,k} |\langle l,l | \omega | i,k \rangle|^2 = \frac{\hbar^2}{m} \sum_{i,k} \langle l,l | \omega | i,k \rangle \cdot \langle i,k | \omega | l,l \rangle^* = \\ &= \frac{\hbar^2}{m} \sum_{i,k} \langle l,l | \omega | i,k \rangle \cdot \langle i,k | \omega | l,l \rangle = \frac{\hbar^2}{m} \langle l,l | \omega^2 | l,l \rangle : \end{aligned} \quad (2.19)$$

Քանի որ հիմնական վիճակում ատոմներն օժտված են զնդային համաչափությամբ, որի հետևանքով

$$\begin{aligned} \langle x_1 \rangle &= \langle x_2 \rangle = \dots = \langle z_2 \rangle = 0, \\ \langle x_1^2 \rangle &= \langle y_1^2 \rangle = \dots = \langle z_2^2 \rangle = \frac{1}{3} \langle r^2 \rangle, \end{aligned} \quad (2.20)$$

ապա

$$\langle 1,1 | \omega^2 | 1,1 \rangle = \langle 1,1 | x_1^2 x_2^2 + y_1^2 y_2^2 + 4z_1^2 z_2^2 | 1,1 \rangle = \frac{2}{3} \langle r^2 \rangle^2 : \quad (2.21)$$

Օգտվելով ջրածնի ատոմի հիմնական վիճակի ալիքային ֆունկցիայի արտահայտությունից՝

$$\psi_1(r) = \frac{1}{\sqrt{\pi a_0^3}} \exp\left(-\frac{r}{a_0}\right), \quad (2.22)$$

$\langle r^2 \rangle$ մեծության համար կստանանք՝

$$\langle r^2 \rangle \equiv \int_0^{\infty} \int_0^{\pi} \int_0^{2\pi} \frac{1}{\pi a_0^3} e^{-\frac{2r}{a_0}} r^4 dr d\varphi \sin \theta d\theta = 3a_0^2, \quad (2.23)$$

հետևաբար, ըստ (2.17)-(2.21), (2.23) բանաձևերի՝

$$W_0 \approx \frac{\hbar^2}{m} \cdot \frac{2}{3} (3a_0^2)^2 = 6e^2 a_0^5 : \quad (2.24)$$

Ավելի մանրակրկիտ հաշվումների համաձայն $W_0 \approx 6,47e^2 a_0^5$:

Անիրաժեշտ է նշել, որ (2.16) արտահայտությամբ տրվող վանդերվասյան փոխազդեցությունն իր բնույթով քանտային երևույթ է, բանզի երբ $\hbar \rightarrow 0$, $W(R) \rightarrow 0$:

Կամայական չեզոք ատոմների վանդերվասյան փոխազդեցության համար W_0 հաստատնը կարելի է արտահայտել

$$W_0 \approx \frac{3}{2} \cdot \frac{I_a I_b}{I_a + I_b} \cdot \alpha_a \alpha_b \quad (2.25)$$

մոտավոր բանաձևով, որտեղ I_a (I_b) -ն a (b) ատոմի իոնացման պոտենցիալն է, α_a (α_b) -ն՝ ատոմի բևեռացվելիությունը:

Եթե փոխազդեցության H' համիլտոնիանի (2.2) արտահայտությունն ըստ a_0/R պարամետրի շարքի վերածելիս, բացի R^{-3} -ի կարգի անդամներից, պահպան նաև ավելի բարձր կարգի փոքրերը ($\sim R^{-4}, R^{-5}$), ապա փոխազդեցության էներգիայի համար կստացվի հետևյալ բանաձևը՝

$$W = -\frac{W_0}{R^6} - \frac{W_1}{R^8} - \frac{W_2}{R^{10}}, \quad (2.26)$$

որտեղ W_1 -ը դիպոլ-կվադրուպոլ, իսկ W_2 -ը՝ կվադրուպոլ-կվադրուպոլ փոխազդեցության հաստատմաններն են:

Վանդերվալսյան փոխազդեցության շնորհիվ չեզոք ատոմների համախմբից առաջանում է մոլեկուլային բյուրեղ: Ինչպես հետևում է (2.16) արտահայտությունից, R -ի փոքրացմանը գուգընքաց ձգողական փոխազդեցությունն անվերջ աճում է, ինչը, ի վերջո, կրնիրի բյուրեղի անվերջ սեղման: Սակայն ձգողական ուժերի հետ մեկտեղ բյուրեղում գործում են գործադրության փոքր շառավղով և ատոմների միջև հեռավորության փոքրացման հետ շափականց արագ աճող վանողական ուժեր: Այդ ուժերը մասսամբ հետևանք են ատոմների միջուկների և էլեկտրոնային ամպերի էլեկտրաստատիկ փոխազդեցության, սակայն հիմնական դերը խաղում են քվանտային ծագում ունեցող ուժերը, որոնց գոյությունը հետևանք է Պառվիի սկզբունքի, համաձայն որի երկու էլեկտրոն չեն կարող գտնվել միևնույն քվանտային վիճակում: Եթե ատոմների էլեկտրոնային թաղանքները վերադրվում են, ապա մի ատոմի էլեկտրոնները ձգտում են տեղեր գրադեցնել մյուս ատոմում և հակառակը: Պառվիի սկզբունքը խոչընդոտում է այս ձգտմանը, և էլեկտրոնային «ամպերը» կարող են ծածկել իրար միայն այն դեպքում, եթե վերադրումն ուղեկցվում է որոշ էլեկտրոնների՝ ավելի մեծ էներգիաներով քվանտային վիճակների անցումներով: Այսպիսով, էլեկտրոնային թաղանքների վերադրումն ուղեկցվում է համակարգի լրիվ էներգիայի մեծացումով, ինչը համապատասխանում է վանողական ուժերի ի հայտ գալուն: Այս ուժերը կարելի է հաշվարկել քվանտային մեխանիկայի մեթոդներով: Սակայն հաշվումները հուսալի արդյունքներ չեն տալիս, քանի որ փոխազդեցությանը մասնակցում են մեծ քվով էլեկտրոններ, ուստի ավելի նապատակահարմար է օգտվել փորձառական արտահայտություններից, որոնցով կատարված հաշվումները լավագույնս համընկնում են փորձի հետ:

§3. Մոլեկուլային բյուրեղի կապի էներգիայի հաշվարկը

Կապի էներգիան տեսականորեն հաշվարկելու համար անհրաժեշտ է տալ երկու մասնիկների վանողական փոխազդեցության պոտենցիալ էներգիայի համար որոշակի վերլուծական արտահայտություններից:

Վանողական փոխազդեցության էներգիան հաճախ ներկայացվում է

$$V(R) = AR^{-m} \quad (3.1)$$

տեսրով, որտեղ $m > 6$ ամբողջ թիվ է: Տեսական հաշվարկներ կատարելիս հարմար է օգտվել նաև

$$V(R) = \lambda \exp(-R/\rho) . \quad (3.2)$$

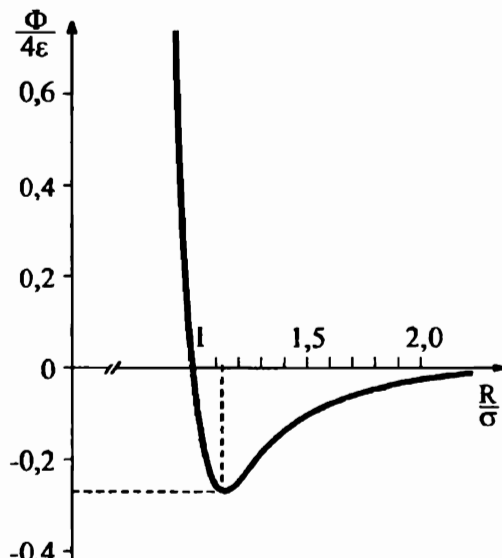
տեսրից, որտեղ ρ -ն փոխազդեցության տիրույքի բնութագրական չափն է:

Երկու չեզոք ատոմների փոխազդեցության պոտենցիալ էներգիայի համար լայնորեն կիրառվում է Լենարդ-Ջոնսի կամ «6-12» պոտենցիալը՝

$$\Phi(R) = 4\epsilon \left[\left(\frac{\sigma}{R} \right)^{12} - \left(\frac{\sigma}{R} \right)^6 \right], \quad (3.3)$$

որտեղ ϵ և σ մեծությունները բնութագրում են ատոմները: (3.3) արտահայտության զրաֆիլը տրված է նկ. II.5-ում:

Եթե բյուրեղը բաղկացած է N ատոմից, ապա նրա լրիվ պոտենցիալ



Նկ. II.5

էներգիան հավասար է բոլոր ատոմների գույզերի փոխազդեցության (3.3) էներգիաների գումարին՝

$$U = \frac{1}{2} N \sum_{R \neq 0} \Phi(R), \quad (3.4)$$

$1/2$ գործակցի շնորհիվ գումարում ատոմների յուրաքանչյուր գույզի փոխազդեցության էներգիան հաշվի է առնվում մեկ անգամ: (3.4) գումարը հաշվելու համար Բրավենի ցանցի ցանկացած R վեկտորի երկարությունը հարմար է արտահայտել ամենամոտ հարևանների միջև R հեռավորության և $\alpha(R)$ անշափ գործակցի

միջոցով՝

$$|R| = R \cdot \alpha(R) : \quad (3.5)$$

Մեկ ատոմին բաժին ընկնող պոտենցիալ էներգիան՝

$$u(R) = \frac{U}{N} = 2\varepsilon \left[\sum_{R \neq 0} \left(\frac{\sigma}{|R|} \right)^{12} - \sum_{R \neq 0} \left(\frac{\sigma}{|R|} \right)^6 \right] = 2\varepsilon \left[A_{12} \left(\frac{\sigma}{R} \right)^{12} - A_6 \left(\frac{\sigma}{R} \right)^6 \right], \quad (3.6)$$

որտեղ

$$A_n = \sum_{R \neq 0} \frac{1}{\alpha^n(R)} : \quad (3.7)$$

A_n հաստատունի արժեքը կախված է n -ից և բյուրեղական կառուցվածքի տեսակից: Ամենամոտ հարևանների համար $\alpha(R) = 1$, ուստի

$$A_n = z_I + \sum_{R \neq 0, I} \frac{1}{\alpha^n(R)}, \quad (3.8)$$

որտեղ z_I մեծությունը ատոմների թիվն է I կոօրդինացիոն խմբում, իսկ զումարը տարվում է II և հաջորդ բոլոր կոօրդինացիոն խմբերով: Եթե $n \rightarrow \infty$, $A_n \rightarrow z_I$, իսկ եթե n -ը սկսում է փոքրանալ, A_n զործակիցն աճում է, քանի որ, բացի I կոօրդինացիոն խմբից, զումարի մեջ ներդրում են տալիս նաև մյուս կոօրդինացիոն խմբերը: Հարկավոր է նշել նաև, որ (3.8) գումարը տարամիտում է, եթե $n \leq 3$: Խորանարդային նխտակենտրոնացված կառուցվածքի համար $z_I = 12$, $z_2 = 6$, $\alpha = \sqrt{2}$, ուստի II կոօրդինացիոն խմբի ներդրումը կլինի հավասար

$$6 \cdot \frac{1}{(\sqrt{2})^{12}} = \frac{6}{64} \approx 0,09375,$$

իսկ III խմբինը ($z_3 = 12$, $\alpha = 2$)

$$12 \cdot \frac{1}{2^{12}} = \frac{3}{2^{10}} \approx 0,00293,$$

որոնց օգնությամբ կստանանք՝ $A_{12} = 12,09668$: Ըստ ճշգրիտ հաշվարկների $A_{12} = 12,13188$, $A_6 = 14,445392$: Ինչպես հետևում է բերված թվային տվյալներից, $n = 12$ դեպքում շարքի զումարը շատ քիչ է տարբերվում

z_1 -ից, սակայն $n = 6$ դեպքում A_6 գործակցի մեջ զգալի է II, III և հաջորդ կոորդինացիոն խմբերի ներդրումը:

Հավասարակշռության վիճակում համակարգի, հետևաբար և մեկ ատոմին բաժին ընկնող, պոտենցիալ էներգիան ամենափոքրն է, ուստի

$$\left(\frac{du}{dR} \right)_{R=R_0} = 0 , \quad (3.9)$$

որտեղից (3.6) արտահայտության օգնությամբ հեշտությամբ ստացվում են ամենամոտ հարևանների միջև հավասարակշռական հեռավորության՝

$$R_0 = \sigma \left(\frac{2A_{12}}{A_6} \right)^{1/6} \simeq 1,09\sigma \quad (3.10)$$

և պոտենցիալ էներգիայի՝

$$u_0 \equiv u(R_0) = -\frac{A_6^2}{2A_{12}} \varepsilon \simeq -8,6\varepsilon \quad (3.11)$$

արտահայտությունները:

Տեսությունը փորձագ ստուգելու համար նպատակահարմար է հաշվարկել նաև փորձնականորեն հեշտությամբ չափվող մեծություններ, որոնցից են, օրինակ՝ առածգականության իզոբերմական (B_T) և աղիաբատական (B_S) ծավալային մոդուլները: Եթե $T = 0K$, B_T և B_S գործակիցները համընկնում են, ուստի, օգտվելով նաև թերմոդինամիկայի հիմնական հավասարությաց՝ $dU = -PdV$, որտեղ P -ն ճնշումն է, իսկ V -ն՝ համակարգի ծավալը, կստանանք՝

$$B_0 = -V \frac{dP}{dV} = V \frac{d^2U}{dV^2} = v \frac{d^2u}{dv^2} , \quad (3.12)$$

որտեղ $v = V/N$ -ը մեկ ատոմին բաժին ընկնող ծավալն է: Արտահայտենք այն միջմասնիկային R հեռավորության միջոցով: Եթե նխտակենտրոնացված ցանցի տարրական խորանարդի կողը նշանակենք σ -ով, ապա $v = a^3/4 = R^3/\sqrt{2}$, քանի որ $a = \sqrt{2} \cdot R$: Նկատի ունենալով, որ

$$\frac{d}{dv} = \frac{d}{dR} \cdot \frac{dR}{dv} = \frac{\sqrt{2}}{3R^2} \cdot \frac{d}{dR} , \quad (3.13)$$

ինչպես նաև (3.9) պայմանը, առածզականության ծավալային մոդուլի համար $T = 0\text{K}$ -ում կստանանք՝

$$B_0 = \frac{\sqrt{2}}{9R_0} \left(\frac{d^2 u}{dR^2} \right)_{R=R_0} = \frac{4\varepsilon}{\sigma^3} A_{12} \left(\frac{A_6}{A_{12}} \right)^{5/2} \simeq \frac{75\varepsilon}{\sigma^3} \quad (3.14)$$

արտահայտությունը:

Աղյուսակ II.6-ում բերված են իմերտ գագերի σ և ε բնութագրերով մոլեկուլային բյուրեղների R_0 , u_0 և B_0 մեծությունների տեսական և փորձում ստացված արժեքները:

Աղյուսակ II.6

			R_0 , Å		$-u_0$, էՎ/ատոմ		B_0 , դին/սմ ²	
	σ , Å	ε , էՎ	տես.	փորձ.	տես.	փորձ.	տես.	փորձ.
Ne	2,74	0,0031	2,99	3,13	0,027	0,02	1,81	1,1
Ar	3,40	0,0104	3,71	3,75	0,089	0,08	3,18	2,7
Kr	3,65	0,0140	3,98	3,99	0,120	0,11	3,46	3,5
Xe	3,98	0,0200	4,34	4,33	0,172	0,17	3,81	3,6

Ինչպես հետևում է աղյուսակից, R_0 հավասարակշռական հեռսուվորության տեսական և փորձնական արժեքների համընկնումը բավականաշափ լավ է, ընդ որում, ատոմի զանգվածի նվազմանը զուգընթաց փորձնական արժեքն ավելի և ավելի է գերազանցում տեսականը, ինչը պայմանավորված է ատոմների զրոյական տատանումների կինետիկական ε_0 , էներգիայի առկայությամբ, որը տեսական հաշվարկներում անտեսված է: Այս էներգիան այնքան ավելի մնա է, որքան փոքր է մեկ ատոմին բաժին ընկնող ծավալը՝

$$\varepsilon_{0i} \sim \frac{\hbar^2}{M_i(\Delta a)^2} \sim \frac{\hbar^2}{M_i} \cdot \frac{1}{R_0^2} \sim \frac{\hbar^2}{M_i v^{2/3}} . \quad (3.15)$$

հետևաբար, այն գործում է որպես արդյունարար վաճողական «ուժ», որը մեծացնում է մոտակա հարևանների միջև հեռավորությունը: Համաձայն (3.15) բանաձևի, կապի էներգիայի մեջ զրոյական տատանումների ներ-

դրման հաշվառումը բերում է նրա փոքրացման, քանի որ ε_0 , մեծությունը դրական է և «խարխլում» է կապը, ինչն առավել զգալի է դասնում փոքր զանգվածների դեպքում:

Ինչ վերաբերում է B_0 գործակցին, ապա համընկնումը փորձի հետ լավ է բանոնի և կրիպտոնի դեպքում, սակայն արգոնի համար ստացված նրա տեսական արժեքը գերազանցում է փորձնականը 20%-ով, իսկ ներնի մոտ՝ 60%-ով, ինչը պայմանավորված է B_0 գործակցի՝ σ պարամետրից ունեցած ոժեղ կախումով:

§4. Խռնական կապի տեսությունը

Կապը խռնային բյուրենումերում պայմանավորված է խռների էլեկտրաստատիկ (կուլոնյան) փոխազդեցությամբ: Բյուրեղական կառուցվածք առաջանում է շնորհիվ այն քանի, որ տարանուն խռների միջև գործող ձգողական ուժերը գերազանցում նն նույնանուն խռների միջև գործող վաճողական ուժերին: Փոքր հեռավորությունների վրա խռների միջև ծագում է նաև ոչ կուլոնյան բնույթի վանողական փոխազդեցություն, որին համապատասխանող էներգիան տրվում է (3.1) կամ (3.2) քանաձներով: Կարելի է ենթադրել, որ խռնային բյուրեղի դեպքում (3.1) արտահայտության մեջ $m < 12$, քանի որ լրացուցիչ էլեկտրոնի առկայության հետևանքով էլեկտրոնային խտությունը բացասական իոնի մակերևույթի մոտ ավելի փոքր է, քան համապատասխան իներտ զագի ատոմի մոտ: Օրինակ՝ $C\Gamma$ իոնը և $A\Gamma$ ատոմն ունեն 18 էլեկտրոն, իսկ նրանց ծավալների հարաբերությունը եավասար է մոտ 1,2-ի: Հետազա հաշվարկներում կապի էներգիան որոշելիս բազմազանության համար կօգտագործենք վանողական փոխազդեցության էներգիայի՝ E_{tot} և U_{av} կերպում: Եթերկե, իոնների միջև գործում է նաև վանդերվալյան փոխազդեցությունը, որը սակայն զգալի թույլ է կուլոնյանից և որի ներդրումը կապի էներգիայի մեջ կազմում է կուլոնյան փոխազդեցության էներգիայի ընդամենը $1 \div 2 \%$ -ը:

Այժմ հաշվենք խռնային բյուրեղի էլեկտրաստատիկ փոխազդեցության (U_{av} կերպում) էներգիան: Եթե i և j իոնների փոխազդեցության էներգիան

Նշանակենք U_{ij} -ով, ապա որևէ խոնի փոխազդեցության էներգիան մնացած բոլոր խոնների հետ կլինի հավասար

$$U_i = \sum_{j \neq i} U_{ij} : \quad (4.1)$$

Ենթադրենք, որ U_{ij} -ն կարելի է ներկայացնել վանողական ուժերի (3.2) պոտենցիալի և կուլոնյան պոտենցիալի գումարի տեսքով՝

$$U_{ij} = \lambda \exp\left(-R_{ij}/\rho\right) \pm \frac{e^2}{R_{ij}}, \quad (4.2)$$

որտեղ R_{ij} -ն նեռավորությունն է i և j լսնների միջև, $(+)$ նշանը համապատասխանում է նույնանուն, իսկ $(-)$ նշանը՝ տարանուն լիցքերի փոխազդեցությանը: Եթե i խոնը բյուրեղի մակերևութային շերտում չէ, ապա U_i -ի արժեքը կախված չէ նրա դիրքից: Արհամարիելով մակերևութային նրկութերը, $2N$ խոններից բաղկացած բյուրեղի էներգիայի համար կստանանք

$$U = \frac{1}{2} \cdot 2N \cdot U_i = NU_i, \quad (4.3)$$

որտեղ $1/2$ գործակցի շնորհիվ յուրաքանչյուր խոնային գույզի փոխազդեցության հաշվի է առնվուն մեկ անգամ:

Քանի որ վանողական փոխազդեցության պոտենցիալ էներգիան հեռավորությունը մեծացնելիս նվազում է էքսպոնենցիալ օրենքով, ապա լրիվ էներգիան հաշվելիս կարելի է սահմանափակվել միայն ամենամուտ հարկանների վանողական փոխազդեցության ներդրումով: (4.1)-(4.3) արտահայտություններից լրիվ էներգիայի համար ստանում ենք՝

$$U = N \left(z \lambda e^{-R/\rho} - A \frac{e^2}{R} \right), \quad (4.4)$$

որտեղ z -ը խոնների թիվն է, I կոորդինացիոն խմբում, R -ը՝ ամենամուտ հարկանների միջև հեռավորությունը,

$$A = \sum_{R \neq 0} \frac{(\pm 1)}{\alpha(R)}, \quad (4.5)$$

մնձությունը Մադելունգի հաստատումն է, իսկ $\alpha(R)$ անչափ գործակիցը տրվում է (3.5) արտահայտությամբ: Մադելունգի հաստատումը խոնային

Աղյուսակ II.7

Բյուրեղական կառուցվածք	<i>A</i>	<i>z</i>
CsCl-ի կառուցվածք	1,7627	8
NaCl-ի կառուցվածք	1,7476	6
ZnS-ի կառուցվածք (սֆալերիտ)	1,6381	4
ZnS-ի հեքսագոնալ կառուցվածք (վյուրցիտ)	1,6413	6

բյուրեղի կարևորագույն բնուրագիրն է, այն կախված է միայն բյուրեղական կառուցվածքի տեսակից (Աղյուսակ II.7): Ինչպես հետևում է Աղյուսակ II.7-ում բերված տվյալներից, կորոյդինացիոն թվի մեծացման հետ *A* հաստատումն աճում է, այսինքն՝ որքան մեծ է

հակառակ նշանի լիցքով հարևանների թիվը, այնքան փոքր է էլեկտրաստատիկ փոխազդեցության էներգիան:

Էլեկտրաստատիկ փոխազդեցության էներգիայի, հետևաբար և Մաղելունգի *A* հաստատումի հաշվարկին է նվիրված հաջորդ պարագրաֆը:

Մեկ խոնային գույզին (մոլեկուլին) բաժին ընկնող էներգիան՝

$$u(R) = \frac{U}{N} = z\lambda e^{-R/\rho} - A \frac{e^2}{R} : \quad (4.6)$$

Հավասարակշռության վիճակում

$$\left(\frac{du}{dR} \right)_{R_0} = 0 ,$$

որտեղից ստացվում է

$$R_0^2 e^{-R_0/\rho} = \frac{\rho A e^2}{z \lambda} \quad (4.7)$$

Կապը, որի օգնությամբ (տրված λ և ρ մեծություններով) որոշվում է հավասարակշռության R_0 հեռավորությունը: Կապի էներգիայի հավասարակշռության արժեքը որոշվում է

$$u(R_0) = -\frac{A e^2}{R_0} \left(1 - \frac{\rho}{R_0} \right) \quad (4.8)$$

արտահայտությամբ: ρ մեծությունը կարելի է գնահատել, փորձում չափելով առածզականության ծավալային մոդուլը, որը $T = 0\text{K}$ ջերմաստիճա-

նում տրվում է (3.18) բանաձևով: Նկատի ունենալով, որ NaCl -ի կառուցվածքով ցանցի համար մեկ խոնային գույզին բաժին ընկնող ծավալը՝ $v = 2R^3$, (4.6), (4.7) և (3.12) բանաձևերից կստանանք՝

$$B_0 = \frac{Ae^2}{18R_0^4} \left(\frac{R_0}{\rho} - 2 \right) : \quad (4.9)$$

Համաձայն շափումների, KCl -ի համար $B_0 = 1,97 \cdot 10^{11} \text{ НН/սմ}^2$, $R_0 = 3,14 \cdot 10^{-8} \text{ սմ}$, $A \approx 1,75$, հետևաբար

$$\frac{R_0}{\rho} = \frac{18B_0 R_0^4}{Ae^2} + 2 \approx 10,4, \quad (4.10)$$

այսինքն՝ վանողական փոխազդեցությունն ի հայտ է գալիս $\rho \approx 0,3 \text{ Å}^{-3}$ չափությունում: Օգտվելով (4.10) և (4.8) արտահայտություններից, կասի էներգիայի համար կստանանք՝

$$u(R_0) = -\frac{Ae^2}{R_0} \left(1 - \frac{\rho}{R_0} \right) = -7,26 \text{ էՎ}, \quad (4.11)$$

որը շատ լավ է համընկնում փորձում ստացված $u_0 = -7,397 \text{ էՎ}$ արժեքի հետ:

Վանողական փոխազդեցության λ հաստատունի համար (4.7) և (4.10) արտահայտություններից ստացվում է ($z = 6$ դեպքում)

$$\lambda = \frac{A\rho e^2}{zR_0^2} \exp\left(\frac{R_0}{\rho}\right) \approx 4 \cdot 10^3 \text{ էՎ}$$

գնահատականը:

Եթե կապի էներգիայի հաշվարկը կատարվի (3.1) բանաձևի համաձայն, ապա (4.11) արտահայտության փոխարեն կստանանք՝

$$u(R_0) = -\frac{Ae^2}{R_0} \left(1 - \frac{1}{m} \right), \quad (4.12)$$

որը հավասարեցնելով $u(R_0) \approx -7,26 \text{ էՎ}-ի$, կարող ենք գնահատել m -ը՝

$$m = \frac{R_0}{\rho} \approx 10,4 :$$

Ինչպես և սպասվում էր որակական դաստիքություններից, $m < 12$: Ստացված արդյունքների համաձայն, Մաղելունզի էներգիան՝ $-Ae^2/R_0$ անդամը, կազմում է (4.8) բանաձևով տրվող կազմի էներգիայի հիմնական՝ մոտ 0,9 մասը, ուստի շատ կարևորվում է Մաղելունզի հաստատունի հաշվման խնդիրը:

Իննային ցանցի էլեկտրաստատիկ էներգիան հաշվելու համար անհրաժեշտ է գտնել որևէ ինչի գտնվելու կետում մյուս բոլոր ինների կողմից ստեղծված պոտենցիալը: Հաշվարկների ընթացքում ծագում է վատ գուգամիսող շարքի գումարը որոշելու խնդիր: Օրինակ, NaCl -ի կառուցվածքով ցանցի համար, եամածայն (4.5) բանաձևի, Մաղելունզի հաստատունը ստուգվում է հետևյալ շարքով՝

$$A = \frac{6}{\sqrt{1}} - \frac{12}{\sqrt{2}} + \frac{8}{\sqrt{3}} - \frac{6}{\sqrt{4}} + \frac{24}{\sqrt{5}} - \frac{24}{\sqrt{6}} + \frac{12}{\sqrt{7}} - \frac{24}{\sqrt{8}} + \dots, \quad (4.13)$$

որի գումարը հնարավոր չէ հաշվել անմիջական գումարման միջոցով: (4.13) շարքի գումարը գտնելու համար անհրաժեշտ է լավացնել նրա գուգամիտությունը: Դրան կարելի է հասնել, վերախմբավորելով շարքի անդամները, ինչը համապատասխանում է առանձին իններից էլեկտրաչեղոր խմբեր կազմելուն, որոնց պոտենցիալները հեռավորությունից կախված շատ ավելի արագ են նվազում, քան լիցքավորված համակարգի պոտենցիալը (նկ. II.6): Մասնավորապես, բյուրեղը կարելի է տրոհել էլեկտրաչեղոր, խորանարդային համաշափությամբ բաշխված լիցքով խորանարդների և հեշ-

$$\mathbf{e} \bullet \cdots \bullet \mathbf{-e} \quad r \quad \phi_1 \sim 1/r, \quad Q=e-e=0$$

$$\mathbf{e} \bullet \cdots \bullet \mathbf{-e} \quad r \quad \phi_2 \sim 1/r^2, \quad Q=e-e=0$$

$$\mathbf{e} \bullet \cdots \bullet \mathbf{-e} \quad r \quad \phi_3 \sim 1/r^3, \quad Q=2e-2e=0$$

Նկ. II.6

Մուլտիպլիքատորի հաշվել ոչ մեծ թվով խոնճեր պարունակող յուրաքանչյուր խորանարդի էներգիան: Բյուրեղի էնելիքուրաստավիկ էներգիան հավասար է այդ խորանարդների էներգիաների և նրանց փոխազդեցության էներգիաների գումարին: Վերջինները նվազում են հակադարձ նամենաստական հեռավորության հիմքերորդ աստիճանին, և նրանց գումարը արվում է արագ գուգամիանող շարքի տեսքով, որը $V \rightarrow \infty$ սահմանում կախված չէ գումարման եղանակից:

§5*. Մադելունգի հաստատունի հաշվարկման մեթոդները

Այժմ ծանոթանանք (4.13) տիպի շարքերի գումարը հաշվելու որոշ մեթոդների հետ, որոնց օգնությամբ որոշվում է պոտենցիալի վարքը տարածության մեջ որոշակի ձևով ընտրված էնելիքուրաչեզոր (միաչափ, երկչափ կամ եռաչափ) ցանցի համար:

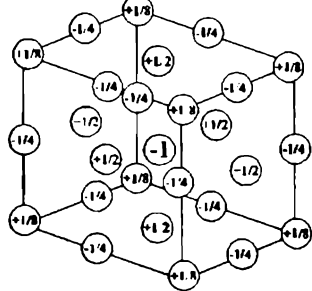
1. Էլյեմենտար մեթոդ

Կառուցենք խորանարդ, որի նիստերը նամընկնում են ատոմական եարքությունների հետ, ընդ որում նիստերի վրա գտնվող լիցքերը «բաժանում» ենք երկու հարևան տարրական բջիջների միջև, կողերի վրա գտնվող լիցքերը՝ չորս բջիջների միջև, իսկ զագարբներում գտնվող լիցքերը՝ ութ բջիջների միջև (Յկ. II.7): Որպես I խորանարդի կենտրոն ընտրենք $-e$ լիցքը: Բացի $-e$ կենտրոնական լիցքից, I խորանարդին բաժին է ընկնում 6 հատ ($+e$) լիցք՝ նիստերի վրա, 12 հատ ($-e$) լիցք՝ կողերի վրա և 8 հատ ($+e$) լիցք՝ զագարբներում, այնպես որ I խորանարդի գումարային լիցքը՝

$$q_I = 1 \cdot (-e) + 6 \cdot \frac{e}{2} + 12 \cdot \left(-\frac{e}{4} \right) + 8 \cdot \left(\frac{e}{8} \right) = 0,$$

իսկ նրա ներդրումը Մադելունգի հաստատունի մեջ՝

$$A_I = 6 \cdot \frac{1}{2} \cdot \frac{1}{1} - 12 \cdot \frac{1}{4} \cdot \frac{1}{\sqrt{2}} + 8 \cdot \frac{1}{8} \cdot \frac{1}{\sqrt{3}} = 1,456.$$



Յկ. II.7

Այժմ խորանարդն ընդարձակենք x , y , և առանցքներով $-a$ -ից մինչև $+a$: Նոր՝ II խորանարդում I-ը պարունակվում է ամբողջությամբ, (200), (210) և (211) կետերը՝ կիսով չափ, (220), (221) կետերը՝ քառորդով, իսկ (222) կետերը՝ մեկ ութերորդով, հետևաբար, Մադելոնգի հաստատունի համար կստանանք՝

$$A_{II} = 6 \cdot 1 - \frac{12}{\sqrt{2}} + \frac{8}{\sqrt{3}} - \frac{1}{2} \left(\frac{6}{\sqrt{4}} - \frac{24}{\sqrt{5}} + \frac{24}{\sqrt{6}} \right) + \\ + \frac{1}{4} \left(\frac{12}{\sqrt{8}} - \frac{24}{\sqrt{9}} \right) + \frac{1}{8} \cdot \frac{8}{\sqrt{12}} = 1,751769:$$

Եթե խորանարդն ընդարձակենք $-3a/2$ -ից մինչև $3a/2$ բոլոր առանցքներով, ապա Մադելոնգի հաստատունի համար կստանանք $A_{III} = 1,747039$ արժեքը: Ինչպես հետևում է այս արդյունքներից, $A_I, A_{II}, A_{III}, \dots$ մեծությունները կազմում են գուգամիսող հաջորդականություն: Ներկայում NaCl-ի կառուցվածքի համար ընդունված է (վեցերորդ նիշի ճշտությամբ) $A = 1,747565$ արժեքը:

Չնայած արագացված գուգամիտությանը, այս մեթոդը կապված է զգալի թվային հաշվարկների հետ, ուստի այն նպաստականար է օգտագործել նոր բյուրեղական կառուցվածքի A հաստատունի նախնական գնահատման համար:

2. Մադելոնցի մեթոդ

Բյուրեղը մտովի բաժանվում է էլեկտրաչեղոք ուղիղների և հարթությունների, որոնց ստեղծած պոտենցիալները հեռավորությունից կախված արագ նվազում են: Հետևաբար, դաշտը տվյալ կետում ստեղծվում է հիմնականում ոչ մեծ թվով ուղիղներով և (կամ) հարթություններով:

Դիտարկենք NaCl-ի տիպի կառուցվածքը և այն ներկայացնենք որպես առանցքին գուգահետ էլեկտրաչեղոք ուղիղների համախում:

Նախ որպեսնք $x = n\alpha$ կետերում տեղադրված e դրական լիցքերի և $-e/\alpha$ ֆոնի կողմից ստեղծված դաշտի պոտենցիալը: Այսպիսի համակարգում լիցքի բաշխումը տրվում է

$$\rho(x, y, z) = \delta(y)\delta(z) \left[\sum_n e\delta(x - na) - \frac{e}{a} \right] \equiv \delta(y)\delta(z)\rho(x) \quad (5.1)$$

ֆունկցիայով, որը բավարարում է էլեկտրաչեղոքության պայմանին՝

$$\int \rho(x, y, z) dx dy dz = \int_0^L \left[\sum_n e\delta(x - na) - \frac{e}{a} \right] dx = eN - \frac{e}{a}L = 0, \quad (5.2)$$

որտեղ N -ը տարրական (միաչափ) բջիջների թիվն է, իսկ L -ը՝ ցանցի երկարությունը x ուղղությամբ: Համաձայն (5.1) արտահայտության, լիքը խտությունը միաչափ սլարքերական ֆունկցիա է, ուստի այն կարելի է ներկայացնել Ֆուրյեի միաչափ շարքի տեսքով, որի ֆուրյե-գործակիցները, համաձայն I.5.11 բանաձևի, արվում են

$$\rho_g = \frac{1}{a} \int_0^a \rho(x) e^{-igx} dx = \frac{e}{a} (1 - \delta_{g,0}) \quad (5.3)$$

արտահայտությամբ, որտեղ $g = (2\pi/a) \cdot m$, $m = 0, \pm 1, \pm 2, \dots$: Արդյունքում (5.1) ֆունկցիան կներկայանանալու համաձայն կամաց առաջնային գործակը կազմում է արտահայտությամբ:

$$\rho(x, y, z) = \delta(y)\delta(z) \frac{e}{a} \sum_{m \neq 0} e^{\frac{i2\pi}{a} mx} \quad (5.4)$$

շարքի տեսքով: Օգտվելով Պուասոնի հավասարման լուծման ընդհանուր տեսքից և (5.4) արտահայտությունից, պոտենցիալի համար կստանանք՝

$$\varphi(R) = \int \frac{\rho(R')}{|R - R'|} dR' = \frac{e}{a} \sum_{m \neq 0} e^{\frac{i2\pi}{a} xm} \int_{-\infty}^{\infty} \frac{e^{\frac{i2\pi}{a} m(x' - x)}}{\sqrt{(x' - x)^2 + y^2 + z^2}} dx' : \quad (5.5)$$

Վերջին ինտեգրալն արտահայտվում է Մակ-Դոնալդի գրա կարգի ֆունկցիայի միջոցով, որի ինտեգրալային պատկերացումներից մեկն էլ

$$K_0(p) = \frac{1}{2} \int_{-\infty}^{\infty} \frac{e^{ipt}}{\sqrt{1+t^2}} dt, \quad p > 0 \quad (5.6)$$

արտահայտությունն է: (5.5) և (5.6) բանաձևերից հետևում է, որ

$$\varphi(R) = \frac{2e}{a} \sum_{m \neq 0} e^{\frac{i2\pi}{a} xm} K_0\left(\frac{2\pi}{a} |m| r\right), \quad (5.7)$$

որտեղ $r = \sqrt{y^2 + z^2}$ հեռավորությունն է «զարից»: Ինչպես հետևում է (5.7)

բանաձևից և $K_0(p)$ -ի՝ $p \gg 1$ դեպքում ասիմպտոտական վարքից՝

$$K_0(p) \approx \sqrt{\frac{\pi}{2p}} e^{-p} \left(1 - \frac{1}{8p} + \frac{1}{14p^2} + \dots \right), \quad (5.8)$$

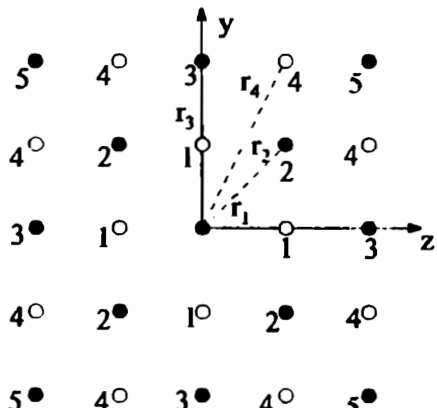
«լարից» հեռանալիս $\varphi(R)$ ֆունկցիան նվազում է էքսպոնենցիալ օրենքով:

Իրարից $a/2$ հեռավորության վրա գտնվող և իրար հաջորդող դրական և բացասական խճներով «լարի» պուտենցիալը հավասար է (5.7) բանաձևով արվող երկու շարքերի գումարին, ընդ որում, եթե e լիցքը դրված է $x = 0$ կետում, ապա

$$\begin{aligned} \Phi(x, r) &= \varphi(x, r) + \varphi\left(x + \frac{a}{2}, r\right) \Big|_{x \rightarrow -e} = \\ &= \frac{2e}{a} \sum_{m=0}^{\infty} e^{\frac{-2\pi}{a}xm} \left(1 - e^{i\pi m}\right) K_0\left(\frac{2\pi}{a}|m|r\right): \end{aligned} \quad (5.9)$$

Սիավորելով $\pm m$ անդամները և նկատի ունենալով, որ (5.9) արտահայտության մեջ ներդրում են տալիս կենտ m -ով գումարելիները, կստանանք՝

$$\Phi(x, r) = \frac{8e}{a} \sum_{m=0}^{\infty} \cos\left[(2m+1)\frac{2\pi x}{a}\right] K_0\left[\frac{2\pi}{a}(2m+1)r\right]: \quad (5.10)$$



Նկ. II.8

Պուտենցիալը կոօրդինատների սկզբնակեառում շրջապատի ուղիղ-ների և 0 կետը պարունակող ուղղի սանդած պուտենցիալների գումարն է (նկ. II.8, x առանցքն ուղղահայաց և գծազրի հարթությանը): «1» ուղղի (կա 4 այդպիսի ուղին) պուտենցիալը, համաձայն (5.10) բանաձևի, հավասար է $\Phi(0, r_1)$ ($r_1 = a/2$): «2» ուղղի (կա նույնպես 4 ուղին) պուտենցիալը հավասար է $\Phi(a/2, r_2)$, ($r_2 =$

$= a/\sqrt{2}$), քանի որ «2» ուղիղը և առանցքի ուղղությամբ $\xi = a/2$ -ով շեղված է այս ուղղի նկատմամբ, որի համար զրկված է (5.10) արտահայտությունը: Նման ձևով տրվում են «3», «4» և այլ ուղիղների պոտենցիալները: Նպատակահարմար է հաշվարկները ներկայացնել աղյուսակի ձևով (Աղյուսակ II.8): Հաշվումներն էայն կենացանան, եթե (5.10) արտահայտության մեջ ըստ m -ի գումարում պահպի միայն $m=0$ գումարելին: Այս մոտավորությունը հիմնավորված է, քանի որ անգամ ամենամուշ՝ «1» ուղղի համար $m=1$ և $m=0$ գումարելիների հարաբերությունը հավասար է

$$K_0\left(\frac{2\pi}{a} \cdot 3 \frac{a}{2}\right) / K_0\left(\frac{2\pi}{a} \cdot \frac{a}{2}\right) = K_0(3\pi) / K_0(\pi) \approx 10^{-3}:$$

Աղյուսակ II.8

Ուղղի համարը	z	ξ	r	Ներդրումը պոտենցիալի մեջ	Ներդրման թվա- յին արժեքը
0	1	0	0	$\frac{4e}{a} \ln 2$	$\frac{4e}{a} \cdot 0,6931$
1	4	0	$\frac{a}{2}$	$\approx 4 \cdot \frac{8e}{a} K_0(\pi)$	$4 \cdot \frac{8e}{a} \cdot 0,03$
2	4	$\frac{a}{2}$	$\frac{a}{\sqrt{2}}$	$\approx -4 \cdot \frac{8e}{a} K_0(\pi\sqrt{2})$	$-4 \cdot \frac{8e}{a} \cdot 0,007$
3	4	$\frac{a}{2}$	a	$\approx -4 \cdot \frac{8e}{a} K_0(2\pi)$	$-4 \cdot \frac{8e}{a} \cdot 0,0009$
4	8	0	$\frac{a\sqrt{5}}{2}$	$\approx 8 \cdot \frac{8e}{a} K_0(\pi\sqrt{5})$	$8 \cdot \frac{8e}{a} \cdot 0,0004$

Կոօրդինատների սկզբնակետով անցնող «0» ուղղի պոտենցիալը չի կարելի հաշվել (5.10) բանաձևով, քանի որ $y=z=0$ կետում այն տարամիտում է $K_0(x)_{x \rightarrow 0} \rightarrow -\infty$: Սակայն այդ ուղղի պոտենցիալը կարելի է հաշվել անմիջականորեն՝ (նկ. II.9)

$$\begin{aligned}\Phi_0(0) &= 2 \left(\frac{e}{a/2} - \frac{e}{2 \cdot a/2} + \frac{e}{3 \cdot a/2} - \frac{e}{4 \cdot a/2} + \dots \right) = \\ &= \frac{4e}{a} \left(1 - \frac{1}{2} + \frac{1}{3} - \frac{1}{4} + \dots \right) = \frac{4e}{a} \ln 2 : \end{aligned}\quad (5.11)$$

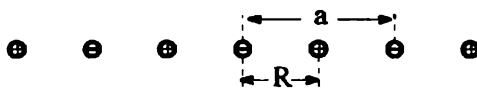
Այս արտահայտության օգնությամբ կարելի է, ի դեպ, գտնել միաչափ խոնային բյուրեղի Մադելունցի հաստատունը՝

$$-e\Phi_0(0) = -\frac{e^2}{a/2} \cdot 2 \ln 2 \equiv -\frac{e^2}{R} A, \quad A = 2 \ln 2 : \quad (5.12)$$

Դիտարկվող մոտավորության շրջանակներում 0, 1, 2, 3 և 4 ուղղղությունների սակեդած դաշտում $-e$ լիցքի էլեկտրաստատիկ էներգիան հավասար է Աղյուսակ II.8-ի վերջին սյունակում զրված ներդրումների գումարին՝ բազմապատկած ($-e$)-ով, այսինքն՝

$$\begin{aligned}u_d \equiv -A \frac{e^2}{R} &= -e \cdot \frac{8e}{a} (0,3465 + 0,12 - 0,028 - 0,0036 + 0,0032) = \\ &= -\frac{e^2}{a/2} \cdot 1,7464 : \end{aligned}\quad (5.13)$$

Զանի որ $R = a/2$, ապա (5.13) արտահայտությունից կստանանք Մադելունցի հաստատունի համար հետևյալ արժեքը՝ $A = 1,7464$, որը շատ քիչ է տարբերվում $1,747565$ ճշգրիտ արժեքից:



Նկ. II.9

Նշենք նաև, որ հաշվարկների ճշտությունը կարելի է մեծացնել առանց դժվարությունների, հաշվի առնելով նաև ավելի հեռվից ($r > a\sqrt{5}/2$) անցնող ուղղությունների ներդրումը 0 կետում պոտենցիալի արտահայտության մեջ:

3. Էվալյո մեթոդ

Ենթադրվում է, որ դրական կետային լիցքերը տեղադրված են ցանցի հանգույցներում, իսկ բացասական լիցքը բաշխված է համասեռ, այնպես,

որ ցանցի ամեն մի բջիջ էլեկտրաչեղոք է: Չանչի որ խոնային բյուրեղները կազմված են դրական և բացասական խոնային ցանցերից, լրիվ պոտենցիալը հաշվելիս տարանուն ցանցերի համասեռ բաշխված լիցքերն իրար համաշղում են, և արդյունքում մնում է դրական և բացասական խոնների ստեղծած դաշտը:

Ընարված մոդելի շրջանակներում լիցքի խառնքունը տրվում է հետևյալ պարբերական ֆունկցիայի ձևով՝

$$\rho(\mathbf{R}) = \sum_{\mathbf{l}} e \delta(\mathbf{R} - \mathbf{l}) - \frac{e}{v_0}, \quad (5.14)$$

որտեղ v_0 -ն տարրական բջիջի ծավալն է, գումարը տարվում է ըստ Բրավեի ցանցի հանգույցների: $\rho(\mathbf{R})$ ֆունկցիան կարելի է ներկայացնել Ֆուրյեի շարքի տեսքով, որի գործակիցներն են

$$\rho_g = \frac{1}{v_0} \int \rho(\mathbf{R}) e^{-i g \mathbf{R}} d\mathbf{R} = \frac{e}{v_0} (1 - \delta_{g,0}), \quad (5.15)$$

g -ն հակադարձ ցանցի կամայական վեկտոր է: Բյուրեղի պարբերականության հետևանքով ցանցի $\varphi(\mathbf{R})$ պոտենցիալը նույնպես կարելի է ներկայացնել Ֆուրյեի շարքի տեսքով՝

$$\varphi(\mathbf{R}) = \sum_g \varphi_g e^{i g \mathbf{R}}, \quad (5.16)$$

որի φ_g գործակիցները կապված են ρ_g գործակիցների հետ

$$\varphi_g = \frac{4\pi}{g^2} \rho_g \quad (5.17)$$

առնչությամբ, որմ անմիջականորեն բխում է Պուասոնի հավասարումից: (5.15)-(5.17) բանաձևերից ստացվում է պոտենցիալի համար հետևյալ արտահայտությունը՝

$$\varphi(\mathbf{R}) = \frac{4\pi e}{v_0} \sum_{g \neq 0} \frac{1}{g^2} e^{i g \mathbf{R}} : \quad (5.18)$$

Ստացված շարքը նույնաբան վատ է գուգամիառում, որքան և կուլոնյան $1/|\mathbf{R}|$ անդամներով շարքը: Իրոք, եթե (5.18) բանաձևում մեծ $|g|$ -երի համար գումարից անցնենք ինտեգրալի, ապա $|g|$ և $|g| + |dg|$ տիրույթում վի-

ճակների թվի արտահայտության մեջ ծագող g^2 արտադրիչը կկրծատվի հայտարարի g^2 -ու և նեա: Արդյունքում g վեկտորի մեծացման հետ առաջանակը $\exp(i\pi R)$ արտադրիչը փոփոխում է նշանը, սակայն նրա մեծությունը չի փորձանում, ինտելարար՝ շարքը չի գուգամիառում:

Չարքի գուգամիառությունը լավացնելու նպատակով $\delta(R)$ ֆունկցիան փոխարինենք զառայան բաշխման ֆունկցիայով՝

$$\delta(R) \rightarrow \varepsilon^3 \pi^{-3/2} \exp(-\varepsilon^2 R^2), \quad (5.19)$$

որտեղ ε պարամետրը որոշում է կորի լայնությունը, իսկ $\varepsilon^3 \pi^{-3/2}$ գործակիցը ապահովում է նորմավորումը: (5.14) բանաձևում կատարենք (5.19) փոխարինումը և գտնենք լիցքի բաշխման «նոր» $\rho^\varepsilon(R)$ ֆունկցիայի ֆուրյոնը գործակիցները՝ (անս Հավելված 2)

$$\rho_\varepsilon^\varepsilon = \frac{e}{v_0} \left(e^{-g^2/4\varepsilon^2} - \delta_{\varepsilon,0} \right) \quad (5.20)$$

(5.17) և (5.20) բանաձևերի օգնությամբ կստանանք՝

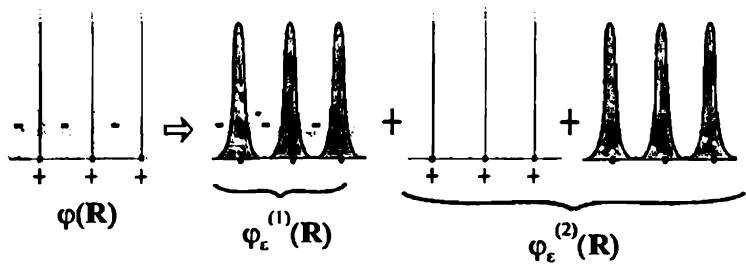
$$\rho_\varepsilon^{(1)}(R) = \frac{4\pi e}{v_0} \sum_{g \neq 0} \frac{1}{g^2} e^{-g^2/4\varepsilon^2 + igR} : \quad (5.21)$$

Այսպիսով, դրական զառայան բաշխումով լիցքի և բացասական համասեռ ֆոնի ստեղծած դաշտի պոտենցիալը, շնորհիվ $\exp(-g^2/4\varepsilon^2)$ արտադրիչի, շատ արագ գուգամիառում է:

Սակայն (5.21) արտահայտությունը չի համապատասխանում իրականությանը, քանի որ անհրաժեշտ է որոշել կետային դրական լիցքերի և բացասական ֆոնի դաշտը: Դրա համար ձևափոխենք (5.21) արտահայտությունը, գումարելով նրան ցանցի հանգույցներում գտնվող դրական կետային լիցքերի և զառայան բաշխումով բացասական լիցքերի ստեղծած պոտենցիալը: Վերջինս համակշռում է զառայան բաշխումով դրական լիցքերի պոտենցիալը (Յլ. II.10):

Որոշենք դրական կետային լիցքերի և զառայան բաշխումով բացասական լիցքերի խառնքը:

$$\rho_\varepsilon^{(2)}(R) = e \sum_l \delta(R-l) - e \pi^{-3/2} \varepsilon^3 \sum_l e^{-\varepsilon^2 (R-l)^2} \quad (5.22)$$



Նկ. II.10

ստեղծած $\phi_\epsilon^{(2)}(R)$ պոտենցիալը: Տեղադրելով (5.22) բաշխումը Պուասոնի հավասարման լուծման

$$\phi_\epsilon^{(2)}(R) = \int \frac{\rho(R')}{|R-R'|} dR' \quad (5.23)$$

արտահայտության մեջ և հաշվելով ի հայտ նկատ ինտեգրալները (տես Հավելված 2), կստանանք՝

$$\phi_\epsilon^{(2)}(R) = \sum_l \frac{1}{|l-R|} \operatorname{erfc}(\epsilon |l-R|) , \quad (5.24)$$

որտեղ

$$\operatorname{erfc} x = 1 - \operatorname{erf} x = 1 - \frac{2}{\sqrt{\pi}} \int_0^x e^{-t^2} dt \quad (5.25)$$

արտահայտությունը սխալների լրացուցիչ ֆունկցիան է, իսկ $\operatorname{erf} x$ -ը՝ սխալների ֆունկցիան:

Կազմենք $\phi_\epsilon^{(1)}$ և $\phi_\epsilon^{(2)}$ ֆունկցիաների գումարը և գտնենք նրա ածանցյալն ըստ ϵ պարամետրի: (5.21) և (5.24) բանաձևերից ստացվում է

$$\frac{d\phi_\epsilon^{(1)}}{d\epsilon} + \frac{d\phi_\epsilon^{(2)}}{d\epsilon} = -\frac{2\pi e}{\epsilon^3 v_0}$$

արտահայտությունը, որը կարելի է ներկայացնել ինտեղալ տեսքով՝

$$\frac{d}{d\epsilon} \left(\phi_\epsilon^{(1)} + \phi_\epsilon^{(2)} - \frac{\pi e}{\epsilon^2 v_0} \right) = 0 : \quad (5.26)$$

Այս առնչությունից հետևում է, որ

$$\Phi(R) = \varphi_{\varepsilon}^{(1)}(R) + \varphi_{\varepsilon}^{(2)}(R) - \frac{\pi e}{\varepsilon^2 v_0} \quad (5.27)$$

մեծությունը կախված չէ ε կամայական պարամետրից, ուստի հենց այս ֆունկցիան էլ ներկայացնում է խնդրի լուծումը:

Այսպիսով, դրական կետային վիցքերի (իոնների) և բացասական համասեռ ֆոնի դաշտի պոտենցիալը՝

$$\Phi^+(R) = \frac{4\pi e}{v_0} \sum_{g \neq 0} \frac{1}{g^2} e^{-g^2/4\varepsilon^2 + igR} + \sum_{l \neq 0} \frac{e}{|l-R|} \operatorname{erfc}(\varepsilon|l-R|) - \frac{\pi e}{\varepsilon^2 v_0} : \quad (5.28)$$

Եթե $\varepsilon \rightarrow \infty$, II և III գումարելիները ձգտում են զրոյի, իսկ $\exp(-g^2/4\varepsilon^2) \rightarrow 1$, և (5.28)-ից ստացվում է (5.18) արտահայտությունը:

Այժմ որոշենք ցանցի պոտենցիալը որևէ խճի գտնվելու կետում: Այդ կետում դաշտը եզակիություն ունի, որը պայմանավորված է տվյալ խճի $e/|R|$ պոտենցիալով, ուստի ցանցի մյուս բոլոր իոնների ստեղծած դաշտը $R=0$ կետմամբ կլինի՝

$$\begin{aligned} \Phi^+(0) &= \lim_{R \rightarrow 0} \left[\Phi^+(R) - \frac{e}{|R|} \right] = \frac{4\pi e}{v_0} \sum_{g \neq 0} \frac{1}{g^2} e^{-g^2/4\varepsilon^2} + \\ &+ \sum_{l \neq 0} \frac{e}{|l-R|} \operatorname{erfc}(\varepsilon|l-R|) - \frac{\pi e}{\varepsilon^2 v_0} + e \lim_{R \rightarrow 0} \left[\frac{1}{R} \operatorname{erfc}(\varepsilon R) - \frac{1}{R} \right]. \end{aligned} \quad (5.29)$$

$x \ll 1$ տիրույթում

$$\operatorname{erfc} x \approx 1 - \frac{2}{\sqrt{\pi}} x + \frac{2}{3\sqrt{\pi}} x^3 + \dots , \quad (5.30)$$

ուստի

$$\lim_{R \rightarrow 0} \left[\frac{1}{R} \operatorname{erfc}(\varepsilon R) - \frac{1}{R} \right] = -\frac{2\varepsilon}{\sqrt{\pi}} : \quad (5.31)$$

Այսպիսով, ցանցի սեփական պոտենցիալի համար կստանանք հետևյալ վերջնական արտահայտությունը՝

$$\Phi^+(0) = \frac{4\pi e}{v_0} \sum_{g \neq 0} \frac{1}{g^2} e^{-g^2/4\varepsilon^2} + \sum_{l \neq 0} \frac{e}{|l|} \operatorname{erfc}(\varepsilon|l|) - \frac{2\varepsilon e}{\sqrt{\pi}} - \frac{\pi e}{\varepsilon^2 v_0} : \quad (5.32)$$

Ցանկացած իոնային բյուրեղ կազմված է մի քանի պարզ ցանցերից, ուստի էլեկտրաստատիկ պոտենցիալը հավասար կլինի բոլոր պարզ ցանցերի ստեղծած պոտենցիալների գումարին:

$$\Psi(R) = \sum_{i=1}^s \Phi_i(R - R_i), \quad (5.33)$$

որտեղ s -ը տարրական բջջում իոնների թիվն է: Մեկ տարրական բջջին բաժին ընկնող էլեկտրաստատիկ էներգիան:

$$u_{el} = \frac{1}{2} \sum_{j=1}^s e_j \Psi(R_j) = \frac{1}{2} \sum_{j=1}^s e_j \Phi_j(0) + \frac{1}{2} \sum_{i,j,i \neq j}^s e_j \Phi_i(R_i - R_j); \quad (5.34)$$

Սասնավորապես, երկու պարզ ցանցերից բաղկացած իոնային բյուրեղների (օրինակ՝ NaCl , CsCl և այլն) դեպքում

$$e_1 = -e_2 = e, \Phi_1(R) \equiv \Phi^+(R), \Phi_2(R) \equiv \Phi^-(R) = \Phi^+(R)|_{e \rightarrow -e} = -\Phi^+(R),$$

և (5.34) ընդհանուր արտահայտությունից ստացվում է

$$u_{el} = e [\Phi^+(0) - \Phi^-(R_-)], \quad (5.35)$$

որտեղ ենթադրվում է, որ դրական իոնը գտնվում է. $R_1 = 0$, իսկ բացասական իոնը՝ $R_2 \equiv R_-$ կետում: (5.35) բանաձևում տեղադրելով (5.32) և (5.28) արտահայտությունները և արդյունքը հավասարեցնելով Մադելունգի $-e^2 A/R_0$ էներգիային, կստանանք Մադելունգի հաստատունի արտահայտությունը:

$$A = \frac{2\varepsilon R_0}{\sqrt{\pi}} - \sum_{l \neq 0} \frac{R_0}{|l - R_-|} \operatorname{erfc}\left(\varepsilon |l - R_-|\right) + \sum_{l \neq 0} \frac{R_0}{|l|} \operatorname{erfc}\left(\varepsilon |l|\right) - \\ - \frac{R_0}{\pi v_0} \sum_{b \neq 0} \frac{1}{b^2} \exp\left(-\frac{\pi^2 b^2}{\varepsilon^2}\right) \left[1 - \exp\left(2\pi i b R_-\right)\right], \quad (5.36)$$

որտեղ $b = g/2\pi$, իսկ գումարումները կատարվում են ըստ ուղիղ և հակադարձ ցանցերի հանգույցների: (5.36) արտահայտությունը կարելի է ներկայացնել ավելի հարմար տեսքով, եթե նշված գումարումները կատարվեն ըստ կոօրդինացիոն գնդղորտուների: Եթե նշանակենք N_s -ով ուղիղ ցանցում R_s շառավղով գնդղորտի վրա գտնվող որոշակի նշանով իոնների թիվը ($\mu_s = 1$ դրական, $\mu_s = -1$ բացասական լիցքերի համար), v_s -ով՝ հակադարձ ցան-

ցում b_s , շառավղով գնդոլորտի վրա զտնվող հանգույցների թիվը, ինչպես նաև $\kappa_s = b \cdot R_-$, ապա կստանանք՝

$$A = \frac{2\epsilon R_0}{\sqrt{\pi}} - R_0 \sum_{s=1}^{\infty} \frac{1}{R_s} \mu_s N_s \operatorname{erfc}(\epsilon R_s) - \frac{R_0}{\pi v_0} \sum_{s=1}^{\infty} \frac{v_s}{b_s^2} e^{-\pi^2 b_s^2 / \epsilon^2} (1 - e^{i \cdot 2\pi \kappa_s}) : (5.37)$$

Այժմ պարզենք, թե ինչպես է լավագույն ձևով որոշվում դեռևս կամայական ϵ պարամետրը: Համաձայն (5.28) արտահայտության, եթե ϵ -ն աճում է, ուղիղ ցանցով գումարի գուգամիտությունն արագանում է, իսկ հակադարձ ցանցով գումարինը՝ դանդաղում: ϵ -ը նվազելիս դիտվում է հակառակ վարքը:

Ֆիզիկական դատողություններից ակնհայտ է, որ $\Phi^+(0)$ մեծությունը կախված չէ ϵ -ից և բացասական է: Հետևաբար, որքան փոքր է բացարձակ արժեքը (5.32) բանաձևում վերջին երկու անդամների գումարը, այնքան փոքր է անվերջ գումարների ներդրումը: Նշված գումարը նվազագույնն է, եթե

$$\frac{d}{d\epsilon} \left(\frac{2\epsilon}{\sqrt{\pi}} + \frac{\pi}{\epsilon^2 v_0} \right) = 0 \quad \text{կամ } \epsilon_{\min} = \frac{\pi^{1/2}}{v_0^{1/3}} : \quad (5.38)$$

ϵ պարամետրը կարելի է ընտրել նաև այլ կերպ. օրինակ՝ այն պայմանից, որ ուղիղ և հակադարձ ցանցերով շարքերում էքսպոնենտները լինեն իրար հավասար՝

$$\exp \left(-\frac{\pi^2}{\epsilon^2 R_0^2} \right) \sim \exp(-\epsilon^2 R_0^2) \quad \text{կամ } \epsilon \approx \frac{\pi^{1/2}}{R_0} : \quad (5.39)$$

Մադելոնզի հաստատումի հաշվարկի ընթացքն ուսումնասիրենք NaCl -ի օրինակի վրա: Ինչպես դրական, այնպես էլ բացասական իրները կազմում են նիստակենտրոնացված խորանարդային ցանցեր, որոնք իրար նկատմամբ շեղված են $R_-(R_0, 0, 0)$ վեկտորով: Ուղիղ ցանցը տրվում է (տես I.1.20) $c_1(0, R_0, R_0)$, $c_2(R_0, 0, R_0)$, $c_3(R_0, R_0, 0)$ հիմնական վեկտորներով, իսկ հակադարձ (ծավալակենտրոնացված խորանարդային) ցանցը՝ (տես I.5.49) $b_1(-1/2R_0, 1/2R_0, 1/2R_0)$, $b_2(1/2R_0, -1/2R_0, 1/2R_0)$, $b_3(1/2R_0, 1/2R_0, -1/2R_0)$ հիմնական վեկտորներով: Տարրական բջջի ծավալը՝ $v_0 = 2R_0^3$, $\kappa_s = bR_- = b_x \cdot R_0 = (-n_1 + n_2 + n_3)/2$, ենտուաբար (5.37)

արտահայտության վերջին անդամի մեջ ներդրում են տալիս միայն կենտ կորդինացիոն գնդուրամերը, որոնց համար $1 - \exp(2\pi i \kappa_s) = 1 - \exp[i\pi(-n_1 + n_2 + n_3)] = 2$: (5.38) պայմանից ստացվում է ε -ի զնահատականը:

$$\varepsilon_{\min} = \frac{\pi^{1/2}}{2^{1/3} \cdot R_0} \approx \frac{1,4068}{R_0} : \quad (5.40)$$

Նպաստակահարմար է (5.37) արտահայտության մեջ անցնել չափողականություն չունեցող մեծությունների՝

$$\varepsilon \cdot R_0 \rightarrow \varepsilon = 1,4068, \quad R_s/R_0 \rightarrow R_s, \quad b_s R_0 \rightarrow b_s,$$

որից հետո ստանում ենք

$$A = \frac{2\varepsilon}{\sqrt{\pi}} - \sum_{s=1}^{\infty} \frac{\mu_s N_s}{R_s} \operatorname{erfc}(\varepsilon R_s) - \frac{1}{\pi} \sum_{s=1}^{\infty} \frac{\nu_s}{b_s^2} \exp\left(-\frac{\pi^2 b_s^2}{\varepsilon^2}\right). \quad (5.41)$$

Աղյուսակ II.9

s	Բացասական լիցքեր՝ $\mu_s = -1$					Դրական լիցքեր՝ $\mu_s = +1$				
	n_1	n_2	n_3	R_s	N_s	n_1	n_2	n_3	R_s	N_s
1	± 1	0	0	$1^{1/2}$	6	± 1	± 1	0	$2^{1/2}$	12
2	± 1	± 1	± 1	$3^{1/2}$	8	± 2	0	0	$4^{1/2}$	6
3	± 2	± 1	0	$5^{1/2}$	24	± 2	± 1	± 1	$6^{1/2}$	24
4	± 2	± 2	± 1	$9^{1/2}$	24	± 2	± 2	0	$8^{1/2}$	12
	± 3	0	0	$9^{1/2}$	6				.	
5	± 3	± 1	± 1	$11^{1/2}$	24	± 3	± 1	0	$10^{1/2}$	24

Քանի որ $R_1 = 0$ կետում զանվում է դրական իոնը, ապա բացասական իոնների կորդինատները խորանարդային առանցքներով տրվում են ամբողջ թվերով, որոնց գումարը կենտ է: Որպեսզի հաշվենք $R_s = (n_1^2 + n_2^2 + n_3^2)^{1/2}$ շառավղով կորդինացիոն գնդուրտի վրա զտնվող բոլոր կետերը, աներա-

Ժեշտ է զտնել $\pm n_1 \pm n_2 \pm n_3$ ($n_1, n_2, n_3 \geq 0$) թվերի տարբեր զուգորդությունների թիվը: Այսուսակ II.9-ում բերված են առաջին կինց կոօրդինացիոն զնդողությունների համար (n_1, n_2, n_3), R_s և N_s մեծությունները դրական և բացասական իոնների համար:

Հարկ է նշել, որ $s = 4$, $\mu_s = -1$ դեպքում ըստ ուղյուղ ցանցի զումարում՝ պետք է վերցնել $N_s = 24 + 6 = 30$: Մինչև անգամ մեծ ճշտությամբ հաշվարկների համար բավական է հաշվի առնել երկու կոօրդինացիոն զնդողություն հակադարձ տարածության մեջ և երեք-չորս կոօրդինացիոն զնդողությունը ցանցի համար: Արդյունքում Մադելունցի հաստատունի համար ստացվում է $A = 1,7475645946$ արժեքը:

Մադելունցի էներգիայի համար ստացված $u(R_0) = -Ae^2/R_0$ արտահայտությունը կիրառելի է AB սիլիկ միացությունների համար: Ընդհանուր դեպքում $A_n B_m$ տիպի միացության Մադելունցի էներգիան տրվում է

$$u_{el} = -A(n+m) \cdot \frac{Z_1 Z_2 e^2}{2R_0} \quad (5.42)$$

բանաձևով, որտեղ Z_1 -ը A աստմի արժեքականությունն է, Z_2 -ը՝ B աստմինը: Տարրական բջջի էլեկտրաչեղոքության պայմանից հետևում է $nZ_1 = mZ_2$ առնչությունը:

Մադելունցի հաստատունը կարելի է հաշվել ցանկացած ճշտությամբ, սակայն զործնականում կարելի է սահմանափակվել 10^{-3} -ի ճշտությամբ, քանի որ բյուրեղի լրիվ էներգիայի արտահայտության մեջ ներդրում են տալիս նաև այլ՝ ոչ կուլմյան բնույթի փոխազդեցություններ, որոնք հաշվում են զգալի փոքր ճշտությամբ, քան Մադելունցի էներգիան, և որոնք փոփոխակում են մի նյութից մյուսին անցնելիս:

§6. Կովալենտ կապի տեսությունը

Վանդերվաալսյան և իոնային կապերի մոտավոր տեսությունները լավագույն ձևով բացատրում են վործում դիտավող արդյունքները հիմնականում այն պատճառով, որ ատոմներում (մոլեկուլային բյուրեղներ) և իոններում (իոնային բյուրեղներ) էլեկտրոնների փոխադասավորությունը բյուրեղ

առաջանալիս գործնականորեն մնում է անփոփոխ:

Այլ է իրադրությունը կովալենտ բյուրեղներում, որտեղ ատոմներում էլեկտրոնների (հիմնականում՝ վալենտական) բաշխումն էապես տարբերվում է ազատ ատոմում էլեկտրոնների բաշխումից: Այս դասի բյուրեղների կապի էներգիան որոշելիս չի կարելի սահմանափակվել քոյլ կամ բոլորովին չեւափոխված ատոմների (իոնների) փոխազդեցության պոտենցիալ էներգիայի հաշվարկով:

Ստորև առաջարկվող կապի տեսության հիմնական նպատակը ոչ թե փորձում դիտվող և տեսության տված արդյունքների համեմատությունն է, այլ որոշակի պայմաններում երկու չեզոք ատոմների միջև կայուն և բավականաչափ ամուր կապի առաջացման բացատրությունը, ինչը հնարավոր է միայն քանտային տեսության շրջանակներում:

Պարզագույն մոլեկուլ՝ H_2 -ի համար կապի տեսությունը տվել են Վ.Հայտլերը և Ֆ.Լոնդոնը 1927թ.:

Զրածնի երկու ատոմներից կազմված համակարգի համիլտոնիանը ներկայացնենք (տես §2)

$$\hat{H} = \hat{H}_0 + \hat{H}' \quad (6.1)$$

տեսրով, որտեղ \hat{H}_0 -ն չփոխազդալ ատոմների համակարգի համիլտոնիանն է, որի սեփական էներգիան է

$$E_1^{(0)} = 2\epsilon_1^{(0)}, \quad (6.2)$$

իսկ ալիքային ֆունկցիան՝

$$\psi_a(r_1)\psi_b(r_2) : \quad (6.3)$$

(6.2) և (6.3) արտահայտությունները նկարագրում են համակարգի հիմնական վիճակը: $\epsilon_1^{(0)}$ -ն զրածնի ատոմի հիմնական վիճակի էներգիան է, $\psi_a(r_1)$ -ը՝ ալիքային ֆունկցիան: \hat{H}' անդամը նկարագրում է զրածնի երկու ատոմների փոխազդեցությունը և տրվում է (2.2) բանաձևով: Հետագա հաշվարկներում ենթադրվում է, որ այդ փոխազդեցությունը քոյլ է, և կարելի է օգտվել զրգությունների տեսության մեթոդներից: Այս ենթադրությունն ակնհայտութեան խախտվում է, եթե զրածնի ատոմների միջև ենուավորությունը դառնում է բորի շառավղի ($a_0 = \hbar^2 / me^2 \approx 0,53 \text{ Å}$) կարգի և ավելի փոքր՝

$R \leq a_0$, ուստի ստացվող արդյունքներն ունեն հիմնականում որակական արժեք:

Երկու փոխազդող ատոմներից բաղկացած համակարգի էներգիան գրգռումների տեսության առաջին մոտավորությամբ կարելի է ներկայացնել

$$E = 2\varepsilon_1^{(0)} + W \quad (6.4)$$

տեսքով, որտեղ փոխազդեցության W էներգիան որոշվում է որպես \hat{H}' օպերատորի միջին արժեք՝ ըստ հիմնական վիճակի ալիքային ֆունկցիայի՝

$$W = \int \psi_0^*(r_1, r_2) \hat{H}' \psi_0(r_1, r_2) dr_1 dr_2 : \quad (6.5)$$

$E_1^{(0)}$ էներգիայով հիմնական վիճակը կրկնակի այլասերլած է, քանի որ կան այդ նույն էներգիայով երկու տարրեր վիճակներ, որոնք նկարագրվում են $\psi_a(r_1)\psi_b(r_2)$ և $\psi_a(r_2)\psi_b(r_1)$ ալիքային ֆունկցիաներով: Ըստինգերի հավասարման գծայնության հետևանքով այդ ալիքային ֆունկցիաների

$$\psi_0(r_1, r_2) = \alpha \psi_a(r_1) \psi_b(r_2) + \beta \psi_a(r_2) \psi_b(r_1) \quad (6.6)$$

գծային համակցությունը, որտեղ α -ն և β -ն հաստատուն գործակիցներ են, նույնպես բավարարում է Ըստինգերի հավասարմանը:

Համաձայն տարրական մասնիկների նույնականության սկզբունքի, էլեկտրոնների փոխատեղությունը՝ $r_1 \leftrightarrow r_2$, չի կարող ազդել հավանականության խտության վրա, այսինքն՝

$$|\psi_0(r_1, r_2)|^2 = |\psi_0(r_2, r_1)|^2 . \quad (6.7)$$

Որտեղից էլ հետևում է $\alpha = \pm\beta$ առնչությունը: Այսպիսով, համաձայն (6.6) և (6.7) արտահայտությունների, հիմնական վիճակի ալիքային ֆունկցիան կարելի է ընտրել երկու ձևով՝

$$\psi_s(r_1, r_2) = \psi_a(r_1) \psi_b(r_2) + \psi_a(r_2) \psi_b(r_1) , \quad (6.8)$$

որը համաչափ է՝

$$\psi_s(r_1, r_2) = \psi_s(r_2, r_1) \quad (6.9)$$

և

$$\psi_{as}(r_1, r_2) = \psi_a(r_1) \psi_b(r_2) - \psi_a(r_2) \psi_b(r_1) , \quad (6.10)$$

որը հակահամաշափ է՝

$$\psi_{as}(r_1, r_2) = -\psi_{as}(r_2, r_1) : \quad (6.11)$$

Հարկ է նշել, որ (6.8) և (6.10) արտահայտությունները գրված են նորմավորման հաստատումի ճշտությամբ:

Եթեու էլեկտրոններից կազմված համակարգի երկու սպինային վիճակներին համապատասխանում են հետևյալ սպինային ալիքային ֆունկցիաները.

ա) սինգլետ վիճակ. համակարգի լրիվ սպինը՝ $\sigma_1 + \sigma_2 = 0$,

$$\chi_{AS}(\sigma_1, \sigma_2) = \chi_{AS}(\sigma_2, \sigma_1), \quad (6.12)$$

բ) տրիպլետ վիճակ. համակարգի լրիվ սպինը՝ $|\sigma_1 + \sigma_2| = 2|\sigma_1| = 1$,

$$\chi_S(\sigma_1, \sigma_2) = \chi_S(\sigma_2, \sigma_1); \quad (6.13)$$

Համակարգի $\Phi(r_1, \sigma_1; r_2, \sigma_2)$ լրիվ ալիքային ֆունկցիան պետք է ընտրել այնպես, որ այն բավարարի Պաուլիի սկզբունքից հետևող հակահամաշփռյան հատկությանը՝

$$\Phi(r_1, \sigma_1; r_2, \sigma_2) = -\Phi(r_2, \sigma_2; r_1, \sigma_1); \quad (6.14)$$

Քանի որ \hat{H}_0 համիլտոնիանը կախված չէ սպինից, ապա լրիվ ալիքային ֆունկցիան կներկայացվի սպինային և կորդինատական ալիքային ֆունկցիաների արտադրյալի տեսքով, ընդ որում, սինգլետ վիճակին համապատասխանում է համաչափ, իսկ տրիպլետ վիճակին՝ հակահամաշփռյան կորդինատական ֆունկցիան:

Այսպիսով, փոխազդեցության էներգիայի հաշվարկներում սպինային ֆունկցիաներն ուղղակիորեն չեն մասնակցում, սակայն նրանք պարտադրում են (ըստ համաշափության պահանջների) տարրեր սպինային վիճակներին համապատասխան կորդինատական ֆունկցիաների ըմտրություն, որի հետևանքով փոխազդեցության էներգիան սինգլետ և տրիպլետ վիճակներում, միջատումական R հեռավորությունից կախված, վայսպում է տարբեր օրենքներով:

Անցնենք փոխազդեցության էներգիայի հաշվարկին, օգտագործենալով նորմավորված ալիքային ֆունկցիաներ՝

$$\psi_s(r_1, r_2) = \frac{1}{\sqrt{2(1+S^2)}} [\psi_a(r_1)\psi_b(r_2) + \psi_a(r_2)\psi_b(r_1)], \quad (6.15)$$

$$\psi_{AS}(r_1, r_2) = \frac{1}{\sqrt{2(1-S^2)}} [\psi_a(r_1)\psi_b(r_2) - \psi_a(r_2)\psi_b(r_1)] , \quad (6.16)$$

որտեղ

$$\begin{aligned} \psi_a(r_1) &= (\pi a_0^3)^{-1/2} \cdot \exp\left(-\frac{r_1}{a_0}\right), \\ \psi_a(r_2) &= (\pi a_0^3)^{-1/2} \cdot \exp\left(-\frac{r_{2a}}{a_0}\right), \\ \psi_b(r_2) &= (\pi a_0^3)^{-1/2} \cdot \exp\left(-\frac{r_2}{a_0}\right), \\ \psi_b(r_1) &= (\pi a_0^3)^{-1/2} \cdot \exp\left(-\frac{r_{1b}}{a_0}\right), \end{aligned} \quad (6.17)$$

իսկ

$$S = \int \psi_a(r_1) \cdot \psi_b(r_1) dr_1 \quad (6.18)$$

մեծությանը «ծածկման» ինտեգրալն է: Ինչպես երևում է նկ. II.4-ից, (6.17) բանաձևերամ առկա $r_{2a} \equiv |r_{2a}|$ և $r_{1b} \equiv |r_{1b}|$ մեծություններն արտահայտվում են r_1, r_2 փոփոխականների և R պարամետրի միջոցով՝

$$r_{2a} = r_2 + R, \quad r_{1b} = r_1 - R : \quad (6.19)$$

Սիմզլետ վիճակում համակարգի էներգիան՝

$$E_s = 2\varepsilon_1^{(0)} + W_s, \quad (6.20)$$

որտեղ, համաձայն (6.5) բանաձևի՝

$$\begin{aligned} W_s &= \int \psi_s(r_1, r_2) \hat{H}' \psi_s(r_1, r_2) dr_1 dr_2 = \\ &= \frac{1}{2(1+S^2)} \int \{ \psi_a^2(r_1) H' \psi_b^2(r_2) + \psi_a^2(r_2) H' \psi_b^2(r_1) + \\ &\quad + \psi_a(r_1) \psi_b(r_2) H' \psi_a(r_2) \psi_b(r_1) + \psi_a(r_2) \psi_b(r_1) H' \psi_a(r_1) \psi_b(r_2) \} dr_1 dr_2: \end{aligned} \quad (6.21)$$

(6.21) արտահայտության II և IV գումարներում կատարելով ինտեգրման փոփոխականների վերանշանակում՝ $r_1 \rightarrow -r_2, r_2 \rightarrow -r_1$, կստանանք՝

$$W_s = \frac{1}{1+S^2} \int \{\psi_a^2(r_1) H' \psi_b^2(r_2) + \\ + \psi_a(r_1) \psi_b(r_2) H' \psi_a(r_2) \psi_b(r_1)\} dr_1 dr_2 = \frac{Q+A}{1+S^2}. \quad (6.22)$$

Նույն ձևակ տրիպլետ վիճակում փոխազդեցության էներգիայի համար ստացվում է

$$W_{AS} = \frac{Q-A}{1-S^2} \quad (6.23)$$

արտահայտությունը: (6.22) և (6.23) բանաձևերում Q -ով նշանակված է հետևյալ ինտեգրալը՝ (տես նաև (2.2) արտահայտությունը)

$$\begin{aligned} Q &= \int \psi_a^2(r_1) H' \psi_b^2(r_2) dr_1 dr_2 = \\ &= \int \psi_a^2(r_1) \left(\frac{e^2}{R} + \frac{e^2}{r_{12}} - \frac{e^2}{r_{1b}} - \frac{e^2}{r_{2a}} \right) \psi_b^2(r_2) dr_1 dr_2 = \\ &= \frac{e^2}{R} + \int \psi_a^2(r_1) \frac{e^2}{r_{12}} \psi_b^2(r_2) dr_1 dr_2 - \int \psi_a^2(r_1) \frac{e^2}{r_{1b}} dr_1 - \int \psi_b^2(r_2) \frac{e^2}{r_{2a}} dr_2; \end{aligned} \quad (6.24)$$

I գումարելին a և b միջուկների փոխազդեցության կուլոնյան էներգիան է, II գումարելին՝ երկու էլեկտրոնների, III գումարելին՝ b միջուկի և I-ին էլեկտրոնի (որը ստեղծում է լիցքի $\rho_a(r_1) = -e\psi_a^2(r_1)$ խտություն) և IV գումարելին՝ a միջուկի և 2-րդ էլեկտրոնի ($\rho_b(r_2) = -e\psi_b^2(r_2)$) փոխազդեցության կուլոնյան էներգիաները: Ակնհայտ է, որ III և IV գումարելիներն իրար հավասար են: (6.24) արտահայտությամբ որոշվող Q ինտեգրալը կրում է «կուլոնյան փոխազդեցության ինտեգրալ» անվանումը և ունի դասական իմաստ: Տեղադրելով (6.24) ինտեգրալում (6.17) բանաձևերով տրվող ալիքային ֆունկցիաները և հաշվելով ինտեգրալները, Q մեծության համար կստանանք՝

$$Q = \frac{e^2}{R} \exp \left(-\frac{2R}{a_0} \right) \left[1 + \frac{5}{8} \frac{R}{a_0} - \frac{3}{4} \left(\frac{R}{a_0} \right)^2 - \frac{1}{6} \left(\frac{R}{a_0} \right)^3 \right] \quad (6.25)$$

արտահայտություն:

(6.22) և (6.23) բանաձևերում A -ով նշանակված է այսպես կոչված փոխանակային ինտեգրալը՝

$$\begin{aligned}
 A &= \int \psi_a(r_1) \psi_b(r_2) H' \psi_a(r_2) \psi_b(r_1) dr_1 dr_2 = \\
 &= \int \psi_a(r_1) \psi_b(r_2) \left(\frac{e^2}{R} + \frac{e^2}{r_{12}} - \frac{e^2}{r_{1b}} - \frac{e^2}{r_{2a}} \right) \psi_a(r_2) \psi_b(r_1) dr_1 dr_2 = \\
 &= \frac{e^2}{R} S^2 + \int \psi_a(r_1) \psi_b(r_2) \frac{e^2}{r_{12}} \psi_a(r_2) \psi_b(r_1) dr_1 dr_2 - \\
 &\quad - S \int \psi_a(r_1) \frac{e^2}{r_{1b}} \psi_b(r_1) dr_1 - S \int \psi_b(r_2) \frac{e^2}{r_{2a}} \psi_a(r_2) dr_2 : \tag{6.26}
 \end{aligned}$$

(6.26) արտահայտության III և IV գումարելիները հավասար են:

Փոխանակային էներգիան համապատասխանում է էլեկտրաների և միջուկների միջև գործող կուլոնյան փոխազդեցարյան այն մասին, որը պայմանավորված է էլեկտրանների շարժումների միջև ծագող փոխադարձ կոռելյացիայով, ինչը հետևանք է “Պառլիի սկզբունքից բխող քվանտային փոխազդեցության”:

Փոխանակային էներգիայի հաշվարկը կապված է զգալի դժվարությունների հետ: Արդյունքում ստացվում է հետևյալ արտահայտությունը՝

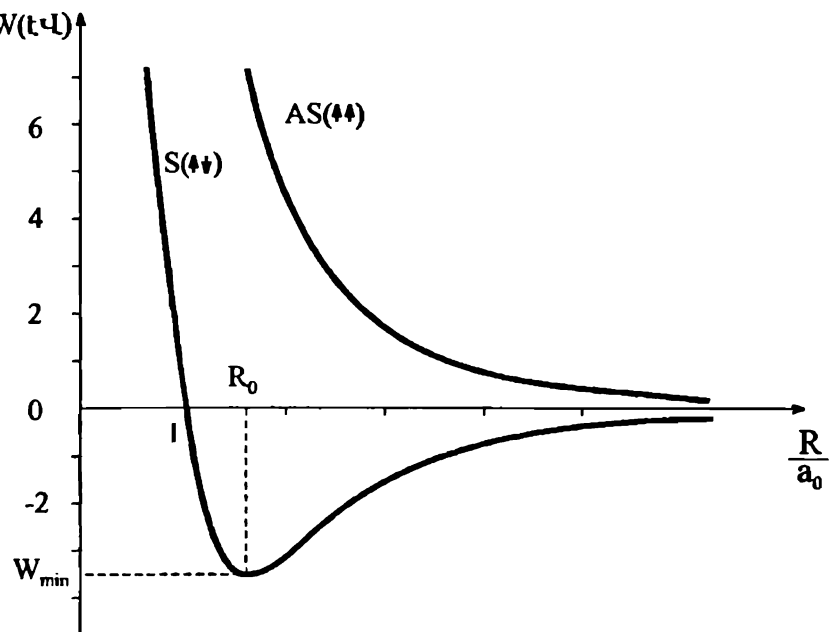
$$\begin{aligned}
 A &= \frac{e^2}{R} \left\{ S^2 \left[1 + \frac{6}{5} \left(C + \ln \frac{R}{a_0} \right) \right] - \frac{R}{a_0} \exp \left(-\frac{2R}{a_0} \right) \left[\frac{11}{8} + \frac{103}{20} \frac{R}{a_0} + \right. \right. \\
 &\quad \left. \left. + \frac{49}{15} \left(\frac{R}{a_0} \right)^2 + \frac{11}{15} \left(\frac{R}{a_0} \right)^3 \right] - \frac{6M}{5} \left[M \operatorname{Ei} \left(\frac{4R}{a_0} \right) - 2S \operatorname{Ei} \left(\frac{2R}{a_0} \right) \right] \right\}, \tag{6.27}
 \end{aligned}$$

որտեղ

$$S = \exp \left(-\frac{R}{a_0} \right) \left[1 + \frac{R}{a_0} + \frac{1}{3} \left(\frac{R}{a_0} \right)^2 \right], \quad M = S (R \rightarrow -R), \tag{6.28}$$

$C = 0.57722$ էյլերի հաստատունն է, իսկ

$$\operatorname{Ei}(x) = \int_x^\infty \frac{e^{-\xi}}{\xi} d\xi \tag{6.29}$$



Նկ. II.11

Ֆունկցիան իմտեղրալային էքսպոնենտն է:

Նկ. II.11-ում պատկերված է ջրածնի երկու ատոմների փոխազդեցության էներգիայի կախումը R հեռավորությունից սինգլետ (S) և տրիպլետ (AS) վիճակների համար:

Սինգլետ ($\uparrow\downarrow$) վիճակում փոխազդեցության էներգիան $R_0 = 1,51a_0 \approx 0,8\text{ \AA}$ կետում ունի նվազագույն արժեք՝ $W_{\min} = -3,2\text{ tՎ}$ և հեռավորության հետազոտ փոքրացմանը զուգընթաց կտրուկ աճում է:

Տրիպլետ ($\uparrow\uparrow$) վիճակում փոխազդեցության էներգիան R հեռավորությունը փոքրացմելիս աճում է մոնուոն, ինչը համապատասխանում է ատոմների միջև զործող վանողական ուժերին: Փորձում ջրածնի մոլեկուլի կապի էներգիայի $(|W_{\min}|)$ և հավասարակշռական R_0 հեռավորության համար ստացված են հետևյալ արժեքները՝ $|W_{\min}|_{ex} \approx 4,5\text{ tՎ}$, $R_0^{\alpha} \approx 0,74\text{ \AA}$:

Տեսության ոչ բավարար համընկնումը փորձի հետ հասկանալի է, քանի որ զրգումների տեսությունը կիրառելի է $R >> R_0$, բայց ոչ $R \leq R_0$ հեռավորությունների դեպքում, սակայն այն որակապես ճշշտ է նկարագրում ջրածնի երկու ատոմների միջև փոխազդեցության առանձնահատկությունները:

Կովալենտ կապի էներգիայի արժեքները մի քանի ատոմների գույգերի համար բերված են Աղյուսակ II.10-ում:

Աղյուսակ II.10

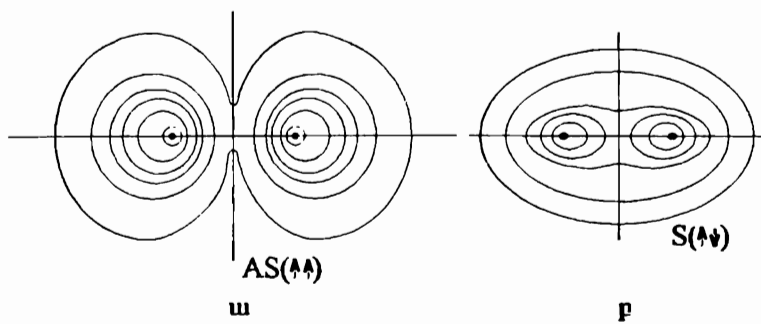
Զույգեր	Կապի էներգիա, էՎ
H–H	4,5
C–C	3,6
Si–Si	1,8
Ge–Ge	1,6
P–P	2,2
O–O	1,4
Te–Te	1,4
Cl–Cl	2,5

Այսպիսով, կապի առաջացումը ջրածնի ատոմների միջև սինգլետ վիճակում և նրանց փոխադարձ վանումը տրիպլետ վիճակում պայմանավորված է այդ վիճակներում էլեկտրոնների շարժման կոռելյացիայի տարբեր բնույթով: Նշված կոռելյացիան ենտևանք է էլեկտրոնների սպինների փոխադարձ դիրքորոշման և պայմանավորված չէ էլեկտրոնների մազնիսական մոմենտների փոխազդեցությամբ, որը $\mu_B^2/R_0^3 \sim 10^{-4}$ էՎ կարգի մեծության է:

Սինգլետ և տրիպլետ վիճակներում փոխազդեցության բնույթի տարբերությունը կարելի է հասկանալ, ուսումնա-

սիրելով համապատասխան կորդիֆնատական ֆունկցիաների վարքը (Յկ. II.12): Տրիպլետ վիճակին համապատասխանող (6.16) $\psi_{AS}(r_1, r_2)$ ֆունկցիան ունի հանգույց միջակները միացնող ուղղին ուղղահայաց և այն կիսող հարթության մեջ՝ $\psi_{AS}(r_1, r_2) = 0$ կամ $\psi_a(r_1)\psi_b(r_2) = \psi_a(r_2)\psi_b(r_1)$: Ընդհակառակը, սինգլետ վիճակի $\psi_S(r_1, r_2)$ ֆունկցիան այդ հարթության մեջ ունի առավելագույն արժեք, հետևաբար, էլեկտրոնների միջուկների միջև գտնվելու հավանականությունը մեծ է: Էլեկտրոնների և միջուկների միջև գործող ձգողական ուժերն էլ հենց բերում են կապված վիճակի առաջացման: Նկարում պատկերված են միևնույն էլեկտրոնային խտության գծերը: (ա) դեպքում լիցքի խտարյունը ատոմների միջև ունի նվազագույն արժեք, բացասական լիցքը հիմնականում տեղայնացված է առանձին միջուկների

մոտ: (բ) դեպքում էլեկտրոնային ամպերը միանում են իրար և ստեղծում մի միասնական էլեկտրոնային ամպ, որը «պարուրամ է» երկու միջուկները:



Նկ. II.12

Կապի առաջացումը կարելի է հեշտությամբ հասկանալ նաև անորոշությունների առնչության օգնությամբ: Իրոք, եթե էլեկտրոնը գտնվում է մի միջուկի մոտ, և նրա կոօրդինատի անորոշությունը ատոմի շափերի կարգի է, ապա նրա իմպուլսի անորոշությունը կինհի $\Delta p \sim \hbar/a$, իսկ էներգիայի անորոշությունը՝ $\Delta E \sim \hbar^2/ma^2$ կարգի: Եթե էլեկտրոնը կարողանա գտնվել երկու միջուկների մոտ, ապա նրա կոօրդինատի անորոշությունը՝ $b > a$, ենտևարար $\Delta p' \sim \hbar/b < \hbar/a$ և $\Delta E' \sim \hbar^2/m b^2 < \Delta E$, այսինքն՝ էլեկտրոնի կինետիկ էներգիան կնվազի: Եթե այդ նվազումը գերազանցում է վանողությամբ պայմանավորված էներգիայի աճը, ապա արդյունքում կստացվի ձգողություն:

Կովալենտ կապի կարևոր հատկությունն է նրա հազեցվածությունը, այսինքն՝ տվյալ կապի մեջ կարող է մասնակցել միայն երկու էլեկտրոն: Այսպես, օրինակ, եթե ջրածնի մոլեկուլին մոտեցվում է ջրածնի երրորդ ատոմը, ապա փոխազդեցության էներգիան փոփոխվում է միայն դասական կուլոնյան էներգիայի հաշվին, իսկ փոխանակային փոխազդեցությունը չի առաջանում, ենտևարար, ջրածնի երրորդ ատոմը կվանվի մոլեկուլից:

Կովալենտ կապի մյուս կարևոր հատկությունը նրա տարածական ուղղորդվածությունն է: Սա հետևանք է այն բանի, որ արժեքական էլեկտրոնների ստեղծած արդյունարար էլեկտրոնային ամպն ընդհանուր դեպ-

քում օժտված չէ գնդային համաշափությամբ, այլ ձգված է որոշակի ուղղագրյան ներքությամբ: Մյուս կողմից, կապի առաջացման համար անհրաժեշտ է փոխազդող ատոմների էլեկտրոնային անպերի վերադրում, որի հետևանքով էլ կապվող ատոմները կազմնորոշված են միմյանց նկատմամբ որոշակի ձևով:

Կովալենտ կապի տարածական ուղղորդվածությունը խոչընդոտում է ատոմների՝ իրար նկատմամբ տեղափոխությանը (սահքին), որի հետևանքով կովալենտ բյուրեղները կոչտ են, ունեն մեծ ամրաթյուն, բայց միաժամանակ և փխարուն են:

Միջատոմական հեռավորության մեծացման հետ կովալենտ փոխազդեցարյան ուժերը նվազում են էքսպոնենտական օրենքով (տես (6.25), (6.27)-(6.29) բանաձևերը):

§7. Սետաղական կապի տեսությունը

Սետաղական կապն իր բնայթով շատ ավելի բարդ է, քան կապի մյուս տեսակները: Պարզենք, թե ինչպես է այն առաջանալ:

Իրարից մեծ՝ $R >> a_0$ հեռավորությունների վրա գտնվող ատոմների միջև գործում են վանդերվաալյան ճգողականության ուժեր, որոնց ազդեցության տակ ատոմներն իրար են մոտենում: Եթե $R \geq a_0$, ատոմների էլեկտրոնային քաղանքները սկսում են վերադրվել: Պառվիդ սկզբունքի համաձայն, որոշ էլեկտրոններ ստիպված անցնում են մեծ էներգիաներով վիճակների, ընդ որում ատոմի մեջ համեմատաբար քայլ կապված արժեքական էլեկտրոնները «պոլվում» են ատոմից, և առաջանում են ազատ էլեկտրոններ և դրական իոններ: Իոնացման հետևանքով զգալիորեն մեծանում է պոլված էլեկտրոնի կոօրդինատի անորոշաբերյունը և, անորոշաբերյունների առնչարյան համաձայն, զգալիորեն փոքրանում է նրա իմպուլսն ու էներգիան: Արդյունքում ատոմներից պոլված և ընդհանրացված էլեկտրոնների միջին էներգիան, հետևաբար և բոլոր էլեկտրոններից և իոններից կազմված համակարգի լրիվ էներգիան փոքրանում է չեղոք ատոմներից կազմված համակարգի էներգիայի համեմատությամբ, ինչն էլ, ի վերջո, բերում է մետաղական կապի առաջացման:

Մետաղական կապի առաջացումը որակապես կարելի է բացատրել պարզագոյն մոդելի շրջանակներում, որի համաձայն մետաղն իրենից ներկայացնում է դրական կետային իոններից կազմված տարածական ցանց, որը «գտնվում» է էլեկտրոնային զազում:

Համակարգի լրիվ էներգիան բաղկացած է երկու հիմնական մասից՝ էլեկտրոնների և իոնների կուլոնյան փոխազդեցության էներգիայից և էլեկտրոնների շարժման կինետիկական էներգիայից, որը $T = 0\text{K}$ ջերմաստիճանում բացառապես պայմանավորված է Պատվիրակության սկզբունքով:

Էլեկտրոնների և իոնների կուլոնյան (էլեկտրաստատիկ) փոխազդեցության էներգիան կարելի է ներկայացնել

$$E_{el} = -A^* \frac{z^2 e^2}{R} N \quad (7.1)$$

արտահայտությամբ, որտեղ z -ը խոնի արժեքականությունն է, R -ը՝ երկու մոտակա իոնների միջև հեռավորությունը, N -ը՝ իոնների թիվը, իսկ A^* գործակիցը Մադելունցի հաստատությունը՝ նմանակն է:

Վիճակագրական ֆիզիկայից հայտնի է, որ էլեկտրոնային զազի միջն կինետիկական էներգիան $T = 0\text{K}$ -ում տրվում է

$$E_{kin} = \frac{3}{5} (3\pi^2)^{2/3} \frac{\hbar^2}{2m} \left(\frac{N_e}{V} \right)^{2/3} \cdot N_e \quad (7.2)$$

բանաձևով, որտեղ N_e -ն էլեկտրոնների թիվն է, իսկ V -ն՝ համակարգի (մետաղի) ծավալը: Մետաղի էլեկտրաչեղործության պայմանից հետևում է, որ $N_e = zN$:

Եթե տարրական բջիջը պարանակում է մեկ իոն, ապա նրան բաժին ընկնող լրիվ էներգիան՝

$$u(R) = \frac{1}{N} (E_{el} + E_{kin}) = -A^* \frac{z^2 e^2}{R} + \frac{3}{5} (3\pi^2)^{2/3} \frac{\hbar^2 z^{5/3}}{2m} n^{2/3}, \quad (7.3)$$

որտեղ n -ը իոնների խտությունն է: Իոնների խտությունը և մոտակա իոնների միջև R հեռավորությունը կապված են

$$n = \beta R^{-3} \quad (7.4)$$

առնչությամբ, իսկ β թվային գործակցի արժեքը կախված է տարրական բջիջի երկրաչափությունից: Որպես տարրական բջիջ ընտրենք Վիզներ-

Զեյտոնի բջիջը, որն, իր հերթին, մոտարկենք $R/2$ շառավիղ ունեցող գնդով:

Եթե (7.4) առնչությունը ներկայացնենք

$$n = \frac{N}{V} = \frac{1}{V/N} = \frac{6}{\pi} R^{-3} \quad (7.5)$$

տեսքով, ապա β գործակցի համար կստանանք հետևյալ արժեքը

$$\beta = 6/\pi : \quad (7.6)$$

Այս մոտավորաբան շրջանակներում մեծ ճշտությամբ կարելի է ծավալակենտրոնացված, նիստակենտրոնացված խորանարդային, ինչպես նաև խիտ դարսվածքով հերսագոնալ կառուցվածքների համար (7.1) բանաձևում ընդունել $A^* = 1,8$:

(7.2), (7.4) և (7.6) արտահայտությունների միջոցով $u(R)$ էներգիան կարելի է ներկայացնել

$$u(R) = -\frac{a}{R} + \frac{b}{R^2} \quad (7.7)$$

տեսքով, որտեղ

$$a = A^* z^2 e^2, \quad b = \frac{3}{5} \left(3\pi^2\right)^{2/3} \frac{\hbar^2 z^{5/3}}{2m} \beta^{2/3} : \quad (7.8)$$

(7.7) արտահայտության II գումարելին վանողական ուժերի ներդրումն է:

$u(R)$ էներգիան ունի նվազագույն արժեք հավասարությունական R_0 հեռավորության համար, որը որոշվում է

$$\left(\frac{du}{dR}\right)_{R=R_0} = 0 \quad (7.9)$$

ապայմանից և արտահայտվում է a և b հաստատումների միջոցով՝

$$R_0 = \frac{2b}{a} = \frac{3(18\pi)^{2/3}}{5A^* z^{1/3}} a_0 \approx \frac{2,6}{z^{1/3}} \text{ Å}, \quad (7.10)$$

որը ցանցի հաստատումի կարգի է: Մնկ բջջին բաժին ընկնող հավասարակշռական էներգիայի համար (7.7) և (7.10) արտահայտություններից կստանանք՝

$$u_0 = u(R_0) = -\frac{a^2}{4b} = -\frac{5A^* z^{7/2}}{(18\pi)^{2/3}} Ry, \quad (7.11)$$

որտեղ $Ry = me^4/2\hbar^2 \approx 13,6$ էՎ: Եթե $z = 1$, $u_0 \approx -5$ էՎ:

(7.7), (7.9)-(7.11) բանաձևերի օգնությամբ (3.12) սահմանումից կարելի է ստանալ սեղմնան առաձգական մոդուլի արտահայտությունը՝

$$B_0 = v \frac{d^2 u(R)}{dv^2} = v \cdot \frac{d^2 u(R)}{dR^2} \left(\frac{dR}{dv} \right)^2 = \frac{2|u_0|}{9v_0} = \frac{a^5}{24\pi b^4}, \quad (7.12)$$

որտեղ v_0 -ն տարրական բջջի ծավալն է հավասարակշռական վիճակում և ըստ (5.5) բանաձևի, հավասար է $\pi R_0^3/6$: Թվային գնահատումների համաձայն, $B_0 \approx 10^{11}$ դին/սմ², որը, ինչպես և R_0 և u_0 մեծությունների համար ստացված արժեքները, բավական մոտ է փորձում դիտվող արժեքներին:

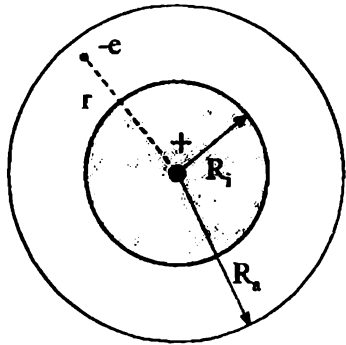
Գննարկված մոդելն ունի բացահայտ պրակական բերություն, քանի որ հավասարակշռական R_0 հեռավորությունը կախված չէ կոնկրետ մետաղի բնութագրերից: Համաձայն (7.10) բանաձևի, այն նույն արժեքն ունի միևնույն արժեքականությամբ բոլոր մետաղների համար: Այս բերությունը հետևանք է կետային իոնների մոռավորության և բերում է երկու հիմնական գործուների անտեսման:

Առաջին, քանի որ իոններն ունեն վերջավոր ծավալ, ապա իրական էլեկտրոնային խտությունը՝

$$n_e = \frac{N_e}{V - V_i} = \frac{N_e}{V - v_i N} = \frac{n_{e0}}{1 - v_i/v_0} = \frac{n_{e0}}{1 - (R_i/R_a)^3} > n_{e0}, \quad (7.13)$$

որտեղ R_i -ն իոնի շառավիղն է, n_{e0} -ն՝ տեսության մեջ օգտագործված էլեկտրոնային խտությունը ($R_i = 0$ դեպք), $R_a = R/2$: $n_e > n_{e0}$ անհավասարությունը բերում է էլեկտրոնների կինետիկական էներգիայի մեծացման և ցանցի հաստատումի աճին: (7.13) առնչության համաձայն, n_e իրական էլեկտրոնային խտությունը կախված է նյութի տեսալից իոնի շառավղի միջոցով:

Երկրորդ, իոնների վերջավոր չափերի պատճառով էլեկտրոնները չեն



Նկ. II.13

Կարող թափանցել իոնների կողմից գրադիցված տիրույքները, ուստի միջին հաշվով ավելի հետո կզտնվեն իոնի կևալունից, քան կետային իոնի դեպքում, որն էլ կրերի կուլոնյան էներգիայի բացարձակ արժեքի փոքրացման: Իրոք, եթե էլեկտրոնը գտնվում է $R_i < R_a$ շառավիղներով զնդերի միջև (Ըկ. II.13), ապա կուլոնյան փոխազդեցության էներգիայի մնածության միջինը՝

$$\bar{\varepsilon} = \left(\frac{e^2}{r} \right)_{av} = \frac{e^2 \int_{R_i}^{R_a} \frac{1}{r} \cdot 4\pi r^2 dr}{4\pi(R_a^3 - R_i^3)/3} = \frac{3e^2}{2R_a} \left[1 + \frac{(R_i/R_a)^2}{1 + R_i/R_a} \right]^{-1} : \quad (7.14)$$

Համաձայն այս զնահատականի

$$\bar{\varepsilon}(R_i = 0) > \bar{\varepsilon}(R_i \neq 0) : \quad (7.15)$$

Այսպիսով, նշված երկու գործոններն էլ իոնի շառավողի մեծացմանը զուգընթաց բերում են ցանցի հաստատունի մեծացման, ինչն, իրոք համապատասխանում է փորձում դիտվող արդյունքներին:

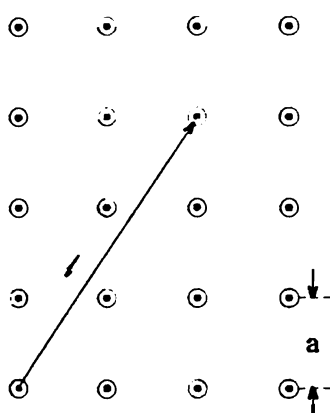
Իրականում մետաղի կապի էներգիայի մեջ վերը նշված երկու հիմնական ներդրումներից բացի, զգալի ներդրմաններ են տալիս նաև մի շարք այլ փոխազդեցություններ (փոխանակային, կոռելյացիոն և այլն): Մասնավորապես, ցանցի փոքր հաստատուններ ունեցող բյուրեղներում, օրինակ՝ ազնիվ մետաղներում (Cu, Ag, Au), ինչպես նաև անցումային մետաղներում (Mo, W, Re), էական դեր է խաղում իոնների չլրացված ներքին բաղանքների էլեկտրոնների միջև փոխազդեցությունը, որն իր բնոյքով մոտ է կովալենտականին (տես Աղյուսակ II.4): Մյուս կողմից, առաջին խմբի մետաղների մոտ, որոնք ունեն ցանցի համեմատաբար մեծ հաստատուններ, նշված փոխազդեցությունը զործնականորեն բացակայում է:

Մետաղական կապն ապահովող էլեկտրաստամիկ ուժերի բնույթով է պայմանավորված մետաղների առաձգական և պլաստիկ հատկությունները: Քանի որ էլեկտրաստամիկ ուժերն ուղղորդված չեն, ապա իոնները կարող են համեմատաբար հեշտությամբ մի տեղից մյուսը տեղափոխվել, եթե դրան չեն խոչընդոտում իոնի սեփական շափերը: Կապի էներգիան հիմնականում կախված է իոնների դարսման խտությունից, ուստի համակարգը հեշտությամբ հարմարվում է ցանցի կանոնավոր կառուցվածքի տեղային խախտումներին, որը բերում է մետաղների մոտ պլաստիկության առավել ցայտուն դրսնորման:

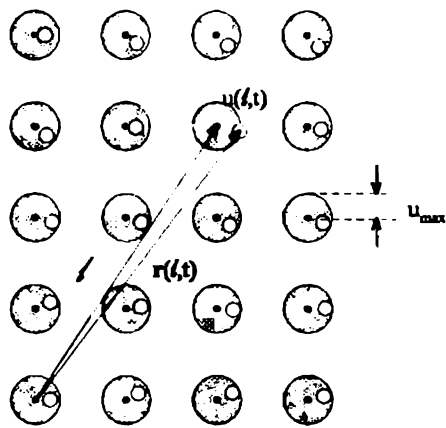
ԲՅՈՒՐԵՂԱԿԱՆ ՑԱՆՑԻ ԴԻՆԱՍԻԿԱՆ

§1. Ներդաշնակ մոտավորություն

Բյուրեղական կառուցվածքներն ուսումնասիրելիս ենթադրվում է, որ ատոմները (իոնները) անշարժ ամրացված են բյուրեղական ցանցի հանգույցներում (տարածական ցանցի ստատիկ մոդել. նկ. III.1): Այս ենթադրությունն իրականուն շատ արիեւտական է, քանի որ ցանկացած չերմաստիճանում, ներառյալ նաև $T = 0\text{K}$, ատոմները կատարում են տատանողական շարժում:



Նկ. III.1



Նկ. III.2

Իրականությանն ավելի մոտ է հետևյալ ենթադրությունը՝ յուրաքանչյուր ատոմի հավասարակշռության դիրք համընկնամ է Քրավեի ցանցի որևէ հանգույցի հետ:

Այս ենթադրությունը թույլ է տալիս բացատրել պինդ մարմինների բյուրեղական կառուցվածքը և հավասարագոր է այն պնդմանը, որ, չնայած ատոմների շարժմանը, պինդ մարմնում պահպանվում է Քրավեի ցանցը, որը սակայն նկարագրում է ատոմների ոչ թե ակնթարթային, այլ միջինաց-

ված դիրքերը: Այսպիսով, կարելի է միարժեքորեն որոշել ամեն մի ատոմի դիրքը, տարով թրավեի ցանցի I համգույցը, որի շորջ ատոմը կատարում է տատանումներ: Առօմի ակնքարթային դիրքը նկարագրող $r(I,t)$ վեկտորը կարելի է ներկայացնել

$$r(I,t) = I + u(I,t), \quad (1.1)$$

տեսքով, որտեղ $u(I,t)$ վեկտորը I հանգույցի ատոմի շեղումն է իր հավասարակշռության դիրքից տվյալ t պահին: $u(I,t)$ շեղման միջինը տատանման պարբերության համար՝

$$\langle u(I,t) \rangle = 0 : \quad (1.2)$$

Բարդ (բազիսով) բյուրեղական ցանցի դեպքում (1.1) առնչության փոխարեն ակնքարթային դիրքը որոշվում է

$$r_j(I,t) = I + d_j + u_j(I,t) \quad (1.3)$$

արտահայտությամբ, որտեղ d_j վեկտորով տրվում է j -րդ ատոմի հավասարակշռության դիրքը տարրական բջջում:

Հիմնվելով բազմարիվ փորձառական փաստերի վրա, կարելի է անել ևս մի ենթադրություն, համաձայն որի ցանկացած ատոմի առավելագույն շեղումն իր հավասարակշռության դիրքից շատ փոքր է միջատոմական հեռավորությունից (ցանցի հաստատումից):

$$|u(I,t)| \leq u_{\max} << a : \quad (1.4)$$

Այս ենթադրության շնորհիվ բյուրեղական ցանցի դինամիկայի հիմնական խնդիրը բերվում է մեծ քվով ազատության աստիճաններ ունեցող մեխանիկական համակարգի փոքր տատանումների ուսումնասիրությանը:

Եթե բյուրեղական ցանցի պատճենցիալ էներգիան, որը ցանցը կազմող ատոմների կուրողինատների ֆունկցիա է, վերածենք շարքի ըստ հավասարակշռության դիրքերից ունեցած փոքր $u(I,t)$ շեղումների և արհամարիենք քառակուսային անդամին հաջորդող մյուս անդամները, ապա կստանանք պոտենցիալ էներգիայի արտահայտությունն այսպես կոչված ներդաշնակ (հարմոնիկ) նոտավորությամբ: Այս մոտավորության շրջանակներում ստացվում են բազմարիվ քանակական արդյունքներ, որոնք շատ հաճախ լավագույնս համընկնում են փորձի հետ:

Բնականաբար, ներդաշնակ մոտավորությունն ի վիճակի չէ բացատ-

րել մի շարք ֆիզիկական երևույթներ, որոնցում սկզբունքային նշանակություն ունի ցանցի պոտենցիալ էներգիայի վերլուծության մեջ ոչ ներդաշնակ ($\sim O(u^3), O(u^4)$) անդամների հաշվառումը: Դրանց թվին են պատկանում ջերմային ընդարձակումը, ջերմահաղորդականության գործակցի վերջավոր լինելը, առածգական հաստատունների ջերմաստիճանային կախումները և այլն:

Գործնականում (1.4) պայմանը խախտվում է միայն պինդ հելիումի դեպքում, որը նկարագրելու համար ստեղծված է առանձին տեսարժություն:

Հետազա ուսումնասիրությունների ժամանակ ենթադրվում է, որ բյուրեղական ցանցը կարելի է նկարագրել դասական մեխանիկայի շրջանակ-ներում: Այս ենթադրությունը լիովին եխնավորված է բարձր ջերմաստիճաններում: Ցածր ջերմաստիճանների տիրույթում, երբ առավելապես դրսնորվում են ատոմների քվանտային հատկությունները, բյուրեղական ցանցի տեսությունը եխնավում է քվանտային մեխանիկայի օրինաչափությունների վրա:

§2. Տատանումները և ալիքները պարզ միաշափի ցանցում

Բյուրեղական ցանցի տատանողական շարժման ուսումնասիրությունը նպատակահարմար է սկսել միաշափի պարզ ցանցի մոդելի մանրամասն քննարկումից:

Ունենք միևնույն m զանգվածով $N+1$ աստոմներ, որոնք կարող են ազատ շարժվել մեկ ուղղությամբ: Կենթաղյենք, որ այս համակարգի Φ պոտենցիալ էներգիան նվազագույնն է, եթե ատոմները դասավորված են միմյանցից միևնույն σ հեռավորության վրա: Նշանակենք u_n -ով n -րդ ատոմի շեղումը հավասարակշռության դիրքից:

Ներդաշնակ մոտավորությամբ համակարգի պոտենցիալ էներգիան՝

$$\Phi(u_0, u_1, \dots, u_N) = \Phi_0 + \frac{1}{2} \sum_{n, n'} A(n, n') \cdot u_n \cdot u_{n'} , \quad (2.1)$$

որտեղ Φ_0 հաստատում անդամը պոտենցիալ էներգիան է հավասարակշռության վիճակում,

$$A(n, n') = \left(\frac{\partial^2 \Phi}{\partial u_n \partial u_{n'}} \right)_0 = A(n', n) \quad (2.2)$$

մեծարյուններն ուժային հաստատուններն են (n և n' ատոմների համար), որոնք որոշվում են պոտենցիալ էներգիայի ածանցյալների արժեքներով $u_n = 0$ հավասարակշռության դիրքերում: (2.1) վերլուծության մեջ բացակայում է ըստ u_n շեղումների զծային անդամը, քանի որ, ենթադրության համաձայն, հավասարակշռության վիճակում համակարգի պոտենցիալ էներգիան նվազագույնն է:

Եթե n -րդ ատոմը շեղված է հավասարակշռության դիրքից, ապա ցանցի մնացած ատոմների կողմից նրա վրա ազդող ուժը՝

$$\begin{aligned} F_n &= -\frac{\partial U}{\partial u_n} = -\frac{1}{2} \sum_{n', n''} A(n', n'') \frac{\partial}{\partial u_n} (u_n u_{n'}) = \\ &= -\frac{1}{2} \sum_{n', n''} A(n', n'') (u_{n'} \delta_{n', n''} + u_{n''} \delta_{n', n''}) = -\sum_{n'} A(n, n') u_{n'} , \end{aligned} \quad (2.3)$$

որտեղ $\delta_{i,k}$ -ն Կրոնեկերի խորհրդանշիշն է: $A(n, n')$ գործակիցը թվապես հավասար է այն ուժին, որն ազդում է $u_{n'} = 1$ սմ-ով շեղված n' -րդ ատոմի կողմից n -րդ ատոմի վրա: Անվերջ ($N \rightarrow \infty$) շղայի դեպքում, երբ եզրային երևույթները կարելի է արհամարհել, այդ ուժը կախված է միմյան n և n' ատոմների միջև հեռավորությունից՝

$$A(n', n) = A(n' - n) = A(n - n') \equiv A(|n - n'|) : \quad (2.4)$$

Եթե բոլոր ատոմները տեղաշարժվեն միևնույն՝ $\Delta u_n = const$ չափով, ապա F_n ուժը կմնա անփոփոխ:

$$\Delta F_n = -\sum_{n'} A(n, n') \Delta u_{n'} = -const \cdot \sum_{n'} A(n, n') = 0 ,$$

իետևաբար՝ ցանկացած n -ի համար

$$\sum_{n'} A(n - n') = 0 : \quad (2.5)$$

Գրենք n -րդ ատոմի շարժման հավասարություն՝

$$m \ddot{u}_n = -\sum_{n'} A(n - n') u_{n'} : \quad (2.6)$$

u_n շեղումը կարող է կախված լինել ժամանակից և ցանցում ատամի զբաղեցրած դիրքից: (2.6) արտահայտության՝ ներդաշնակ տատանակի հավասարման հետ ունեցած նմանությունից հետևում է, որ

$$u_n(t) = u_n^0 e^{-i\omega t}, \quad (2.7)$$

իսկ u_n^0 մեծությանները որոշվում են

$$m\omega^2 u_n^0 - \sum_{n'} A(n' - n) u_{n'}^0 = 0 \quad (2.8)$$

գծային հավասարումների համակարգից: Ցանցի տեղափոխական համաշափության հատկությունից հետևում է, որ նույն՝ (2.8) հավասարումը կարելի է գրել ցանկացած u_{n+k}^0 ($k = 1, 2, \dots$) շեղման համար: Իրոք, (2.8) արտահայտության մեջ n -ից անցնելով $n+k$ -ին, կստանանք՝

$$m\omega^2 u_{n+k}^0 = \sum_{n'} A(n' - n - k) u_{n'}^0 = \sum_{n'} A(n'' - n) u_{n''+k}^0, \quad (2.9)$$

այսինքն՝ (2.8) արտահայտությունը:

(2.8) և (2.9) հավասարումների նույնությունից հետևում է, որ նրանց լուծումները կարող են իրարից տարբերվել միայն հաստատուն (n -ից չկախված) արտադրիչով՝

$$u_{n+k}^0 = b_k \cdot u_n^0 : \quad (2.10)$$

Դժվար չէ տեսնել, որ b_k գործակիցները բավարարում են հետևյալ ֆունկցիանակ հավասարմանը՝

$$b_{k+l} = b_k \cdot b_l, \quad (2.11)$$

որի լուծումներն են

$$b_k = e^{ikqa} : \quad (2.12)$$

(2.10)-(2.12) առնչություններից հետևում է, որ

$$u_n^0 = u(0) e^{inqa}, \quad (2.13)$$

որտեղ $u(0)$ -ն հաստատուն գործակից է, իսկ q պարամետրը որոշվում է սահմանային պայմաններից: Այսպիսով, (2.6) հավասարման լուծումը (2.7) և (2.13) առնչությունների միջոցով կարելի է ներկայացնել հետևյալ տեսքով՝

$$u_n(t) = u(0) e^{i(nqa - \omega t)} : \quad (2.14)$$

(2.14) արտահայտությունը նկարագրում է հարք ալիք, որի հաճախությունը

ω է, աղբյուրից ունեցած հեռավորությունը՝ $n\alpha$. իսկ ալիքային թիվը՝ q : Եթե (2.14) լուծումը տեղադրենք շարժման (2.6) հավասարման մեջ, կստանանք միաշափ պարզ ցանցում ալիքի հաճախության և ալիքային թվի միջև կապը (դիսպերսիոն հավասարումը՝

$$m\omega^2 = \sum_{n'} A(n' - n) e^{iqa(n'-n)} = \sum_l A(l) e^{iqa l} : \quad (2.15)$$

Այսպիսով, դիսպերսիոն հավասարումը պատասխանում է այն հարցին, թե տվյալ միջավայրում տրված q ալիքային թվով ալիքն ինչպիսի հաճախություն կարող է ունենալ, ընդ որում այդ կապը որոշվում է համակարգի ֆիզիկական բնուրագրերով (ատոմի m զանգվածով, ցանցի σ հաստատումով, ուժային $A(l)$ հաստատումներով):

Որոշենք, թե ինչպիսի արժեքներ կարող է ընդունել q ալիքային թիվը:

Եթե շղթան շատ երկար է, ապա նրա ծայրերը չպետք է էապես ազդեն շղթայի ֆիզիկական հատկությունների վրա, հետևաբար շղթայի ծայրերի վրա կարելի է դնել հարմար սահմանային պայմաններ: Սովորաբար օգտվում են մաքեմատիկական տեսակետից շատ պարզ շրջանային կամ Բոռնի և Կարմանի պայմաններից, որոնց համաձայն շղթայի ծայրերը շարժվում են միևնույն փուլում: Այսպիսի շղթայի դեպքում կարելի է պատկերացնել, որ շղթայի ծայրերը համընկած են իրար հետ, այսինքն՝

$$u_n(t) = u_{n+N}(t) : \quad (2.16)$$

(2.16) և (2.14) առնչություններից հետևում է, որ

$$e^{iNqa} = 1 , \quad (2.17)$$

կամ

$$q_j = \frac{2\pi}{Na} j = \frac{2\pi}{L} j , \quad \text{որտեղ } j = 0, \pm 1, \pm 2, \pm \dots : \quad (2.18)$$

Այսպիսով, q ալիքային թիվն ընդունում է ընդհաւած (դիսկրետ), այսինքն՝ ամբողջ թվով $2\pi/Na$ արժեքներ:

Մյուս կողմից, (2.17) հավասարումը չի փոխվի, եթե նրանում q -ի փոխարեն տեղադրվի $q + \frac{2\pi}{a} \cdot (\text{ամբողջ } \text{թիվ})$, հետևաբար՝ q -ի փոփոխաման անվերջ տիրույթը կարելի է սահմանափակել $2\pi/a$ մեծությամբ

$$-\frac{\pi}{a} \leq q_j < \frac{\pi}{a} \quad (2.19)$$

տիրույթով: Քանի որ ալիքային թվի՝ (2.18) առնչությամբ տրվող երկու մուտակա արժեքների միջև հեռավորությունը՝

$$\Delta q_{j,j-1} = q_j - q_{j-1} = \frac{2\pi}{Na} \equiv \Delta q, \quad (2.20)$$

կախված չէ j -ից, ապա q_j արժեքները q առանցքի վրա բաշխված են հավասարաչափ, իսկ (2.19) տիրույթում q ալիքային թվի քույլատրելի արժեքների թիվը հավասար է

$$\frac{2\pi/a}{\Delta q} = \frac{2\pi}{a} \cdot \frac{Na}{2\pi} = N, \quad (2.21)$$

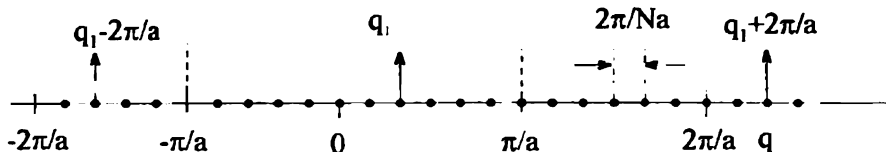
այսինքն՝ ցանցի տարրական բջիջների թվին: (2.19) տիրույթը կոչվում է միաչափ ցանցի բրիլյունի առաջին գոճակ: Ալիքային թվի՝ այս գոճայում ընկած արժեքների համար j -ն փոփոխվում է

$$-\frac{N}{2} \leq j < \frac{N}{2} \quad (2.22)$$

տիրույթում: Մակրոսկզապակամ նմուշի դեպքում, եթե $N \rightarrow \infty$, $L \rightarrow \infty$, $N/L = 1/a < \infty$ (թերմոդիմամիկական սահման), $\Delta q \sim 1/N \rightarrow 0$, և q ալիքային թիվն ընդունում է անընդհատ արժեքներ: Սակայն, քանի որ անկախ Δq -ի մեծությունից, ալիքային թիվը բրիլյունի գոճայում ընդունում է հաշվելի թվով (N հատ) արժեքներ (տես (2.21)), ապա ընդունված է q ալիքային թիվը համարել քվազիանընդհատ մեծություն: Այս հանգամանքը հաճախ էապես դյուրացնում է մաթեմատիկական հաշվարկների կատարումը, քանի որ քոյլ է տալիս հաշվարկներում գումարներից անցնել ինտեղրալների:

Համաձայն (2.15) և (2.14) առնչությունների, q_j և $q_j + 2\pi n'/a$ ալիքային թվերին համապատասխանում է միևնույն հաճախությունը՝ $\omega(q_j) = \omega(q_j + 2\pi n'/a)$ և միևնույն տեղափոխությունը՝ $u_{n,q_j}(t) = u_{n,q_j+2\pi n'/a}(t)$: Այս արդյունքն արտահայտում է այն փաստը, որ ֆիզիկական իմաստ ունեն միայն n գանգվածի տեղափոխությունները, քանի որ $q > \pi/a$ կամ

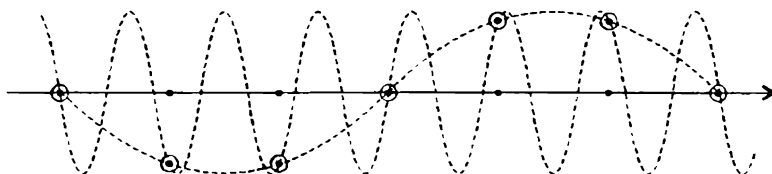
$\lambda = 2\pi/q < 2a$ երկարությամբ ալիքները չեն համապատասխանում նոր տատանումների:



Նկ. III.3

Ամենակարճ ալիքները, որոնք կարող են տարածվել ցանցում, ունեն $q = \pm\pi/a$ ալիքային թիվ և $\lambda_{\min} = 2a$ երկարություն: $2a \leq \lambda < \infty$ երկարությամբ ալիքներին համապատասխանող ալիքային թվերը լրացնում են Բրիլյունի առաջին զոնան (նկ. III.3):

Նկ. III.3-ում $q_1 = \pi/3a$ և $q_2 = q_1 + 2\pi/a = 7\pi/3a$, որոնց համապատասխանում են միևնույն հաճախությամբ երկու՝ $\lambda_1 = 2\pi/q_1 = 6a$ և $\lambda_2 = 2\pi/q_2 = 6a/7$ երկարությամբ ալիքներ (նկ. III.4):



Նկ. III.4

Հետագայում հակիրճության համար կօգտագործենք «մոդ» տերմինը, որպես տրված q ալիքային թվով և $\omega(q)$ հաճախությամբ ալիքի կամ տատանողական վիճակի անվանում:

Այսպիսով, տատանման բույլատրելի և ֆիզիկական իմաստ ունեցող մոդերը լրացնում են Բրիլյունի առաջին զոնան: Զոնայի սահմաններին համապատասխանում են $q = \pm\pi/a$ երկու մոդեր առավելագույն՝

$$\omega_{\max}^2 = \frac{2A(0)}{m} \left[1 + \frac{2}{A(0)} (A(2) + A(4) + \dots) \right] \quad (2.23)$$

հաճախությամբ և

$$u_n(t) = u(0)e^{-i\omega_{\max}t} \cdot e^{\pm i\frac{\pi}{\alpha}n\alpha} = (-1)^n \cdot u(0)e^{-i\omega_{\max}t} \quad (2.24)$$

շեղումով, որը նկարագրում է կանգուն ալիք, որում հարևան ատոմները տատանվում են հակափուլերում:

Մենք ստացանք (2.14) արտահայտությամբ տրվող մասնավոր լուծում-ների հավաքածու, որն ուղղված է անկախ պահի վերաբերյալ (բյուրեղական ցանցի ազատաթյան աստիճանների) N թվին: Ըստ (2.6) հավասարման ընդհանուր լուծումը (2.14) լուծումների գծային համակցություն է՝

$$u_n(t) = \sum_q A_q e^{i[\alpha n q - \omega(q)t]}, \quad (2.25)$$

այսինքն, n -րդ ատոմի շեղումը A_q ամպլիտուդներով հարք ալիքների վերաբերյալ է: Մյուս կողմից, (2.25) ընդհանուր լուծումը կարելի է ներկայացնել հետևյալ տեսքով՝

$$u_n(t) = \sum_q \eta_q e^{i\alpha n q}, \quad (2.26)$$

որտեղ

$$\eta_q = A_q e^{-i\omega(q)t} \quad (2.27)$$

մեծություններն այսպես կոչված նորմալ կորդինատներն են:

(2.26) առնչությունը կապ է հաստատում $\{u_n(t)\}$ և $\{\eta_q(t)\}$ կորդինատական երկու տարրեր հավաքածուների միջև: Ի տարրերություն $u_n(t)$ շեղումների, $\eta_q(t)$ կորդինատներն իրարից անկախ են: Դրանում հեշտ է համոզվել, եթե տեղադրենք (2.26) առնչությունը (2.6) հավասարման մեջ.

$$m \sum_q \bar{\eta}_q e^{i\alpha n q} + \sum_{n',q} A(n-n') \eta_q e^{i\alpha n' q} = 0 : \quad (2.28)$$

Զեստիվիտները երկրորդ գումարելին, նկատի ունենալով (2.15) կապը՝

$$\sum_{n'} A(n-n') e^{i\alpha q(n'-n)} \cdot e^{i\alpha n q} = e^{i\alpha n q} \sum_l A(l) e^{i\alpha q l} = e^{i\alpha n q} m \omega^2 : \quad (2.29)$$

(2.28) և (2.29) արտահայտություններից կստանանք՝

$$\sum_q [\bar{\eta}_q + \omega^2(q) \eta_q] \cdot e^{i\alpha n q} = 0 : \quad (2.30)$$

Քանի որ η_q մեծություններն իրարից անկախ են, ապա (2.30) հավասա-

բումից հետևում է, որ

$$\ddot{\eta}_q + \omega^2(q) \eta_q = 0 : \quad (2.31)$$

Ստացանք կարելուազույն արդյունք՝ կոօրդինատների (2.26) ձևավոլսությունը ցանցի տասաւանումների դինամիկական խնդիրը ընդուն է անկախ ներդաշնակ տասաւանակների հավաքածուի խնդրին:

Եթե նկատի ունենանք, որ $u_n(t)$ շեղումն իրական մեծություն է՝

$$u_n'(t) = u_n(t) , \quad (2.32)$$

ապա (2.26) առնչությունից կրիմ է $\dot{\eta}_q = \eta_{-q}$ կոօրդինատների

$$\dot{\eta}_q = \eta_{-q} , \quad (2.33)$$

հասկությունը, հետևաբար, N հատ η_q նորմալ կոօրդինատներից միայն $N/2$ հասն է անկախ: Սակայն, նկատի ունենալով η_q մեծության կոմպլեքս լինելը, համոզվում ենք, որ անկախ նորմալ կոօրդինատների թիվը ճշտորեն հավասար է համակարգի ազատության ասահճանների թվին:

§3. Ամենամոտ հարևանների մոտավորությունը

Վերը ստացված արդյունքները կարենի է պարզեցնել և ավելի մատչելի դարձնել ամենամու հարևանների մոտավորության օգնությամբ, համաձայն որի շարժման (2.6) հավասարման մեջ հաշվի է առնվում ավլյալ ատոմի փոխագոյնությունը միայն իր աջ և ձախ հարևանի հետ: Սա համարժեք է ուժային հասաւասունների հետևյալ մոտարկմանը՝

$$A(0) \neq 0, A(1) \neq 0, A(n-n') = 0, |n-n'| = 2, 3, 4, \dots , \quad (3.1)$$

ընդ որում, համաձայն (2.5) պայմանի

$$A(0) + 2A(1) = 0 : \quad (3.2)$$

Քանի որ $A(0) > 0$, ապա $A(1) = -\beta < 0$, որտեղ $\beta > 0$ և բնութագրում է մոտակա հարևանների փոխագոյնությունը: Նկատի ունենալով, որ

$$A(1) = -\beta, A(0) = 2\beta, A(2) = A(3) = \dots = 0 , \quad (3.3)$$

n -րդ ատոմի վրա ազդող ոժի համար (2.3) ընդհանուր արտահայտությունից կստանանք՝

$$F_n = -\beta(2u_n - u_{n+1} - u_{n-1}) = \\ = -\beta(u_n - u_{n+1}) - \beta(u_n - u_{n-1}) \equiv f_{n,n+1} + f_{n,n-1}, \quad (3.4)$$

որտեղ

$$f_{n,n\pm 1} = -\beta(u_n - u_{n\pm 1}) \quad (3.5)$$

n -րդ աստղի վրա աջ (ձախ) $n+1$ ($n-1$) աստղի կողմից ազդող ուժն է, որն ոճի առածքականության ուժի բնույթ, իսկ β -ն կոշտության գործակիցն է:

Ըստ (2.6) հավասարական ընդունում է հետևյալ սեսը՝

$$m\ddot{u}_n = -\beta(2u_n - u_{n+1} - u_{n-1}), \quad (3.6)$$

իսկ (2.15) դիսպերսիան հավասարական՝

$$\omega^2 = \frac{2\beta}{m}(1 - \cos qa) : \quad (3.7)$$

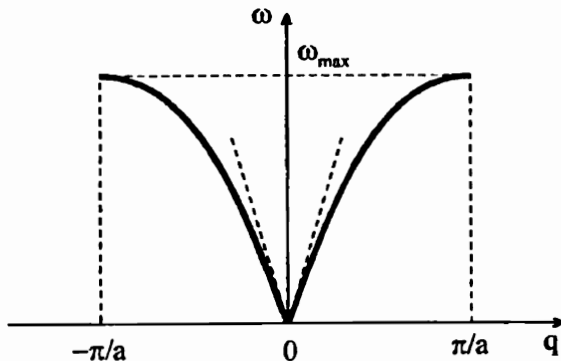
Ինչպես երևում է (3.7) առնչությունից (նաև ավելի ընդհանուր (2.15) հավասարությունից)

$$\omega^2(-q) = \omega^2(q) \quad (3.8)$$

և

$$\omega(q) = 2\sqrt{\frac{\beta}{m}} \left| \sin \frac{qa}{2} \right| = \omega_{\max} \left| \sin \frac{qa}{2} \right|, \quad (3.9)$$

որտեղ, համաձայն (2.23) և (3.3) արտահայտությունների



Նկ. III.5

$$\omega_{\max} = \sqrt{\frac{2A(0)}{m}} = 2\sqrt{\frac{\beta}{m}} : \quad (2.43)$$

(3.9) դիսպերսիոն հավասարումը պատկերված է նկ. III.5-ում:

Նկարից հետևում է անդավուխական համաշափությամբ օժաված դիսպերսիա համակարգերի մի կարևոր առանձնահատկություն՝ ω_{\max} առավելագույն հաճախատթյան գոյությունը: $\omega > \omega_{\max}$ հաճախությամբ ալիքներ ցանցում տարածվել չեն կարող:

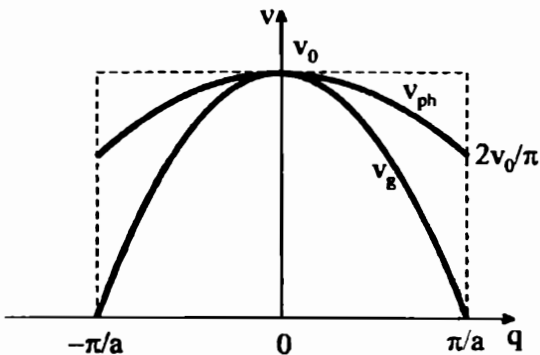
Փոքր ալիքային թվերի կամ երկարալիքային սահմանում ($aq \ll 1$ կամ $\lambda \gg a$) (3.9) բանաձևից ստանում ենք՝

$$\omega(q) \approx \omega_{\max} \cdot \frac{qa}{2} = a \left(\frac{\beta}{m} \right)^{1/2} \cdot q \equiv v_0 \cdot q , \quad (3.11)$$

որտեղ

$$v_0 = a \left(\frac{\beta}{m} \right)^{1/2} = \sqrt{\frac{E}{\rho}} \quad (3.12)$$

մեծությունը ծայնի տարածման արագությունն է համասնո հոծ ծողում (ρ -ն ծողի նյութի խառնությունն է, E -ն՝ Յունգի մոդուլը):



Նկ. III.6

Ընդհանուր դեպքում $\omega(q)$ կախումը տարբերվում է զծային (3.11) կապից, այսինքն, կարելի է ներմուծել ալիքների փուլային և խմբային արա-

գործունեքը, որոնք չեն համընկնում: Այս դեպքում ընդունված է ասել, որ միջավայրն օժտված է դիսպերսիայով: Համաձայն սահմանման, փուլային արագությունը՝

$$v_{ph} = \frac{\omega}{|q|} = \frac{\omega_{\max} \cdot a}{2} \left| \frac{\sin \frac{qa}{2}}{\frac{|qa|}{2}} \right| = v_0 \left| \frac{\sin \frac{qa}{2}}{\frac{qa}{2}} \right|, \quad (3.13)$$

իսկ խմբային արագությունը՝

$$v_g = \left| \frac{d\omega}{dq} \right| = \frac{\omega_{\max} \cdot a}{2} \left| \cos \frac{qa}{2} \right| = v_0 \left| \cos \frac{qa}{2} \right|: \quad (3.14)$$

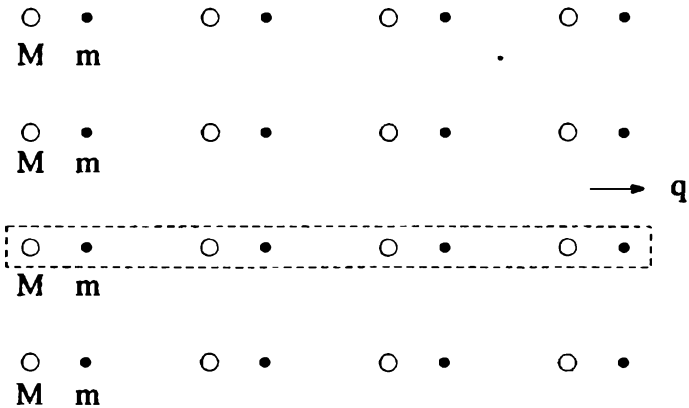
Եթե $qa \ll 1$, համաձայն (3.13) և (3.14) բանաձևերի, $v_{ph} = v_g = v_0$: Հակառակ սահմանում, եթե $qa = \pm\pi$, $v_g (\pm\pi/a) = 0$, այսինքն, էներգիայի հոսքը շղթայով բացակայում է, ինչը համապատասխանում է կանգուն ալիքի հաստատմանը: Նկ. III.6-ում պատկերված են $v_{ph}(q)$ և $v_g(q)$ կախամեները:

§4 Տատանումները և ալիքները բարդ (բազիսով) միաչափ ցանցում

Միաչափ ցանցի համար սստացված արդյունքները կարելի է օգտագործել պարզ, ծավալակենտրոնացված և նիստակենտրոնացված ցանցերի՝ համաչափության որոշակի առանցքին ուղղահայաց ատոմական հարթությունների տատանումներն ուսումնասիրելիս, եթե ալիքը տարածվում է այդ նույն համաչափության առանցքի ուղղությամբ:

Քննարկենք այժմ այն դեպքը, եթե խորանարդային բյուրեղը կազմված է տարրեր զանգվածներով երկու տեսակի աստմներից, ընդ որում M զանգվածով աստմները կազմում են հարթությունների մի համակարգ, իսկ m զանգվածները՝ մի այլ համակարգ, որի հարթությունները զանգում են M զանգվածով աստմների հարթությունների միջև (նկ. III.7-ում պատկերված է հավաարակշուրջան վիճակը): Ուստինասիրենք ալիքների տարածումը համաչափության այն առանցքի ուղղությամբ, որին ուղղահայաց յուրաքանչյուր առանձին հարթություն պարունակում է միայն մեկ տեսակի

ատոմներ: Օրինակ՝ NaCl -ի տիպի կառուցվածքում այդպիսին է [111] ուղղությունը: Նկ. III.8-ում պատկերված է նկ. III.7-ում կետազգերով նշված ատոմական շղբան տատանման վիճակում: Այլքը տարածվում է սլաքի ուղղությամբ: U_n -ով նշանակված է n -րդ բջջում M զանգվածի շեղումը, u_n -ով՝ m զանգվածի շեղումը, β_1 և β_2 գործակիցները ուժային հաստատուններն են (զսպանակների կոշտության գործակիցները): Ըղբայի յուրաքանչյուր բջջի պարունակում է երկու մասնիկ (բարդ ցանց): Կենքաղրենք, որ միաժամանակ m և M զանգվածները, ինչպես նաև β_1 և β_2 գործակիցներն իրար հավասար լինել չեն կարող (նկ. III.8-ում ենթադրված է, որ $\beta_1 > \beta_2$):



Նկ. III.7

Ամենամոտ հարևանների մուտավորությամբ բարդ գծային ցանցի պոտենցիալ էներգիան արված է

$$\Phi = \frac{1}{2} \beta_1 \sum_n (U_n - u_n)^2 + \frac{1}{2} \beta_2 \sum_n (u_n - U_{n+1})^2 \quad (4.1)$$

արտահայտությամբ, որի օգնությամբ կարող ենք հաշվել m և M զանգվածների վրա ազդագ ուժերը և գրել շարժման հավասարումները:

$$m\ddot{u}_n = -\frac{\partial \Phi}{\partial u_n} = -\beta_1(u_n - U_n) - \beta_2(u_n - U_{n+1}), \quad (4.2)$$

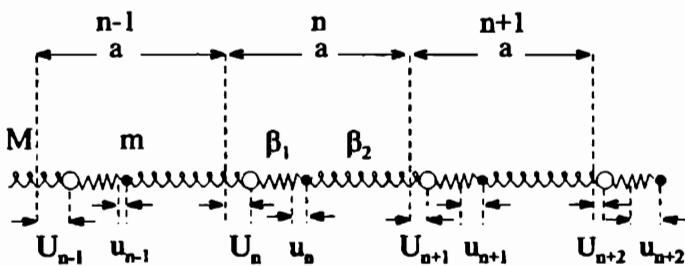
$$M \ddot{U}_n = -\frac{\partial \Phi}{\partial U_n} = -\beta_1(U_n - u_n) - \beta_2(U_n - u_{n-1}) : \quad (4.3)$$

$2N$ անհայտների համար ստացված $2N$ հավասարումների համակարգը ցանցի անդամների համապատասխան համաչափության հատկության շնորհիվ բերվում է երկու անհայտում երկու հավասարումների համակարգի՝ անհայտ B և b ամպլիտուդների համար, քանի որ բոլոր միասնական ատոմները կատարում են միևնույն հաճախորդությամբ և միևնույն ամպլիտուդով տատանումներ, որոնք իրարից կարող են տարբերվել միմիայն տատանումների փուլերով, ինչը պայմանավորված է ցանցում նրանց զբաղեցրած դիրքերի տարբերությամբ: Այսպիսով, (4.2) և (4.3) հավասարումների լուծումները կներկայացնենք հետևյալ տեսքով՝

$$U_n(t) = B \exp[i(aqn - \omega t)] , \quad (4.4)$$

$$u_n(t) = b \exp[i(aqn - \omega t)] , \quad (4.5)$$

ըստ որում B/b հարաբերությունը տալիս է տարրական քջում ատոմների (իմնների) հարաբերական ամպլիտուդները և տատանումների փուլը:



Նկ. III.8

Քանի որ սահմանային պայմանները նույնն են, ինչ որ պարզ (միաժամ) գծային ցանցի դեպքում, ապա q ալիքային թվի ընդունած արժեքները արգում են (2.18) բանաձևով, իսկ ֆիզիկական տարրեր մոդեր նկարագրող արժեքներն ընկած են Բրիլյուենի առաջին գրնայում՝ $-\pi/a \leq q < \pi/a$:

Տեղադրելով (4.4) և (4.5) արտահայտությունները շարժման հավասարումների մեջ և կրճատելով $\exp[i(q\alpha t - \omega t)]$ ընդհանուր արտադրիչը, B և b անհայտների համար կստանանք համասեռ հավասարումների համակարգ՝

$$[m\omega^2 - (\beta_1 + \beta_2)]b + (\beta_1 + \beta_2 e^{iqa})B = 0, \quad (4.6)$$

$$(\beta_1 + \beta_2 e^{-iqa})b + [M\omega^2 - (\beta_1 + \beta_2)]B = 0 : \quad (4.7)$$

Այս համակարգի ոչ զրոյական լուծում ունենալու պայմանը համակարգի որոշիչի զրոյի հավասար լինելն է՝

$$\begin{vmatrix} m\omega^2 - (\beta_1 + \beta_2) & \beta_1 + \beta_2 e^{iqa} \\ \beta_1 + \beta_2 e^{-iqa} & M\omega^2 - (\beta_1 + \beta_2) \end{vmatrix} = 0, \quad (4.8)$$

որտեղից ստացվում է կապը (4.4) և (4.5) արտահայտություններով տրվող ալիքների հաճախորյան և ալիքային թվի միջև՝ $\omega \equiv \omega(q)$ դիսպերսիան հավասարումը։ Բացելով (4.8) որոշիչը և կատարելով պարզ ձևափոխություններ, ω^2 -ու համար ստանում ենք բառակառային հավասարում՝

$$\omega^4 - \omega_0^2 \cdot \omega^2 + \frac{4\beta_1\beta_2}{mM} \sin^2 \frac{qa}{2} = 0, \quad (4.9)$$

որտեղ

$$\omega_0^2 = \frac{(\beta_1 + \beta_2)(m+M)}{mM} : \quad (4.10)$$

(4.9) հավասարման լուծումներն են

$$\omega_1^2 = \frac{\omega_0^2}{2} \left[1 - \sqrt{1 - \gamma^2 \sin^2 \frac{qa}{2}} \right], \quad (4.11)$$

$$\omega_2^2 = \frac{\omega_0^2}{2} \left[1 + \sqrt{1 - \gamma^2 \sin^2 \frac{qa}{2}} \right], \quad (4.12)$$

որտեղ

$$\gamma^2 = 16 \frac{\beta_1\beta_2}{(\beta_1 + \beta_2)^2} \cdot \frac{mM}{(m+M)^2} \leq 1 : \quad (4.13)$$

(4.13) բանաձևում հավասարության նշանը համապատասխանում է $\beta_1 = \beta_2$ և $m = M$ դեպքին, որը կըննարկենք առանձին:

Քանի որ $\gamma^2 \leq 1$, ապա $\omega_1(q)$ և $\omega_2(q)$ ֆունկցիաներն ընդունում են միայն իրական արժեքներ:

Պարզ շղթայի համեմատությամբ կարևոր տարրերությունը կայանում է նրանում, որ (4.11) և (4.12) հավասարաւուները որոշում են դիսպերսիայի երկու ճյուղեր՝ ծայնային՝ $\omega_1(q) = \omega_{ac}(q)$ և օպտիկական՝ $\omega_2(q) = \omega_{op}(q)$: Այսպիսով, q ալիքային թվի ամեն մի արժեքին համապատասխանում են երկու հաճախություններ, որոնցից մեկը պատկանում է ծայնային, մյուսը՝ օպտիկական ճյուղին: Հետևաբար, բարդ միաչափ ցանցում անկախ տատանումների (մոդերի) թիվը կլինի հավասար N (q -երի թիվը Բրիլունինի գոնայում) $\times 2$ (ճյուղերի թիվ) $= 2N$, որը հավասար է ցանցի ազատության աստիճանների թվին:

Նկատի ունենալով

$$\omega_1(-q) = \omega_1(q) \text{ և } \omega_2(-q) = \omega_2(q) \quad (4.14)$$

գույգության հատկությունը, այսուհետև կենքաղընք, որ $\omega_1, \omega_2 > 0$ և արվում են հետևյալ բանաձևերով՝

$$\omega_{ac}(q) = \frac{\omega_0}{\sqrt{2}} \sqrt{1 - \sqrt{1 - \gamma^2 \sin^2 \frac{qa}{2}}} , \quad (4.15)$$

$$\omega_{op}(q) = \frac{\omega_0}{\sqrt{2}} \sqrt{1 + \sqrt{1 - \gamma^2 \sin^2 \frac{qa}{2}}} : \quad (4.16)$$

Ուսումնասիրենք այս ֆունկցիաների վարքը տարբեր մասնավոր դեպքերում:

ա) Երկարավիրային սահման՝ $qa \ll 1$ ($\lambda \gg a$)

Զայնային ճյուղի հաճախությունների համար (4.15) բանաձևից ստացված

$$\omega_{ac}(q) \approx \frac{1}{4} \omega_0 \gamma a q \equiv v \cdot q \quad (4.17)$$

զծային կապը բնութագրական է ծայնային ալիքների համար (այստեղից է՝ ճյուղի անվանումը), որոնք տարածվում են

$$v = \alpha \sqrt{\frac{\beta_1 \cdot \beta_2}{(\beta_1 + \beta_2)(m + M)}} \quad (4.18)$$

արագությամբ:

Օսլախիկական ճյուղի հաճախությունների համար՝

$$\omega_{op}(q) \approx \omega_0 \left(1 - \frac{\gamma^2 \alpha^2}{32} q^2 \right) : \quad (4.19)$$

Եթե $q \rightarrow 0$, $\omega_{ac} \rightarrow 0$, իսկ $\omega_{op} \rightarrow \omega_0$:

Ըեղոմների և տասանումների ամպլիտուդների հարաբերությունը, համաձայն (4.6) և (4.7) արատահայտությունների, հավասար է

$$\frac{u_n}{U_n} = \frac{b}{B} = \frac{\beta_1 + \beta_2 e^{iq\alpha}}{\beta_1 + \beta_2 - m\omega^2} = \frac{\beta_1 + \beta_2 - M\omega^2}{\beta_1 + \beta_2 e^{-iq\alpha}} : \quad (4.20)$$

Զայնային ճյուղի տասանումների համար, ըստ (4.20) առնչության, եթե $q \rightarrow 0$

$$\left(\frac{b}{B} \right)_{ac} = 1, \quad \text{և} \quad u_n(t) = U_n(t), \quad (4.21)$$

այսինքն՝ բջջում ատոմները տատանվում են նույն փուլում (նկ. III.9)



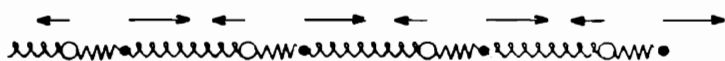
Նկ. III.9

Օպտիկական ճյուղի տասանումների համար, եթե $q \rightarrow 0$

$$\left(\frac{b}{B} \right)_{op} = \frac{\beta_1 + \beta_2}{\beta_1 + \beta_2 - m\omega_0^2} = -\frac{M}{m}, \quad (4.22)$$

այսինքն, բջջում ատոմները տատանվում են հակադիր փուլերում, ընդ որում այնպես, որ բջջի զանգվածի կենտրոնը մնում է անշարժ (նկ. III.10)

$$m u_n(t) + M U_n(t) = 0 : \quad (4.23)$$



Նկ. III.10

բ) Կարծալիքային սահման՝ $qa = \pi$ ($\lambda = 2a$):

Քրիվունի գոնայի սահմաններին ($qa = \pm\pi$) համապատասխանում են ձայնային և օպտիկական ճյուղի հաճախորդունների հետևյալ արժեքները՝

$$\omega_{ac}(\pm\frac{\pi}{a}) = \frac{\omega_0}{\sqrt{2}} \sqrt{1 - \sqrt{1 - \gamma^2}} \equiv \omega_{ac}^{\max}, \quad (4.24)$$

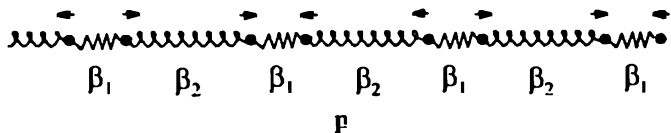
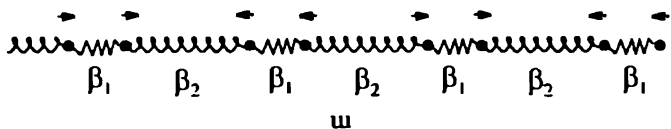
$$\omega_{op}(\pm\frac{\pi}{a}) = \frac{\omega_0}{\sqrt{2}} \sqrt{1 + \sqrt{1 - \gamma^2}} \equiv \omega_{op}^{\min}: \quad (4.25)$$

Ինչպես հետևում է (4.4) և (4.5) արտահայտություններից, այս դեպքում $u_{n+1} = -u_n$, $U_{n+1} = -U_n$, այսինքն, հարկան բջիջներում և ձայնային, և օպտիկական ճյուղերի տաստանումներն իրար նկատմամբ շեղված են 180° -ով:

Խմբային արագությունների համար (4.15) և (4.16) բանաձևերի համաձայն, ստանում ենք

$$v_{ac,g} = \left| \frac{d\omega_{ac}}{dq} \right|_{\pi/a} = 0, \quad v_{op,g} = \left| \frac{d\omega_{op}}{dq} \right|_{\pi/a} = 0, \quad (4.26)$$

ինչը համապատասխանում է կանգուն ալիքների հաստատմանը:



Նկ. III.11

(4.20), (4.15) և (4.16) արտահայտություններից ձայնային (-) և օպտիկական (+) ճյուղերի համար շեղումների հարաբերությունը՝

$$\left(\frac{u_n}{U_n}\right)_{op} = \frac{\beta_1 - \beta_2}{(\beta_1 + \beta_2) \left\{ 1 - \frac{m+M}{2M} \left[1 \mp \sqrt{1 - \frac{16\beta_1\beta_2 m M}{(\beta_1 + \beta_2)^2 (m+M)^2}} \right] \right\}} : (4.27)$$

Հնարավոր բազմաթիվ դեպքերից քննարկենք $m=M$, $\beta_1 > \beta_2$ դեպքը: (4.27) բանաձևից հետևում է

$$\left(\frac{u_n}{U_n}\right)_{ac} = 1, \quad \left(\frac{u_n}{U_n}\right)_{op} = -1, \quad (4.28)$$

այսինքն՝ ճայնային տատանումների դեպքում ճգլում-սեղմվում են β_2 կոշտությամբ զսպանակները (նկ. III.11, ա), իսկ օպտիկական տատանումների դեպքում՝ β_1 կոշտությամբ զսպանակները (նկ. III.11, բ):

գ) $\beta_1 \ll \beta_2$ մոտավորություն

Այժմ ուսումնասիրներ ճայնային և օպտիկական տատանումներն այն մասնավոր դեպքում, երբ $\beta_1 \ll \beta_2$: Համաձայն (4.13) բանաձևի, $\gamma^2 \sim \beta_1/\beta_2 \ll 1$, հետևաբար, (4.15), (4.16) և (4.20) արտահայտությունները վերլուծելով շարքի, կստանանք՝

$$\omega_{ac} = 2\sqrt{\frac{\beta_2}{m+M}} \left| \sin \frac{q\alpha}{2} \right| \cdot [1 + O(\gamma^2)], \quad \frac{u_n}{U_n} \approx 1, \quad (4.29)$$

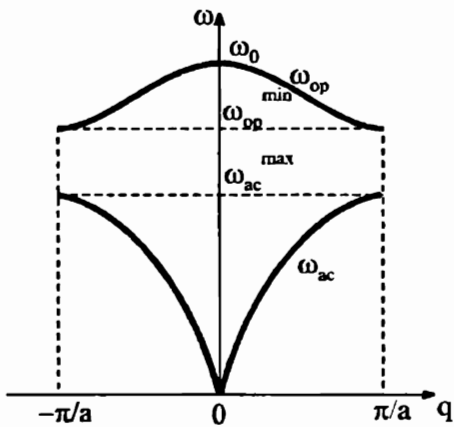
$$\omega_{op} = \sqrt{\beta_1 \frac{(m+M)}{mM}} \cdot [1 + O(\gamma^2)], \quad \frac{u_n}{U_n} \approx -1 : \quad (4.30)$$

Ինչպես հետևում է (4.30) արտահայտությունից, օպտիկական ճյուղի սատանումների համար դիսպերսիան բացակայում է, այսինքն՝ ω_{op} հաճախությունը կախված չէ q ալիքային թվից և հավասար է m և M զանգվածներից և β_1 զսպանակից բաղկացած մոլեկուլի տատանման հաճախությանը, իսկ մոլեկուլի մեջ մտնող ատոմները շարժվում են հակափուլերում:

Զայնային ճյուղի համար ստացված (4.29) արտահայտությունը համընկնում է $(m+M)$ զանգվածով և β_2 զսպանակներով իրար կապված ատոմների գծային պարզ շղթայի դիսպերսիոն հավասարման հետ, իսկ

յուրաքանչյուր բջջում ատոմները շարժվում են միևնույն փուլում, որի հետևանքով էլ լի β_1 զսպանակները համարյա չեն սեղմվում և ճգվում: (4.15) և (4.16) բանաձևերով տրվող ձայնային և օպտիկական ճյուղերը պատկերված են նկ. III.12-ում:

Եթե q ալիքային թիվը փոփոխվում է Բրիյուենի զոնայում, օպտիկական ճյուղի հաճախությունները փոփոխվում են $\omega_{op}^{\min} \leq \omega_{op}(q) \leq \omega_0$, իսկ ձայնային ճյուղի հաճախությունները՝ $0 \leq \omega_{ac}(q) \leq \omega_{ac}^{\max}$ տիրույթում: ω_{ac}^{\max} և ω_{op}^{\min} արժեքների միջև ընկած տիրույթը կոչվում է արգելված գոտի, որի լայնությունը՝



Նկ. III.12

$$\Delta\omega_g = \omega_{op}^{\min} - \omega_{ac}^{\max} : \quad (4.31)$$

Արգելված գոտուն պատկանող հաճախություններով ալիքները ցանցում տարածվել չեն կարող, քանի որ արագ մարդում են: Նույնը կարելի է ասել նաև $\omega > \omega_0$ հաճախություններով ալիքների մասին:

Դրանում կարելի է համոզվել, եթե արգելված գոտուն պատկանող որևէ ω հաճախություն տեղադրենք (4.15) կամ (4.16) բանաձևի մեջ: Արդյունքում ստացված արտահայտությունը կարելի է դիտել որպես հավասարում $q(\omega)$ ալիքային թիվը որպես համար: Այն ունի հետևյալ տեսքը՝

$$\cos q\alpha = 1 - \frac{8}{\gamma^2} \cdot \frac{\omega^2}{\omega_0^2} \left(1 - \frac{\omega^2}{\omega_0^2} \right) \equiv -\delta : \quad (4.32)$$

Քանի որ $\delta \geq 1$, ապա (4.32) հավասարման լուծումն ունի կոմպլեքս տեսք՝

$$q = q_1 + i q_2 : \quad (4.33)$$

Տեղադրելով (4.33) արտահայտությունը (4.32) հավասարման մեջ և հավասարեցնելով աջ և ձախ մասերում ստացված արտահայտությունների իրական և կեղծ մասերը, կստանանք՝

$$q_1 = \frac{\pi}{a}, \quad q_2 = \pm \frac{1}{a} \ln \left(\delta + \sqrt{\delta^2 - 1} \right) \equiv q_2(\omega); \quad (4.34)$$

(4.32) հավասարությունը որոշված $\delta(\omega)$ ֆունկցիան արգելված գուառ եղբերին հավասարվում է միավորի՝

$$\delta\left(\omega_{ac}^{\max}\right) = \delta\left(\omega_{op}^{\min}\right) = 1$$

և ընդունում է առավելագույն արժեքը արգելված գուառում, $\omega_0/\sqrt{2}$ կետում, որին համապատասխանում է

$$q_2^{\max} = \frac{1}{a} \ln \left[\frac{2}{\gamma^2} - 1 + \sqrt{\left(\frac{2}{\gamma^2} - 1 \right)^2 - 1} \right] \quad (4.35)$$

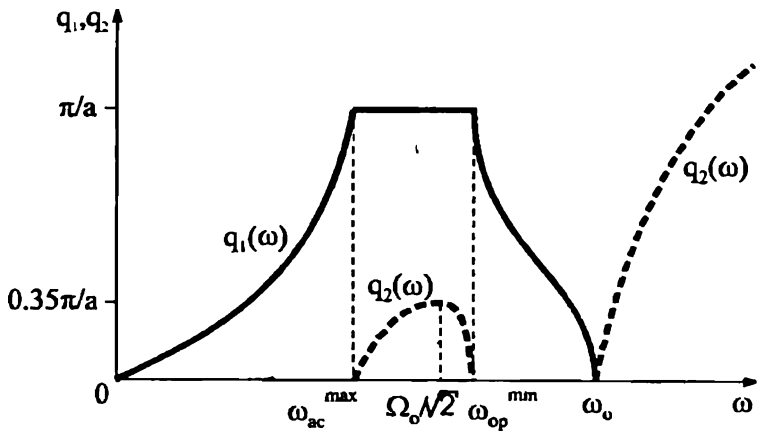
արժեքը: Նոյն ձևով $\omega > \omega_0$ հաճախորդումների համար կստանանք՝

$$q_1 = 0, \quad q_2 = \pm \frac{1}{a} \ln \left(\delta_1 + \sqrt{\delta_1^2 - 1} \right), \quad (4.36)$$

որտեղ

$$\delta_1(\omega) = \frac{8}{\gamma^2} \cdot \frac{\omega^2}{\omega_0^2} \left(\frac{\omega^2}{\omega_0^2} - 1 \right) + 1 : \quad (4.37)$$

Եթե (4.4) և (4.5) բանաձևերում տեղադրենք ալիքային թվի $q = q_1 + iq_2$



Նկ. III.13

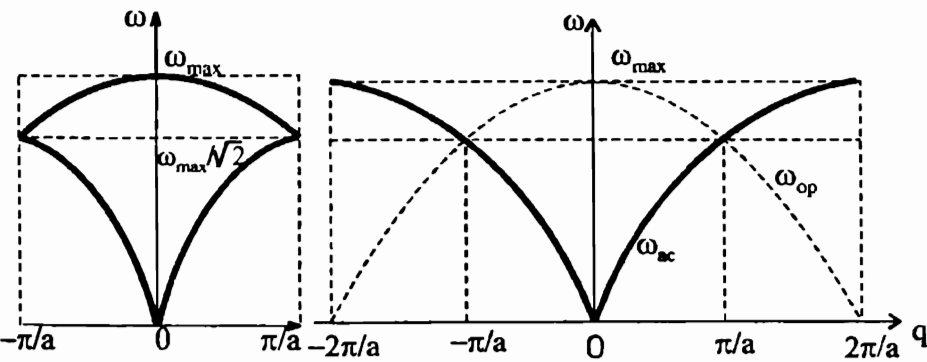
արտահայտությունը, ապա կստանանք, որ և m , և M գանգվածով մասնիկների տառանման ամպլիտուդները՝ կախված բջջի դիրքից, փոխակում են $\exp(-\alpha q_2)$ օրենքով, ընդ որում, եթե $q_2 > 0$, տառանումները մարտաւ են, իսկ $q_2 < 0$ դեպքում՝ ուժեղանում էքսպոնենցիալ օրենքով: Այլքային բվի իրական և կեղծ մասերի հաճախային կախումները պատկերված են նկ. III.13-ում (զծագիրն արված է $\gamma^2 = 0,75$ արժեքի համար):

Դիտարկենք այժմ «այլասերման» դեպքը, եթ $\gamma^2 = 1$ ($m = M$, $\beta_1 = \beta_2 \equiv \beta$): (4.15) և (4.16) բանաձևերից ծայնային և օպտիկական ճյուղերի համար ստացվում են հետևյալ արտահայտությունները:

$$\omega_{ac}(q) = 2\sqrt{\frac{\beta}{m}} \left| \sin \frac{qa}{4} \right| = \omega_{\max} \left| \sin \frac{qa}{4} \right|. \quad (4.38)$$

$$\omega_{op}(q) = 2\sqrt{\frac{\beta}{m}} \left| \cos \frac{qa}{4} \right| = \omega_{\max} \left| \cos \frac{qa}{4} \right| : \quad (4.39)$$

Բրիլյուենի գոնայի սահմանի վրա ($qa = \pm\pi$) $\omega_{ac}(\pm\pi/a) = \omega_{op}(\pm\pi/a)$, և արգելված գոտին վերանում է՝ $\Delta\omega_g = 0$, ինչը վկայում է համակարգում տեղի ունեցած որակական փոփոխության մասին (նկ. III.14): Իրոք, տվյալ դեպքում ատոմների նույնությունից և կասերի միատեսակությունից ետևում է, որ բոլոր ատոմների միջև հեռավորությունները պետք է իրար հավասար լինեն, ուստի ցանցի պարբերությունը՝ $a' = a/2$: Բրիլյուենի գոնան



Ակ. III.14

Ակ. III.15

սահմանափակված է $\pm\pi/a'$ արժեքներով, այսինքն՝ մեծացած է երկու անգամ: $(0, \pi/a)$ տիրույթում $\omega_{ac}(q)$ ճյուղը համընկնում է պարզ ցանցի դիսպերսիոն հավասարման հետ:

$$\omega_{ac}(q) = \omega_{\max} \left| \sin \frac{a'q}{2} \right|, \quad (4.40)$$

իսկ ω_{op} ճյուղը՝ նույն հավասարման հետ $(\pi/a, 2\pi/a)$ տիրույթում $q' = 2\pi/a - q$ համապատասխան արժեքներով, քանի որ

$$\cos \frac{aq'}{4} = \cos \left(\frac{\pi}{2} - \frac{qa}{4} \right) = \sin \frac{qa}{4} = \sin \frac{a'q}{2} :$$

Ավարտելով միաշափ ցանցի տատանումների ուսումնասիրությունը, հարկ է նշել հետևյալը:

Մենք քննարկեցինք միայն երկայնական ալիքների տարածումը միաշափ ցանցում: Հասկանալի է, որ միաշափ ցանցում հնարավոր է գրգռել նաև լայնական ալիքներ, որոնցում մասնիկների շեղումներն ուղղահայց են շղթային:

Լայնական ալիքների բնութագրերն ընդհանուր դեպքում ստացվում են շատ նման երկայնական ալիքների բնութագրերին: Զանի որ լայնական և երկայնական ալիքներում մասնիկների շեղումները կատարվում են փոխուղղահայց ուղղություններով, ապա այս երկու տեսակի ալիքները կարող են գրգռվել միաժամանակ և առաջին մոտավորությամբ իրարից անկախ: Լայնական ալիքներ կարելի է գրգռել երկու փոխուղղահայց ուղղություններով միաժամանակ:

§5. Եռաչափ բարդ ցանցի տատանումները

Այժմ ուսումնասիրենք եռաչափ բյուրեղական ցանցի տատանումներն ընդհանուր դեպքում, երբ տարրական բջիջը պարունակում է մեկից ավելի տարբեր աստղներ: Նշանակենք m_k -ով k տեսակի աստղի զանգվածը, իսկ s -ով՝ աստմների տեսակների թիվը ($k = 1, 2, \dots, s$): k տեսակի աստմի դիրքը որոշվում է

$$r_n^k = n + d_k \quad (5.1)$$

վեկտորով, որտեղ n -ը ցանցի տեղափոխության վեկտորն է, իսկ d_k -ն որոշում է k տեսակի ատոմի դիրքը տարրական բջջում (d_1, d_2, \dots, d_s , վեկտորների համախումբը որոշում է ցանցի բազիսը): n տեղափոխության վեկտորով բջջի k տեսակի ատոմի շեղման վեկտորի α -րդ պլոյեկցիան նշանակենք $u_{n\alpha}^k$ -ով ($\alpha = x, y, z$):

Բյուրեղական ցանցի պոտենցիալ էներգիան $3sN$ փոփոխականների՝ $u_{n\alpha}^k$ -երի ֆունկցիան է, որն ունի մինիմում, եթե բոլոր $u_{n\alpha}^k = 0$, այսինքն՝

$$\left(\frac{\partial \Phi}{\partial u_{n\alpha}^k} \right)_0 = 0 : \quad (5.2)$$

Հնտրելով որպես էներգիայի հաշվարկի սկիզբ պոտենցիալ էներգիայի նվազագույն արժեքը, ներդաշնակ մոտավորությամբ կարող ենք գրել՝

$$\Phi = \frac{1}{2} \sum_{\alpha, \beta} \sum_{n, n', k, k'} \Phi_{\alpha\beta}(k n; k' n') \cdot u_{n\alpha}^k u_{n'\beta}^{k'} , \quad (5.3)$$

որտեղ

$$\Phi_{\alpha\beta}(k n; k' n') = \left(\frac{\partial^2 \Phi}{\partial u_{n\alpha}^k \partial u_{n'\beta}^{k'}} \right)_{00} \quad (5.4)$$

մեծություններն ուժային հաստատումներն են: Ինչպես հետևում է այս սահմանումից՝

$$\Phi_{\alpha\beta}(k n; k' n') = \Phi_{\beta\alpha}(k' n'; k n) : \quad (5.5)$$

Առողմանների միջև գործող փոխազդեցության ուժերը կախված են ատոմների տեսակից և նրանց միջև հեռավորությունից, ուստի $\Phi_{\alpha\beta}$ գործակիցները կախված են $|n - n'|$ մեծությունից, այսինքն՝

$$\Phi_{\alpha\beta}(k n; k' n') = \Phi_{\alpha\beta}(k, k'; n - n') : \quad (5.6)$$

Օգտվելով (5.3) արտահայտությունից, կարող ենք գտնել n -րդ բջջում k տեսակի ատոմի վրա ազդող ուժի α -րդ պլոյեկցիան՝

$$F_{n\alpha}^k = -\frac{\partial \Phi}{\partial u_{n\alpha}^k} = -\sum_{n'k'\beta} \Phi_{\alpha\beta}(kn; k'n') \cdot u_{n'\beta}^{k'} : \quad (5.7)$$

Եթե բոլոր ատոմները շեղվեն միևնույն u_0 վեկտորով, ապա բյուրեղը որպես ամբողջություն կտեղափակված տարածության մեջ: Քանի որ (n, k) ատոմի վրա ազդող ուժը հավասարակշռության վիճակում հավասար է զրոյի, ապա (5.7) արտահայտությունից կստանանք՝

$$\left(F_{n\alpha}^k \right)_0 = -\sum_{\beta} u_{0\beta} \sum_{n'k'} \Phi_{\alpha\beta}(kn; k'n') = 0: \quad (5.8)$$

$u_{0\beta}$ -ների անկախությունից բխում է, որ

$$\sum_{n'k'} \Phi_{\alpha\beta}(kn; k'n') = 0, \quad (5.9)$$

ինչը (2.5) առնչության ընդհանրացումն է: Բացի (5.5), (5.6) և (5.9) հատկություններից, $\Phi_{\alpha\beta}(kn; k'n')$ ուժային հաստատումները բավարարում են նաև այլ առնչությունների, որոնք ավյալ բյուրեղական կառուցվածքի պոտենցիալ էներգիայի համաչափության հատկությունների հետևանք են:

$\Phi_{\alpha\beta}(kn; k'n')$ գործակիցը բվապես հավասար է (n, k) ատոմի վրա ազդող ուժի α առանցքով ուղղված բաղադրիչին, երբ (n', k') ատոմը β առանցքի ուղղությամբ շեղվում է միավոր երկարության հատվածով:

Հարժման հավասարումը (n, k) ատոմի համար ունի հետևյալ տեսքը՝

$$m_k \ddot{u}_{n\alpha}^k = F_{n\alpha}^k = -\sum_{n'k'\beta} \Phi_{\alpha\beta}(kn; k'n') \cdot u_{n'\beta}^{k'} : \quad (5.10)$$

Գրելով նույն հավասարումը բոլոր ատոմների շեղումների պրոյեկցիաների համար, կստանանք $3sN$ հավասարումների համակարգ $3sN$ անհայտ $u_{n\alpha}^k$ շեղումների համար, որը կարելի է գգալիրեն պարզեցնել, եթե հաշվի առնենք ցանցի պարբերականությունը:

Իրաք, քանի որ բոլոր աւարրական բջիջները նույնական են, ապա տարբեր բջիջներում միևնույն տեսակի ատոմները տատանվում են նույն ամպլիտուդով, այսինքն՝ այն կախված է միայն ատոմի k տեսակից, բայց ոչ տարրական բջջի դիրքը որոշող n վեկտորից: (5.10) հավասարումների համակարգի լուծումը կփնտրենք վազող ալիքի տևարով՝

$$u_{n\alpha}^k(t) = \frac{1}{\sqrt{m_k}} A_\alpha^k(q) e^{i(qn - \omega t)}, \quad (5.11)$$

որտեղ թվային $m_k^{-1/2}$ գործակիցը զրկած է հարմարության նկատառումով:

Տեղադրելով (5.11) արտահայտությունը շարժման հավասարությունների (5.10) համակարգում, կստանանք՝

$$\omega^2 A_\alpha^k(q) = \sum_{k'\beta} D_{\alpha\beta}^{kk'}(q) A_\beta^{k'}(q). \quad (5.12)$$

որտեղ

$$D_{\alpha\beta}^{kk'}(q) = \frac{1}{\sqrt{m_k m_{k'}}} \sum_{n'} \Phi_{\alpha\beta}(kn; k'n') e^{iq(n'-n)} \quad (5.13)$$

արտահայտությունը որոշում է բյուրեղի դիմամիկական մատրիցի տարրերը: Այս մատրիցի տողերը համարակալվում են (k, α) , իսկ սյուները՝ (k', β) կրկնակի ցուցիչներով, որոնք ընդունում են $3s$ հատ արժեքներ, հետևաբար մատրիցի ուանգը $3s$ է:

Այսպիսով, ցանցի պարբերականության շնորհիվ $3sN$ հավասարությունների համակարգի փոխարեն ստացվեց $3s$ գծային հավասարությունների (5.12) համակարգը՝ անհայտ $A_\alpha^k(q)$ ամպլիտուդների համար, որը կարելի է ներկայացնել սեղմ տեսքով՝

$$\sum_{k'\beta} \left\{ D_{\alpha\beta}^{kk'}(q) - \omega^2 \delta_{kk'} \delta_{\alpha\beta} \right\} A_\beta^{k'}(q) = 0, \quad (5.14)$$

$(k = 1, 2, \dots, s; \quad \alpha = x, y, z):$

(5.14) համակարգն ունի ոչ զրոյական լուծումներ, եթե համակարգի որոշիչը հավասար է զրոյի՝

$$\left| D_{\alpha\beta}^{kk'}(q) - \omega^2 \delta_{\alpha\beta} \delta_{kk'} \right| = 0 : \quad (5.15)$$

Այս բնութագրական (դիսպերսիոն) հավասարությունը, որը $3s$ կարգի հավասարություն է ω^2 -ու նկատմամբ, տրված q ալիքային վեկտորի համար որոշվում են $\omega^2(q)$ ֆունկցիայի հնարավոր արժեքները, որոնց թիվն ընդհանուր դեպքում $3s$ է և որոնք հետագայում կհամարակալենք $j (= 1, 2, \dots, 3s)$ ցուցիչով՝ $\omega_j(q)$:

Համաձայն (5.13) սահմանման՝

$$D_{\alpha\beta}^{kk'}(q) = D_{\beta\alpha}^{k'k}(q). \quad (5.16)$$

այսինքն՝ դինամիկական մատրիցն էրմիտական է, ենտևաբար՝ նրա բոլոր ω_j^2 սեփական արժեքներն իրական են, իսկ ω -երը՝ կամ իրական, կամ զուտ կեղծ: Վերջին դեպքում (5.11) շեղման ժամանակային կախումն արտահայտող է $\exp(-i\omega t) = \exp(\gamma t) \equiv \exp(\pm|\gamma|t)$ արտադրիչը կարող է անվերջ մնել լինել անցյալում ($t \rightarrow -\infty$) կամ ապագայում ($t \rightarrow +\infty$), ինչը համարժեք է ցանցի քայլայմանը: Ցանցի կայունության պայմանից բխում է, որ բոլոր j -երի համար $\omega_j^2(q) \geq 0$: Դրա համար անհրաժեշտ է, որ դինամիկական մատրիցի զլսավոր մինորները լինեն դրական: Այս պահանջն իր հերթին լրացուցիչ պայմաններ է դնում $\Phi_{\alpha\beta}(kn; k'n')$ ուժային հաստատունների վրա, որոնք ենտևում են հավասարակշռության վիճակում ցանցի պոտենցիալ էներգիայի մինիմումի գոյության պայմանից: Յս հատ $\omega_j^2(q)$ ֆունկցիաները կարելի են դիտել որպես $\omega^2(q)$ բազմարժեք ֆունկցիայի տարրեր ճյուղեր: Տարրական բջջի համաշափության ենտևանքով որոշ ω_j արմատներ կարող են համընկնել, ուստի արմատների թիվը կարող է փոքր լինել Յս-ից:

Ընդհանուր դեպքում հնարավոր չէ տալ դիսպերսիոն հավասարման՝

$$\omega = \omega_j(q), \quad j = 1, 2, \dots, 3s \quad (5.17)$$

կախման վերլրուծական արտահայտությունը, քանի որ գոյություն չունի Յս ($s > 1$) աստիճանի հանրահաշվական հավասարման լուծման ալգորիթմ: Սակայն որոշ մասնավոր դեպքերում այն կարելի է տալ բյուրեղի պարզ մոդելների համար:

Այժմ որոշենք դինամիկական մատրիցի սեփական վեկտորները (5.12) հավասարությունից, որի մեջ տեղադրված է $\omega = \omega_j(q)$ սեփական արժեքը՝

$$\omega_j^2(q) e_{jka}(q) = \sum_{k'\beta} D_{\alpha\beta}^{kk'}(q) e_{jk'\beta}(q), \quad (5.18)$$

որտեղ $e_{jka}(q)$ մեծությունը $e_{jk}(q)$ սեփական վեկտորի α -րդ բաղադրիչն

Է: Ակնհայտ է, որ j -րդ ճյուղին համապատասխանող տատանման $A_{j\alpha}^k(q)$ ամպլիտուդը հաստատունի ճշտությամբ համընկնում է $e_{jk\alpha}(q)$ մեծության հետ: e_{jk} վեկտորն անվանում են քևոացման վեկտոր, այն որոշում է տատանման ուղղությունը: Դինամիկական մատրիցն էրմիտական է, ուստի նրա սեփական վեկտորներն օրթոգրնալ են:

$$\sum_{k\alpha} e_{jk\alpha} e_{j'k\alpha}^* = \delta_{jj'} : \quad (5.19)$$

և, քանի որ $e_{jk\alpha}(q)$ պրոյեկցիաները որոշվում են համասեռ հավասարումների (5.18) համակարգից, ապա դրանք կարելի է նորմավորել՝

$$\sum_j e_{jk\alpha} e_{jk'\beta}^* = \delta_{kk'} \delta_{\alpha\beta} : \quad (5.20)$$

Սեփական վեկտորների և սեփական արժեքների համաչափության մի հատկություն հնարավոր է ապացուցել, եթե նկատի ունենանք, որ (5.13) տախմանման համաձայն

$$D_{\alpha\beta}^{kk'*}(q) = D_{\alpha\beta}^{kk'}(-q) : \quad (5.21)$$

Գրելով (5.18) հավասարման կոմպլեքս համարուծը և նկատի ունենալով (5.21) հատկությունը, կստանանք, որ

$$e_{jk\alpha}(q) = e_{jk\alpha}^*(-q) \quad (5.22)$$

կամ

$$e_{jk\alpha}(q) = -e_{jk\alpha}^*(-q) : \quad (5.23)$$

Վերջին առնչությունը հարմար է կիրառել իրական e_{jk} վեկտորների դեպքում, քանի որ այն նշանակում է, որ $e_{jk\alpha}(q)$ բաղադրիչը ծևափոխվում է նույն ձևով, ինչպես որ q_α պրոյեկցիան:

Սեփական արժեքների համար տեղի ունի

$$\omega_j^2(-q) = \omega_j^2(q) \quad (5.24)$$

համաչափության հատկությունը, որը հետևանք է մեխանիկայի հավասարումների՝ $t \rightarrow -t$ ծևափոխության նկատմամբ ինվարիանտության:

Եթե դինամիկական մատրիցում q վեկտորի վալյուարեն սենդադրենք

$\mathbf{q}' = \mathbf{q} + \mathbf{g}$, որտեղ \mathbf{g} -ն հակադարձ ցանցի կամայական տեղափոխության վեկտոր է, ապա կստանանք, որ

$$\begin{aligned} D_{\alpha\beta}^{kk'}(\mathbf{q} + \mathbf{g}) &= \frac{1}{\sqrt{m_k m_{k'}}} \sum_{n'} \Phi_{\alpha\beta}(k n; k' n') e^{i(\mathbf{q} + \mathbf{g})(n' - n)} = \\ &= \frac{1}{\sqrt{m_k m_{k'}}} \sum_{n'} \Phi_{\alpha\beta}(k n; k' n') e^{i\mathbf{q}(n' - n)} = D_{\alpha\beta}^{kk'}(\mathbf{q}), \end{aligned} \quad (5.25)$$

քանի որ $\mathbf{g}(n' - n) = 2\pi \times \text{ամբողջ } p\text{-իվ}: \zeta$ ետևաբար, կհամընկնեն $\mathbf{q}' = \mathbf{q} + \mathbf{g}$ և \mathbf{q} ալիքային վեկտորներին համապատասխանող սեփական արժեքները և սեփական վեկտորները՝

$$\omega_j(\mathbf{q} + \mathbf{g}) = \omega_j(\mathbf{q}), \quad (5.26)$$

$$u_n^k(\mathbf{q} + \mathbf{g}) = u_n^k(\mathbf{q}): \quad (5.27)$$

Համաձայն այս արդյունքների, \mathbf{q}' ալիքային վեկտորով ալիքը համընկնում է \mathbf{q} վեկտորով ալիքի հետ, այսինքն՝ \mathbf{q}' և \mathbf{q} վեկտորները ֆիզիկորեն համարժեք են: Սա հնարավորություն է տալիս դիտարկել \mathbf{q} վեկտորի փոփոխությունը սահմանափակ տիրույթում: Ընտրելով \mathbf{g} և $n' - n$ վեկտորների ամենափոքր ոչ զրոյական արժեքները՝ $\mathbf{g} = 2\pi \mathbf{b}_i$ ($i = 1, 2, 3$), $n' - n = a_i$ ($i = 1, 2, 3$), որտեղ a_i -ն և \mathbf{b}_i -ն ուղիղ և հակադարձ ցանցերի հիմնական վեկտորներն են, կստանանք՝

$$\mathbf{q}' a_i = (\mathbf{q} + 2\pi \mathbf{b}_i) a_i = \mathbf{q} a_i + 2\pi : \quad (5.28)$$

Այսպիսով, $\mathbf{q} a_i$ մեծությունը միշտ կարելի է սահմանափակել $(0, 2\pi)$ ափույթով: Նպատակահարմար է այն ընտրել համաչափ ձևով, որպես ափույթի կենտրոն ընտրելով $\mathbf{q} = 0$ կետը՝

$$-\pi \leq q a_i < \pi \quad (i = 1, 2, 3): \quad (5.29)$$

(5.29) արտահայտությամբ տրվող 3 առնչությունները որոշում են Բրիլյունի առաջին գոնան, կամ որ նույնն է, Վիզներ-Զեյտցի բջիջը հակադարձ տարածության մեջ (տես I.2):

Երբ \mathbf{q} վեկտորը փոփոխվում է Բրիլյունի առաջին գոնայում, դիսպերսիոն հավասարման յուրաքանչյուր ճյուղի համար ստացվում է $\omega_j(\mathbf{q}) = \text{const}$ մակերևույթների մի ընտանիք, որոնք կոչվում են հավասա-

բահաճախային (հավասարակիներգիական՝ $\hbar\omega_j(q) = \varepsilon_j(q)$) և (5.24) հատկության համաձայն՝ ունեն ինվերտիայի (համաշափության) կենտրոն: Հավասարահաճախային մակերևույթների պատկերը կրկնվում է հակադարձ ցանցի բջիջներում և Բրիլյունի գոճաներում, քանի որ $\omega_j(q)$ ֆունկցիան

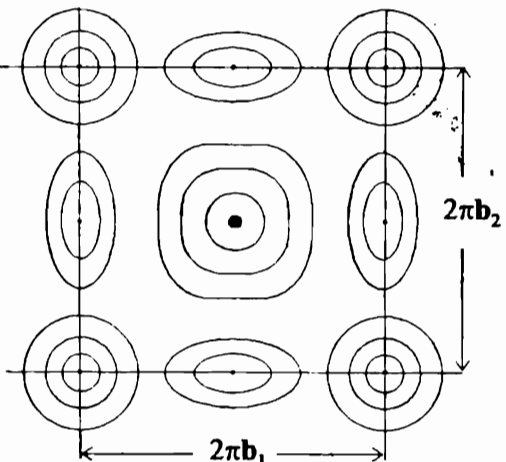
$2\pi b_1$ պարբերություններով
լուաչափ պարբերական
ֆունկցիա է (տես (5.26) և
նկ. III.16):

Ընտրենք q տարածության մեջ այնպիսի մի s ողբություն, որի համար

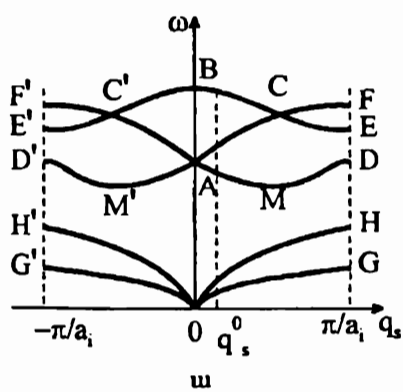
$$\omega_j(-q_s) = \omega_j(q_s): \quad (5.30)$$

Մասնավորապես, այն կարող է համընկել q վեկտորի ողբության հետ:

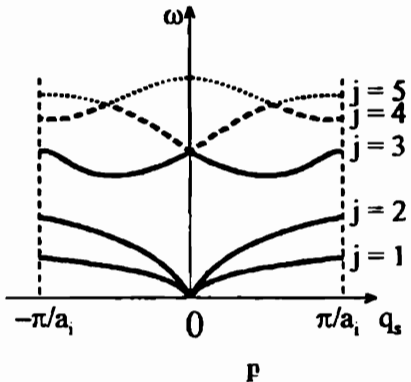
Եթե $\omega_j(q)$ ֆունկցիայի երկու (կամ ավելի) ճյուղեր որևէ կեսառմ ընդունում են միևնույն արժեքը, այսինքն՝ այդ ճյուղերը հատվում են, ապա տեղի ունի



Նկ. III.16



Նկ. III.17



այլասերում (նկ. III.17, O, A, C կետերը): Այս դեպքում հարց է ծագում, թե ինչպես որոշել տատանման տրված ճյուղը ալիքային վեկտորի վոլոխման ողջ տիրույթում: Ինչպես երևում է նկ. III.17-ից, տրված ω , ճյուղը կարելի է ընտրել հետևյալ կարերով՝ DMAC'F, DMACE' կամ DMAM'D':

Պայմանավորվենք վերահամարակալել ճյուղերն այնպես, որ արված $q_s = q_s^0$ -ի համար տեղի ունենան հետևյալ անհավասարությունները՝

$$\omega_1(q_s^0) < \omega_2(q_s^0) < \omega_3(q_s^0) < \omega_4(q_s^0) < \omega_5(q_s^0) :$$

Կենքաղբենք այժմ, որ գրված անհավասարությունները տեղի ունեն բոլոր q_s -երի համար, ինչն էլ հենց որոշում է ճյուղերի համարակալումը q_s -ի վոլոխման ողջ տիրույթում (նկ. III.17, p): Վերահամարակալված բոլոր ճյուղերի համար էլ տեղի ունի $\omega_j(-q_s) = \omega_j(q_s)$ պայմանը:

Այլասերման դեպքում q_s' հատման կետերում $(\partial\omega_j/\partial q_s)_{q_s'}$ ածանցյալը, որպես կանոն, թույզը ունի: Օրինակ՝ պարզ միաչափ ցանցի համար

$$\omega^2 = \omega_{\max}^2 \sin^2 \frac{qa}{2} \quad \text{և} \quad \omega = \pm \omega_{\max} \sin \frac{qa}{2},$$

այսինքն՝ $q = 0$ կետը ճյուղավորման կետ է: Մենք դեն ենք նետում երկու (\pm) ճյուղերի բացասական հաճախտություններին համապատասխանող մասերը և ծայնային ճյուղը որոշում (3.9) բանաձևով:

Եթե $q = 0$ կետում այլասերում չկա (նկ. III.17, a, B կետը), այսինքն՝ չկա տատանման մի քանի ճյուղերի հատում, ապա $\omega_j(q)$ ֆունկցիան կարելի է վերածել շարքի ըստ q_α պրոյեկցիաների ($\alpha = x, y, z$) աստիճանների՝

$$\omega_j(q) = \omega_j(0) + \sum_{\alpha} \left(\frac{\partial \omega_j}{\partial q_\alpha} \right)_0 q_\alpha + \frac{1}{2} \sum_{\alpha \beta} \left(\frac{\partial^2 \omega_j}{\partial q_\alpha \partial q_\beta} \right)_0 q_\alpha q_\beta + \dots : \quad (5.31)$$

Քանի որ $\omega_j(q)$ -ն գույզ ֆունկցիա է, (տես (5.24) հատկությունը), ապա

$$\left(\frac{\partial \omega_j}{\partial q_\alpha} \right)_0 = 0 : \quad (5.32)$$

II կարգի համաչափ

$$R_{\alpha\beta}^J = \frac{1}{2} \left(\frac{\partial^2 \omega_J}{\partial q_\alpha \partial q_\beta} \right)_0 \quad (5.33)$$

տեղադրությունը կարելի է բերել անլյունազգծային տեսքի, այնպես որ (5.31) վերլուծությունը կարող նման ներկայացնել:

$$\omega_J(q) = \omega_J(0) + \sum_{\alpha} q_{\alpha}^2 R_{\alpha\alpha}, \quad (5.34)$$

տեսքով, այսինքն, $q = 0$ կետում $\omega_J(q) - \omega_J(0)$ վերլուծությունը սկզբում է q_{α}^2 մեծություններին համամատական անդամներից: Մասնավորապես, խորանարդային բյուրեղի համար $R_{xx} = R_{yy} = R_{zz} \equiv R$, ուստի

$$\omega_J(q) = \omega_J(0) + R q^2, \quad (5.35)$$

այսինքն՝ փոքր q -երի համար $\omega_J(q) = const$ հավասարահաճախային մակերևույթները գնդեր են (նկ. III.16):

Հարկ է նշել, որ $\omega_J(q)$ ֆունկցիան եքստրեմալ արժեքներ կարող է ընդունել ոչ միայն Բրիլուենի գոնայի կենտրոնում (նկ. III.17, ա, Բ կետ) կամ սահմանի վրա (նկ. III.17, ա, F,F',...,H,H' կետեր), այլև գոնայի ներսում (նկ. III.17, ա, M,M' կետեր):

Այժմ ուսումնասիրենք ցանցի տատանումների բնույթը երկարավերային սահմանում ($\lambda \rightarrow \infty, q \rightarrow 0$): Այս դեպքում, ըստ (5.13) սահմանման, $D_{\alpha\beta}^{kk'}(0)$ մեծություններն իրական են, հետևաբար, իրական կլինեն նաև (5.12) հավասարումից $q = 0$ դեպքում ստացվող

$$\omega^2(0) A_{\alpha}^k(0) = \sum_{k' \beta n'} \frac{1}{\sqrt{m_k m_{k'}}} \Phi_{\alpha\beta}(k n, k' n') A_{\beta}^{k'}(0) \quad (5.36)$$

հավասարման $A_{\alpha}^k(0)$ լուծումները, Ենթադրենք այժմ, որ j -րդ ճյուղին պատկանող ամպլիտուդը՝

$$A_{j\beta}^{k'}(0) = \sqrt{m_{k'}} \cdot const \quad (\text{ըստ } k'-ի), \quad (5.37)$$

այսինքն՝ $u_{n\beta j}^{k'}$ շեղումները կախված չեն ատոմի տեսակից (տես (5.11) արտահայտությունը): (5.36) և (5.37) հավասարումներից հետևում է, որ

$$\frac{1}{\sqrt{m_k}} \sum_{\beta} \frac{A_{j\beta}^{k'}(0)}{\sqrt{m_{k'}}} \sum_{k'n'} \Phi_{\alpha\beta}(k'n; k'n') = 0 : \quad (5.38)$$

Բայց քանի որ մեզ չի հետաքրքրում $A_{j\alpha}^k(0) = 0$ ($\alpha = x, y, z$) լուծումը, ապա (5.36) հավասարումից կստանանք՝

$$\omega_j(0) = 0 : \quad (5.39)$$

Մյուս կողմից, (5.39) պայմանը տեղի կունենա, եթե $A_{j\alpha}^k(0) \neq 0$ գոնե առաջի մեկ արժեքի համար, ուստի բնական է նորադրել, որ կան առատանումների երեք ($j = 1, 2, 3$) ճյուղեր, որոնց համար $\omega_j(q) \rightarrow 0$, եթե $q \rightarrow 0$:

Այս երեք ճյուղերը, որոնց համար առատումների շնորհմանը կախված չեն աստղի տեսակից, կոչվում են ճայնային և նման են միաշափ ցանցի ճայնային ճյուղին:

Այժմ քննարկենք $q = 0$ դեպքը, բայց առանց (5.37) և նորադրության: Արտագրենք (5.36) հավասարումը հետևյալ տեսքով

$$m_k \omega_j^2(0) \frac{A_{j\alpha}^k(0)}{\sqrt{m_k}} = \sum_{k'\beta n'} \frac{1}{\sqrt{m_{k'}}} \Phi_{\alpha\beta}(k'n; k'n') A_{j\beta}^{k'}(0) : \quad (5.40)$$

Բազմապատկերվ հավասարման երկու մասերը $e^{-i\omega t}$ արտադրիչով, օգտվելով (5.11) արտահայտությունից և կատարելով գումարում ըստ k -ի, կստանանք, որ

$$\omega_j^2(0) \sum_k m_k u_{n\alpha j}^k(t) = \sum_{k'\beta} u_{n\beta j}^{k'}(t) \sum_{k'n} \Phi_{\alpha\beta}(k'n; k'n') = 0 \quad (5.41)$$

համաձայն (5.9) հատկության: Քանի որ $\omega_j(0) \neq 0$, ապա

$$\sum_{k=1}^s m_k u_{n\alpha j}^k(t) = 0 , \quad (5.42)$$

այսինքն՝ երկարակիքային տատանումների ժամանակ բջջի ծանրության կենտրոնը մնում է անշարժ: Տատանումների այս ճյուղերը կոչվում են օպտիկական և նման են միաշափ ցանցի օպտիկական ճյուղին:

Այսպիսով, բյուրեղի դիսպերժուն հավասարման բոլոր 3s ճյուղերից 3-ը ճայնային ճյուղերն են՝ $\omega_j = 0$ ($j = 1, 2, 3$), իսկ մնացած 3s - 3-ը՝ օպտիկական ճյուղերը՝ $\omega_j = \omega_j(0)$ ($j = 4, 5, 6, \dots, 3s$):

Կարելի է ցույց տալ, որ ինչպես և միաշափ դեպքում, երկարավեճային սահմանում ($q \cdot a, << 1$) ծայնային ճյուղերի հաճախությունները կարելի են երկայացնել:

$$\omega_j(\mathbf{q}) = v_{0j}(\theta, \varphi) \cdot |\mathbf{q}|, \quad j=1,2,3 \quad (5.43)$$

տեսքով, որտեղ v_{0j} -ն j -րդ ճյուղի ալիքի տարածման արագությունն է և կախված է ալիքի տարածման ուղղությունից (θ, φ անկյունները որոշում են \mathbf{q} վեկտորի ուղղությունը), իսկ օպտիկական ճյուղերի համար $\omega_j(\mathbf{q})$ դիսպերսիոն հավասարումը տրվում է (5.35) արտահայտությամբ, այսինքն՝ ոճի էքստրեմում (մաքսիմում): Այլասերման բացակայության դեպքում $\omega_j(\mathbf{q})$ ֆունկցիան էքստրեմալ է նաև Բրիլյունի գոնայի սահմանների վրա:

Տատանումների լրիվ պատկերը ստանալու համար անհրաժեշտ է լուծել (5.15) բնուրագրական հավասարումը \mathbf{q} վեկտորի բոլոր արժեքների համար, ինչը հնարավոր է իրականացնել միայն քվային մերոդներով:

Այժմ ներմուծենք նորմալ կորդիմատները նոաչափ ցանցի համար: j -րդ ճյուղին պատկանող և \mathbf{q} ալիքային վեկտորով տատանմանը համապատասխանող շեղումը տրվում է (5.11) հավասարումով: (5.10) շարժման հավասարումների համակարգի գծայնությունից հետևում է, որ ընդհանուր դեպքում շեղման վեկտորը կարելի է ներկայացնել բյուրեղի բոլոր սեփական տատանումների գծային համակցության տևարով՝

$$u_{n\alpha}^k(t) = \frac{1}{\sqrt{Nm_k}} \sum_{\mathbf{q}, J} e_{Jka}(\mathbf{q}) a_J(\mathbf{q}, t) e^{i\mathbf{q}\mathbf{n}}, \quad (5.44)$$

որտեղ առայժմ անհայտ $a_J(\mathbf{q}, t)$ գործակիցները հանդես են զայխ որպես նորմալ կորդիմատներ:

Տեղադրենք (5.44) արտահայտությունը շարժման (5.10) հավասարումների մեջ՝

$$\begin{aligned} & \sqrt{\frac{m_k}{N}} \sum_{\mathbf{q}} e^{i\mathbf{q}\mathbf{n}} [e_{Jka}(\mathbf{q}) \ddot{a}_J(\mathbf{q}, t) + \\ & + \sum_{\mathbf{n}'} e_{Jk'\beta}(\mathbf{q}) a_J(\mathbf{q}, t) \frac{1}{\sqrt{m_k m_{k'}}} \Phi_{\alpha\beta}(k\mathbf{n}; k'\mathbf{n}') e^{i\mathbf{q}(\mathbf{n}' - \mathbf{n})}] = 0 \end{aligned} \quad (5.45)$$

և նկատի ունենանք, որ համաձայն (5.13) և (5.18) առնչությունների,

$$\begin{aligned} \sum_{k' \beta} e_{jk\beta}(q) \sum_{n'} \frac{1}{\sqrt{m_k m_{k'}}} \Phi_{\alpha\beta}(k n; k' n') e^{i q(n' - n)} = \\ = \sum_{k' \beta} e_{jk\beta}(q) D_{\alpha\beta}^{kk'}(q) = \omega_j^2(q) e_{jk}(q). \end{aligned} \quad (5.46)$$

(5.45) և (5.46) առնչություններից հետևում է, որ $a_j(q, t)$ մեծությունները բավարարում են

$$\ddot{a}_j(q, t) + \omega_j^2(q) a_j(q, t) = 0 : \quad (5.47)$$

հավասարմանը: Քանի որ $u_{n\alpha}^k(t)$ շեղումներն իրական մեծություններ են, ապա (5.44) արտահայտությունից հետևում է $a_j(q, t)$ նորմալ կոորդինատների համաչափության հետևյալ հատկությունը՝

$$a_j(q) = a_j^*(-q) : \quad (5.48)$$

Նորմալ կոորդինատների թիվը հավասար է $3sN$ -ի, այսինքն՝ բյուրեղական ցանցի ազատության աստիճանների թվին:

§6. Սահմանային պայմանների ուսումնասիրությունը

Այժմ պարզենք, թե ինչպիսի արժեքներ կարող են ընդունել ալիքային վեկտորը: Դիմենք շեղման վեկտորների վրա դրվագ սահմանային պայմաններին:

Դիտարկենք անվերջ բյուրեղ, որը բաղկացած է մակրոբյուրեղներից, որոնցից յուրաքանչյուրը $N_1 a_1, N_2 a_2$ և $N_3 a_3$ կողերով գուգահեռանիստ է և պարունակում է $N_1 N_2 N_3 \equiv N$ տարրական բջիջ: Ենթադրվում է, որ N_1, N_2, N_3 թվերը շատ մեծ են մեկից. օրինակ՝ եթե մակրոբյուրեղի չափերն ընտրենք $1\text{nm} \times 1\text{nm} \times 1\text{nm}$, ապա $N_1 \sim N_2 \sim N_3 \sim 10^7$: Յուրաքանչյուր մակրոբյուրեղ կարելի է դիտել որպես ֆիզիկական բյուրեղ, որի տատանողական հատկություններն անհրաժեշտ են ուսումնասիրել:

Օգտվենք սահմանային պայմաններից, որոնք միաշափ բյուրեղի դեպքում օգտագործված (2.16) շրջանային կամ Բունի և Կարմանի սահմանային պայմաններից:

Նային պայմանի հոաչափ ընդհանրացումն են և որոնց համաձայն ատոմ-ների շեղումները պետք է լինեն պարբերական ըստ մակրոբյուրեղի չափերի՝

$$u_{\alpha}^k(t) = u_{\alpha+N_1 a_1}^k(t) = u_{\alpha+N_2 a_2}^k(t) = u_{\alpha+N_3 a_3}^k(t) : \quad (6.1)$$

Նկատի ունենալով շեղման վեկտորի (5.11) արտահայտությունը, (6.1) սահմանային պայմաններից կստանանք՝

$$e^{i q a_1 N_1} = e^{i q a_2 N_2} = e^{i q a_3 N_3} = 1 , \quad (6.2)$$

այսինքն՝

$$q a_1 N_1 = 2\pi p_1 , \quad q a_2 N_2 = 2\pi p_2 , \quad q a_3 N_3 = 2\pi p_3 , \quad (6.3)$$

որտեղ $p_1, p_2, p_3 = 0, \pm 1, \pm 2, \pm \dots$ կամայական ամբողջ թվեր են: Ստացված երեք հավասարումներից որոշվող q վեկտորը փոփոխվում է հակադարձ տարածության մեջ (տես I.5) և, հետևաբար, կարող է ներկայացվել հակադարձ ցանցի հիմնական վեկտորների միջոցով՝

$$q = h_1 b_1 + h_2 b_2 + h_3 b_3 : \quad (6.4)$$

Որոշենք h_1, h_2, h_3 անհայտ գործակիցները: (6.3), (6.4) հավասարումներից և (I.5.23) առնչությունից կստանանք՝

$$q a_1 N_1 = (h_1 a_1 b_1 + h_2 a_2 b_2 + h_3 a_3 b_3) N_1 = h_1 N_1 = 2\pi p_1 ,$$

այսինքն՝

$$h_1 = \frac{2\pi}{N_1} p_1 : \quad (6.5)$$

Նոյն եղանակով h_2 և h_3 համար կստանանք՝

$$h_2 = \frac{2\pi}{N_2} p_2 , \quad h_3 = \frac{2\pi}{N_3} p_3 : \quad (6.6)$$

Այսպիսով, q ալիքային վեկտորի ընդունած արժեքները տրվում են

$$q = \frac{2\pi p_1}{N_1} b_1 + \frac{2\pi p_2}{N_2} b_2 + \frac{2\pi p_3}{N_3} b_3 , \quad p_1, p_2, p_3 = 0, \pm 1, \pm 2, \pm \dots \quad (6.7)$$

արտահայտությամբ: Եթե q վեկտորի փոփոխման տիրույթը բրիլյունի գոնան է՝

$$-\pi \leq q a_i < \pi \quad (i = 1, 2, 3)$$

ապա

$$-\frac{N_1}{2} \leq p_1 < \frac{N_1}{2}, \quad -\frac{N_2}{2} \leq p_2 < \frac{N_2}{2}, \quad -\frac{N_3}{2} \leq p_3 < \frac{N_3}{2}; \quad (6.8)$$

զ վեկտորի՝ Բրիլյունի գոնայում ընդունած տարրեր արժեքների թիվը հավասար է (6.8) պայմաններին բավարարող (p_1, p_2, p_3) եռյակի ընդունած արժեքների թվին, որը հավասար է $N_1 N_2 N_3 \equiv N$: Այսպիսով, գալիս ևնք կարևոր եզրակացության՝ ալիքային վեկտորը Բրիլյունի գոնայում ընդունում է ճիշտ այնքան տարրեր արժեքներ, քանի տարրական բջիջներից որ կազմված է տվյալ բյուրեղը:

Այժմ ցույց տանք, որ q ալիքային վեկտորի արժեքները հակադարձ տարածության մեջ բաշխված են հաստատուն խտությամբ: (6.4) և (6.7) արտահայտություններից հետևում է, որ հակադարձ տարածության i -րդ եկմնական կոօրդինատական առանցքի վրա q վեկտորի երկու ամենամուտ ($\Delta p_i = 1$) արժեքների միջև տարրերությունը՝

$$\Delta q_i = \Delta h_i \cdot b_i = b_i \cdot (2\pi \Delta p_i / N_i) = 2\pi b_i / N_i; \quad (6.9)$$

Հետևաբար, յուրաքանչյուր q վեկտորի հակադարձ տարածության մեջ բաժին կը նկանի

$$\Omega_1 = (\Delta q_1 [\Delta q_2 \times \Delta q_3]) = \frac{(2\pi)^3}{N_1 N_2 N_3} (b_1 [b_2 \times b_3]) = \frac{(2\pi)^3}{N \cdot v_0} = \frac{(2\pi)^3}{V} \quad (6.10)$$

ծավալ, որտեղ v_0 -ն տարրական բջիջի, իսկ V -ն՝ ամբողջ բյուրեղի ծավալն է: (6.10) արտահայտությունը կարելի է ստանալ նաև այլ նորանակով: Եթե նկատի ունենանք, որ q վեկտորի բոլոր, իրարից տարրեր N հատ արժեքներն ընկած են Բրիլյունի գոնայում, որի ծավալը՝ $\Omega_0 = (2\pi)^3 / v_0$, ապա մեկ վիճակին (մեկ q վեկտորին) բաժին ընկնող ծավալը՝ $\Omega_1 = \Omega_0 / N = = (2\pi)^3 / N v_0 = (2\pi)^3 / V$:

Եթե $V \rightarrow \infty$, ապա $\Omega_1 \sim 1/V \rightarrow 0$ և q ալիքային վեկտորն ընդունում է անընդհատ արժեքներ, կամ, նկատի ունենալով Բրիլյունի գոնայում նրա ընդունած արժեքների վերջավոր (N) թիվը, կարելի է համարել, որ q վեկտորը քվազիանընդհատ է (տես §2): Նկատի ունենալով այս հանգամանքը, գրենք հակադարձ տարածության dq ծավալում վիճակների թիվը՝

$$dN = \frac{dq}{\Omega_1} = \frac{V}{(2\pi)^3} \cdot dq \equiv D_q dq : \quad (6.11)$$

(6.11) արտահայտության մեջ dq ծավալի տարրի գործակիցը՝ $D_q = V/(2\pi)^3$ մեծությունը հակադարձ տարածության միավոր ծավալում (1m^{-3} -ում) վիճակների թիվն է: D_q խտությունը կախված չէ q -ից, այսինքն՝ q վեկտորի արժեքները բաշխված են հաստատուն խտությամբ:

Օգտվելով մակրոսկոպական նմուշի դեպքում q վեկտորի բվազիանընդհատության հատկությունից, կարելի է հաշվել $\sum_q F_q$ տիպի գումարը՝

ներ: Իբրև, եթե $V \rightarrow \infty$, ապա ըստ q -ի գումարի մեջ մտնող անդամները կարելի է խմբավորել $q + dq$ տիրապետում, որտեղ նրանց թիվը $dN = V dq / (2\pi)^3$ է, և ապա ինտեգրել ըստ q -ի բոլոր հնարավոր արժեքների, այսինքն՝

$$\sum_q F_q = \int F(q) \cdot \frac{V}{(2\pi)^3} dq, \quad (6.12)$$

որտեղ $F(q)$ -ն դիտվում է որպես q -ի անընդհատ ֆունկցիա: Մասնավորապես, L երկարությամբ միաչափ և S մակերեսով երկչափ համակարգերի դեպքում

$$\sum_q F_q = \frac{L}{2\pi} \int F(q) dq = \int F(q) \frac{dq}{\Delta q} = \int F(q) \frac{dq}{(2\pi/L)} \quad (6.13)$$

և

$$\sum_{q_\perp} F_{q_\perp} = \frac{S}{(2\pi)^2} \int F(q_\perp) dq_\perp = \int F(q_\perp) \frac{dq_\perp}{\Delta q_\perp} = \int F(q_\perp) \frac{dq_\perp}{(2\pi)^2/S} : \quad (6.14)$$

Եթանային սահմանային պայմանների օգտագործումը մաքեմատիկական հնարք է, որը շատ հեշտացնում է հաշվումները: Սակայն ծագում է հետևյալ ռդ հասարակ հարցը. կփոխավի՞ արոյոք q վեկտորի սնիվական արժեքների բաշխումը, եթե օգտվենք կոնկրետ սահմանային պայմաններից և այնուհետև բջիջների թիվը՝ $N \rightarrow \infty$: Այս հարցը պարզաբանելու համար կողմնենք Լեղերմանի թեորեմին, որի համաձայն եթե էրմիտական

մատրիցի s տողերի և s սյուների տարրերը փոփոխենք ցանկացած ձևով, բայց այնպես, որ մատրիցը մնա էրմիտական, ապա մատրիցի սեփական արժեքների թիվը ցանկացած տիրույթում չի կարող աճել կամ նվազել ավելի, քան $2s$ -ով:

Վերադառնանք շարժման (5.10) հավասարմանը և նրա լուծումը փնտրենք

$$u_{n\alpha}^k(t) = \frac{1}{\sqrt{m_k}} v_{n\alpha}^k e^{-i\omega t} \quad (6.15)$$

տեսրով, որտեղ առկա անհայտ $v_{n\alpha}^k$ մեծությունները որոշվում են հետևյալ համակարգից՝

$$\omega^2 v_{n\alpha}^k = \sum_{k' \beta' n'} \frac{1}{\sqrt{m_k m_{k'}}} \Phi_{\alpha \beta}(k n; k' n') v_{n' \beta'}^{k'} \equiv \sum_{k' \beta' n'} D_{\alpha \beta}^{kk'}(n, n') v_{n' \beta'}^{k'} : \quad (6.16)$$

Ինչպես հետևում է սահմանումից, $D_{\alpha \beta}^{kk'}(n, n') = (m_k m_{k'})^{-1/2} \Phi_{\alpha \beta}(k n; k' n')$ տարրերն իրական են և համաչափ, այսինքն $\|D_{\alpha \beta}^{kk'}(n, n')\|$ մատրիցն էրմիտական է:

Անվերջ բյուրեղի, ինչպես նաև շրջանային սահմանային պայմաններին բավարարող բյուրեղի համար $D_{\alpha \beta}^{kk'}(n, n')$ տարրերը կախված են n -ից և n' -ից միայն $n - n'$ տարրերության ձևով: Եթե վերցնենք իրական վերջավոր բյուրեղ, որը պարունակում է նոյն թվով տարրական բջիջներ, ինչ որ շրջանային սահմանային պայմաններին բավարարող ցանցը, սակայն որի առողմների շեղումների վրա դրված են ազատ կամ բնական սահմանային պայմաններ (այն է՝ մակերևութային շերտի ասոմների վրա արտաքին ուժեր չեն ազդում), ապա $D_{\alpha \beta}^{kk'}(n, n')$ մեծությունը կլինի կախված և n -ից, և n' -ից: Մյուս կողմից, եթե (n, k) և (n', k') ասոմները գտնվում են բյուրեղի մակերևույթից ավելի մեծ հեռավորության վրա, քան միջատոմական ուժերի գործողության շառավիղն է, ապա համապատասխան $D_{\alpha \beta}^{kk'}(n, n')$ տարրը նորից կախված կլինի միայն $|n - n'|$ հեռավորությունից: Մակերևութային շերտում գտնվող ասոմի համար $D_{\alpha \beta}^{kk'}(n, n')$

տարրերը, որոնք համապատասխանում են բյուրեղից դուրս գտնվող ատոմ-ների հետ փոխազդեցությանը, հակասար են զրոյի: Հետևաբար, եթե երկու (միևնույն թվով տարրական բջիջներից բաղկացած) բյուրեղներից մեկի վրա դրված են շրջանային, իսկ մյուսի վրա՝ բնական սահմանային պայմաններ, ապա նրանց $\left\| D_{\alpha\beta}^{kk'}(n,n') \right\|$ մատրիցներն իրարից կտարբերվեն այն տողերի և սյունակների տարրերով, որոնք համապատասխանում են մակերևությային շերտում գտնվող աստոմներին: Չանչ որ միջատոմական ուժերի գործողության շառավիղը կախված չէ ատոմների թվից, ապա իրարից տարբեր տողերի և սյունակների թիվը երկու մատրիցում էլ $3s(N_1N_2 + N_2N_3 + N_1N_3)$ կարգի է, իսկ մատրիցի տողերի և սյունակների լրիվ թիվը $3sN_1N_2N_3$ է: Համաձայն Լեդերմանի թեորեմի՝ շրջանայինց բնական սահմանային պայմաններին անցնելիս հաճախությունների թվի հարաբերական փոփոխությունը՝

$$\frac{N_1N_2 + N_2N_3 + N_1N_3}{N_1N_2N_3} = \frac{1}{N_1} + \frac{1}{N_2} + \frac{1}{N_3} \sim N^{-1/3} \quad (N_1 \sim N_2 \sim N_3) \quad 6.17)$$

կարգի մեծություն է և մեծ N -երի համար ճգնակ է զրոյի:

Ընդհանուր դեպքում, եթե միջատոմական ուժերը գրայից տարբեր են միայն վերջավոր թվով հարևանների համար, ապա կոնկրետ սահմանային պայմանների ազդեցությունն անվերջ փոքր է, եթե միայն մակերևությային շերտու ատոմների թվի հարաբերությունը բյուրեղի ողջ ատոմների թվին շատ փոքր է մեկից:

§7. Տատանումների բաշխումը սպեկտրում: Վիճակների խառնության ֆունկցիան

Բյուրեղի՝ ցանցի տատանումներով պայմանավորված մի շարք ֆիզիկական հատկություններ բացատրելու համար բոլորովին պարաւաղիք չէ տնենալ $\omega_j = \omega_j(q)$ դիսպերսիոն հավասարումներով տրվող լրիվ ինֆորմացիան, բավական է գիտենալ միայն տատանումների (մոդերի) բաշխումն ըստ հաճախությունների:

Ինչպես զիտենք, մակրոսկոպական նմուշի համար ալիքային վեկտորի արժեքները հակադարձ տարածության մեջ բաշխված են $V/(2\pi)^3$ խտությամբ, այնպես որ, եթե $V \rightarrow \infty$, կարելի է համարել, որ ալիքային վեկտորը բրիլյանի գոնայում ընդունում է անընդհատ արժեքներ: Նկատի ունենալով կապը ալիքային վեկտորի և տվյալ ճյուղին պատկանող հաճախությունների միջև, կարելի է համարել, որ ω -ն նույնպես ընդունում է անընդհատ արժեքներ, ուստի կարելի է որոշել, թե քանի տատանողական մող է պարունակվում հաճախությունների $\omega, \omega + d\omega$ տիրույթում:

Նշանակենք j -րդ ճյուղին պատկանող մողերի թիվը $\omega, \omega + d\omega$ տիրույթում $dN_j(\omega)$ -ով, որը համեմատական է $d\omega$ -ին՝

$$dN_j(\omega) = g_j(\omega) d\omega, \quad (7.1)$$

որտեղ $g_j(\omega)$ ֆունկցիան հաճախությունների միավոր տիրույթում j -րդ ճյուղի մողերի թիվն է և կոչվում է վիճակների խտության ֆունկցիա: Ցանկացած ճյուղի վիճակների խտության ֆունկցիա բավարարում է

$$\int_{\omega_{j\min}}^{\omega_{j\max}} g_j(\omega) d\omega = N \quad (7.2)$$

նորմավորման պայմանին, որտեղ N -ը բյուրեղում տարրական բջիջների թիվն է, իսկ $\omega_{j\min}$ -ը և $\omega_{j\max}$ -ը՝ j -րդ ճյուղին պատկանող նվազագույն և առավելագույն հաճախությունները:

Այժմ ստանանք արտահայտություն վիճակների խտության ֆունկցիայի համար և ուսումնասիրենք նրա հատկությունները:

Ցանցի հասկություններով պայմանավորված որոշ մեծություններ, համաձայն (6.12) բանաձևի, կարող են ներկայացվել հետևյալ ընդհանուր տեսքով՝

$$\sum_j Q(\omega_j(q)) = \sum_j \int \frac{V}{(2\pi)^3} dq Q(\omega_j(q)): \quad (7.3)$$

Այս հավասարության ձախ մասը բոլոր $3Ns$ մողերի ներդրումների գումարն է, որը բոլոր ճյուղերին պատկանող մողերի թիվը $\omega, \omega + d\omega$ տիրույթում $g(\omega) d\omega$ նշանակելուց հետո կարելի է ներկայացնել նաև

$$\int d\omega g(\omega)Q(\omega) \quad (7.4)$$

տեսքով: (7.3) և (7.4) առնչություններից բխում է, որ

$$g(\omega) = \sum_j \frac{V}{(2\pi)^3} \int dq \delta[\omega - \omega_j(q)] \equiv \sum_j g_j(\omega) : \quad (7.5)$$

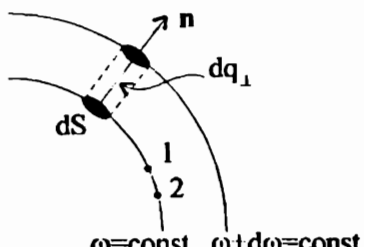
Հետևաբար, j -րդ ճյուղի վիճակների խտության ֆունկցիան՝

$$g_j(\omega) = \frac{V}{(2\pi)^3} \int dq \delta[\omega - \omega_j(q)] , \quad (7.6)$$

որտեղ ինտեգրուսն ըստ q -ի կատարվում է Բրիլյունի զոնայի կամ հակադարձ ցանցի տարրական բջջի ծավալով: Ստացված (7.6) արտահայտության օգնությամբ վիճակների խտության ֆունկցիայի համար կարելի է տալ տարրեր մաքենատիկական բանաձևեր, օգտագործելով դելտա-ֆունկցիայի զանազան պատկերացումներ:

Զևափոխնենք այժմ (7.6) արտահայտությունը:

Մողերի թիվը $\omega, \omega + d\omega$ սիրույթում կարելի է ստանալ, բաժանելով $\omega_j(q) = \omega = const$ և $\omega_j(q) = \omega + d\omega = const$ մակերևույթների միջև ընկած q -տարածության ծավալը (նկ. III.18) մեկ մողին բաժին ընկնող $(2\pi)^3/V$ ծավալի վրա: Այս նպատակով հաշվենք նշված ծավալը: Կառուցենք dS հիմքի մակերեսով մի զլան, որի կողմնային մակերևույթն ուղղահայաց է $\omega_j(q) = \omega$ մակերևույթին: Ինչպես հայանի է, $\omega_j(q)$ ֆունկցիայի զրադիենան ուղղահայաց է $\omega_j(q) = const$ մակերևույթին: Դրանում ենշտ է համոզվել, եթե զրենք $\omega_j(q)$ ֆունկցիայի փոփոխության արտահայտությունը նույն հավասարահաճախային մակերևույթին պատկանող երկու անվերջ մոտ 1 և 2 կետերի միջև (նկ. III.18): Իրոք՝



Նկ. III.18

$$\omega_2 - \omega_1 \equiv \frac{\partial \omega}{\partial q} \cdot \delta q_{12} + \dots = 0 : \quad (7.7)$$

Այսու կողմից, քանի որ δq_{12} վեկտորը գտնվում է $\omega_j(q) = const$ մակերևոյթի վրա (ավելի ճշգրիտ՝ և կետում $\omega_j(q) = const$ մակերևոյթին տարված շոշափող հարթաթյան մեջ), ապա, ըստ (7.7) առնչության

$$\nabla_q \omega_j \equiv \frac{\partial \omega_j}{\partial q} \perp \delta q_{12},$$

այսինքն՝ $\nabla_q \omega_j$, վեկտորն ուղղված է q կետում $\omega_j(q) = const$ մակերևոյթի n նորմալի ուղղությամբ:

dS հիմքի մակերեսով զլանի ծավալը հավասար է

$$dS \cdot dq_{\perp} = dS \cdot \frac{d\omega}{\left| \partial \omega_j / \partial q \right|} \equiv \frac{dS d\omega}{\left| \nabla_q \omega_j(q) \right|}, \quad (7.8)$$

հետևաբար՝ $\omega = const$ և $\omega + d\omega = const$ մակերևոյթների միջև ընկած ծավալը՝

$$d\Omega(\omega) \equiv \iiint_{\omega \leq \omega_j(q) \leq \omega + d\omega} dS dq_{\perp} = d\omega \iint_{\omega_j(q) = \omega} \frac{dS}{\left| \partial \omega_j / \partial q \right|} \equiv d\omega \iint \frac{dS}{\left| \partial \omega_j / \partial q \right|}, \quad (7.9)$$

որտեղ ինտեգրումը կատարվում է $\omega = \omega_j(q) = const$ հավասարահաճախային մակերևոյթով: Բաժանելով (7.9) արտահայտությունը $(2\pi)^3/V$ ծավալի վրա և արդյունքը հավասարեցնելով $\omega, \omega + d\omega$ տիրույթում մոդերի բավարարացմանը՝

$$g_j(\omega) = \frac{V}{(2\pi)^3} \iint \frac{dS}{\left| \partial \omega_j / \partial q \right|} = \frac{V}{(2\pi)^3} \iint \frac{dS}{|\mathbf{v}_{jg}(q)|}, \quad (7.10)$$

որտեղ

$$\mathbf{v}_{jg}(q) = \frac{\partial \omega_j(q)}{\partial q} \equiv \nabla_q \omega_j(q) \quad (7.11)$$

վեկտորը q ալիքային վեկտորով փաթեթի խմբային արագությունն է $\omega_j(q)$ դիսպերսիոն հավասարումով նկարագրվող միջավայրում:

Ինչպես զիտենք, $\omega(q)$ ֆունկցիան պարբերական է q -տարածության մեջ և յուրաքանչյուր j -ի համար սահմանափակ է վերից և վարից, ինչպես նաև ընդհանուր դեպքում՝ ամենուրեք դիմերենցելի: Այս փաստերից անմիջապես հետևում է, որ հակադարձ ցանցի յուրաքանչյուր տարրական բջջում պետք է լինեն կետեր, որոնցում $|\nabla_q \omega_j(q)| = 0$: Այդ կետերն ընդունված է ամվանել կրիտիկական: Կրիտիկական կետերում (7.10) ինտեգրալում ծագում են եզակիություններ: Ուսումնասիրենք $g_j(\omega)$ ֆունկցիայի վարքը կրիտիկական կետերի շրջակայքում:

Քանի որ $\omega(q)$ -ն (սուրեւ j ցուցիչը բաց է թողնված) q -ի անընդհատ ֆունկցիա է, ապա այն կարելի է վերածել շարքի q_c կրիտիկական կետի շրջակայքում՝

$$\omega(q) = \omega_c + \gamma_1 q_x^2 + \gamma_2 q_y^2 + \gamma_3 q_z^2 : \quad (7.12)$$

Այս արտահայտության մեջ քառակուսային անդամները բերված են անկյունագծային տեսքի, $\omega_c = \omega(q_c)$, $q - q_c$ տարրերությունը փոխարինված է $q(q_x, q_y, q_z)$ -ով, իսկ վերլուծության գծային անդամները, կրիտիկական կետի սահմանման համաձայն, բացակայում են: Կախված γ , գործակիցների նշաններից, հնարավոր է չորս դեպք:

1. Եթե երեք գործակիցներն ել դրական են՝ $\gamma_i > 0$ ($i = 1, 2, 3$), ապա $\omega(q)$ ֆունկցիան ω_c կետում ունի տեղային մինիմում, և $\omega(q) = \omega = const$ մակերևույթն էլիպսարդ է, որով սահմանափակված ծավալը՝

$$\Omega(\omega) = \frac{4\pi}{3} \frac{(\omega - \omega_c)^{3/2}}{(\gamma_1 \gamma_2 \gamma_3)^{1/2}} , \quad (7.13)$$

իսկ ω և $\omega + d\omega$ հավասարահաճախային մակերևույթների միջև պարփակված ծավալը՝

$$d\Omega = \Omega(\omega + d\omega) - \Omega(\omega) = \frac{2\pi}{(\gamma_1 \gamma_2 \gamma_3)^{1/2}} (\omega - \omega_c)^{1/2} d\omega : \quad (7.14)$$

(7.14) և (7.9) բանաձևերի օգնությամբ կստանանք՝

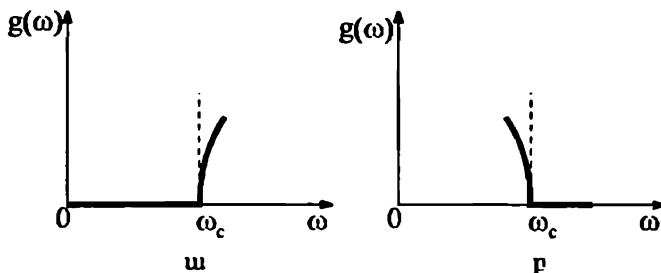
$$dN(\omega) = \frac{V}{(2\pi)^3} d\Omega = \frac{V}{(2\pi)^3} \cdot \frac{2\pi(\omega - \omega_c)^{1/2}}{\left(\gamma_1 \gamma_2 \gamma_3\right)^{1/2}} d\omega \equiv g(\omega) d\omega, \quad (7.15)$$

որսեղից էլ հետևում է վիճակների խտության ֆունկցիայի տեսքը՝

$$g(\omega) = \frac{V}{4\pi^2 (\gamma_1 \gamma_2 \gamma_3)^{1/2}} (\omega - \omega_c)^{1/2}; \quad (7.16)$$

Այս բանաձևը տեղի ունի $\omega > \omega_c$ տիրույթում: $\omega < \omega_c$ տիրույթը $g(\omega)$ ֆունկցիայում ներդրում չի տալիս: Այսպիսով, $\omega = \omega_c$ կետում $g(\omega)$ ֆունկցիան անընդհատ է, իսկ նրա ածանցյալը տարամիտում է $(\omega - \omega_c)^{-1/2}$ օրենքով (նկ. III.19, ա)

$$\left. \frac{dg(\omega)}{d\omega} \right|_{\omega \rightarrow \omega_c} = \frac{V}{8\pi^2 (\gamma_1 \gamma_2 \gamma_3)^{1/2}} \frac{1}{(\omega - \omega_c)^{1/2}} \rightarrow +\infty; \quad (7.17)$$



Նկ. III.19

2. Եթե բոլոր գործակիցները բացասական են՝ $\gamma_i < 0$ ($i = 1, 2, 3$), ապա $\omega(q)$ ֆունկցիան ω_c կետում ունի տեղային մաքսիմում: Հավասարահաճախային

$$\omega_c - \omega = |\gamma_1| q_x^2 + |\gamma_2| q_y^2 + |\gamma_3| q_z^2 \quad (7.18)$$

մակերևույթը նորից էլիպսարդ է, որի ծավալը՝

$$\Omega(\omega) = \frac{4\pi}{3} \frac{(\omega_c - \omega)^{3/2}}{|\gamma_1 \gamma_2 \gamma_3|^{1/2}}; \quad (7.19)$$

Եթե ω -ն աճում է, ապա $\Omega(\omega)$ -ն նվազում է, հետևաբար՝ վիճակների խտության ֆունկցիան պետք է որոշել

$$g(\omega) = -\frac{d\Omega}{d\omega} \quad (7.20)$$

բանաձևի միջոցով:Տվյալ դեպքում, ըստ (7.19) և (7.20) առնչությունների՝

$$g(\omega) = \frac{V}{4\pi^2 |\gamma_1 \gamma_2 \gamma_3|^{1/2}} (\omega_c - \omega)^{1/2}, \quad (7.21)$$

եթե $\omega < \omega_c$, իսկ $\omega > \omega_c$ սիրույթը ներդրում չի տալիս: $\omega = \omega_c$ կետում $g(\omega)$ ֆունկցիան անընդհատ է, իսկ նրա ածանցյալը՝

$$\left. \frac{dg(\omega)}{d\omega} \right|_{\omega \rightarrow \omega_c} = -\frac{V}{8\pi^2 |\gamma_1 \gamma_2 \gamma_3|^{1/2}} \frac{1}{(\omega_c - \omega)^{1/2}} \rightarrow -\infty: \quad (7.22)$$

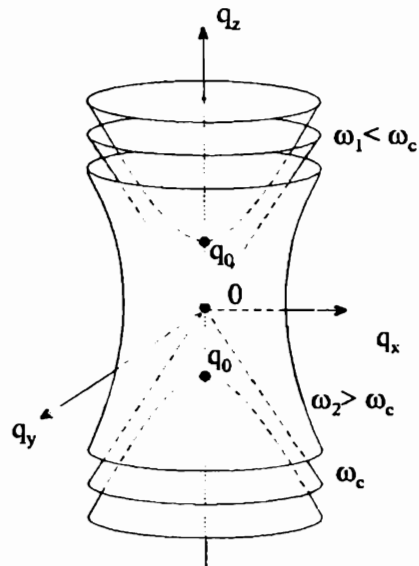
$g(\omega)$ ֆունկցիայի վարքը կրիակիկապահ կետի շրջակայքում պատկերված է նկ. III.19, բ-ում:

3. Եթե երեք գործակիցներից երկուսը, դիցուք՝ γ_1 -ը և γ_2 -ը, դրական են, իսկ γ_3 -ը՝ բացասական, ապա ω_c -ն I տեսակի (S_1) բամբային կետ է: Հետագա հաշվարկների պարզեցման համար ենթադրենք, որ $\gamma_1 = \gamma_2 \equiv \gamma$: Այս դեպքում $\omega(q) = const$ մակերևույթը q_z առանցքով պտտման հիպերբոլարդ է՝

$$\omega - \omega_c = \gamma \left(q_x^2 + q_y^2 \right) - |\gamma_3| q_z^2, \quad (7.23)$$

ընդ որում $\omega = \omega_c$ արժեքն ընկած է

$$q_{\perp} \equiv \sqrt{q_x^2 + q_y^2} = \left(\frac{|\gamma_3|}{\gamma} \right)^{1/2} |q_z| \quad (7.24)$$



Նկ. III.20

կոնի մակերևույթի վրա (նկ. III.20): Եթե $\omega < \omega_c$, ապա (7.23) հավասարումը ներկայացնում է երկշորող հիպերբոլարդների ընտանիք, իսկ $\omega > \omega_c$ ՝ դեպքում՝ միախոռոչ հիպերբոլարդների ընտանիք (նկ. III.20):

Հաշվենք q -տարածության այն տիրույթի ծավալը, որը սահմանափակված է հիպերբոլարդով և $q_z^0 > q_0 = [(\omega_c - \omega)/|\gamma_3|]^{1/2}$ հարթությամբ՝

$$\begin{aligned} \Omega(\omega) &= 2 \int_{q_0}^{q_z^0} \pi(q_x^2 + q_y^2) dq_z = \frac{2\pi|\gamma_3|}{\gamma} \int_{q_0}^{q_z^0} (q_z^2 - q_0^2) dq_z = \\ &= \frac{2\pi|\gamma_3|}{\gamma} \left[\frac{q_z^{03}}{3} + \frac{2}{3} \left(\frac{\omega_c - \omega}{|\gamma_3|} \right)^{3/2} + q_z^0 \frac{\omega - \omega_c}{|\gamma_3|} \right], \end{aligned} \quad (7.25)$$

որտեղ 2 գործակիցը հաշվի է առնում հիպերբոլարդի երկու խոռոչների առկայությունը, իսկ q_0 -ն հիպերբոլարդի գազաքի կոորդինատն է: (7.25), (7.14), (7.15) բանաձևերից կստանանք՝

$$g(\omega) = \frac{V}{(2\pi)^2 \gamma \sqrt{|\gamma_3|}} \left[\sqrt{|\gamma_3|} q_z^0 - (\omega_c - \omega)^{1/2} \right], \quad \omega < \omega_c : \quad (7.26)$$

Եթե $\omega > \omega_c$, կողհաճախային մակերևույթն ունի միախոռոչ հիպերբոլարդի տեսք, և q_z^0 և $-q_z^0$ հարթություններով և հիպերբոլարդով պարփակված ծավալը՝

$$\begin{aligned} \Omega(\omega) &= \int_{-q_z^0}^{q_z^0} \pi q_z^2 dq_z = 2\pi \int_0^{q_z^0} \left(\frac{\omega - \omega_c}{\gamma} + \frac{|\gamma_3|}{\gamma} q_z^2 \right) dq_z = \\ &= \frac{2\pi|\gamma_3|}{\gamma} \left[\frac{\omega - \omega_c}{|\gamma_3|} q_z^0 + \frac{1}{3} q_z^{03} \right]. \end{aligned}$$

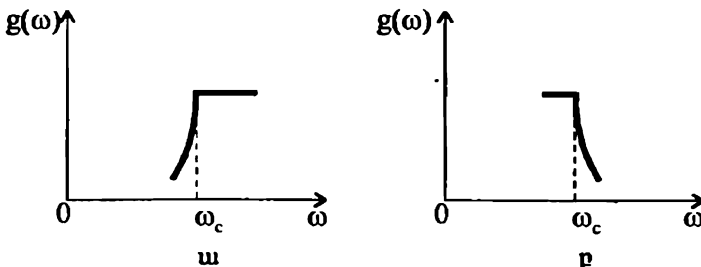
որտեղից էլ

$$g(\omega) = \frac{V}{(2\pi)^2 \gamma} q_z^0, \quad \omega > \omega_c : \quad (7.27)$$

Ինչպես հետևամ է (7.26) և (7.27) բանաձևերից, $g(\omega)$ ֆունկցիան անընդհատ է $\omega = \omega_c$ կետում, ածանցյալն աջից հավասար է զրոյի, իսկ ձախից՝

$$\left. \frac{dg(\omega)}{d\omega} \right|_{\omega \rightarrow \omega_c} = -\frac{V}{8\pi^2 \gamma \sqrt{\gamma_3}} \frac{1}{(\omega_c - \omega)^{1/2}} \rightarrow +\infty : \quad (7.28)$$

Նկ. III.21, առաջին պատկերված է $g(\omega)$ ֆունկցիայի վարքը $\omega \sim \omega_c$ կետի շրջակայքում:



Նկ. III.21

4. Եթե երեք գործակիցներից երկուսը, դիցուք՝ γ_1 -ը և γ_2 -ը, բացասական են, իսկ γ_3 -ը՝ դրական, ապա ω_c կետը II տեսակի (S_2) քամբային կետ է:

Կատարելով նույն գործողությունները, ինչ որ 3. դեպքում, կստանանք՝

$$\Omega(\omega) = \frac{2\pi\gamma_3}{|\gamma|} \left[\frac{1}{3} (q_z^0)^3 + \frac{2}{3} \frac{(\omega - \omega_c)^{3/2}}{\gamma_3^{3/2}} - \frac{\omega - \omega_c}{\gamma_3} q_z^0 \right], \text{ եթե } \omega > \omega_c, \quad (7.29)$$

$$\Omega(\omega) = \frac{2\pi\gamma_3}{|\gamma|} \left[\frac{1}{3} (q_z^0)^3 + \frac{\omega_c - \omega}{\gamma_3} q_z^0 \right], \text{ եթե } \omega < \omega_c : \quad (7.30)$$

$\Omega(\omega)$ ֆունկցիան աճում է, եթե ω -ն նվազում է, ուստի, օգտվելով (7.20) բանաձևից, կստանանք՝

$$g(\omega) = \frac{V}{(2\pi)^2 |\gamma| \sqrt{\gamma_3}} \left[\sqrt{\gamma_3} q_z^0 - (\omega - \omega_c)^{1/2} \right], \text{ եթե } \omega > \omega_c, \quad (7.31)$$

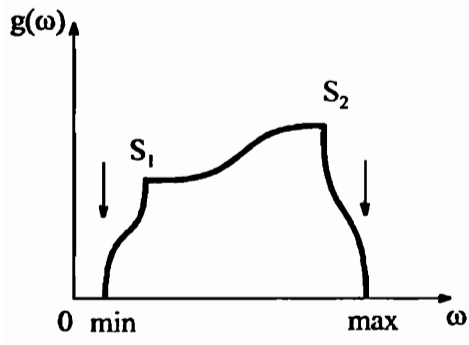
$$g(\omega) = \frac{V}{(2\pi)^2 |\gamma|} q_z^0, \text{ եթե } \omega < \omega_c : \quad (7.32)$$

Համաձայն (7.31) և (7.32) արտահայտությունների, $g(\omega)$ ֆունկցիան

անընդհատ է $\omega = \omega_c$ կետում, ածանցյալը ճախից եավասար է զրոյի, իսկ աշից

$$\frac{dg(\omega)}{d\omega} = -\frac{V}{8\pi^2\gamma\sqrt{|\gamma_3|}} \frac{1}{(\omega - \omega_c)^{1/2}} \rightarrow -\infty : \quad (7.33)$$

Ջննարկված օրինակներից գալիս ենք այն եզրակացությանը, որ եռաչափ ցանցի ցանկացած ճյուղի վիճակների խտության ֆունկցիան՝ հաճախությունից կախված անընդհատ է, իսկ նրա ածանցյալը կրիտիկան կետերում ծգառում է անվերջի: Վիճակների խտության ֆունկցիայի հաճախությունից կախման որակական վարքը պատկերված է նկ.-III.22-ում: Ընդհանուր դեպքում վիճակների խտության ֆունկցիայի եզրակիությունների քանակը և տեսակները որոշվում են Վան-Հոֆի բեռնմով, որի համաձայն եռաչափ ցանցի տատանումների սպեկտրը յուրաքանչյուր ճյուղի համար պարունակում է առնվազն մեկական կրիտիկական կետ S_1 և S_2



Նկ. III.22

Եթերի խտության ֆունկցիաների գումար է (անս (7.5) բանաձեռ), ուստի նրա գրաֆիկը բաղկացած է նկ. III.22-ի տիպի գրաֆիկների գումարից, որոնց բամբային S_1 և S_2 , ինչպես նաև \max և \min կետերը դասավորված են տարրեր հաճախությունների վրա:

Այժմ ուսումնասիրենը միաչափ ցանցի վիճակների խտության ֆունկցիան:

Եթե (7.6) ընդհանուր արտահայտության մեջ վիճակների թվի եռաչափ արտահայտությունից անցնենք միաչափ արտահայտությանը՝

S_2 տեսակի, իսկ սպեկտրի վերին սահմանի վրա վիճակների խտության ֆունկցիայի ածանցյալը պետք է ծգաի $-\infty$: Հարկ է նշել, որ կրիտիկական կետերի փաստական թիվը կարող է զգալիորեն զերազանցել բեռնմով պահանջվող նվազագույն թիվը:

Բյուրեղական ցանցի վիճակների խտության լրիվ ֆունկցիան առանձին ճյուղերի վիճակ-

$$\frac{V}{(2\pi)^3} dq \rightarrow \frac{L}{2\pi} dq_z \equiv \frac{L}{2\pi} dq , \quad (7.34)$$

կստանանք՝

$$g_J(\omega) = \frac{L}{2\pi} \int_{-\pi/a}^{\pi/a} dq \delta[\omega - \omega_J(q)] : \quad (7.35)$$

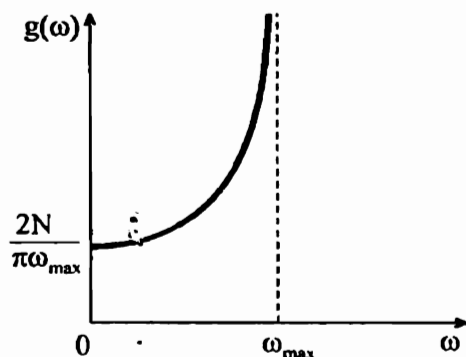
Նկատի ունենալով $\omega_J(q)$ ֆունկցիայի զույգությունը, ինչպես նաև դեղուա-ֆունկցիայի հետևյալ հատկությունը՝

$$\delta[\varphi(x)] = \sum_i \frac{\delta(x - x_i)}{|\varphi'(x)|}_{x=x_i} , \quad (7.36)$$

որտեղ x_i -ն $\varphi(x) = 0$ հավասար-ման i -րդ արմատն է, վիճակների խտության ֆունկցիան կարող ենք ներկայացնել հետևյալ տեսքով՝

$$g_J(\omega) = \frac{L}{2\pi} \sum_i \left| \frac{d\omega_J}{dq} \right|_{q=q_i}^{-1} : \quad (7.37)$$

Պարզ ցանցի դեպքում, օգտվելով (3.9) դիսպերսիան հավասարումից, վիճակների խտության ֆունկցիայի համար ստանում ենք հետևյալ արտահայտությունը՝ (Ակ. III.23)



Ակ. III.23

$$g(\omega) = \frac{2N}{\pi} \frac{1}{\sqrt{\omega_{\max}^2 - \omega^2}} : \quad (7.38)$$

Այս արտահայտությունը կարելի է ստանալ նաև ավելի անմիջական ձևով, այն է՝ իրար հավասարեցնելով dq և $d\omega$ աիրույքներում արկած վիճակների միևնույն թիվը՝

$$2 \frac{dq}{2\pi/L} = g(\omega) d\omega \quad (7.39)$$

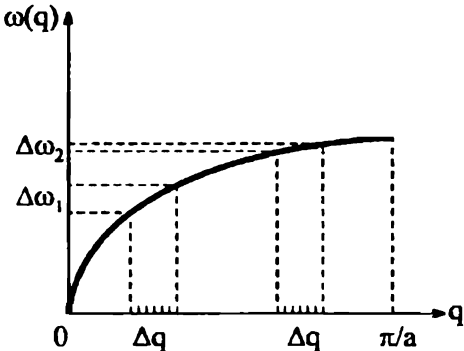
$$g(\omega) = \frac{L}{2\pi} \left| \frac{dq}{d\omega} \right| = \frac{L}{2\pi} \frac{1}{|v_g|} : \quad (7.40)$$

(7.39) արտահայտության ձախ մասի 2 գործակիցը հաշվի է առնում այն փաստը, որ $d\omega$ տիրույթում ներդրում են տալիս և դրական, և բացասական q -երը (Յկ. III.5): Միաշափ ցանցի (3.9) դիսպերսիան հավասարումից որոշելով $q(\omega)$ ֆունկցիան՝

$$q = \frac{2}{a} \arcsin \frac{\omega}{\omega_{\max}} , \quad (7.41)$$

և նրա ածանցյալի արտահայտությունը տեղադրելով (7.40) բանաձևում, կստանանք (7.38) արտահայտությունը:

Ինչպես հետևում է (7.38) բանաձևից, եթե $\omega \rightarrow \omega_{\max}$, $g(\omega) \rightarrow \infty$



Նկ. III.24

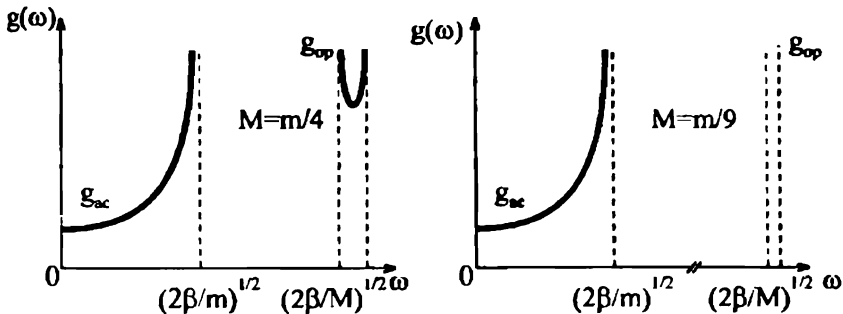
$(\omega_{\max} - \omega)^{-1/2}$ օրենքով, այսինքն՝ միաշափ դեպքում եզակիությունն ավելի խիստ է արտահայտված, քան եռաչափ դեպքում՝ տարամիտում է ոչ միայն ածանցյալը, այլ նաև ֆունկցիան: Սակայն այս եզակիությանը նոյնպես ինաեզրելի է, քանի որ մոդերի լրիվ թիվը, համաձայն նորմավորման (7.2) պայմանի, վերջավոր է (և հավասար $g(\omega)$ կորով սահմանափակված մակերեսին, Յկ. III.23): Վիճակների խորության ֆունկցիայի արագ աճը Բրիյուունի գոնայի սահմանին մոտենալիս ($\omega \rightarrow \omega_{\max}$) արտահայտում է այն փաստը, որ տարբեր մոդերին համապատասխանող վիճակները բաշխվում են ավելի և ավելի խիստ (Յկ. III.24): Վիճակների միևնույն թիվը՝ $(L/2\pi)\Delta q$, բաշխված է $\Delta\omega_1 < \Delta\omega_2 < \Delta\omega_3$ հաճախային տիրույթներում:

Եթե $\omega = \omega(q)$ կախումը լինի ոչ մոնուառն, ապա միաշափ ցանցի վիճակների խտության ֆունկցիան կունենա եզակիություններ նաև Շրիմուենի գոնայի ներքին կետերում:

Միաշափ բարդ ցանցի վիճակների խտության ֆունկցիան բաղկացած է երկու՝ ձայնային և օպտիկական ճյուղերից, որոնք տրվում են (7.37) բառածես ($j=1$ ձայնային ճյուղ, $j=2$ ՝ օպտիկական): Մասնավորապես, երկու տարրեր զանգվածներով և միևնույն ուժային հաստատուններով ցանցի վիճակների խտության ֆունկցիայի ձայնային և օպտիկական ճյուղերը զանգվածների հարաբերության երկու տարրեր արժեքների համար պատկերված են նկ. III.25-ում: Ակնհայտ է, որ գոնայի եզրերին մոտենալիս, երբ $v_g \rightarrow 0$, $g_g(\omega) \rightarrow \infty$, սակայն նրա ինտեգրալը վերջավոր է՝

$$\int_0^{\infty} g(\omega) d\omega = \int_0^{\omega_{ac}(\pi/a)} g_{ac}(\omega) d\omega + \int_{\omega_{op}(\pi/a)}^{\omega_0} g_{op}(\omega) d\omega = N + N = 2N : \quad (7.42)$$

Հարկ է նշել, որ բջջի աստմների զանգվածների հարաբերության մեջ արժեքների համար օպտիկական ճյուղի մոդերի խմբային արագությունը մոտ է զրային, որի հետևանքով օպտիկական ճյուղերը գործնականում չեն մասնակցում ցանցում էներգիայի տեղափոխմանը:



Նկ. III.25

Ինչպես հետևում է ստացված արտահայտություններից, ինչպես նաև III.23 և III.25 նկարներից, միաշափ ցանցի վիճակների խտության ֆունկցիան սպեկտրի սկզբնամասում ($\omega \rightarrow 0$) զրոյից տարրեր վերջավոր մեծություն են, իսկ եզրերի մոտ $g(\omega) \rightarrow \infty$:

ԲՅՈՒՐԵԴԱԿԱՆ ՑԱՆՑԻ ԶԵՐՄԱՅԻՆ ՀԱՏԿՈՒԹՅՈՒՆՆԵՐԸ

§1. Պինդ մարմնի ջերմունակության դասական տեսությունը

Մեծ բվով մասնիկներից բաղկացած մակրոհամակարգի՝ բյուրեղական ցանցի դինամիկայի ուսումնասիրությունը բույլ է տալիս վիճակագրական ֆիզիկայի մեթոդներով և որոշակի մոդելների շրջանակներում հաշվարկել պինդ մարմնի ջերմային հատկությունները բնութագրող մեծությունները:

Տարածական ցանցի ստատիկ մոդելի համաձայն, ցանցի հաճույցներում գտնվում են անշարժ ատոմները (լոնները), որոնց վիճակը եցության պոտենցիալ էներգիան հավասարակշռության վիճակում նվազագույնն է:

Ըստ դասական պատկերացումների, համակարգն այդպիսի վիճակում բնութագրվում է $T = 0\text{K}$ ջերմասահմանով: Բացարձակ զրոյից տարրեր ջերմասահմաններում աստոմները կատարում են անկանոն, քառային շարժումներ հավասարակշռության դիրքերի շորջը: Տատանվող ատոմների համակարգի մեխանիկական էներգիան աստոմների շարժնան կիմետրկական և նրանց վիխագդեցության պոտենցիալ էներգիաների գումարն է, որի միջին արժեքը ջերմային հավասարակշռության վիճակում իրենից ներկայացնում է համակարգի ներքին էներգիան:

Ստանանք բյուրեղական ցանցի ներքին էներգիայի արտահայտությունը դասական տեսության շրջանակներում:

Դասական համակարգի յուրաքանչյուր միկրոսկոպական վիճակ միարժեքորեն որոշվում է համակարգը կազմող բոլոր մասնիկների (r_1, r_2, \dots, r_N) $\equiv r$ կոօրդինատներով և $(p_1, p_2, \dots, p_N) \equiv p$ իմպուլսներով, N -ը մասնիկների թիվն է: Որևէ $A(r_1, r_2, \dots, r_N; p_1, p_2, \dots, p_N) \equiv A(r, p)$ դինամիկական մեծության միջին արժեքը ջերմային հավասարակշռության վիճակում, համաձայն վիճակագրական ֆիզիկայի, որոշվում է

$$\overline{A} = \int A(\mathbf{r}, \mathbf{p}) f(\mathbf{r}, \mathbf{p}) d\Gamma \quad (1.1)$$

արտահայտությամբ, որտեղ $f(r_1, r_2, \dots, r_N; p_1, p_2, \dots, p_N) \equiv f(\mathbf{r}, \mathbf{p})$ ֆունկցիան համակարգի բաշխման ֆունկցիան է,

$$d\Gamma = dr_1 dr_2 \cdots dr_N dp_1 dp_2 \cdots dp_N = \prod_{i=1}^N dr_i dp_i, \quad (1.2)$$

արտադրյալ՝ ֆազային ծավալի տարրը $6N$ -չափանի ֆազային տարածության մեջ, որտեղ համակարգի վիճակը պատկերվում է մեկ կետով, որի կոորդինատներն են $r_{1x}, r_{1y}, r_{1z}, r_{2x}, r_{2y}, r_{2z}, \dots, r_{Nx}, r_{Ny}, r_{Nz}, p_{1x}, p_{1y}, p_{1z}, p_{2x}, p_{2y}, p_{2z}, \dots, p_{Nx}, p_{Ny}, p_{Nz}$ $6N$ անկախ փոփոխականները: $f(\mathbf{r}, \mathbf{p}) d\Gamma$ արտահայտությունը հավանականությունն է այն բանի, որ համակարգի վիճակը պատկերող կետն ընկած է (\mathbf{r}, \mathbf{p}) կետն ընդգրկող $d\Gamma$ ֆազային ծավալում:

Բաշխման ֆունկցիան բավարարում է նորմավորման պայմանին՝

$$\int f(\mathbf{r}, \mathbf{p}) d\Gamma = 1, \quad (1.3)$$

որտեղ ինտեգրումն ըստ ինպարաների այլոյելցիաների կատարվում է $(-\infty, \infty)$ ախտույթում, իսկ ըստ կօրդինատների՝ համակարգի V ծավալում:

Դասական վիճակագրական ֆիզիկայում բաշխման ֆունկցիան տրվում է բոլցմանյան բաշխման տեսքով՝

$$f(\mathbf{r}, \mathbf{p}) = Z^{-1} \exp\left[-\frac{E(\mathbf{r}, \mathbf{p})}{k_B T}\right], \quad (1.4)$$

որտեղ $E(\mathbf{r}, \mathbf{p}) \equiv E(r_1, r_2, \dots, r_N; p_1, p_2, \dots, p_N)$ -ն համակարգի լրիվ մեխանիկական էներգիան է (\mathbf{r}, \mathbf{p}) վիճակում, T -ն՝ բացարձակ ջերմաստիճանը, $k_B = 1,38 \cdot 10^{-16}$ էրգ/աստ.՝ Բոլցմանի հաստատունը, իսկ Z -ը՝ համակարգի վիճակագրական ինտեգրալը՝

$$Z(T, V, N) = \int \exp\left[-\frac{E(\mathbf{r}, \mathbf{p})}{k_B T}\right] d\Gamma, \quad (1.5)$$

որը որոշվում է (1.3) նորմավորման պայմանից: (1.1), (1.4) և (1.5) բանաձևերի օգնությամբ ցանցի ներքին էներգիայի համար ստացվում է հետևյալ արտահայտությունը՝

$$U = \int E(\mathbf{r}, \mathbf{p}) f(\mathbf{r}, \mathbf{p}) d\Gamma = \frac{1}{Z} \int E(\mathbf{r}, \mathbf{p}) \exp \left[-\frac{E(\mathbf{r}, \mathbf{p})}{k_B T} \right] d\Gamma =$$

$$= -\frac{1}{Z} \frac{d}{d\beta} \int \exp[-\beta E(\mathbf{r}, \mathbf{p})] d\Gamma = -\frac{1}{Z} \frac{dZ}{d\beta} = -\frac{d}{d\beta} \ln Z,$$
(1.6)

որտեղ

$$\beta = \frac{1}{k_B T} :$$
(1.7)

Համաձայն (1.6) առնչության, ներքին էներգիայի հաշվարկը բերվում է վիճակագրական ինտեգրալի՝ β -ից ունեցած կախման բացահայտմանը:

Ցանցի ներքին էներգիան որպես (T, V, N) պարամետրերի ֆունկցիա որոշելու համար անհրաժեշտ է (1.6) բանաձևում տեղադրել ցանցի լրիվ մեխանիկական էներգիայի արտահայտությունը: Ներդաշնակ մոտավորության շրջանակներում այն կարելի է ներկայացնել

$$E(\mathbf{p}, \mathbf{u}) = \sum_{i=1}^{3N} \sum_{k=1}^s \frac{p_{ik}^2}{2M_k} + \Phi_0 + \Phi(\mathbf{u}) \equiv \Phi_0 + \varepsilon(\mathbf{p}, \mathbf{u})$$
(1.8)

գումարի աեսքով, որտեղ Φ_0 -ն հավասարակշռության դիրքերում գտնվող աստվածերի փոխազդեցության էներգիան է, $\Phi(\mathbf{u})$ -ն՝ տատանումներով պայմանավորված պոտենցիալ էներգիան (անս III.5.3 բանաձևը), M_k -ն k տեսակի մասնիկի զանգվածը: Համաձայն (1.8) արտահայտության, $\varepsilon(\mathbf{p}, \mathbf{u})$ էներգիան մասնիկների իմպուլսների և կորդինատների բառակուսային ֆունկցիա է, ուստի Z վիճակագրական ինտեգրալը կարվի Պուասոնի ինտեգրալների արտադրյալի տեսքով (Հավելված 2):

Սակայն վիճակագրական ինտեգրալի՝ մեզ հետաքրքրող ջերմաստիճանային կախումը կարելի է ստանալ ավելի ոյուրին եղանակով:

Պարզ ցանցի դեպքում $\varepsilon(\mathbf{p}, \mathbf{u})$ ֆունկցիան կախված է $3N$ իմպուլսներից և $3N$ շեղումներից, ուստի եթե (1.6) ինտեգրալում անցնենք ինտեգրման նոր փոփոխականների՝

$$p'_i = \sqrt{\beta} p_i, \quad u'_i = \sqrt{\beta} u_i \quad (i = 1, 2, \dots, 3N),$$

ապա

$$d\Gamma = du_{1x}du_{1y}du_{1z}\dots dp_{Nx}dp_{Ny}dp_{Nz} = \beta^{-3N} d\Gamma',$$

$$\varepsilon(p, u) = \beta^{-1} \varepsilon(p', u'),$$
(1.10)

և վիճակագրական խնայողական համար կստանանք

$$Z = C \exp(-\beta U_0) \beta^{-3N}$$
(1.11)

արտահայտությունը, որտեղ C մեծությունը կախված չէ β պարամետրից:

(1.6), (1.7) և (1.11) բանաձևերից ցանցի ներքին էներգիայի համար ստացվում է

$$U = U_0 + 3Nk_B T$$
(1.12)

արտահայտությունը, որի համաձայն հավասարակշռության դիրքի շուրջ տատանվող յուրաքանչյուր ատոմի բաժին է ընկնում $3k_B T$ էներգիա, կամ տատանողական յուրաքանչյուր ազատության աստիճանին՝ $k_B T$ էներգիա: Այս արդյունքը հետևանք է ներդաշնակ մուտավորության այն հատկության, որի համաձայն N փոխազդող մասնիկների համակարգին կարելի է համապատասխանության մեջ դնել անկախ, իրար հետ չփոխազդող ներդաշնակ միաշափ տատանակների համախումբ (տես III.2, III.5), որոնց թիվը հավասար է համակարգի ազատության աստիճանների թվին (տվյալ դեպքում՝ $3N$ -ի):

Եթե տարրական բջիջը պարունակում է s ատոմ, ապա ցանցի ազատության աստիճանների թիվը կլինի $3sN$, հետևաբար, նրա ներքին էներգիայի համար կստացվի

$$U = U_0 + 3sNk_B T$$
(1.13)

արտահայտությունը: $T = 0\text{K}$ ջերմասահճանում (1.12) և (1.13) բանաձևերից ստացվում է ստատիկ ցանցի մուտավորության արդյունքը՝ $U = U_0$: Որպես կանոն, մեկ մասնիկին բաժին ընկնող հավասարակշռական էներգիան՝ $U_0/N = u_0 \sim 1\text{eV}$ կարգի մեծություն է, իսկ ջերմային էներգիան՝

$$\varepsilon_1 = \frac{1}{N}(U - U_0) = 3k_B T.$$
(1.14)

զգայի վտքը է 1էՎ-ից ($T = 300\text{K}$ -ում $k_B T = 0,025875\text{eV}$), հետևաբար, (1.12), (1.13) բանաձևերում II գումարելին վտքը սոլորս է U_0 -ի համեմատությամբ, և որի անմիջական չափումը կապված է զգայի դժվարություն-

Ների հետ: Փորձնականորեն շատ ավելի հարմար է չափել համակարգի ջերմունակությունը՝

$$C_V = \left(\frac{\partial U}{\partial T} \right)_V = 3sNk_B : \quad (1.15)$$

Համաձայն (1.15) բանաձևի, պինդ մարմնի ջերմունակությունը հաստատում մեծություն է, և պարզ ցանց ($s = 1$) ունեցող նյութի մեկ մոլի համար ($N = N_A = 6,02 \cdot 10^{23}$ մոլ⁻¹) այն հավասար է՝

$$C_V^H = 3N_A k_B = 3R , \quad (1.16)$$

որտեղ R -ը գազային հաստատումն է

$$R = k_B N_A = 8,314 \cdot 10^7 \text{ էրգ/մոլ·աստ} = 8,314 \text{ } \Omega/\text{մոլ·աստ} \approx$$

$$\approx 1,98 \text{ կալ/մոլ·աստ} : \quad (1.17)$$

(1.16) արտահայտությունը Դյուլոնդի և Պախի օրենքը է, որի համաձայն պինդ մարմնի ջերմունակությունը հաստատում մեծություն է և կախված չէ պինդ մարմնի սեսակից: Հարկ է շեշտել, որ կատարված հաշվարկները վերաբերում են միայն ցանցային ջերմունակությանը, այլ կերպ ասած, մեկուսիչ բյորեղական մարմիններին, որոնցում բացակայում է ազատ էլեկտրոնային զազը: Սակայն Դյուլոնդի և Պախի փորձերում, որոնք կատարվել են սեսակային ջերմասահճաններում, (1.16) արդյունքը ստացվել է և մեկուսիչների, և մետաղների համար:

Ինչպես ցույց տվեցին հետազա փորձերը, ջերմասահճանի նվազման հետ պինդ մարմնի ջերմունակությունը նվազում է և ծգտում զրոյի, եթե $T \rightarrow 0K$: Այսպիսով, դասական տեսությունն ի վիճակի չէ բացատրել պինդ մարմնի ջերմունակության ջերմասահճանային կախումը: Ավելացնենք նաև, որ բարձր ջերմաստիճաններում էլ ջերմունակությունը թույլ ծևակ կախված է ջերմաստիճանից և որոշ, չնայած և փոքր, չափով տարբերվում է $3R$ դասական արժեքից: Սակայն եթե վերջին փաստը պայմանավորված է ներդաշնակ ցանցի մոդելի ընարությամբ, ապա ցածր ջերմաստիճաններում փորձի և տեսության հակասությունը հետևանք է դասական տեսության սահմանափակության:

Ինչպես եայտնի է, դասական նկարագրությունը համապատասխանամ է իրականությանն այնպիսի պայմաններում, եթե քվանտային երևույթներն էական դեր չեն խաղում: Եթե համակարգը կազմող մասնիկների միջև

միջին հեռավորությունը \bar{r} է, ապա դասական նկարագրության կիրառելության չափանիշը կարելի է ներկայացնել հետևյալ տեսքով՝

$$\bar{r} >> \bar{\lambda}_B , \quad (1.18)$$

որտեղ $\bar{\lambda}_B$ մեծությունը մասնիկին վերագրվող դրբաքային ալիքի երկարության միջինն է, որը ստացվում է Դը Բրոյլի ալիքի $\lambda = h p^{-1}$ արտահայտությունն ըստ իմպուլսների բաշխման միջինացումից՝

$$\bar{\lambda}_B = h \overline{p^{-1}} = \frac{h \int_0^{\infty} \frac{1}{p} 4\pi p^2 \exp\left(-\frac{p^2}{2Mk_B T}\right) dp}{\int_0^{\infty} 4\pi p^2 \exp\left(-\frac{p^2}{2Mk_B T}\right) dp} = \frac{2h}{(2\pi M k_B T)^{1/2}} , \quad (1.19)$$

որտեղ M -ը ասոմի զանգվածն է, $h = 6,6262 \cdot 10^{-34}$ էրգ.վ.Ը՝ Պլանկի հաստատումը: Ջանի որ $\bar{r} \approx (V/N)^{1/3}$, ապա (1.18) և (1.19) առնչություններից կստանանք՝

$$\frac{N}{V} \left(\frac{h^2}{M k_B T} \right)^{3/2} \ll 1 , \quad (1.20)$$

համաձայն որի դասական նկարագրությունը համապատասխանում է իրականությանը փոքր խտությունների և բարձր ջերմաստիճանների այրությունը:

Թվային զնահատումներ կատարելու համար հարմար է (1.20) չափանիշում անցնել նյութը բնութագրող պարամետրերի: Նկատի ունենալով, որ

$$\frac{N}{V} = \frac{\rho}{\mu} N_A , \quad M = \frac{\mu}{N_A} ,$$

որտեղ ρ -ն մարմնի խտությունն է, μ -ն՝ մոլային զանգվածը, և սեղադրելով հաստատումների թվային արժեքները, կստանանք՝

$$5 \cdot 10^4 \frac{\rho}{\mu^{5/2} T^{3/2}} \ll 1 : \quad (1.21)$$

Տարրերի մեծամասնության համար $T \approx 100$ K-ում (1.21) անհավասարության ձախ մասը $10^{-3} \div 10^{-2}$ կարգի մեծություն է, այսինքն՝ սենյակային ջերմաստիճաններում քվանտային երևույթներն էական դեր չեն խաղում:

Սակայն որոշ տարրերի համար (**Ե**, **Բ**, **Ը**) այն ընդունում է 0,1 և ավելի մեծ արժեքներ: Հետևաբար, այդ նյութերի ջերմային հատկությունների, մասնավորապես՝ ջերմունակության, հաշվարկը դասական վիճակագրության մերուներով կարող է համապատասխանել իրականությանը սենյակայինց զգալի բարձր ջերմաստիճաններում, և քվանտային օրինաչափությունները կարող են ի հայտ գալ անգամ սենյակային ջերմաստիճաններում:

Այսպիսով, ջերմունակության, ինչպես նաև այլ թերմոդինամիկական մեծությունների ջերմաստիճանային կախումները ջերմաստիճանային ամրող տիրույթում հնարավոր է ստանալ միայն քվանտային տեսության շրջանակներում:

§2. Պինդ մարմնի ջերմունակության քվանտային տեսությունը

Համակարգի յուրաքանչյուր միկրովիճակ քվանտային մեխանիկայում միարժեքորեն տրվում է քվանտային թվերի լիիվ հավաքածուով: Ինչպես և դասական նկարագրության դեպքում, համակարգի որևէ մակրոսկոպական բնութագիր եաշվելու համար անհրաժեշտ է կատարել միջինացում ըստ համակարգի բոլոր հնարավոր միկրոսկոպական (քվանտային) վիճակների: Որևէ մեծության միջին արժեքը ջերմային հավասարակշռության վիճակում որոշվում է

$$\bar{A} = \sum_{\alpha} A_{\alpha} \cdot w_{\alpha} \quad (2.1)$$

արտահայտությամբ, որտեղ $\alpha \equiv (n_1, n_2, \dots, n_i, \dots)$ համակարգի տվյալ քվանտային վիճակը որոշող քվանտային թվերի լիիվ հավաքածուն է, $A_{\alpha} \equiv A_{(n_1, n_2, \dots, n_i, \dots)}$ -ն՝ \hat{A} օպերատորի միջին արժեքը α քվանտային վիճակում, իսկ $w_{\alpha} \equiv w_{(n_1, n_2, \dots, n_i, \dots)}$ -ն՝ այդ վիճակում գտնվելու հավանականությունը:

Համակարգի՝ որևէ քվանտային վիճակում գանվելու հավանականությունը հաստատ պատահար է, ուստի w_{α} հավանականությունը բավարարում է նորմավորման պայմանին՝

$$\sum_{\alpha} w_{\alpha} \equiv \sum_{(n_1, n_2, \dots, n_i, \dots)} w_{(n_1, n_2, \dots, n_i, \dots)} = 1 : \quad (2.2)$$

w_α հավանականությունը տրվում է բոլցմանյան բաշխման բանաձևով՝

$$w_\alpha = Z^{-1} \exp\left(-\frac{E_\alpha}{k_B T}\right), \quad (2.3)$$

որտեղ E_α -ն համակարգի էներգիան է, α քվանտային վիճակում, իսկ Z որդակիցը որոշվում է նորմավորման (2.2) պայմանից՝

$$Z(T, V, N) = \sum_\alpha \exp\left(-\frac{E_\alpha}{k_B T}\right) \equiv \sum_\alpha \exp(-\beta E_\alpha) \quad (2.4)$$

և կոչվում է համակարգի վիճակագրական գումար:

Համակարգի ներքին էներգիան, ինչպես և դասական վիճակագրության մեջ, արտահայտվում է վիճակագրական (2.4) գումարի միջոցով (1.6) բանաձևով, ուստի խնդիրը բերվում է վիճակագրական գումարի հաշվմանը: Դրա համար, (2.4) բանաձևի համաձայն, անհրաժեշտ է տալ համակարգի էներգիական սպեկտրը՝ E_α մեծությունների բազմությունը:

Ինչպես հայստի է, համակարգի էներգիայի սեփական արժեքները որոշվում են Ծրեյհնզերի հավասարումից: Ընդհանուր դեպքում էներգիական սպեկտրի գումարը կապված է զգայի մաքենաաիկական դժվարությունների հետ, սակայն ցանցի ներդաշնակ մոտավորության շրջանակներում, եթե N փոխազդող ատոմների խնդիրը բնրվում է $3N$ չփոխազդող, միաշափ տատանակների խնդրին, որոնցից յուրաքանչյուրն ունի տատանման իր սեփական հաճախությունը, խնդրի լուծումն էապես հեշտանում է:

Քվանտային մեխանիկայում ներդաշնակ միաշափ տատանակի էներգիական սպեկտրը տրվում է

$$\epsilon_n = \hbar\omega\left(n + \frac{1}{2}\right) \quad (2.5)$$

բանաձևով, որտեղ ω -ն տատանակի սեփական հաճախությունն է, իսկ նրա վիճակը որոշվում է մեկ քվանտային բվով՝ n -ով, որն ընդունում է ամրող դրական արժեքներ՝ $n = 0, 1, 2, \dots$: (2.5) սպեկտրում առկա $\hbar\omega/2$ գումարելին գրոյական տատանումների էներգիան է, որի գոյությունը հետևանք է անորոշությունների առնչության և որը համապատասխանում է տատանակի իմնական՝ $n = 0$ վիճակին:

$n_1, n_2, \dots, n_i, \dots, n_{3N}$ քվանտային վիճակներում զանվոր տատանակ-ների համախմբի էներգիան իրենից ներկայացնում է (2.5) արտահայտությունների գումար, եետևաբար՝ ցանցի էներգիան $\alpha \equiv (n_1, n_2, \dots, n_i, \dots, n_{3N})$ միկրոսկոպական վիճակում:

$$E_{(n_1, n_2, \dots, n_i, \dots, n_{3N})} = U_0 + \sum_{i=1}^{3N} \hbar \omega_i \left(n_i + \frac{1}{2} \right); \quad (2.6)$$

Ցանցի հիմնական վիճակի էներգիան՝

$$E_{(0, 0, \dots, 0, \dots, 0)} \equiv E_0 = U_0 + \frac{1}{2} \sum_{i=1}^{3N} \hbar \omega_i : \quad (2.7)$$

Տեղադրենք էներգիայի (2.6) բանաձևը վիճակագրական գումարի (2.4) արտահայտության մեջ և կատարենք գումարում ըստ համակարգի բոլոր հնարավոր քվանտային վիճակների, այսինքն՝ $n_1, n_2, \dots, n_i, \dots, n_{3N}$ քվերին տանք բոլոր հնարավոր արժեքները՝

$$\begin{aligned} Z &= \sum_{(n_1, n_2, \dots)} \exp \left\{ -\beta \left[U_0 + \sum_{i=1}^{3N} \hbar \omega_i \left(n_i + \frac{1}{2} \right) \right] \right\} = \\ &= \exp \left[-\beta \left(U_0 + \frac{1}{2} \sum_{i=1}^{3N} \hbar \omega_i \right) \right] \sum_{n_1=0}^{\infty} \sum_{n_2=0}^{\infty} \dots \sum_{n_{3N}=0}^{\infty} \exp \left(-\beta \sum_{i=1}^{3N} \hbar \omega_i n_i \right) = \\ &= \exp \left[-\beta \left(U_0 + \frac{1}{2} \sum_{i=1}^{3N} \hbar \omega_i \right) \right] \sum_{n_1=0}^{\infty} \exp(-\hbar \beta \omega_1 n_1) \sum_{n_2=0}^{\infty} \exp(-\hbar \beta \omega_2 n_2) \dots \\ &\dots \sum_{n_{3N}=0}^{\infty} \exp(-\hbar \beta \omega_{3N} n_{3N}) \equiv \exp(-\beta E_0) \prod_{i=1}^{3N} \sum_{n=0}^{\infty} \exp(-\hbar \beta \omega_i n) \end{aligned} \quad (2.8)$$

Ստացված արտահայտության վերաբերյալ անհրաժեշտ է կատարել հետևյալ պարզաբանումը: Ծշգրիտ մոտեցման դեպքում գումարումներն ըստ n_i -ի ($i = 1, 2, \dots, 3N$) պետք է կատարել միայն փոքր n_i -երի համար, քանի որ մեծ n_i -երի դեպքում էական է դառնում աններդաշնակության դերը: Սակայն արված մոտավորությունը լրիվ հիմնավորված է, որովհենու մեծ քվանտային քվերով վիճակների ներդրումը գումարներում էքսպոնենցիալ կարգի փոքր է:

(2.8) արտահայտության մեջ արտադրյալի նշանի տակ գրված արտադրիչներից յուրաքանչյուրը նվազող երկրաչափական պրոզրեսիայի գումար է՝

$$\sum_{n=0}^{\infty} e^{-\hbar\beta\omega_i n} = 1 + e^{-\hbar\beta\omega_i} + e^{-2\hbar\beta\omega_i} + \dots = \frac{1}{1 - e^{-\hbar\beta\omega_i}}, \quad (2.9)$$

ուստի

$$Z = \exp \left[-\beta \left(U_0 + \frac{1}{2} \sum_{i=1}^{3N} \hbar\omega_i \right) \right] \prod_{i=1}^{3N} \left(1 - e^{-\hbar\beta\omega_i} \right)^{-1}; \quad (2.10)$$

Տեղադրելով (2.10) արտահայտությունը (1.6) բանաձևում, կստանանք ցանցի ներքին էներգիայի արտահայտությունը ներդաշնակ մոտավորությամբ՝

$$U = U_0 + \sum_{i=1}^{3N} \left(\frac{1}{2} \hbar\omega_i + \frac{\hbar\omega_i}{e^{\hbar\omega_i/k_B T} - 1} \right) \equiv U_0 + \sum_{i=1}^{3N} \epsilon(\omega_i, T), \quad (2.11)$$

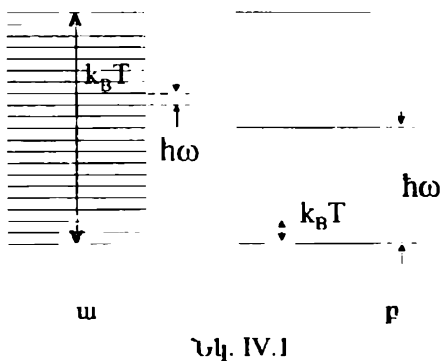
որտեղ

$$\epsilon(\omega, T) = \frac{\hbar\omega}{2} + \frac{\hbar\omega}{e^{\hbar\omega/k_B T} - 1} = \frac{\hbar\omega}{2} + \epsilon_{th} = \frac{\hbar\omega}{2} \coth \frac{\hbar\omega}{2k_B T} \quad (2.12)$$

արտահայտությունը ω հաճախությամբ տատանակի միջին էներգիան է, ϵ_{th} -ը՝ ջերմային էներգիան: (2.12) բանաձևը տեղի ունի ջերմաստիճանների ամբողջ տիրույթում և իրենից ներկայացնում է. Պլանկի էլեկտրամագնիսական տասաանակի միջին (ջերմային) էներգիայի արտահայտության նմանակը ցանցային տատանումների դեպքում: Ցանցի մեխանիկական տատանումների բվանտացման գաղափարը պատկանում է Ա.Եյշշտեյնին:

Ուսումնասիրենք (2.12) բանաձևը:

Եթե ատասանակի բնութագրական $\hbar\omega$ էներգիան (տատանակի երկու հարկեան մակարդակների միջև հեռավորությունը) շատ փոքր է, արտաքին ջերմային



Նկ. IV.1

զրգուման $k_B T$ բնութագրական էներգիայից՝ $\hbar\omega << k_B T$ (բարձր ջերմաստիճաններ), ապա (2.12) բանաձևում էքսպոնենտը վերածելով շարքի և սահմանափակվելով $(\hbar\omega/k_B T)^2$ կարգի անդամների ճշտությամբ, կստանանք՝

$$\varepsilon(\omega, T) \approx k_B T, \quad (2.13)$$

որը դասական միաչափ տատանակի ջերմային էներգիան է։ Ստացված արդյունքը ֆիզիկորեն հասկանալի է. եթե գրգուման էներգիան զգալիորեն գերազանցում է էներգիական սպեկտրի քվանտացման բնութագրական չափը, քվանտացումը ոչ մի եեր չի խաղում (նկ. IV.1, ա):

Հակառակ սահմանային դեպքում, եթե $\hbar\omega >> k_B T$ (ցածր ջերմաստիճաններ), (2.12) բանաձևից ստացվում է հետևյալ մոտավորությունը՝

$$\varepsilon(\omega, T) \approx \frac{\hbar\omega}{2} + \hbar\omega \exp\left(-\frac{\hbar\omega}{k_B T}\right), \quad (2.14)$$

որի համաձայն հիմնական դերը խաղում է էներգիական սպեկտրի քվանտացումը։ Տատանակը «դժվար» է գրգռել, բանի որ գրգուման «քվանտի» $k_B T$ էներգիան զգալիորեն փոքր է քվանտացման չափից, ուստի տատանակը գործնականում մնում է հիմնական վիճակում (նկ. IV.1, բ):

(2.12) արտահայտությունից հետևում է այն կարևոր եզրակացությունը, որ ջերմաստիճանի նվազմանը զուգընթաց մեծանում է փոքր հաճախություններով տատանակների ներդրումը ջերմային էներգիայի մեջ։

Եռաչափ ցանցում յուրաքանչյուր տատանակի սեփական հաճախությունը բնութագրվում է q ալիքային վելւորով և j ցուցիչով, այսինքն՝ $i = (q, j)$ ։ Ալիքային թիվը բրիլյուենի գոնայում ընդունում է N հատ արժեք, իսկ $1 \leq j \leq 3$, եթե ցանցը պարզ է, և $1 \leq j \leq 3s$, եթե ցանցը բարդ է։

Ներքին էներգիայի (2.11) արտահայտությունն արտագրենք

$$U = E_0 + \sum_q \sum_{j=1}^{3s} \frac{\hbar\omega_j(q)}{e^{\hbar\omega_j(q)/k_B T} - 1} \quad (2.15)$$

տեսքով, որտեղ E_0 գումարելին կախված չէ ջերմաստիճանից և տրվում է (2.7) բանաձևով (որտեղ $\omega_i \rightarrow \omega_j(q)$)։ Զերմունակության համար (2.15) արտահայտությունից կստանանք՝

$$C_V = \left(\frac{\partial U}{\partial T} \right)_V = k_B \sum_{\mathbf{q}} \sum_{j=1}^{3s} \left(\frac{\hbar \omega_j(\mathbf{q})}{k_B T} \right)^2 \cdot \frac{e^{\hbar \omega_j(\mathbf{q})/k_B T}}{\left[e^{\hbar \omega_j(\mathbf{q})/k_B T} - 1 \right]^2}, \quad (2.16)$$

որը պիմունք մարմնի ջերմունակության քվանտային տեսության հիմնական բանաձևն է:

Զևսփոխսենք ներքին էներգիայի և ջերմունակության (2.15) և (2.16) արտահայտությունները, նկատի ունենալով, որ մակրոսկոպական նմուշի համար \mathbf{q} ալիքային վեկտորի արժեքները Բրիլյունի գոնայում բաշխված են $V/(2\pi)^3$ խտությամբ, և թերմոդինամիկական սահմանում ($V \rightarrow \infty$, $N \rightarrow \infty$, $N/V < \infty$) կարելի է համարել, որ \mathbf{q} , հետևաբար և $\omega_j(\mathbf{q})$ մեծություններն ընդունում են անընդհատ արժեքներ: Կատարելով անցում գումարից ինտեգրալի՝ համաձայն (տես III.5)

$$\sum_{\mathbf{q}} (\dots) = \frac{V}{(2\pi)^3} \int (\dots) dq \quad (2.17)$$

առնչության, որտեղ ինտեգրման տիրույթը Բրիլյունի գոնայի կամ հակադարձ ցանցի տարրական բջջի ծավալն է, (2.15) և (2.16) բանաձևերից կստանանք՝

$$U = E_0 + \frac{V}{(2\pi)^3} \sum_{j=1}^{3s} \int \frac{\hbar \omega_j(\mathbf{q})}{e^{\hbar \omega_j(\mathbf{q})/k_B T} - 1} dq, \quad (2.18)$$

$$C_V = \frac{k_B V}{(2\pi)^3} \sum_{j=1}^{3s} \int \left(\frac{\hbar \omega_j(\mathbf{q})}{k_B T} \right)^2 \cdot \frac{e^{\hbar \omega_j(\mathbf{q})/k_B T}}{\left[e^{\hbar \omega_j(\mathbf{q})/k_B T} - 1 \right]^2} dq : \quad (2.19)$$

Այս արտահայտություններն առավել հավաք տեսքով կարելի է ներկայացնել վիճակների խտության ֆունկցիայի միջոցով (III.7)

$$g(\omega) = \sum_{j=1}^{3s} g_j(\omega). \quad (2.20)$$

Որտեղ

$$g_j(\omega) = \frac{V}{(2\pi)^3} \int dq \delta[\omega - \omega_j(q)] \quad (2.21)$$

Վիճակների խոռոքյան ֆունկցիան է՝ j ճյուղի համար:

(2.18)-(2.22) բանաձևերի համաձայն

$$U = E_0 + \int \frac{\hbar\omega}{e^{\hbar\omega/k_B T} - 1} g(\omega) d\omega , \quad (2.22)$$

$$C_V = k_B \int \left(\frac{\hbar\omega}{k_B T} \right)^2 \frac{e^{\hbar\omega/k_B T}}{(e^{\hbar\omega/k_B T} - 1)^2} g(\omega) d\omega : \quad (2.23)$$

Այսպիսով, ներքին էներգիայի, ջերմունակության, ինչպես նաև այլ թերմոլինամիկական բնութագրերի հաշվարկի համար անհրաժեշտ է զիտենալ վիճակների խոռոքյան ֆունկցիան: Այնուամենայնիվ, կարելի է որոշ հետևողություններ անել (2.22) և (2.23) բանաձևերից, առանց կոնկրետացնելու $g(\omega)$ ֆունկցիայի տեսքը:

Ինչպես զիտենք, ընդհատ միջավայրերում ալիքների տարածման առանձնահատկություններից մեկն էլ այն է, որ գոյություն ունի առավելագույն՝ ω_{\max} հաճախություն, այսինքն՝ $\omega > \omega_{\max}$ հաճախությամբ ալիքները տվյալ միջավայրում չեն կարող տարածվել (տես III.4): Այստեղից բխում է, որ կարելի է ջերմաստիճանն ընտրել այնքան բարձր, որ տեղի ունենա $\hbar\omega \leq \hbar\omega_{\max} \ll k_B T$ անհավասարությունը, որի օգնությամբ կարող ենք ստանալ ջերմունակության բարձրջերմաստիճանային սահմանը: Հարմար է (2.23) արտահայտությունը ներկայացնել:

$$C_V = k_B \int g(\omega) E\left(\frac{\hbar\omega}{k_B T}\right) d\omega \quad (2.24)$$

տեսքով, որտեղ

$$E(x) = \frac{x^2 e^x}{(e^x - 1)^2} = x^2 e^{-x} \left(1 - e^{-x}\right)^{-2} \quad (2.25)$$

և կոչվում է Էյնշտեյնի ֆունկցիա: Բարձրջերմաստիճանային սահմանում $x \ll 1$ և $E(x)$ ֆունկցիան տրվում է

$$E(x) \approx 1 - \frac{x^2}{12} + \frac{x^4}{240} + \dots \quad (2.26)$$

շարքի տեսքով, ուստի ջերմունակության համար կստանանք՝

$$C_V \approx k_B \int g(\omega) \left[1 - \frac{1}{12} \left(\frac{\hbar\omega}{k_B T} \right)^2 + \frac{1}{240} \left(\frac{\hbar\omega}{k_B T} \right)^4 + \dots \right] d\omega : \quad (2.27)$$

Նկասի ունենալով, որ համակարգում տատանումների (մոդերի) լրիվ թիվը՝
 $\int g(\omega) d\omega = 3Ns$, (2.28)

ջերմունակության համար (2.27) արտահայտությունից կստանանք՝

$$C_V \approx 3Ns k_B - \frac{k_B}{12} \left(\frac{\hbar}{k_B T} \right)^2 \int g(\omega) \omega^2 d\omega + \frac{k_B}{240} \left(\frac{\hbar}{k_B T} \right)^4 \int g(\omega) \omega^4 d\omega + \dots : \quad (2.29)$$

Առաջին գումարելին ջերմունակության դասական արտահայտությունն է, որից շեղումները պայմանավորված են քվանտային երևույթներով ($\hbar \rightarrow 0$ դեպքում այդ ուղղումները դառնում են եսկասար զրոյի): Զերմունակության դասական արժեքի ուղղումներն անմիջականորեն արտահայտվում են բյուրեղի ուժային հաստատունների միջոցով:

§3. Պինդ մարմնի ջերմունակության Էյնշտեյնի անսուբյունը

Պինդ մարմնի ջերմունակության քվանտային տեսությունը պինդ մարմնի (ցանցի) որոշակի մոդելի շրջանակներում տրվել է Ա.Էյնշտեյնի կողմից 1907թ.: Համաձայն այդ մոդելի, պինդ մարմինը ներկայացվում է որպես նույն հաճախությամբ, ներդաշնակ, չփոխազդող տատանակների համախումբ: (2.15) և (2.16) բանաձևերում վերցնելով բոլոր հաճախություններն իրար եավասար՝ $\omega(q) = \omega_E$, կստանանք՝

$$U = U_0 + 3Ns \hbar \omega_E \left(\exp \frac{\hbar \omega_E}{k_B T} - 1 \right)^{-1}, \quad (3.1)$$

$$C_V = 3Ns k_B \left(\frac{\hbar \omega_E}{k_B T} \right)^2 \exp \left(\frac{\hbar \omega_E}{k_B T} \right) \cdot \left(\exp \left(\frac{\hbar \omega_E}{k_B T} \right) - 1 \right)^{-2} \equiv 3Ns k_B E \left(\frac{\hbar \omega_E}{k_B T} \right) : \quad (3.2)$$

Սահմանենք Էյնշտեյնի բնութագրական ջերմաստիճանը՝

$$\theta_E = \frac{\hbar\omega_E}{k_B} . \quad (3.3)$$

և այնուհետ մարմնի ջերմունակության (3.2) արտահայտությունը ներկայացնենք հետևյալ վերջնական տեսքով՝

$$C_V = 3Nsk_B \left(\frac{\theta_E}{T} \right)^2 \cdot \frac{\exp(\theta_E/T)}{\left(\exp(\theta_E/T) - 1 \right)^2} \equiv 3Nsk_B E \left(\frac{\theta_E}{T} \right) : \quad (3.4)$$

Այս բանաձևն արտահայտում է ջերմունակության էնշատեյնյան տեսության հիմնական արդյունքը՝ ջերմունակությունը արվում է որպես ջերմաստիճանի ֆունկցիա ջերմաստիճանների ամբողջ սիրություն: θ_E բնութագրական ջերմաստիճանն օգտագործվում է որպես պարամետր՝ փորձի հետ (3.4) բանաձևն առավելագույնս համաձայնեցնելու համար: Այս ձևով ալմաստի համար էյնշտեյնը ստացել է $\theta_E = 1320K$ արժեքը: Պինդ մարմինների մեծ մասի համար θ_E ջերմաստիճանն ընկած է $100 \div 300K$ տիրություն:

Քննարկենք ջերմունակության վարքը տարբեր ջերմաստիճանային տիրույթներում:

Բարձր ջերմաստիճաններ՝ $T \gg \theta_E$: Նկատի ունենալով Էյնշտեյնի ֆունկցիայի (2.26) վերլուծությունը, ջերմունակության համար կստանանք

$$C_V \approx 3Nsk_B \left[1 - \frac{1}{12} \left(\frac{\theta_E}{T} \right)^2 + \dots \right] \approx 3Nsk_B \quad (3.5)$$

դասական արտահայտությունը:

Յածր ջերմաստիճաններ՝ $T \ll \theta_E$: Նկատի ունենալով $\exp(\theta_E/T) \gg 1$ անհավասարությունը, (3.4) բանաձևից կստանանք՝

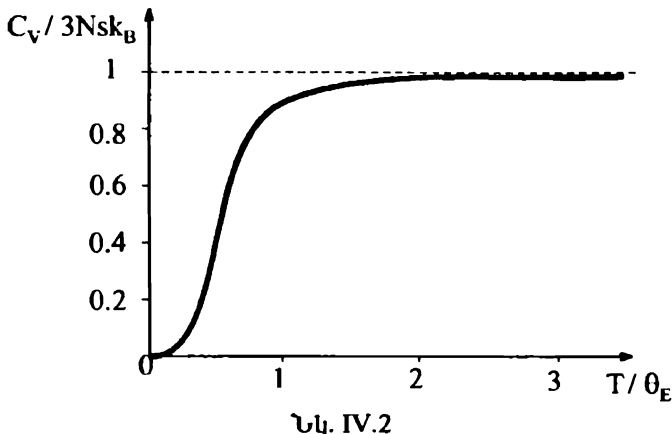
$$C_V \approx 3Nsk_B \left(\frac{\theta_E}{T} \right)^2 \exp \left(-\frac{\theta_E}{T} \right), \quad (3.6)$$

և երբ $T \rightarrow 0K$, ջերմունակությունը ձգտում է զրոյի էքսպոնենցիալ օրենքով:

Ջերմունակության կախումը ջերմաստիճանից պատկերված է նկ. IV.2-ում, որտեղ կետագծերով տրված է ջերմունակության դասական

արժեքը: Ինչպես հետևում է կորի վարքից, բարձրջերմաստիճանային մուավորությունը ճիշտ է $T \geq 2\theta_E$ տիրույթում:

Ինչպես ցոյց են տալիս փորձերը, $T \sim T_E$ և ավելի բարձր ջերմաստիճաններում (3.4) բանաձևը շատ լավ է նկարագրում ջերմունակության վարքը, սակայն ավելի ցածր ջերմաստիճաններում փորձի և ջերմունակության (3.4) բանաձևով տրվող արժեքների միջև շեղումը մեծանում է: $T \ll \theta_E$ տիրույթում (3.6) բանաձևը հակասում է փորձից ջերմունակության համար ստացվող T^3 կախմանը:



Նկ. IV.2

Ցածր ջերմաստիճաններում փորձի և էյնշտեյնի մոդելի անհամապատասխանությունը հետևանք է այն բանի, որ փոխազդող ատոմների համակարգում տատանումների բոլոր հաճախությունները միևնույնը լինել չեն կարող: Մակրոսկոպական պինդ մարմնում ցանկացած չափով ցածր ջերմաստիճաններում էլ միշտ կան այնպիսի մոդեր, որոնց համար $\hbar\omega \gg k_B T$ պայմանը խախտվում է: Այդպիսի մոդերն իրենց պահում են «գասական» ձևով, այսինքն՝ նրանից յուրաքանչյուրին բաժին է ընկնում $k_B T$ ջերմային էներգիա: Եթե դասական մոդերի առավելագույն հաճախությունը նշանակենք ω_0 -ով, ապա $\hbar\omega_0 \approx k_B T$, և բոլոր այդպիսի մոդերն ընկած են $0 \leq \omega \leq \omega_0$ տիրույթում: q -տարածության մեջ նրանք ընկած են $q_0 \sim \omega_0$ շառավղով և $q = 0$ կենտրոնով գնդի մեջ, ուստի դասական մոդերի

N_{cl} թիվը հավասար կլինի այդ զնդի ծավալի և մողերի (վիճակների) $V/(2\pi)^3$ խտության արտադրյալին:

$$N_{cl} = \frac{4\pi}{3} q_0^3 \cdot \frac{V}{(2\pi)^3} \sim \omega_0^3 V \sim V \left(\frac{k_B T}{\hbar} \right)^3, \quad (3.7)$$

իսկ նրանց ներդրումը ցանցի ներքին էներգիայի և ջերմունակության մեջ՝

$$U \approx k_B T \cdot N_{cl} \sim V \cdot T^4 \quad (3.8)$$

և

$$C_V = \left(\frac{\partial U}{\partial T} \right)_V \sim V \cdot T^3 : \quad (3.9)$$

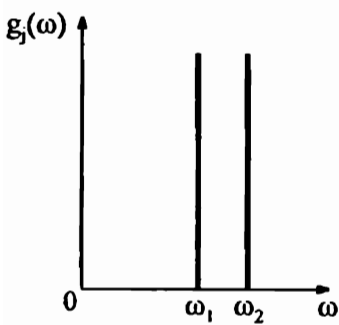
Այսպիսով, ցածր ջերմաստիճաններում ջերմունակությունը ծզառում է զրոյի, սակայն շատ ավելի դանդաղ, քան այդ հետևում է Էյնշտեյնի մոդելից:

Այսուհենիք, Էյնշտեյնի մոդելը շատ պարզ է, ակնառու և հաճախ օգտագործվում է տարրեր որակական արդյունքներ ստանալու համար:

Նկատի ոնենալով այս հանգամանքը, ստանանք վիճակների խտության $g(\omega)$ ֆունկցիայի տեսքը Էյնշտեյնի մոդելի շրջանակներում:

$$(2.21) \text{ արտահայտության մեջ տեղադրենք } \omega_j(q) = \omega_E.$$

$$g_j(\omega) = \frac{V}{(2\pi)^3} \int dq \delta(\omega - \omega_E) = \frac{V}{(2\pi)^3} \delta(\omega - \omega_E) \int dq = N \delta(\omega - \omega_E) \quad (3.10)$$



Նկ. IV.3

ամեն մի ճյուղի համար, իսկ վիճակների խտության լրիվ ֆունկցիան՝

$$g(\omega) = \sum_{j=1}^{3s} g_j(\omega) = 3Ns \cdot \delta(\omega - \omega_E) : (3.11)$$

Հաճախ նման ֆունկցիաներով նկարվում են ցանցային տատանումների սպեկտրում սահմանային հաճախությունների տիրապերի նեղ և խիստ ընդգծված մաքսիմումները:

Վիճակների խտության ֆունկցիաների մոտարկումը $\delta(\omega - \omega_j)$ ֆունկցիաներով

կարելի է կիրառել նաև օպտիկական որոշ ճյուղերի նկարագրության համար, եթե բարդ ցանցը կազմող ատոմների զանգվածներն իրարից խփու տարրերվում են (նկ. IV.3, տես նաև նկ. III.25):

§4. Պինդ մարմնի ջերմունակության Դեբայի տեսությունը

Պինդ մարմնի ջերմունակության շեղումն իր դասական արժեքից՝ Դյուլունգի և Պոտիի օրենքից, զգալի է դառնում սենյակայինից ցածր ջերմաստիճաններում, իսկ « T^3 » օրենքը տեղի ունի շատ ցածր ջերմաստիճաններում: Հետևաբար, կա ջերմաստիճանների մի ընդարձակ այլրույթ՝ մի քանի Կ-ից մինչև սենյակային ջերմաստիճաններ, որտեղ չի կարելի օգտվել քննարկված բարձր- և ցածրջերմաստիճանային մոտավորություններից, այլ հաշվարկները պետք է կատարել (2.18) արտահայտության օգնությամբ: Դրա համար անհրաժեշտ է տալ վիճակների խտության $g(\omega)$ ֆունկցիան, որն, իր հերթին, որոշվում է $\omega_j(q)$ ($j = 1, 2, \dots, 3s$) դիսպերսիոն հավասարումների միջոցով: Սակայն $\omega_j(q)$ ֆունկցիաների որոշումն ընդհանուր դեպքում կապված է զգալի դժվարությունների հետ: Այս տևանականից կարևոր նշանակություն են ստանում վիճակների խտության ֆունկցիայի տարրեր մոտարկումները, որոնց միջոցով ստացվում են ջերմունակության ջերմաստիճանային կախումն արտահայտող բանաձևեր: Ինչպես երևում է (2.25) բանաձևից, $E(\hbar\omega/k_B T) \sim \exp(-\hbar\omega/k_B T) \rightarrow 0$, եթե $\hbar\omega >> k_B T$, ուստի բարձրհաճախային տիրույթի ներդրումը ջերմունակության մեջ, համաձայն (2.24) բանաձևի, էական չէ: Այս հանգամանքը կարելի է օգտագործել ջերմունակության հաշվարկը պարզեցնելու համար՝ $g(\omega)$ ֆունկցիան ավելի պարզ և միաժամանակ վիճակների խտության ֆունկցիայի վարքը որակապես ճիշտ արտահայտող ֆունկցիայով փոխարինելու միջոցով:

Առավել հայտնի և հաջող փորձն այս ուղղությամբ կատարել է Պ. Դեբայը (1912թ.):

Դեբայի ենթադրության համաձայն, բյուրեղական ցանցի տատանում-

Անդի սպեկտրը համընկնում է հոծ, իզոտրոպ, առածզական միջավայրի տաստանումների սպեկտրի հետ: Ինչպես հայտնի է, այդպիսի միջավայրում կարող են տարածվել մեկ երկայնական և երկու իրարից անկախ լայնական ալիքներ, որոնց արագություններն են համապատասխանաբար v_i և v_t ($v_t > v_i$): Ալիքային վեկտորը $q, q + dq$ գնդային շնրառում ընդունում է

$$\frac{V}{(2\pi)^3} \cdot 4\pi q^2 dq = \frac{V}{2\pi^2} q^2 dq \quad (4.1)$$

հատ արժեք, հետևաբար, երկայնական տաստանումների թիվը հաճախությունների $\omega, \omega + d\omega$ տիրույթում, համաձայն $\omega = v_i \cdot q$ առնչության հավասար է

$$\frac{V}{2\pi^2} \cdot \left(\frac{\omega}{v_i} \right)^2 \frac{d\omega}{v_i} = \frac{V}{2\pi^2 v_i^3} \omega^2 d\omega : \quad (4.2)$$

Լայնական տաստանումների թիվը նույն տիրույթում, համաձայն $\omega = v_i \cdot q$ առնչության և երկու լայնական ալիքների գոյության փաստի, կլինի հավասար

$$2 \cdot \frac{V}{2\pi^2} \cdot \left(\frac{\omega}{v_i} \right)^2 \frac{d\omega}{v_i} = 2 \cdot \frac{V}{2\pi^2 v_i^3} \omega^2 d\omega : \quad (4.3)$$

Տաստանումների լրիվ թիվը $\omega, \omega + d\omega$ տիրույթում հավասար է (4.2) և (4.3) արտահայտությունների գումարին՝

$$g(\omega) d\omega = \frac{V\omega^2}{2\pi^2} \cdot \left(\frac{1}{v_i^3} + \frac{2}{v_t^3} \right) d\omega = \frac{3V\omega^2}{2\pi^2 v_i^3} d\omega , \quad (4.4)$$

որտեղ կատարված է հետևյալ նշանակումը՝

$$\frac{1}{v^3} = \frac{1}{3} \left(\frac{1}{v_i^3} + \frac{2}{v_t^3} \right) : \quad (4.5)$$

Այսպիսով, հոծ, իզոտրոպ առածզական միջավայրի տաստանումների սպեկտրը ցանկացած հաճախությունների համար նկարագրվում է

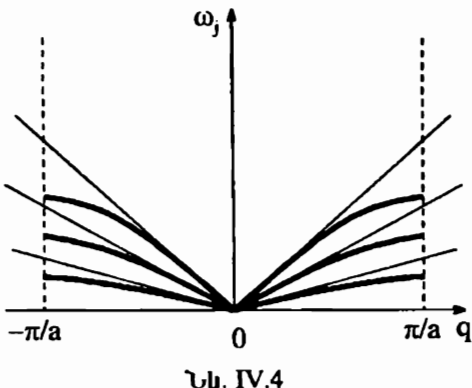
$$g(\omega) = \frac{3V\omega^2}{2\pi^2 v_i^3} \sim \omega^2 \quad (4.6)$$

ֆունկցիայով:

Ինչ վերաբերվում է ցանցի տասամումներին, ապա փոքր ալիքային վեկտորների համար j -րդ ծայնային ճյուղի դիսպերժուն հավասարումը կարելի է մոտարկել բառ $|q|$ -ի գծային օրենքով (տես III.5)

$$\omega_j(q) = v_j(\theta, \varphi) \cdot |q|, \quad (j=1,2,3), \quad (4.7)$$

որտեղ ալիքի $v_j(\theta, \varphi)$ արագությունը կախված է բյուրեղում ալիքի տարածման $n(\theta, \varphi)$ ուղղությունից (անիզոտրոպություն): Այս դեպքում, եթե փոքր հաճախություններով տատանումներին մասնակցում են միաժամանակ մեծ քվով մասնիկներ ($\lambda >> a$), միջավայրի (ցանցի) ընդհատ լինելու վաստը կարելի է հաշվի չառնել: Սակայն ցանցի նույնացումը հոծ միջավայրի հետ եիմնավորված չէ բարձր հաճախությունների տիրույթում, քանի որ, ի տարբերություն հոծ միջավայրի, ցանցում ալիքի տարածման արագությունը կախված է q ալիքային վեկտորից, այսինքն՝ ցանցն օժտված է դիսպերժիայով: Հերայի ենթադրության համաձայն, դիսպերժիայի առկայությունը մեծ հաճախությունների տիրույթում հաշվի չի առնվազ (բացառվում է): Մյօւ կողմից, ի տարբերություն հոծ միջավայրի, որտեղ տատանումների թիվն անսահմանավակ է, ցանցում կարող են տարածվել միայն վերջավոր քվով ալիքներ, որոնց երկարությունները գերազանցում են միջատոնական հետափորությունները:



Նկ. IV.4

Այսպիսով, հետևելով Դերային, կենթադրենք, որ (4.7) գծային դիսպերժիան հավասարումը տեղի ունի նաև ոչ փոքր ալիքային վեկտորների համար (նկ. IV.4):

j -րդ ծայնային ճյուղին պատկանող վիճակների խտության ֆունկցիայի (2.21) և (4.7) բանաձևերից կստանանք՝

$$g_j(\omega) = \frac{V}{(2\pi)^3} \int \delta[\omega - v_j(\theta, \varphi) \cdot q] q^2 dq d\Omega = \frac{V\omega^2}{(2\pi)^3} \int_{(4\pi)} \frac{d\Omega}{v_j^3(\theta, \varphi)}, \quad (4.8)$$

որտեղ ինաւեգրումը կատարվում է ըստ $d\Omega = \sin \theta \cdot d\varphi d\theta$ մարմնային անլյան: (2.20) և (4.8) արտահայտությունների համաձայն, վիճակների խտության ֆունկցիան կարելի է ներկայացնել

$$g(\omega) = \sum_{j=1}^3 g_j(\omega) = \frac{3V\omega^2}{2\pi^2 v^3}, \quad (4.9)$$

տեսքով, որտեղ ներմուծված է հակադարձ խորանարդային արագության միջինը՝

$$\frac{1}{v^3} = \frac{1}{3} \sum_{j=1}^3 \frac{1}{4\pi} \int_{(4\pi)} \frac{d\Omega}{v_j^3(\theta, \varphi)} : \quad (4.10)$$

Ընդհանուր դեպքում $v_j(\theta, \varphi)$ արագություններն արտահայտվում են ցանցի ուժային հաստատումների միջոցով: Ստորև ենթադրվում է, որ (4.10) բանաձևով որոշված V արագությունը տրված մեծություն է և այն կարելի է արտահայտել տեսության բնութագրական պարամետրերի միջոցով: Իզուրուած դեպքում (4.10) բանաձևից ստացվում է (4.5) կապը:

Այժմ որոշենք (2.22) և (2.23) արտահայտություններում ըստ հաճախության ինտեգրման սահմանները:

Մակրոսկոպական նմուշի համար կատարված հաշվարկներում միշտ ենթադրվում է անցում թերմոդինամիկական սահմանին ($N \rightarrow \infty$, $V \sim \sim L^3 \rightarrow \infty$, L -ը համակարգի գծային չափն է), ուստի միջավայրում տարածվող ալիքների երկարությունները սահմանափակված չեն երկարավիքային տիրույթում՝ $\lambda \sim L \rightarrow \infty$ և նվազագույն հաճախությունը՝ $\omega_{\min} \sim \lambda_{\max}^{-1} \sim \sim L^{-1} \rightarrow 0$: Սակայն եթե բյուրեղի չափները շատ վայր են, ապա նրանով տարածվող ամենաերկար ալիքի երկարությունը՝ $\lambda_{\max} \simeq L$: Եթե բյուրեղի ջերմաստիճանը $T < T_0 \simeq \hbar \omega_{\min} / k_B \simeq \hbar v / k_B L$, ապա հնարավոր են շեղումներ Դերայի տեսությունից: $L \sim 10^{-6}$ սմ կարգի նմուշի համար, բնդումների ու $\sim 10^5$ սմ/վ, կտանանք $T_0 \simeq 1\text{K}$: Փորձում, նրափոշու ջերմունակության ջերմաստիճանային կախումն ուսումնասիրելիս, $T \leq 1\text{K}$ տիրույթում, իրոք,

դիտվել են շեղումներ տևողությունից:

Հաճախությամ ω_{\max} առավելագույն արժեքը, որի գոյությունը հետևանք է ցանցի ընդհատության, որոշվում է Դեբայի երկրորդ ենթադրության օգնությամբ, համաձայն որի բոլոր ծայնային ճյուղերում տատանումների լրիվ թիվը հավասար է $3N$ -ի: Օգտվելով (4.9) արտահայտությունից և նորմավորման

$$3N = \int_0^{\omega_{\max}} g(\omega) d\omega = \frac{3V}{2\pi^2 v^3} \int_0^{\omega_{\max}} \omega^2 d\omega = \frac{V \omega_{\max}^3}{2\pi^2 v^3} \quad (4.11)$$

պայմանից, ստանում ենք ω_{\max} կամ Դեբայի (ω_D) սահմանային հաճախության համար արտահայտություն՝

$$\omega_{\max} \equiv \omega_D = \sqrt[3]{\frac{6\pi^2 N}{V}} = \sqrt[3]{\frac{6\pi^2}{v_0}} , \quad (4.12)$$

որտեղ $v_0 = V/N$ տարրական բջիջի ծավալն է: ω_{\max} հաճախությունը համապատասխանում է q_{\max} կամ Դեբայի (q_D) ալիքային թիվը, որը որոշվում է (4.11) պայմանին համարժեք

$$\frac{V}{(2\pi)^3} \cdot \frac{4\pi}{3} q_D^3 = N \quad (4.13)$$

պայմանից, որի համաձայն $2\pi/q_D$ ուժությունի գոնան փոխարինված է q_D շառավղով գնդով, որը պարունակում է նույնքան տատանողական մոդ, որը արիշտությունի գոնան: Դեբայի ալիքային թիվը՝

$$q_D = \left(\frac{6\pi^2 N}{V} \right)^{1/3} = \left(\frac{6\pi^2}{v_0} \right)^{1/3} = \frac{\omega_D}{v} , \quad (4.14)$$

որոշում է սահմանային (ամենակարճ) ալիքի երկարությունը՝

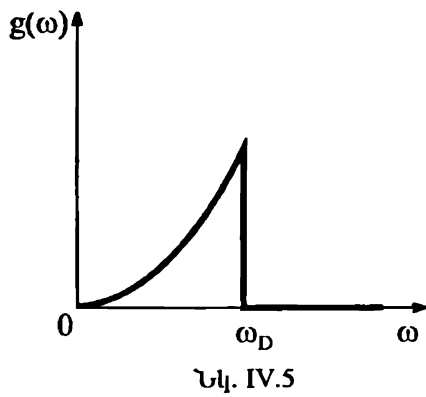
$$\lambda_D = \frac{2\pi}{q_D} = \left(\frac{4\pi^2}{3} v_0 \right)^{1/3} : \quad (4.15)$$

Գնահատենք ω_D , q_D և λ_D սահմանային բնութագրերը: Քանի որ $v_0 = \alpha \cdot a^3$, որտեղ $a \sim 10^{-8}$ սմ տարրական խորանարդի կողի երկարությունն է, $\alpha \sim 1$ ($\alpha = 1, 1/2$ և $1/4$ համապատասխանաբար պարզ, ծավա-

լակենտրոնացված և նիստակենտրոնացված խորանարդային ցանցի համար), և $v \sim 10^5$ սմ/վ, ապա կստանանք՝

$$\begin{aligned}\omega_D &= \frac{v}{a} \left(\frac{6\pi^2}{\alpha} \right)^{1/3} \sim 10^{13} \text{ռադ/վ}, \\ q_D &= \frac{1}{a} \left(\frac{6\pi^2}{\alpha} \right)^{1/3} \sim 10^8 \text{սմ}^{-1}, \\ \lambda_D &= \left(\frac{4\pi^2 \alpha}{3} \right)^{1/3} a \sim 10^{-8} \text{սմ}:\end{aligned}\quad (4.16)$$

Նպատակահարմար է միջավայրում ծայնի միջին և արագությունից (4.12) բանաձևի օգնությամբ անցնել Դերայի սևության հիմնական պարամետրերից մեկին՝ ω_D հաճախությանը։ Վիճակների խառնության ֆունկցիայի համար Դերայի մոտավորությամբ կստանանք (նկ. IV.5)



$$g(\omega) = \begin{cases} 9N \frac{\omega^2}{\omega_D^3}, & \omega \leq \omega_D, \\ 0, & \omega > \omega_D: \end{cases} \quad (4.17)$$

Տեղադրենք Դերայի մոտավորությամբ ստացված վիճակների խառնության ֆունկցիայի (4.17) արտահայտությունը ներքին էներգիայի և ջերմունակության (2.22) և (2.23) բանաձևերի մեջ՝

$$U = E_0 + 9N\omega_D^{-3} \int_0^{\omega_D} \frac{\hbar\omega}{e^{\hbar\omega/k_B T} - 1} \omega^2 d\omega, \quad (4.18)$$

$$C_V = 9Nk_B \omega_D^{-3} \int_0^{\omega_D} \left(\frac{\hbar\omega}{k_B T} \right)^2 \frac{e^{\hbar\omega/k_B T}}{\left[e^{\hbar\omega/k_B T} - 1 \right]^2} \omega^2 d\omega: \quad (4.19)$$

Եթե (4.18) և (4.19) բանաձևերում կատարենք փոփոխականի փոխարինում՝ $t = \hbar\omega/k_B T$, ապա ինտեգրման վերին սահմանը կդառնա

$\hbar\omega_{\max}/k_B T$: Մտցնենք պինդ մարմնի Դեբայի բնութագրական ջերմաստիճանը՝

$$\theta_D = \frac{\hbar\omega_D}{k_B} = \frac{\hbar}{k_B} \left(\frac{18\pi^2 N}{V} \right) \left(\frac{1}{v_I^3} + \frac{2}{v_t^3} \right)^{-1/3}, \quad (4.20)$$

ինչպես նաև կատարենք հետևյալ նշանակումները՝

$$D_E(x) = \frac{3}{x^4} \int_0^x \frac{t^3 dt}{e^t - 1} \quad (4.21)$$

որը հայտնի է որպես էներգիայի Դեբայի ֆունկցիա և

$$D(x) = \frac{3}{x^3} \int_0^x \frac{t^4 e^t}{(e^t - 1)^2} dt = \frac{3}{x^3} \int_0^x t^2 E(t) dt, \quad (4.22)$$

որը հայտնի է որպես ջերմունակության Դեբայի ֆունկցիա, իսկ $E(t)$ ֆունկցիան տրվում է (2.25) բանաձևով:

(4.18)-(4.22) արտահայտություններից ներքին էներգիայի և ջերմունակության համար ստացվում են հետևյալ վերջնական բանաձևեր՝

$$U = E_0 + 3Nk_B\theta_D \cdot D_E\left(\frac{\theta_D}{T}\right), \quad (4.23)$$

$$C_V = 3Nk_B D\left(\frac{\theta_D}{T}\right), \quad (4.24)$$

որոնք կիրառելի են ջերմաստիճանների ամբողջ տիրություն և հայտնի են որպես Դեբայի ներմուտարկման (ինտերպուլացիոն) բանաձևեր:

Դժվար չէ համոզվել, որ $D_E(x)$ և $D(x)$ ֆունկցիաները կապված են

$$D(x) = 4x \cdot D_E(x) - 3x(e^x - 1)^{-1} \quad (4.25)$$

առնչությամբ, որը ստացվում է (4.22) արտահայտությունը մասերով ինտեգրելուց հետո: Սակայն նպատակահարմար է հետագա հաշվարկներում այդ ֆունկցիաների միաժամանակյա օգտագործումը:

$D(x)$ և $D_E(x)$ ֆունկցիաները տրված են աղյուսակների ձևով, սակայն նրանց միջոցով կարելի է սահմանային դեպքերում ստանալ ներքին էներգիայի և ջերմունակության վերլուծական արտահայտություններ:

Ներքին էներգիայի և ջերմունակության կախումը պինդ մարմնի բնութագրերից արվում է մեկ մեծությամ՝ Դերայի θ_D ջերմաստիճանի միջոցով, որն արտահայտվում է մարմնի խտության և նրանում ծայնի տարածման միջին արագության միջոցով: Գնահատումների համաձայն

$$\theta_D = \frac{\hbar \omega_D}{k_B} \approx \frac{\hbar v}{k_B a} \sim 100\text{K} : \quad (4.26)$$

Տարբեր մարմինների համար, որպես կանոն, θ_D պարամետրի բնորոշ արժեքներն ընկած են մի քանի տասնյակից մինչև մի քանի հարյուր Կ տիրույթում (տես Աղյուսակ IV.1):

Այժմ ուսումնասիրներ U և C_V ֆունկցիաների վարքը ջերմաստիճանների տարրեր տիրույթներում:

$$\text{Բարձր ջերմաստիճաններ՝ } T \gg \theta_D \quad (x = \theta_D/T \ll 1)$$

Նկատի ունենալով (4.21) և (4.22) ինտեգրալներում ինտեգրման վերին սահմանի փոքրությունը՝ $x \ll 1$, ընդինտեգրալ ֆունկցիաները կարելի է վերածել շարքի $t=0$ կետի շուրջը: $D_E(x)$ ֆունկցիայի համար կստանանք՝

$$D_E(x) = \frac{3}{x^4} \int_0^x \frac{t^3 dt}{(1+t+t^2/2+\dots)-1} \approx \frac{3}{x^4} \int_0^x t^2 \left(1 - \frac{t}{2} + \frac{t^2}{12} + \dots\right) dt = \\ = \frac{1}{x} - \frac{3}{8} + \frac{1}{20} x + \dots \quad (4.27)$$

$D(x)$ ֆունկցիայի արտահայտությունը $x \ll 1$ դեպքում հեշտությամբ ստացվում է (4.22) սահմանումից՝ $E(t)$ ֆունկցիայի (2.26) վերլուծության օգնությամբ՝

$$D(x) = \frac{3}{x^3} \int_0^x t^2 E(t) dt \approx \frac{3}{x^3} \int_0^x t^2 \left(1 - \frac{1}{12} t^2 + \frac{1}{240} t^4 + \dots\right) dt = 1 - \frac{1}{20} x^2 + \dots : \quad (4.28)$$

Տեղադրելով (4.27) և (4.28) վերլուծությունները (4.23) և (4.24) արտահայտություններում, կստանանք՝

$$U = E_0 + 3Nk_B T \left[1 - \frac{3}{8} \frac{\theta_D}{T} + \frac{1}{20} \left(\frac{\theta_D}{T} \right)^2 + \dots \right], \quad (4.29)$$

$$C_V = 3Nk_B \left[1 - \frac{1}{20} \left(\frac{\theta_D}{T} \right)^2 + \dots \right], \quad (4.30)$$

որտեղ համընկնում են պինդ մարմնի դասական տեսության արդյունքների հետ:

Ցածր ջերմասափաններ՝ $T \ll \theta_D$ ($x = \theta_D/T \gg 1$)

Ներկայացնենք (4.21) ինտեգրալը երկու ինտեգրալների տարրերության սեսքով՝

$$\int_0^x \frac{t^3 dt}{e^t - 1} = \int_0^\infty \frac{t^3 dt}{e^t - 1} - \int_x^\infty \frac{t^3 dt}{e^t - 1} : \quad (4.31)$$

Առաջին գումարելին՝

$$\begin{aligned} \int_0^\infty \frac{t^3 dt}{e^t - 1} &= \int_0^\infty t^3 e^{-t} \frac{dt}{1 - e^{-t}} = \sum_{n=1}^\infty \int_0^\infty t^3 e^{-nt} dt = - \sum_{n=1}^\infty \frac{\partial^3}{\partial n^3} \int_0^\infty e^{-nt} dt = \\ &= - \sum_{n=1}^\infty \frac{\partial^3}{\partial n^3} \left(\frac{1}{n} \right) = 6 \sum_{n=1}^\infty \frac{1}{n^4} = 6 \cdot \frac{\pi^4}{90} = \frac{\pi^4}{15} : \end{aligned} \quad (4.32)$$

Նման եղանակով II գումարելին կարելի է ներկայացնել հետևյալ տեսքով՝

$$\begin{aligned} \int_x^\infty \frac{t^3 dt}{e^t - 1} &= - \sum_{n=1}^\infty \frac{\partial^3}{\partial n^3} \int_x^\infty e^{-nt} dt = - \sum_{n=1}^\infty \frac{\partial^3}{\partial n^3} \left(\frac{1}{n} e^{-nx} \right) = \\ &= \sum_{n=1}^\infty e^{-nx} \left(\frac{6}{n^4} + \frac{6}{n^3} x + \frac{3}{n^2} x^2 + \frac{1}{n} x^3 \right) : \end{aligned} \quad (4.33)$$

Քանի որ $x \gg 1$, ապա կարելի է սահմանափակվել գումարի միայն $n = 1$ առաջին անդամով, վերցինիս մեջ թողնելով ամենամեծ՝ x^3 անդամը: Այս մոտավորությամբ

$$D_E(x) \approx \frac{3}{x^4} \left(\frac{\pi^4}{15} - x^3 e^{-x} \right) = \frac{\pi^4}{5x^3} - \frac{3}{x} e^{-x} : \quad (4.34)$$

Նույն մոտավորությամբ (4.25) առնչությունից կստանանք՝

$$D(x) = \frac{4\pi^4}{5x^3} - 3xe^{-x} : \quad (4.35)$$

Այս բանաձևերի օգնությամբ (4.23) և (4.24) ընդհանուր արտահայտություններից ստացվում են ներքին էներգիայի և ջերմունակության ջերմասահճանային կախումներ՝

$$U = E_0 + 3Nk_B T \left[\frac{\pi^4}{5} \left(\frac{T}{\theta_D} \right)^3 - 3 \exp \left(-\frac{\theta_D}{T} \right) \right], \quad (4.36)$$

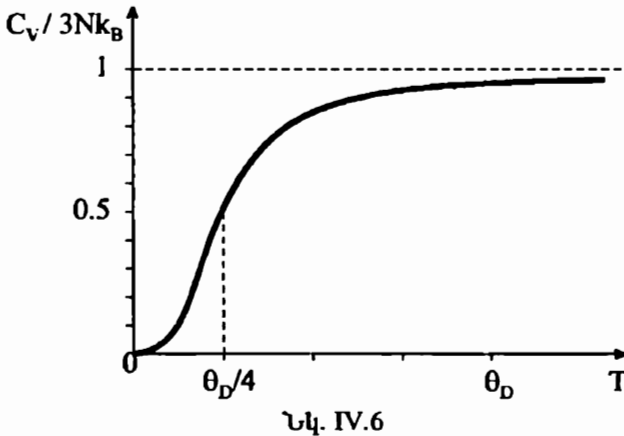
$$C_V = 3Nk_B \left[\frac{4\pi^4}{5} \left(\frac{T}{\theta_D} \right)^3 - 3 \frac{\theta_D}{T} \exp \left(-\frac{\theta_D}{T} \right) \right]: \quad (4.37)$$

Այս բանաձևերը հիմնավորում են որակական դաստիճունների օգնությամբ ստացված (3.8) և (3.9) զնահատականները:

(4.37) բանաձևի առաջին գումարելին պինդ մարմնի (ցանցային) ջերմունակության « T^3 -օրենքի» արտահայտությունն է՝

$$C_V = \frac{12\pi^4}{5} N k_B \left(\frac{T}{\theta_D} \right)^3 = 234 N k_B \left(\frac{T}{\theta_D} \right)^3 : \quad (4.38)$$

Նկ. IV.6-ում պատկերված է ջերմունակության ջերմասահճանային կախման կորը համաձայն (4.24) բանաձևի: Ինչպես հետևում է կորի վարքից, ջերմունակության ամենաարագ փոփոխման տիրույթը գտնվում է



$\theta_D/4$ կետի շրջակայքում, այնպէս որ դասական արտահայտությունները փաստորեն կիրառելի են $T \geq \theta_D$, այլ ոչ $T > \theta_D$ դեպքում (մեծ բվով նյութերի համար խիստ անհավասարությունը պինդ վիճակում տեղի ունենալ չի կարող հալման հետևանքով): Քավանտային արտահայտությունները կիրառելի են $0 < T < 0,1\theta_D$ տիրույթում:

Դեբայի մոդելի շրջանակներում կարելի է գնահատել Էյնշտեյնի բնութագրական ω_E հաճախությունը: Կարելի է այն վերցնել հավասար Դեբայի տեսությամբ միջին հաճախության համար ստացվող արժեքին:

$$\omega_E \equiv \overline{\omega} = \frac{\int_0^{\omega_D} \omega g(\omega) d\omega}{\int_0^{\omega_D} g(\omega) d\omega} = \frac{\int_0^{\omega_D} \omega^3 d\omega}{\int_0^{\omega_D} \omega^2 d\omega} = \frac{3}{4} \omega_D$$

կամ

$$\theta_E = 0.75\theta_D : \quad (4.39)$$

Այսպիսի ընտրության դեպքում Էյնշտեյնի և Դեբայի տեսությամբ տրվող չերմունակության կորերը համընկնում են մեծ ճշտությամբ ընդհուած մինչև $T \geq 0,5\theta_D$ արժեքները:

ω_E հաճախությունը կարելի է որոշել, օգտվելով նաև այն հանգամանքից, որ բարձր ջերմաստիճանների տիրույթում երկու տեսություններն ել տալիս են դասական տեսության արդյունքը: Հավասարեցնելով իրար (3.5) և (4.30) բանաձևերում առկա քառակուսային ուղղումները, կստանանք՝

$$\frac{1}{20} \left(\frac{\theta_D}{T} \right)^2 = \frac{1}{12} \left(\frac{\theta_E}{T} \right)^2$$

կամ

$$\theta_E = \sqrt{\frac{3}{5}} \theta_D \approx 0,775\theta_D , \quad (4.40)$$

որն առանձնապես չի տարբերվում (4.39) արդյունքից:

Էյնշտեյնի և Դեբայի տեսությունները բերում են էական տարբեր որակական և քանակական արդյունքների $T < 0,5\theta_D$ ջերմաստիճաններում:

§5*. Դեբայի տեսության քննարկումը

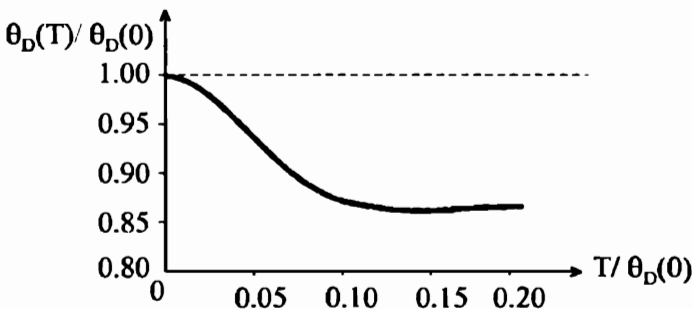
Դեբայի տեսությամբ պինդ մարմնի ներքին էներգիան և շերմունակությունը, որոնք տրվում են (4.23) և (4.24) բանաձևերով, ցանկացած ջերմաստիճանում որոշվում են միայն մեկ մեծությամբ՝ θ_D/T հարաբերությամբ։ Եթե յուրաքանչյուր բյուրեղի վերազրվի որոշակի բնութագրական θ_D ջերմաստիճան, ապա ջերմունակության բոլոր կորերը կիամբնեն իրար ինտ։ Սակայն պարզվում է, որ տվյալ մարմնի θ_D -ն կախված է այն ջերմաստիճանից, որի դեպքում վիրձում ենք համապատասխանեցնել ջերմունակության տեսական և փորձնական կորերը։ Իրոք, եթե ջերմունակության՝ վիրձում կամ որևէ տեսությամբ ստացված $C_V(T)$ արժեքը յուրաքանչյուր կետում հավասարեցվի Դեբայի տեսությամբ տրվող (4.24) բանաձևից ստացվող արժեքին՝

$$C_V(T) = C_V^D(T, \theta_D), \quad (5.1)$$

դրա համար օգտագործենով θ_D մեծությունը որպես «հարմարեցման» պարամետր, ապա (5.1) առնչությունից կստացվի այդ պարամետրի՝ ջերմաստիճանից ունեցած կախման արտահայտությունը՝

$$\theta_D = \theta_D(T) : \quad (5.2)$$

Նկ. IV.7-ում պատկերված է արգոնի և կրիպտոնի Դեբայի ջերմաստիճանի ջերմաստիճանային կախման զրաֆիկը (կետազծով տրված է Դեբայի մուսավորությանը համապատասխանող $\theta_D \equiv \theta_D(0) = const$ արժեքը):



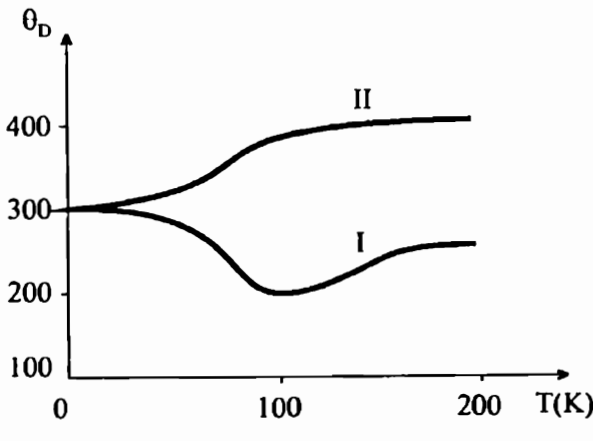
Նկ. IV.7

Հանի որ Դեբայի տեսության մեջ θ_D մեծությունը հաստատուն է, որի արժեքը կախված է միայն ցանցի ուժային (առաձգական) հաստատուններից, ապա $\theta_D(T)$ կախումը հետևանք է ցանցի իրական սպեկտրը Դեբայի (4.17) սպեկտրով վոլտարինելուն և կարող է ծառայել որպես ցանցի տատանողական սպեկտրը հաշվարկելիս օգտագործված ուժային հաստատունների մոդելի պիտանիության զգայուն չափանիշ:

Պարզ ցանցերի վիճակների խառնության ֆունկցիան և նրա միջոցով ջերմունակության և θ_D պարամետրի ջերմաստիճանային կախումները ցանցային տեսությամբ ստացվել են Բլեկմենի կողմից: Համաձայն Բլեկմենի, $\theta_D(T)$ ֆունկցիան ունի մինիմում միջանկյալ ջերմաստիճանների ախրույրում: Քանի որ θ_D պարամետրը կախված է առաձգական հաստատուններից (v , և v , արագությունների միջոցով), ապա նրանցից է կախված և այն ջերմաստիճանը, որի դեպքում տեղի ունի $T \ll \theta_D$ խիստ անեավասարույրուն: Այն բյուրեղները, որոնցում միջատումական վոլտագոյեցությունն ուժեղ է (օրինակ՝ ալմաստ, շալիյուղա), ունեն բարձր θ_D -եր: Այսուակ IV.1-ում բերված են մի քանի տարրերի համար Դեբայի ջերմաստիճանի արժեքները, ստացված

ա) ըստ (4.24) բանաձևի այն կետում, որտեղ $C_V = 3Nk_B/2$,

բ) ըստ (4.20) բանաձևով ձայնի արագության հաշվարկի:



Նկ. IV.8

Տարր	θ_D , K (ω)	θ_D , K (p)	Տարր	θ_D , K (ω)	θ_D , K (p)
Li	400		Pb	88	72
Na	150	164	Ar	85	
K	100		Cu	315	329
Be	1000		Ag	215	212
B	1250		Au	170	
Al	394	399	Cd	120	168
Ga	240		Fe	420	467
C (ալմաստ)	1860		Pt	230	226
Si	625		Gd	152	

Ընդունված է նաև θ_D պարամետրի որոշումը (4.38) բանաձևի միջոցով (C_V -ի T^3 -ից կախման ուղղի թեքության միջոցով):

Որոշ պարզ նյութերի մոտ չերմասափառանի բարձրացմանը զուգընթաց θ_D -ն նվազում է (I խումբ), խև մյուսների մոտ՝ աճում (II խումբ), ինչը որակապես պատկերված է նկ. IV.8-ում: Դեռայի չերմասափառանի նման վարքը պայմանավորված է հետևյալ հանգամանքով: (2.29) և (4.30) բանաձևերի համաձայն, բարձր չերմասափառանների տիրույթում Դեռայի $\theta_D(\infty)$ չերմասափառ կապված է $\theta_D(0)$ պարամետրի հետ:

$$\theta_D^2(\infty) = \theta_D^2(0) \frac{\overline{\omega^2}}{\overline{\omega^2}} \quad (5.3)$$

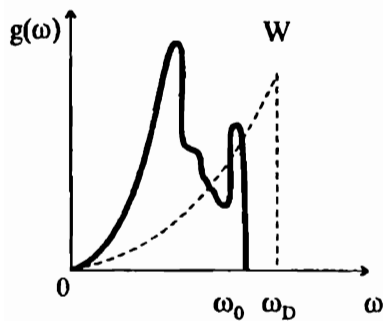
առնչությամբ, որտեղ $\overline{\omega^2}$ -ն հաճախության բառակուսային միջինն է ըստ զանցային տեսության՝

$$\overline{\omega^2} = \int_0^{\omega_0} \omega^2 g(\omega) d\omega / \int_0^{\omega_0} g(\omega) d\omega , \quad (5.4)$$

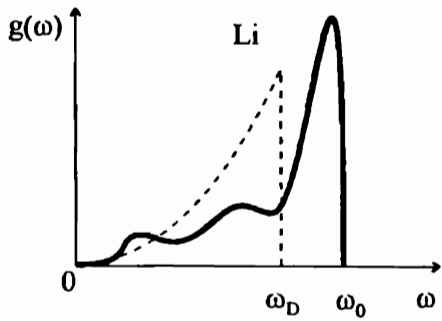
իսկ $\overline{\omega_D^2}$ -ն՝ բառ Դերայի մոտավորության

$$\overline{\omega_D^2} = \int_0^{\omega_D} \omega^2 g(\omega) d\omega / \int_0^{\omega_D} g(\omega) d\omega = \frac{3}{5} \omega_D^2 : \quad (5.5)$$

Նկ. IV.9-ում և նկ. IV.10-ում պատկերված են վոլֆրամի (I խումբ) և լիքիդումի (II խումբ) վիճակների խտության ֆունկցիաներն ըստ ցանցային տեսության (կետագծերով տրված է Դերայի մոտավորությունը):



Նկ. IV.9



Նկ. IV.10

Քանի որ հոծ գծերով և կետագծերով սահմանափակված մակերես-ներն իրար հավասար են ($\kappa = 3N$ -ի), ապա I խմբի համար $\overline{\omega^2} < \overline{\omega_D^2}$ և $\theta_D(\infty) < \theta_D(0)$. իսկ II խմբի համար $\overline{\omega^2} > \overline{\omega_D^2}$ և $\theta_D(\infty) > \theta_D(0)$:

Որպես բացատրենք I և II խմբի նյութերի համար ցանցային տեսությամբ վիճակների խտության ֆունկցիայի համար ստացված կորերը:

Նախ դիսարկենք վոլֆրամի սպեկտրը (նկ. IV.9):

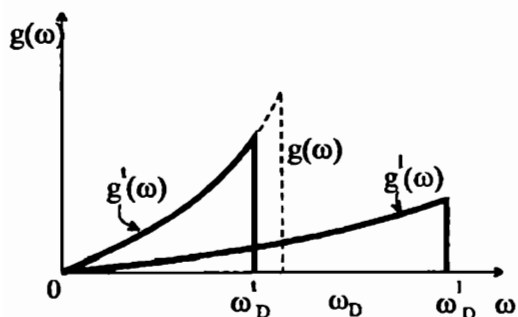
Ինչպես հայտնի է, վոլֆրամի նմուշը մեծ ճշտությամբ կարելի է համարել իզոարուպ միջավայր, որտեղ $v_i \approx 2v_f$: Դերայի տեսությունը բարելավելու նպատակով լայնական և երկայնական ալիքները սահմանափակենք ω'_D և ω''_D սահմանային հաճախություններով այնպես, որ լայնական մոդելին համապատասխանի $2N$ վիճակ, իսկ երկայնականներին՝ N վիճակ: Այս պայմաններից կստանանք՝

$$\omega_D' = \mathbf{v}_I \cdot \mathbf{q}_D, \quad \omega_D' = \mathbf{v}_I \cdot \mathbf{q}_D \approx \frac{1}{2} \omega_D' : \quad (5.6)$$

Դերայի ω_D հաճախությունն արտահայտելով ω_D' -ի միջոցով՝

$$\omega_D = \left[\frac{\omega_D'}{\frac{1}{3} \left(2 + \left(\frac{\mathbf{v}_I^3}{\mathbf{v}_D^3} \right) \right)} \right]^{1/3} = \left[\frac{\omega_D'}{\frac{1}{3} \left(2 + \frac{1}{8} \right)} \right]^{1/3} \approx 1,12 \omega_D' \quad (5.7)$$

տեսնում ենք, որ այն շատ մուտ է լայնական մոդերի ω_D' սահմանային հաճախությանը (նկ. IV.11), այսինքն՝ կլինական ներդրումը սպեկտրում տալիս են լայնական մոդերը։ Գործնականորեն բռնոր բարձրեաճախային



Նկ. IV.11

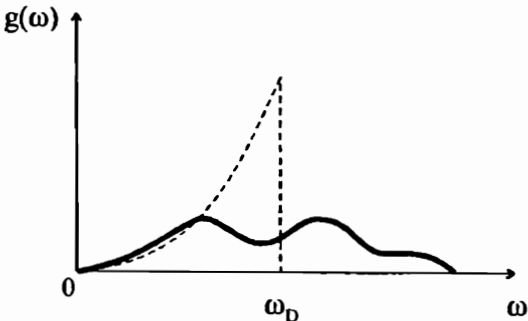
մոդերը հաշվի չեն առնվում։ Սակայն Դերայի տեսության այս անհետևաղականությունն էլ ենց նրա հաջողության պատճառն է։ Բանն այն է, որ ցանցում կարծ ալիքներն ունեն ավելի փոքր հաճախություններ, քան իոն միջավայրում (նկ. IV.4)։ Դրա պատճառն այն է, որ ցանցն ավելի իներտ է, քան իոն միջավայրը, քանի որ

ցանցում գանգվածը կենտրոնացված է ցանցի հանգույցներում, իսկ իոն միջավայրում այն բաշխված է անընդհատ։ Եվ երբ նրանում տարածվում է ալիք, ապա միջավայրի գանգվածի մի մասը, լինելով տատանման հանգույցներում, մնում է դադարի վիճակում։ Այլ կերպ ասած, տատանումներին մասնակցում է ոչ լրիվ գանգվածը։ Արդյունքում ցանցային տեսությամբ հաշված սպեկտրը շեղված է դեպի փոքր հաճախությունների կողմը, ինչը համենայն դեպքում է մուտավոր ծևազ, համակշռությունը է Դերայի տեսության մեջ մեծ հաճախությունների արեամարելումը։

Եթե իոն միջավայրը խիստ անիզոտրոպ է (լիքիդամի դեպքը), ապա տատանումներն այլև չի կարելի բաժանել լայնականի և երկայնականի,

բանի որ բևեռացման ուղղությունները, ինչպես և արագությունները, էապես կախված են ալիքային վեկտորի ուղղությունից: Այս դեպքում անհրաժեշտ է ալիքային վեկտորի ամեն մի (θ, φ) ուղղության համար կառուցել նկ. IV.11-ի նման սպեկտր երեք՝ $\omega_D^{(1)}(\theta, \varphi)$, $\omega_D^{(2)}(\theta, \varphi)$ և $\omega_D^{(3)}(\theta, \varphi)$ սահմանային հաճախություններով, որոնք համապատասխանում են $v_1(\theta, \varphi)$, $v_2(\theta, \varphi)$ և $v_3(\theta, \varphi)$ արագություններին, իսկ q_D պարամետրը նորից տրվում է (4.13) պայմանի միջոցով:

Խիստ անիզոտրոպության հետևանքով $\omega_D^{(1)}(\theta, \varphi)$ հաճախություններն իրարից խիստ կտարբերվեն, ուստի գումարային սպեկտրը իզոտրոպ կոծ միջավայրի դեպքի համեմատությամբ կհարթվի (նկ. IV.12): Այսպիսով, անիզոտրոպությունը հակված է շեղելու սպեկտրը դեպի բարձր հաճախությունների կողմը, այն դեպքում, եթե ցանցի կառուցվածքի ընդեհասության հաշվառումը բերում է հակառակ երևույթին:



Նկ. IV.12

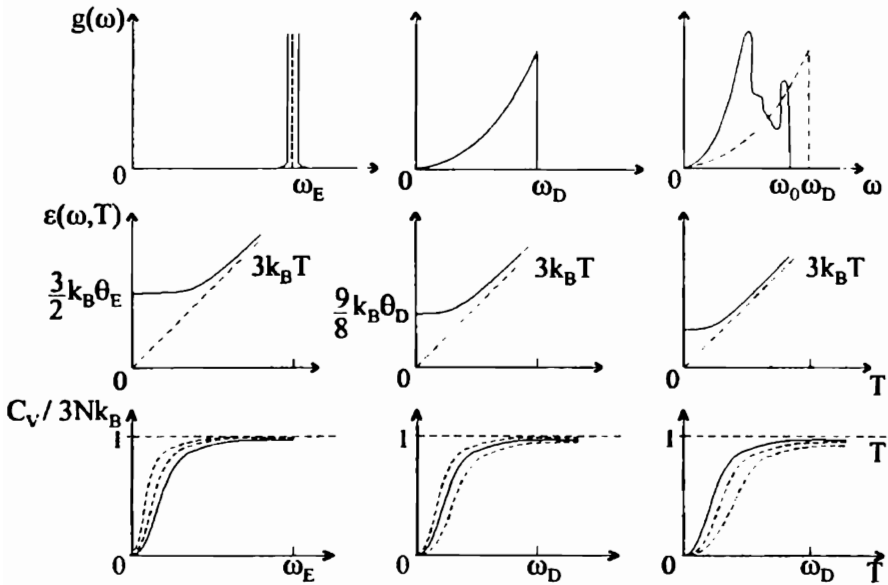
Ուժեղ անիզոտրոպության դեպքում ցանցի ընդեհասության հաշվառումը չի կարող համակշռել անիզոտրոպության ազդեցությունը, ուստի և $\omega_0 > \omega_D$:

Վերադառնալով Դերայի ջերմաստիճանի վարքին, կարող ենք նշել նրա երկու բնութագրական արժեքները՝ $\theta(0) = \theta_D$, որը որոշվում է միայն միջավայրի առաձգական հաստատուններով և $\theta_\infty = \theta_D^2 \cdot \overline{\omega^2} / \overline{\omega_D^2}$, որը որոշվում է ցանցային անսության շրջանակներում ուժային հաստատունների միջոցով:

Համեմատենք այժմ Էյնշտեյնի, Դերայի և ցանցային տևառության շրջանակներում տատանումների սպեկտրի մեջ աստմին բաժին ընկնող լներգիայի և ջերմունակության համար ստացված կախումների գրաֆիկ-

Աերը վոլֆրամի օրինակով (նկ. IV.13), ընդունելով $\omega_E = \omega_D$:

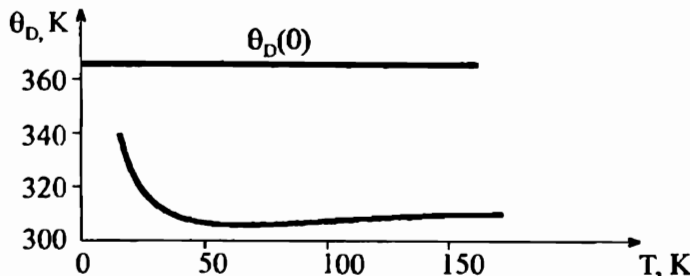
Չնայած սարքեր նախնական էնթապություններին, ջերմունակություններն իրարից շատ չեն տարբերվում: $\theta_D(T)$ կախումը շատ ավելի զգայուն է սպեկտրի տեսքի նկատմամբ: Ջերմունակության Դեբայի կորը



Նկ. IV.13

չափավոր բարձր ջերմաստիճաններում կարելի է համատեղել ջերմունակության ցանցային տեսությունից ստացված կորի հետ, եթե θ_D պարամետրն ընտրվի եավասար $\theta_\infty < \theta_D(0)$, ինչը հաստատվում է վոլֆրամի օրինակով: Վերջինիս մոտ $\theta_D(T)$ ֆունկցիան ջերմաստիճանն աճելիս նվազում է $\theta_D(0)$ արժեքի համեմատությամբ, ինչը պայմանավորված է միջավայրի առաձգական հաստատունների նվազումով: Սակայն սկսած 50K-ից մինչև 150K այն նորից դառնում է հաստատուն, որի արժեքը համապատասխանում է ցանցային տեսությունից ստացված θ_∞ մեծությանը՝ $\theta_D = \theta_\infty$ (նկ. IV.14): Այս պատճառով « T^3 » օրենքը, որը համաձայն արտածման,

Խատորեն տեղի ունի միայն շատ ցածր՝ մի քանի Կ ջերմաստիճաններում և $\theta_D \equiv \theta_D(0) = const$ դեպքում, լավագույնս համընկնում է փորձի հետ նաև $50 \div 150$ K տիրույթում:



Նկ. IV.14

Այժմ համառոտակի ծանոթանանք Դեբայի տեսության կատարելագործման մի տարրերակի հետ, որն օգտագործում է ցանցային տեսության որոշ արդյունքներ:

Ինչպես տեսանք, փոքր հաճախությունների համար ցանցի տատանումների սպեկտրը կարող է նկարագրվել (4.9) արտահայտությամբ և ապահովել ճշգրիտ արդյունքների ստացումը ցածր ջերմաստիճաններում: Բարձր ջերմաստիճաններում ջերմունակության վարքը, համաձայն (2.29) բանաձևի, որոշվում է $\overline{\omega^2}$ և $\overline{\omega^4}$ միջիններով: Ուստի բնական է սպեկտրը կառուցել այնպես, որ փոքր հաճախությունների համար այն լինի Դեբայի ախպի, իսկ $\overline{\omega^2}$ և $\overline{\omega^4}$ մեծությունների համար տա արժեքներ, որոնք են տևում են ցանցային տեսությունից: Այս եղանակով հաշված ջերմունակությունը կիամրմնի փորձի հետ ինչպես ցածր, այնպես էլ բարձր ջերմաստիճաններում և կարող է ծառայել որպես ներմուտարկման բանաձև՝ միջանկյալ ջերմաստիճանների տիրույթում:

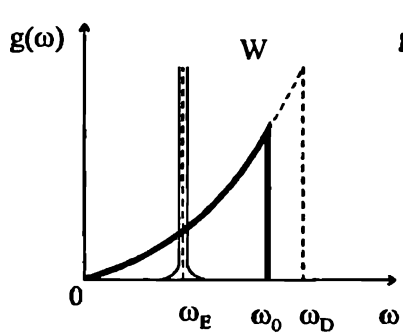
Կարենի և, օրինակ, սպեկտրն ընտրել որպես Դեբայի և Էյնշտեյնի սպեկտրերի զումար՝

$$g(\omega) = 3N \left[\frac{3\omega^2}{\omega_D^3} + \eta \cdot \delta(\omega - \omega_E) \right], \quad (5.8)$$

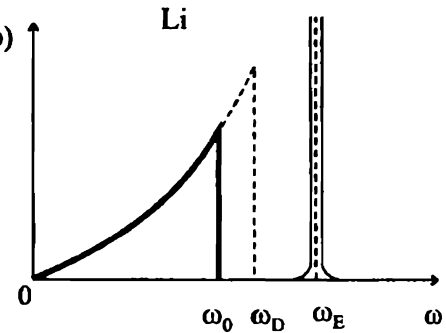
որանդ դ -ն էյնշաեյնյան հաճախությունների լրիվ քիվն է: Հասկանալի է, որ այժմ սպեկտրի քառակառային մասը պետք է սահմանափակել ավելի փոքր ω_0 հաճախությամբ, քան ω_D պարամետրն է, որպեսզի հաճախությունների (մոդերի) լրիվ քիվը լինի $3N$: (5.8) արտահայտությունը բնութագրվում է ω_0 սահմանային հաճախությամբ, ինչպես նաև ω_E և η պարամետրով, որոնք որոշվում են նորմավորման դայնանից և այն երկու պայմաններից, որոնց համաձայն $\overline{\omega^2}$ և $\overline{\omega^4}$ միջինները համընկնում են ցանցային տեսությամբ ստացվող արժեքների հետ: Որոշելով նշված երեք պարամետրերը, ջերմունակության արտահայտությունը կարելի է ներկայացնել:

$$C_V = 3Nk_B \left[\left(1 - \eta\right) D\left(\frac{\theta_0}{T}\right) + \eta E\left(\frac{\theta_E}{T}\right) \right] \quad (5.9)$$

տեսքով, որանդ $\theta_0 = \hbar\omega_0/k_B$, $\theta_E = \hbar\omega_E/k_B$, իսկ $D(x)$ և $E(y)$ ֆունկցիաները արվում են (4.22) և (2.25) բանաձևերով: Նկ. IV.15-ում և IV.16-ում պահանջված են վոլֆրամի և լիթիումի սպեկտրերն ըստ այս տեսության:



Նկ. IV.15



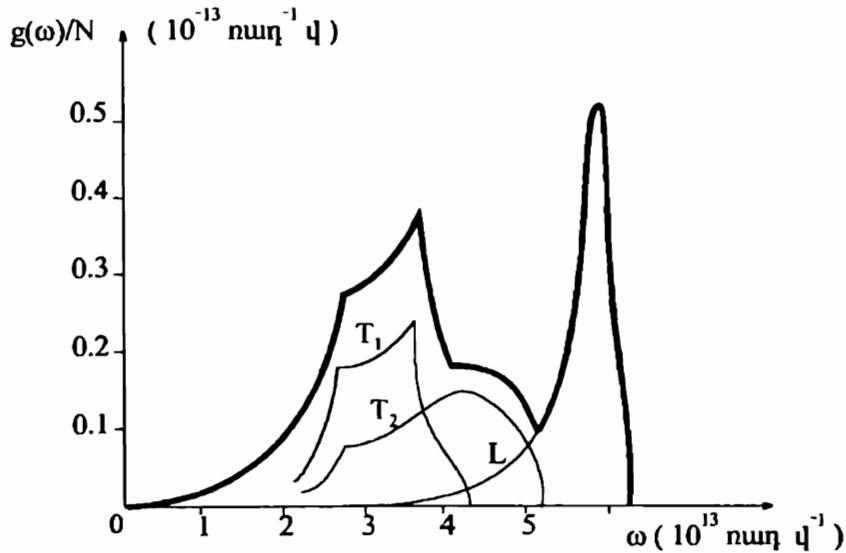
Նկ. IV.16

Նկարներից ակնհայտ է ստացված սպեկտրերի հիմնական գծերով նմանությունը ցանցային տեսությամբ հաշվարկված սպեկտրերին (նկ. IV.9 և IV.10):

Ցանցային տատանողական սպեկտրը հաճախ ստանում են վորձնական ճանապարհով: Փորձերում ուսումնասիրելով օպահկական, ունտ-

զենյան ճառագայթումների, ինչպես նաև նեյտրոնների ցրումը ցանցի տասամումների վրա, ստանում են ցանցի դիսպերսիոն հավասարումները տատանումների բոլոր ճյուղերի համար, որոնց միջոցով կատացվում է ցանցի տասամունքական սպեկտրը:

Նկ. IV.17-ում պատկերված է նեյտրոնների ցրման փորձերի հյուման վրա ստացված վիճակների խառնրյան ֆունկցիան $A(\omega)$ -ում: Այն երկար լայնական (T_1, T_2) և երկայնական (L) տասամումների վիճակների խառնրյան ֆունկցիաների գումարն է: N -ը տարրական բջիջների թիվն է, իսկ $g(\omega)/N$ հարաբերությունը կախված չէ բյուրեղի չափերից:



Նկ. IV.17

Նկարի վրա հստակ երևում են այն կեաերը, որոնցում տարրեր ճյուղների վիճակների խսորացյան ֆունկցիաների ածանցյալները տարամիտում են (Վան Հոֆի եզակյուններ, III.6):

§6. Բյուրեղական ցանցի ջերմային տատանումները:

Հալման չափանիշը

Համաձայն բյուրեղական ցանցի ստատիկ մոդելի, պինդ մարմինը կազմող ատոմները գտնվում են անշարժ վիճակում, կոչտ տարածական ցանցի հանգույցներում: Սակայն այս մոդելը միայն մոտավոր ձևով է նկարագրում ատոմների տարածական դիրքերը, քանի որ ատոմների գանգվածները, ինչպես նաև նրանց միջև գործող փոխազդեցորյան ուժերը վերջապահ են: Դասական տեսության շրջանակներում սատարիկ ցանցի մոդելը ճշմարիք է միայն $T = 0\text{K}$ -ում, իսկ բվանաային տեսության շրջանակներում այն չի համապատասխանում իրականության անգամ $T = 0\text{K}$ -ում, քանի որ, համաձայն իմպուլսի և կոօրդինատի անորոշությունների առնչության, ատոմներն օժտված են զրոյից աարբեր իմպուլսներով:

Ցանցի տատանումներն ի հայտ են զայիս բազմաբնույթ ֆիզիկական երևույթներում, ուստի ծագում է ջերմային հավասարակշուրջան վիճակում նրանց բնուրագրման և զնահատման անհրաժեշտությունը:

Ներդաշնակ մոտավորությամբ, n -րդ տարրական քջում k տեսակի ատոմի շեղման α -րդ պրոյեկցիան սորվում է III.5.44 արտահայտությամբ՝

$$u_{n\alpha}^k(t) = \frac{1}{\sqrt{Nm_k}} \sum_{qj} e_{jk\alpha}(q) \sigma_j(q, t) e^{iqn} :$$

Ջերմային հավասարակշուրջան վիճակում շեղման $u_n^k(t)$ վեկտորի միջինը՝

$$\langle u_n^k \rangle = 0 , \quad (6.1)$$

քանի որ տատանումները հավասարակշուրջան դիրքի շուրջը կատարվում են բոլոր ուղղություններով միևնույն հավանականությամբ: Այս պայմանը համընկնում է $u_n^k(t)$ շեղման ժամանակային միջինի համար զրված

$$\overline{u_n^k}(t) = 0 \quad (6.2)$$

պայմանի հետ, որի համաձայն աառմը «դրվում» է տեղում, ինչը և հիմք է ծառայում ցանցի սատարիկ մոդելի համար: Ըեղումների չափը բնուրագրելու համար ստանանք միջին քառակուսային շեղման արտահայտությունը ջերմային հավասարակշուրջան վիճակում:

Սահմանենք շեղման քառակուսու միջինը հետևյալ ձևով՝

$$\left(\mathbf{u}_n^2 \right)_{av} = \frac{1}{M} \sum_{k_n} m_k \left(\mathbf{u}_n^k \right)^2, \quad (6.3)$$

որտեղ M -ը նմուշի գաճպածն է: Մասնավոր դեպքում, եթե ցանցը կազմված է միատեսակ աշտմներից՝ $k = 1, M = Nm$, (6.3) առնչությունն ընդունում է.

$$\left(\mathbf{u}_n^2 \right)_{av} = \frac{1}{N} \sum_n \mathbf{u}_n^2 \equiv \frac{1}{Nm} \sum_{n\alpha} \mathbf{u}_{n\alpha}^2 \quad (6.4)$$

Մեսքը: Հետազա հաշվարկները կատարենք պարզ ցանցի համար:

Տեղադրենք $\mathbf{u}_{n\alpha}$ վեկտորի արագակայտությունը (6.4) սահմանման մեջ՝

$$\begin{aligned} \left(\mathbf{u}_n^2 \right)_{av} &= \frac{1}{Nm} \sum_{n\alpha} \frac{1}{Nm} \sum_{q,q',j,j'} e_{j\alpha}(q) e_{j'\alpha}^*(q') a_j(q,t) a_{j'}^*(q',t) e^{in(q-q')} = \\ &= \frac{1}{Nm} \sum_{q,q',j,j'} \sum_{\alpha} e_{j\alpha}(q) e_{j'\alpha}^*(q') a_j(q,t) a_{j'}^*(q',t) \frac{1}{N} \sum_n e^{in(q-q')}. \end{aligned} \quad (6.5)$$

Նկատի ունենալով

$$\sum_n e^{in(q-q')} = N \delta_{q,q'+g} \quad (6.6)$$

առնչությունը (Հավելված 2), որտեղ g -ն հակադարձ ցանցի կամայական վեկտոր է, ինչպես նաև q' և $q'+g$ վեկտորներով բնուրագրվող մոդերի համարժեքությունը և III.5.19 առնչությունը, (6.5) արտահայտությունից կստանանք՝

$$\begin{aligned} \left(\mathbf{u}_n^2 \right)_{av} &= \frac{1}{Nm} \sum_{q,q',j,j'} \sum_{\alpha} \delta_{q,q'+g} e_{j\alpha}(q) e_{j'\alpha}^*(q') a_j(q,t) a_{j'}^*(q',t) = \\ &= \frac{1}{Nm} \sum_{q,j,j'} \sum_{\alpha} e_{j\alpha}(q) e_{j'\alpha}^*(q-g) a_j(q,t) a_{j'}^*(q-g,t) = \\ &= \frac{1}{Nm} \sum_{q,j,j'} \sum_{\alpha} e_{j\alpha}(q) e_{j'\alpha}^*(q) a_j(q,t) a_{j'}^*(q,t) = \frac{1}{Nm} \sum_{q,j} |a_j(q,t)|^2 : \end{aligned} \quad (6.7)$$

Նշենք, որ հաշվարկները կատարելիս օգտագործեցինք շեղման վեկտորի իրական լինելու փաստը, ներկայացնելով $\mathbf{u}_n^2 = \mathbf{u}_n \cdot \mathbf{u}_n^*$: Սակայն դժվար չէ

համոզվել, որ նոյն արդյունքը կստացվի նաև անմիջապես քառակուսի բարձրացնելուց և միաժամանակ թևաւացման վեկտորի և նորմալ կոորդինատի համաչափության հատկությունները (III.5) օգտագործելուց հետո:

Միջինացնելով (6.7) արտահայտությունն ըստ ջերմային հավասարակշռության վիճակի, կսանանք՝

$$\langle \langle u_n^2 \rangle_{av} \rangle \equiv \langle u_n^2 \rangle = \frac{1}{Nm} \sum_{q,j} \langle |a_j(q,t)|^2 \rangle : \quad (6.8)$$

Գտնենք $\langle |a_j(q,t)|^2 \rangle$ մեծությունը:

Ինչպես հայտնի է, ցանցի տատանումների պուանցիալ էներգիան ներդաշնակ մոավորությամբ u_n շեղումների, (հետևապես և նորմալ կոորդինատների) քառակուսային ֆունկցիա է, որը սրբում է III.5.3 բանաձևով: Տեղադրելով նրանում շեղման վեկտորի արահայտությունը և կատարելով որոշ ծնափոխություններ, կսանանք՝

$$\Phi = \frac{1}{2} \sum_{q,j} \omega_j^2(q) |a_j(q,t)|^2 . \quad (6.9)$$

որն իրենից ներկայացնում է $\omega_j(q)$ հաճախություններով $3N$ աատանակների պոտենցիալ էներգիաների գումար: Միջինացնենք (6.9) արահայտությունն ըստ ջերմային հավասարակշռության վիճակի: Ըստի որ ներդաշնակ աատանակի պոտենցիալ և կինետիկական էներգիաների միջիններն իրար հավասար են, ապա ցանցի աատանողական էներգիայի միջինի համար կսանանք հետևյալ արտահայտությունը՝

$$\langle E \rangle = \langle K \rangle + \langle \Phi \rangle = 2\langle \Phi \rangle = \sum_{q,j} \omega_j^2(q) \langle |a_j(q,t)|^2 \rangle : \quad (6.10)$$

Համեմատելով այս արտահայտությունը բյուրեղի ներքին էներգիայի (2.11) բանաձևի հետ, կարող ենք տեսնել, որ

$$\langle E \rangle \equiv U - U_0 = \sum_{q,j} \varepsilon(\omega_j(q), T) . \quad (6.11)$$

որտեղ $\varepsilon(\omega_j(q), T)$ մեծությունը միաշափ ներդաշնակ տատանակի էներգիան է ջերմային հավասարակշռության վիճակում և տրվում է (2.12) բանաձևով: (6.10) և (6.11) բանաձևերից որոնելի մեծության համար կսա-

$$\langle |a_j(q,t)|^2 \rangle = \frac{\varepsilon(\omega_j(q), T)}{\omega_j^2(q)} \equiv \frac{\varepsilon_{qj}}{\omega_j^2(q)} : \quad (6.12)$$

Այսպիսով, միջին քառակուսային շեղման համար (6.8) և (6.12) արտահայտություններից ստացվում է հետևյալ արդյունքը՝

$$\begin{aligned} \langle u_n^2 \rangle &= \sum_{q,j} \frac{\varepsilon_{qj}}{Nm\omega_j^2(q)} = \frac{1}{Nm} \sum_{q,j} \frac{\hbar}{\omega_j(q)} \left[\frac{1}{2} + \frac{1}{e^{\hbar\omega_j(q)/k_B T} - 1} \right] = \\ &= \sum_{q,j} \frac{\hbar}{2Nm\omega_j(q)} \operatorname{cth} \frac{\hbar\omega_j(q)}{2k_B T} : \end{aligned} \quad (6.13)$$

Ակնհայտ է, որ միջին քառակուսային շեղմանը կախված չէ հանգույցի դիրքից՝ n -ից, ինչը ցանցի տեղափոխական համաչափության հետևանք է: Այն կախված չէ նաև աառմների (տարրական քիչների) բվից կամ բյուրեղի ծավալից: Վերջին պնդումն անմիջապես հետևում է $\langle u^2 \rangle$ -ի տեսքից, եթե (6.13) բանաձևում կատարենք անցում գումարից ինտեգրալի՝ (տես Ա.6.12 կանոնը)

$$\langle u^2 \rangle = \frac{\hbar}{2(2\pi)^3 \rho} \sum_j \int_{\Omega_0} \frac{dq}{\omega_j(q)} \cdot \operatorname{cth} \frac{\hbar\omega_j(q)}{2k_B T}, \quad (6.14)$$

որտեղ $\rho = mN/V = M/V$ -ն պինդ մարմնի խտությունն է:

$\langle u^2 \rangle$ -ը հաշվելու համար անհրաժեշտ է տալ $\omega_j(q)$ դիսպերսիոն հավասարումն ամեն մի ճյուղի համար, որի տեսքը q վեկտորի վօֆոխման ամբողջ ափրոյցում հայանի չէ:

Նպատակ ունենալով ստանալ կոնկրետ քանակական արդյունքներ, ենտագայում կօգտվենք Դեբայի մոաավորությունից, $\omega_j(q)$ կախումը ներկայացնելով գծային ֆունկցիայի տեսքով (անս (4.7) բանաձևը): Անցնելով (6.13) բանաձևում ըստ հաճախության ինաեզրման՝

$$\langle u^2 \rangle = \frac{\hbar}{2Nm} \int \frac{g(\omega)}{\omega} \operatorname{cth} \frac{\hbar\omega}{2k_B T} d\omega = \frac{1}{Nm} \int \frac{g(\omega)}{\omega^2} \varepsilon(\omega, T) d\omega \quad (6.15)$$

և վիճակների խառնության ֆունկցիայի համար վերցնելով (4.17) արտահայ-

առողջունը, կստանանք՝

$$\langle u^2 \rangle = \frac{9\hbar}{2m\omega_D^3} \int_0^{\theta_D} \omega \coth \frac{\hbar\omega}{2k_B T} d\omega = \frac{9\hbar^2 T^2}{2mk_B \theta_D^3} \int_0^{\theta_D/T} t \coth \frac{t}{2} dt , \quad (6.16)$$

Ուսումնասիրենք այս արտահայտությունը սահմանային դեպքերում:

1. Ցածր ջերմասահմաններ՝ $T \ll \theta_D$

Նկատի ունենալով (6.13) բանաձևամ օգտագործված

$$\coth \frac{t}{2} = 1 + \frac{2}{e^t - 1} \quad (6.17)$$

կապը, (6.16) արտահայտությունից կստանանք՝

$$\begin{aligned} \langle u^2 \rangle &= \frac{9\hbar^2 T^2}{2mk_B \theta_D^3} \int_0^{\theta_D/T} t \left(1 + \frac{2}{e^t - 1} \right) dt = \\ &= \frac{9\hbar^2 T^2}{2mk_B \theta_D^3} \left\{ \frac{1}{2} \left(\frac{\theta_D}{T} \right)^2 + 2 \int_0^{\theta_D/T} \frac{tdt}{e^t - 1} \right\}. \end{aligned} \quad (6.18)$$

Ինանգրալի մեջ հիմնական ներդրումը տալիս ևն փոքր՝ $t \approx 0$ արժեքները, ուստի վերին սահմանը կարելի է փոխարինել ∞ -ով: Նկատի ունենալով, որ

$$\int_0^\infty \frac{tdt}{e^t - 1} = \frac{\pi^2}{6} , \quad (6.19)$$

միջին քառակուսային շեղման համար կստանանք հետևյալ արտահայտությունը՝

$$\langle u^2 \rangle = \frac{9\hbar^2}{4mk_B \theta_D} + \frac{3\pi^2 \hbar^2 T^2}{2mk_B \theta_D^3} : \quad (6.20)$$

Եթե $T \rightarrow 0$, ապա $\langle u^2 \rangle$ -ն մնում է վերջավոր, ինչը սլայմանավորված է ատոմների զրոյական տատանումներով՝

$$\langle u^2 \rangle_0 = \frac{9\hbar^2}{4mk_B \theta_D} = \frac{9}{4} \cdot \frac{\hbar}{m\omega_D} = \frac{3k_B^2 \theta_D^2}{8\pi^2 \rho \hbar v^3} : \quad (6.21)$$

Եթե (6.21) բանաձևամ կատարենք $\hbar \rightarrow 0$ անցումը, ապա $\langle u^2 \rangle \rightarrow 0$, ինչը և ապացուցում է զրոյական տատանումների բվանային բնույթը: Համա-

Ճայն (6.21) բանաձևի, միջին քառակուսային շեղման մեծությունը հակադարձ համեմատական է աստղի զանգվածին և էական է հատկապես թերթ տարրերից կազմված բյուրեղներում: Աղյուսակ IV.2-ում բերված են (6.21) բանաձևով եաշվարկված $\tilde{u} = \sqrt{\langle u^2 \rangle}$ միջին շեղման, մոտակա հարեան-ների միջև a հեռավորության և \tilde{u}/a եարաքերական շեղման արժեքները մի քանի բյուրեղների համար: Բերված տվյալներից պարզ երևում է ն մեծության կախումը ատոմի զանգվածից: Ալմաստի համար, չնայած ածխածնի աստղի համեմատաքար փոքր զանգվածին, ն միջին շեղման փոքրությունը պայմանավորված է նրա արտակարգ բարձր Դերայի ջերմաստիճանով (մեծ ω_D -ով, ինչը հետևանք է ալմաստի կարծրության):

Աղյուսակ IV.2

Բյուրեղ	$m, 10^{-24}$ q	θ_0, K	$\tilde{u}, \text{Å}$	$a, \text{Å}$	\tilde{u}/a
Ne	33,51	63	0,293	3,155	0,093
Ar	66,33	85	0,179	3,756	0,048
Kr	139,1	63	0,144	3,993	0,036
Xe	217,9	55	0,123	4,313	0,028
C (ալմաստ)	19,92	~2000	0,067	1,540	0,019
Si	46,63	570	0,082	2,350	0,023
Ge	120,53	300	0,071	2,450	0,029
Na	38,17	160	0,172	3,659	0,047
K	64,92	130	0,146	4,525	0,032
Rb	141,91	70	0,134	4,837	0,028
Cu	105,50	310	0,074	2,556	0,029
Au	327,0	170	0,057	2,884	0,020
Al	44,80	400	0,101	2,863	0,035

2. Բարձր ջերմասահճաններ՝ $T \geq \theta_D$

(6.16) բանաձևում ինտեգրալի վերին սահմանը՝ $\theta_D/T \leq 1$, ուստի ընդհանուր արտահայտությունը վերածելով շարքի՝

$$t \operatorname{cht} \frac{t}{2} \approx t \left[\frac{2}{t} + \frac{1}{3} \cdot \frac{t}{2} - \frac{1}{45} \left(\frac{t}{2} \right)^3 + \dots \right] \approx 2 \left(1 + \frac{t^2}{12} - \frac{t^4}{720} + \dots \right)$$

և կատարելով անդամ առ անդամ ինտեգրում, կստանանք՝

$$\langle u^2 \rangle \approx \frac{9\hbar^2 T}{mk_B \theta_D^2} \left[1 + \frac{1}{36} \left(\frac{\theta_D}{T} \right)^2 + \dots \right] = \frac{9k_B T}{m\omega_D^2} \left[1 + \frac{1}{36} \left(\frac{\theta_D}{T} \right)^2 + \dots \right], \quad (6.22)$$

որը զուտ դասական արտահայտություն է (առանց երկրորդ փոքր գումարելու): Այն անմիջապես հետևում է (6.15) բանաձևից, եթե վերջինի մեջ անդադրենք միաչափ տատանակի էներգիայի $\varepsilon(\omega, T) = k_B T$ դասական արտահայտությունը:

Համեմատելով միջին բառակուսային շեղումները 0K-ում և բարձր ջերմաստիճաններում, (6.21) և (6.22) բանաձևերից կստանանք՝

$$\frac{\langle u^2 \rangle_0}{\langle u^2 \rangle} = \frac{1}{4} \cdot \frac{\theta_D}{T} \left[1 - \frac{1}{36} \left(\frac{\theta_D}{T} \right)^2 + \dots \right], \quad (6.23)$$

այսինքն՝ $T \approx \theta_D$ ջերմաստիճանում միջին բառակուսային շեղումը մեծացել է մոտ 4 անգամ:

Միջին բառակուսային շեղման (6.22) արտահայտության օգնությամբ կարելի է սահմանափակ պինդ մարմնի հալման չափանիշը (Լինդեման), որը կապ է հաստատում պինդ մարմնի հալման (T_m) և Դերայի (θ_D) ջերմաստիճանների միջև: Նորադրենք, T_m հալման ջերմաստիճանում միջին շեղումը կազմում է միջատոմական a_0 հեռավորության x մասը՝

$$\frac{\tilde{u}}{a_0} \equiv \frac{\sqrt{\langle u^2 \rangle}}{a_0} = x : \quad (6.24)$$

(6.22) և (6.24) արտահայտություններից հետևում է որոնելի կապը՝

$$\theta_D = \left(\frac{9\hbar^2}{mk_B a_0^2 x^2} \right)^{1/2} \cdot T_m^{1/2} : \quad (6.25)$$

Գնահատումների համաձայն, պինդ մարմինների մեծամասնության համար x մեծության արժեքներն ընկած են $0,2 \div 0,25$ ախրույթում:

§7*. Դեբայ-Ռուլերի գործոնը

Բյուրեղական ցանցի ջերմային աատանումներն ի հայա են զալիս նաև պինդ մարմնի հետ տարբեր տեսակի ճառագայթումների (օպակիկական, ունտղենյան, էլեկտրոնային, նեյարոնային) հետ փոխազդեցության ժամանակ:

Ուսումնասիրենք ունտղենյան ճառագայթների ցրումը պարզ ցանցի վրա: Ստայիկ ցանցի վրա դիֆրակցիայի դեպքում ունագենյան ճառագայթների ցրումն առաջական է, քանի որ ցրման հետևանքով փոփոխվում է միայն ունագենյան ալիքի $p = \hbar k$ խմանականությունը, բայց ոչ մեծությունը: Ինստինտիվության բրեզյան մաքսիմումները սաացվում են այն դեպքում, երբ ունագենյան ալիքի k ալիքային վեկտորի փոփոխաւությունը հավասար է հակադարձ ցանցի որևէ վեկտորի՝

$$K = k' - k = g, |k'| = |k|, \quad (7.1)$$

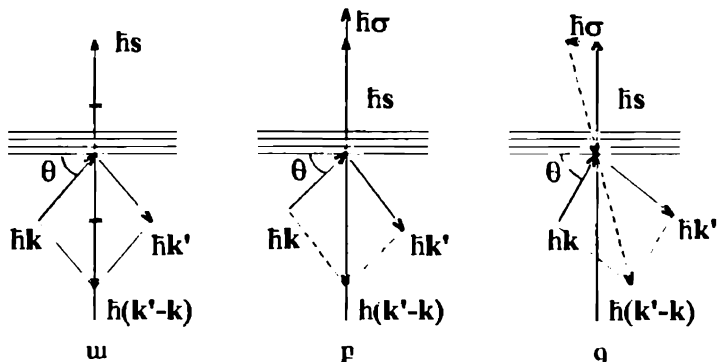
իսկ ցանցի կատուցվածքային գործոնը՝

$$S_K = \sum_l e^{i l K} = N \delta_{K,g}: \quad (7.2)$$

Առաջական ցրման հետ մեկտեղ ունագենյան ճառագայթները ցանցում կարող են ցրվել նաև ոչ առաջական ձևով, զրգուելով կամ մարելով որոշակի ցանցային տատանումներ, դրանով իսկ փոփոխելով ցանցի ներքին վիճակը: Այսպիսի ցրումներն ընդունված է անվանել ջերմային կամ դիֆուզ: Ունագենյան քվանտի էներգիան, որպես կանոն, մի քանի հազար էՎ-ի կարգի է, իսկ ցանցում տարածվող ալիքների առավելագույն էներգիան՝ $\hbar \omega_D = k_B \theta_D \sim 0,02 \div 0,03$ էՎ է, ուստի փոխազդեցության հետևանքով ունտղենյան ալիքի էներգիայի փոփոխաւությունը կարելի է հաշվի չառնել: Սակայն ՏկէՎ էներգիայով ունտղենյան քվանտի խմանակը՝ $\hbar \omega/c \sim (5000/3 \cdot 10^{10})$ էՎ·վ/սմ $\approx 0,167 \cdot 10^{-6}$ էՎ·վ/սմ, նույն կարգի է, ինչ որ միջավայրում տարածվող ալիքի խմանակը՝ $p \approx \hbar \omega_D/v \approx k_B \theta_D/v \sim$

$\sim (0,03/3 \cdot 10^5) E \cdot \psi / \text{ам} \approx 0,1 \cdot 10^{-6} E \cdot \psi / \text{ам}$, հետևաբար, ջերմային ցրման ժամանակ ունտղենյան քվանտի խմանությունը կարող է զգալիորեն փոփոխվել:

Նկ. IV.18-ում պատկերված են ունտղենյան ճառագայթների բրեզյան (ա) և ջերմային ցրումները լայնական (բ) և երկայնական (զ) ալիքների վրա, $\hbar s$ -ը՝ ցանցի, $\hbar\sigma$ -ն՝ տառանձնան խմանությունը է, $\hbar k$ և $\hbar k'$ -ը՝ ունտղենյան քվանտինը՝ ցրումից առաջ և հետո: Բրեզյի θ անլյան տակ ընկնող ունտղենյան քվանտների որոշ մասը միշտ կրում է ջերմային ցրում, որի հետևանքով նվազում է անդրադարձած ունտղենյան փնչի ինտենսիվությունը: Որոշներ այդ նվազումը բնութագրող մեծությունը:



Նկ. IV.18

Ինչպես հայտնի է, ցրված փնչի ինտենսիվությունը համեմատական է ցանցի կառուցվածքային գործոնի մոդուլի քառակուսուն: Որևէ n հանգույցի աստղի դիրքը t պահին տրվում է

$$R_n(t) = n + u_n(t) \quad (7.3)$$

վեկտորով, ուստի դինամիկ ցանցի կառուցվածքային գործոնի համար կարող ենք գրել՝

$$|S_K|^2 = \left| \sum_n e^{i K R_n(t)} \right|^2 = \sum_{n,n'} e^{i K(n-n')} \cdot e^{i K(u_n - u_{n'})} : \quad (7.4)$$

Գտնենք այս արտահայտության միջինը ջերմային հավասարակշռության վիճակում:

Ցանցի պոտենցիալ էներգիան u_n շեղումների քառակուսային ֆունկցիա է: Եթե u_n շեղումներից անցնենք α , նորմալ կոօրդինատներին, ապա պոտենցիալ էներգիայի համար կստանանք (6.9) արտահայտությունը, որը տեղադրելով վիճակագրական բաշխման ֆունկցիայի բանաձևում, կստանանք առանձին α , փոփոխականներից կախված զարույան ֆունկցիաների արտադրյալ: Միջինացնենք $\exp(i\kappa s)$ ֆունկցիան ըստ s փոփոխականից կախված զարույան ֆունկցիայի (անս Հավելված 2)

$$f(s) = A \exp\left(-\frac{s^2}{2\langle s^2 \rangle}\right) \equiv A \exp(-\alpha s^2) \quad (7.5)$$

(κ գործակիցն ապահովում է κs մեծության անշափ լինելը, A -ն նորմավորման հաստատունն է)

$$\langle \exp(i\kappa s) \rangle = \int_{-\infty}^{\infty} e^{i\kappa s} \cdot e^{-\alpha s^2} ds / \int_{-\infty}^{\infty} e^{-\alpha s^2} ds = e^{-\frac{\kappa^2}{4\alpha}} \equiv e^{-\frac{1}{2}\kappa^2 \langle s^2 \rangle} :$$

Հնդիանուր դեպքում, եթե κs արտադրյալի փոխարեն էքսպոնենտի արգումենտում զրկած է κs սկալյար արտադրյալը, ապա տևողի ունի

$$\langle e^{i(\kappa s)} \rangle = e^{-\frac{1}{2}\kappa^2 \langle s^2 \rangle} \quad (7.6)$$

առնչությունը: (7.4) և (7.6) արտահայտությունների համաձայն,

$$\begin{aligned} \langle |S_K|^2 \rangle &= \sum_{n, n'} e^{iK(n-n')} \cdot \langle e^{iK(u_n - u_{n'})} \rangle = \\ &= \sum_{n, n'} e^{iK(n-n')} \cdot \exp\left\{-\frac{1}{2} \langle [K(u_n - u_{n'})]^2 \rangle\right\} \end{aligned} \quad (7.7)$$

Այժմ ծևափոխնենք (7.7) արտահայտության երկրարդ արտադրիչի ցուցիչը, նրանում u_n շեղումներից անցնելով α , նորմալ կոօրդինատներին՝

$$\begin{aligned} \langle [K(u_n - u_{n'})]^2 \rangle &= \frac{1}{Nm} \sum_{qq', jj'} [Ke_j(q)] [Ke_j^*(q)] \langle a_j(q, t) a_{j'}^*(q, t) \rangle \times \\ &\times (e^{iqn} - e^{iq'n'}) (e^{-iq'n} - e^{-iq'n'}) : \end{aligned} \quad (7.8)$$

Եթե (jq) հավաքածուն տարբերվում է $(j'q')$ հավաքածուից, ապա

$a_j(\mathbf{q}, t)$ և $a_{j'}^*(\mathbf{q}', t)$ մեծություններն անկախ են, ուստի, համաձայն (6.2) բանաձևի,

$$\langle a_j(\mathbf{q}, t) a_{j'}(\mathbf{q}', t) \rangle = \begin{cases} \langle a_j(\mathbf{q}, t) \rangle \cdot \langle a_{j'}^*(\mathbf{q}', t) \rangle = 0, & (j\mathbf{q}) \neq (j'\mathbf{q}') \\ \langle |a_j(\mathbf{q}, t)|^2 \rangle, & (j\mathbf{q}) = (j'\mathbf{q}') \end{cases}$$

այսինքն՝

$$\langle a_j(\mathbf{q}, t) a_{j'}(\mathbf{q}', t) \rangle = \delta_{jj'} \delta_{\mathbf{q}\mathbf{q}'} \langle |a_j(\mathbf{q}, t)|^2 \rangle : \quad (7.9)$$

(7.8) և (7.9) արտահայտությունների համաձայն

$$\langle [K(u_n - u_{n'})]^2 \rangle = \frac{2}{Nm} \sum_{\mathbf{q}, j} \left| K e_j(\mathbf{q}) \right|^2 \langle |a_j(\mathbf{q}, t)|^2 \rangle [1 - \cos q(n - n')]: \quad (7.10)$$

Ի վերջո, (7.7), (7.10) և (6.12) առնչությունների օգնությամբ, դիմամիկ ցանցի կողմից ցրված փնջի ինտենսիվության համար ստացվում է հետևյալ արտահայտությունը՝

$$I_d = I_s \cdot e^{-2W} \cdot \frac{1}{N^2} \sum_{n, n'} \exp \left\{ i K(n - n') + \right. \\ \left. + \frac{1}{Nm} \sum_{\mathbf{q}, j} \left| K e_j(\mathbf{q}) \right|^2 \frac{\epsilon_{qj}}{\omega_j^2(\mathbf{q})} \cos q(n - n') \right\} \quad (7.11)$$

որտեղ

$$W \equiv W(K) = \frac{1}{2Nm} \sum_{\mathbf{q}, j} \left| K e_j(\mathbf{q}) \right|^2 \frac{\epsilon_{qj}}{\omega_j^2(\mathbf{q})}, \quad (7.12)$$

իսկ I_s -ը ստատիկ ցանցի կողմից ցրված փնջի ինտենսիվությունն է: $\exp(-2W)$ արտադրիչը նկարագրում է ատոմների ջերմային տատանումների հետևանքով ցրված փնջի ինտենսիվության նվազումը և կոչվում է Դերայ-Ուլերի գործուն:

Ցրված փնջի ինտենսիվության նվազման երևույթը որակապես կարենի է բացարեկ հետևյալ կերպ: Ինչպես զիտենք (I.6), ատոմի վերջավոր շափերով պայմանավորված ինտերֆերենցիան երևույթները փոքրացնում են ատոմի՝ ռենտգենյան ճառագայթներ ցրելու ունակությունը: Զերմային տատանումների հետևանքով ատոմը «լղոզվում» է ավելի մեծ ափրույթով, քան

իր սեփական ծավալն է, այսինքն՝ տեղի է ունենում ատոմի ծավալի «արդյունարար» աճ, ինչը բերում է ատոմի ցրող ոնակության հետագա փոքրացման և ցրված փնջի ինտենսիվության նվազման:

Դեբայ-Ուոլերի W գործոնի (7.12) արտահայտությունը զգալիորեն պարզեցվում է խորանարդային բյուրեղների դեպքում, երբ յուրաքանչյուր բևեռացման վեկտորի համար միջին հաշվով

$$\left[\mathbf{K} \cdot \mathbf{e}_J(\mathbf{q}) \right]^2 = \frac{1}{3} K^2 : \quad (7.13)$$

Նկատի ունենալով (6.13) բանաձևը, կստանանք՝

$$2W = \frac{K^2}{3Nm} \sum_{\mathbf{q}, J} \frac{\epsilon_{\mathbf{q}, J}}{\omega_J^2(\mathbf{q})} = \frac{K^2}{3} \langle u^2 \rangle = K^2 \langle u_\alpha^2 \rangle, \alpha = x, y, z \quad (7.14)$$

որտեղ օգտվել ենք շեղման պրոյեկցիաների քառակուսային միջինների հավասարությունից՝

$$\langle u_x^2 \rangle = \langle u_y^2 \rangle = \langle u_z^2 \rangle = \frac{1}{3} \langle u^2 \rangle : \quad (7.15)$$

Համաձայն (7.14) և (6.13) բանաձևերի, ջերմաստիճանի բարձրացմանը գուգընթաց դիֆրակցիան զծի ինտենսիվությունը նվազում է, ընդ որում այդ նվազումը հատկապես զգալի է մեծ ալիքային վեկտորներով անդրադարձումների համար:

Նկատի ունենալով միջին քառակուսային շեղումների փոքրությունը, (7.11) արտահայտության երկրորդ երսպոնենտը վերածենք շարքի՝

$$I_d = e^{-2W} (I_0 + I_1 + \dots), \quad (7.16)$$

որտեղ կատարված են հետևյալ նշանակումները՝

$$I_0 = \frac{I_s}{N^2} \sum_{n, n'} e^{i\mathbf{K}(n - n')}, \quad (7.17)$$

$$I_1 = \frac{I_s}{mN^3} \sum_{n, n', \mathbf{q}, J} e^{i\mathbf{K}(n - n')} \left| \mathbf{K} \mathbf{e}_J(\mathbf{q}) \right|^2 \frac{\epsilon_{\mathbf{q}, J}}{\omega_J^2(\mathbf{q})} \cos q(n - n') : \quad (7.18)$$

Եթե օգտվենք (7.2) արտահայտությունից, ապա (7.17) առնչությունից կստանանք՝

$$I_0 = I_s \cdot \delta_{\mathbf{K}, \mathbf{0}}, \quad (7.19)$$

որտեղ g -ն հակադարձ ցանցի կամայական վեկտոր է: Ըստ (7.19) բանաձևի, ցրումը տևիլի է ունենում միմիայն Բրեզի պայմանին՝ $K = g$ հավասարմանը բավարարող ուղղությամբ (առաջական ցրում): Նկատի ունենալով (7.18) արտահայտության գույգությունն ըստ q -ի, ինչպես նաև (7.2) պայմանը, որոշ ձևափոխություններից հետո I_1 -ի համար կստանանք՝

$$I_1 = \frac{I_s}{mN} \sum_j |Ke_j(q)|^2 \frac{\varepsilon_{qj}}{\omega_j^2(q)}, \quad K + q = g, \quad (7.20)$$

որն իրենից ներկայացնում է ոչ առաջական ցրման ինտենսիվությունը և, ի տարրերարյուն առաջական ցրման, գլուխ տարրեր է հակադարձ տարածության բոլոր կետերում: Այն բաշխված է անհավասարաչափ, քանի որ եթե $q \rightarrow 0$ կամ $g, \omega_j(q) \rightarrow 0$ ճայնային ճյուղերի համար, և ոչ առաջական (դիֆուզ) ցրման ինտենսիվությունը կտրակ աճում է: Ընդհակառակը, օպտիկական ճյուղերի ներդրումը դիֆուզ ցրման մեջ չունի նման մաքսիմումներ և հակադարձ տարածության մեջ բաշխված է ավելի հավասարաչափ:

Ստացված (7.20) արտահայտությունը հնարավորաբերյուն է տալիս, վիրճում չափելով I_1 մեծարյունը, զնահատել $\omega_j(q)$ հաճախությունը, որի ալիքային q վեկտորը որոշվում է ցրման անլյան միջոցով և, հետևաբար, որոշել դիսպերժուն հավասարման ճյուղերը:

§8. Տատանումների աներդաշնակությամբ պայմանավորված երևայրներ բյուրեղներում

Բյուրեղական ցանցի դինամիկան ներդաշնակ մոտավորաբերյան հիմքում ընկած է ցանցի հանգույցների, որպես հավասարակշռության դիրքերի, շուրջ տատանվող ատոմների առավելագույն շեղման փոքրությունը միջատումական հեռավորությունից: Անզամ հալման ջերմաստիճանում $\sqrt{\langle u^2 \rangle}/a$ հարաբերաբերյունը չի գերազանցում 0,25 արժեքը, ուստի եթե ջերմաստիճանը զգալի ցածր է պինդ մարմնի հալման ջերմաստիճանից, ապա ներդաշնակ մոտավորաբերյունը մեծ ճշտությամբ բացասարում է

փորձի արդյունքները (բացառությամբ պինդ հելլիումի): Նշված պայմաններում պոսիտիվիալ էներգիայի վերլուծության մեջ շեղումների խորանարդին և ավելի բարձր կարգի աստիճաններին համեմատական անդամները կարող են միայն ոչ էական ճշգրտումներ մտցնել հաշվարկներում: Սակայն կան բազմաքիչ ֆիզիկական երևույթներ, ինչպես հավասարակշռական, այնպես էլ անհավասարակշռական, որոնք սկզբունքորեն չեն կարող բացադրվել ներդաշնակ մոավորության շրջանակներում, քանի որ դրանք պայմանավորված են աստվածների փոխազդեցության պոտենցիալ էներգիայի աններդաշնակ՝ խարանարդային և ավելի բարձր կարգի անդամներով: Դրանց քվին են պատկանում այնպիսի հավասարակշռական երևույթներ, ինչպիսիք են՝ ջերմային ընդարձակումը, տարրեր ջերմունակությունների ($C_P \neq C_V$) գոյությունը, բարձր ջերմաստիճաններում ջերմունակության՝ ջերմաստիճանից կախված զծային աճը (շեղումը Դյուլոնգի և Պտիի օրենքից), բյուրեղի առածզական հաստատունների ջերմաստիճանային կախումը և այլն:

Աններդաշնակությամբ պայմանավորված անհավասարակշռական երևույթներից առաջին հերթին անհրաժեշտ է նշել ցանցային ջերմահաղորդականության պայմանավորված որոշ հավասարակշռական երևույթներ:

Այժմ ուսումնասիրելունք ցանցային տատանումների աններդաշնակությամբ պայմանավորված որոշ հավասարակշռական երևույթներ:

Ընդեմնուր դեպքում ցանցի պոտենցիալ էներգիայի աններդաշնակ մասը կարելի է ներկայացնել հետևյալ տեսքով՝

$$\Phi_a = \sum_{n=3}^{\infty} \Phi_n = \sum_{n=3}^{\infty} \frac{1}{n!} \sum_{\substack{k_1, \dots, k_n \\ I_1, \dots, I_n \\ \lambda_1, \dots, \lambda_n}} \Phi_{\lambda_1, \dots, \lambda_n}^{(n)} \binom{k_1, \dots, k_n}{I_1, \dots, I_n} u_{\lambda_1}^{k_1}(I_1) \cdots u_{\lambda_n}^{k_n}(I_n) \quad (8.1)$$

որտեղ

$$\Phi_{\lambda_1, \dots, \lambda_n}^{(n)} \binom{k_1, \dots, k_n}{I_1, \dots, I_n} \equiv \left(\frac{\partial^n \Phi}{\partial u_{\lambda_1}^{k_1}(I_1) \partial u_{\lambda_2}^{k_2}(I_2) \cdots \partial u_{\lambda_n}^{k_n}(I_n)} \right)_0 \quad (8.2)$$

մեծությունները պոտենցիալ էներգիայի ածանցյալներն են հավասարակշռության դիրքերում («ուժային հաստատուններ»):

Մասնավորապես, պարզ ցանցի դեպքում ($k = 1$)

$$\Phi_3 = \frac{1}{3!} \sum_{\substack{l_1, l_2, l_3 \\ \lambda_1, \lambda_2, \lambda_3}} \Phi_{\lambda_1, \lambda_2, \lambda_3}^{(3)}(l_1, l_2, l_3) u_{\lambda_1}(l_1) u_{\lambda_2}(l_2) u_{\lambda_3}(l_3), \quad (8.3)$$

$$\Phi_4 = \frac{1}{4!} \sum_{\substack{l_1, \dots, l_4 \\ \lambda_1, \dots, \lambda_4}} \Phi_{\lambda_1, \dots, \lambda_4}^{(4)}(l_1, \dots, l_4) u_{\lambda_1}(l_1) u_{\lambda_2}(l_2) u_{\lambda_3}(l_3) u_{\lambda_4}(l_4); \quad (8.4)$$

Սովորաբար, ելնելով շեղումների փոքրության մասին ենթադրությունից, (8.1) վերլուծության մեջ պահպում է միայն Φ_3 խորանարդային անդամը, սակայն պետք է նկատի ունենալ, որ այդպիսի մուտքումը մաքենատիկորեն հիմնավորված չէ: Բայն այն է, որ միայն խորանարդային անդամով համիլտոնիանն անկայուն է, այսինքն, ընտրելով համապատասխան ձևով μ -ն, այն կարելի է դարձնել կամայական չափով մեծ և բացասական: Ավագածից եետևում է, որ Φ_3 աններդաշնակ անդամով համիլտոնիանը չունի հիմնական վիճակ, ուստի խնդրի սկզբնական մաքենատիկական կոռեկտուրյուն ապահովելու համար անհրաժեշտ է վերլուծության նաև չորրորդ՝ Φ_4 անդամի հաշվառումը: Որոշ դեպքերում Φ_4 անդամի հաշվառման անհրաժեշտությունը բխում է նաև պահպանման օրենքներից:

Հետազա հաշվարկներամ կարևոր դեր է խաղում պինդ մարմնի վիճակի հավասարումը, որը տրվամ է

$$P = - \left(\frac{\partial F}{\partial V} \right)_T \quad (8.5)$$

թերմոդինամիկական առնչությամբ, որտեղ $F \equiv F(T, V, N)$ մեծությունը համակարգի ազատ էներգիան է: Այն արտահայտվում է ներքին էներգիայի միջոցով Գիբս-Հելմիոլցի հավասարամույնությամբ:

$$U = F - TS = F + T \left(\frac{\partial F}{\partial T} \right)_V = - \left(\frac{\partial}{\partial T} \frac{F}{T} \right)_V, \quad (8.6)$$

որտեղից

$$F = -T \int_0^T \frac{U}{T'^2} dT' = U - T \int_0^T \frac{dT'}{T'} \left(\frac{\partial U}{\partial T} \right)_V = U - T \int_0^T \frac{C_V dT'}{T'} : \quad (8.7)$$

(8.7) արտահայտության մեջ ինտեգրման հաստատումն ընտրված է թերմո-դիմամիկայի III օրենքի համաձայն՝ երբ $T \rightarrow 0$, համակարգի էնտրոպիան՝ $S \rightarrow 0$: Տեղադրելով (8.7) բանաձևում ջերմունակության (2.16) արտահայտությունը և կատարելով մասերով ինտեգրում, պինդ մարմնի ազատ էներգիայի համար կստանանք՝

$$F = E_0 + k_B T \sum_{q,j} \ln \left[1 - \exp \left(-\frac{\hbar \omega_j(q)}{k_B T} \right) \right], \quad (8.8)$$

որտեղ E_0 էներգիան կախված չէ շերմաստիճանից և տրվամ է (2.7) առնչությամբ: Նշենք, որ (8.8) արտահայտությունը կարելի է ստանալ անմիջականորեն, օգտվելով վիճակագրական ֆիզիկայի հիմնական բանաձևից, որը կապ է հաստատում համակարգի ազատ էներգիայի և վիճակագրական գումարի միջև:

(8.8) և (8.5) արտահայտություններից հետևում է, որ

$$P = - \left(\frac{\partial E_0}{\partial V} \right)_T + \sum_{q,j} \left[- \frac{\partial (\hbar \omega_j(q))}{\partial V} \right] \left[\exp \left(\frac{\hbar \omega_j(q)}{k_B T} \right) - 1 \right]^{-1}: \quad (8.9)$$

Առաջին անդամը պայմանավորված է հավասարակշռության դիրքերում գտնվող ատոմների վիճակնեցությամբ և գրայական տատանումներով, իսկ երկրորդ անդամը պայմանավորում է ճնշման ջերմաստիճանային կախումը, որը հնարավոր է միայն հաճախության ծավալային կախման շնորհիվ:

Դժվար չէ համոզվել, որ ներդաշնակ մոտավորաբարյան շրջանակներում հաճախությունը կախված չէ մարմնի ծավալից, ուստի և ճնշմանը կախված չէ ջերմաստիճանից: Իրոք, ներդաշնակ տատանումների հաճախությանները պրաշվում են բյուրեղի դիմամիկական մասրիցի տարրերով, որոնք, իրենց հերթին, արտահայտվում են պրաենցիալ էներգիայի II կարգի ածանցյալների՝ հավասարակշռության դիրքերում ունեցած արժեքներով (տես III.5.12, III.5.13) և կախված չեն ատոմների դիրքերից, հետևաբար և համակարգի ծավալից:

Այժմ եաշլի առնենք պատենցիալ էներգիայի աներդաշնակությունը, պահենով Φ_3 և Φ_4 անդամները, միաժամանակ, պարզության համար դի-

տարկելով միաչափ ցանցի մոդել՝

$$\Phi = \Phi_0 + \frac{1}{2!} \sum_{i,j} \left(\frac{\partial^2 \Phi}{\partial u_i \partial u_j} \right)_0 u_i u_j + \frac{1}{3!} \sum_{i,j,k} \left(\frac{\partial^3 \Phi}{\partial u_i \partial u_j \partial u_k} \right)_0 u_i u_j u_k + \dots + \frac{1}{4!} \sum_{i,j,k,l} \left(\frac{\partial^4 \Phi}{\partial u_i \partial u_j \partial u_k \partial u_l} \right)_0 u_i u_j u_k u_l : \quad (8.10)$$

II կարգի ածանցյալների համար (8.10) արտահայտությունից կստանանք՝

$$\frac{\partial^2 \Phi}{\partial u_i \partial u_j} = \left(\frac{\partial^2 \Phi}{\partial u_i \partial u_j} \right)_0 + \sum_k \left(\frac{\partial^3 \Phi}{\partial u_i \partial u_j \partial u_k} \right)_0 u_k + \sum_{k,l} \left(\frac{\partial^4 \Phi}{\partial u_i \partial u_j \partial u_k \partial u_l} \right)_0 u_k u_l \quad (8.11)$$

համաձայն որի, աններդաշնակության հաշվառումը համարժեք է $\left(\frac{\partial^2 \Phi}{\partial u_i \partial u_j} \right)_0$ հաստատունները ատոմական և, շեղումներից և, դրանով իսկ, միաչափ շղթայի երկարությունից կախված $\frac{\partial^2 \Phi}{\partial u_i \partial u_j}$, ֆունկցիաներով փոխարինելուն: Այսպիսով, կարելի է պահպանել ներդաշնակ մոտավորության պարզությունը և, մյուս կողմից, հաշվի առնել աններդաշնակության առկայությունը, ենթադրելով, որ ուժային «հաստատունները» կախված են ցանցի երկարությունից (եռաչափ ցանցում՝ ծավալից): Արդյունքում ուժային հաստատունների միջոցով արտահայտվող $\omega_r(q)$ հաճախարժեքունները կախված կլինեն համակարգի ծավալից: Այս մոտավորությունը հայտնի է որպես քվազիներդաշնակ մուտավորություն:

Նորմալ մոդերի հաճախարժեքունների կախումը ծավալից կարելի է բացատրել հետևյալ դաստիճարությունների օգնությամբ: Համաձայն III.5.15 բնութագրական հավասարման, ուժային հաստատունների մեծացման հետ $\omega_r(q)$ հաճախարժեքունները մեծանում են: Միջատոմական հեռավորությունների փոքրացման հետ փոխազդեցության էներգիայի կորի քերարյունն անընդհատ մեծանում է (անս, օրինակ՝ նկ. II.5), հետևաբար, մեծանում են և էներգիայի II կարգի ածանցյալները՝ ուժային հաստատունները: Այսպիսով, ծավալի փոքրացման հետ նորմալ մոդերի հաճախարժեքունները մեծանում են: Հակառակը, ծավալը մեծացնելիս հաճախարժեքունները փոքրանում են,

այսինքն՝

$$\frac{d\omega_j(q)}{dV} < 0 : \quad (8.12)$$

Հետևելով Գրյունայգենին, կենքադրենք, որ հաճախարժան ածանցյալն ըստ ծավալի միևնույնն է բոլոր մոդերի համար և նրա միջոցով կսահմանենք Գրյունայգենի հաստատությունը՝

$$\gamma = -\frac{V}{\omega_j} \frac{d\omega_j}{dV} \equiv -\frac{d \ln \omega_j}{d \ln V}, \quad (8.13)$$

որը չափագուրկ, դրական մեծություն է: Այս սահմանման համաձայն, հաճախարժանը ծավալից կախված է

$$\omega_j \sim V^{-\gamma} \quad (8.14)$$

օրենքով: γ մեծությունը դիտվում է որպես պարամետր, որը որոշվում է վարձից:

Նկատի ունենալով γ պարամետրի (8.13) սահմանումը, (8.9) արտահայտությունից ճշշման համար կստանանք՝

$$P = \left(\frac{\partial E_0}{\partial V} \right)_T + \frac{1}{V} \sum_{q,j} \left(-\frac{V}{\omega_j} \frac{d\omega_j}{dV} \right) \frac{\hbar \omega_j(q)}{e^{\hbar \omega_j(q)/k_B T} - 1} = \left(\frac{\partial E_0}{\partial V} \right)_T + \frac{\gamma}{V} (U - E_0), \quad (8.15)$$

որն իրենից ներկայացնում է պինդ մարմնի վիճակի հավասարումը (Գ.Սի, Է.Գրյունայգեն): Հավասարման երկրորդ անդամը համեմատական է $U - E_0$ ջերմային էներգիային և ջերմաստիճանի աճման հետ մեծանում է:

Վիճակի (8.15) հավասարման օգնությամբ կարելի է կապ հաստատել պինդ մարմինը բնուրագրող տարրեր մեծությունների միջև: Դրա համար օգտվենք P, V, T պարամետրերի միջև կապից բլտու հայտնի թերմոդինամիկական առնչությունից՝

$$\left(\frac{\partial P}{\partial T} \right)_V \left(\frac{\partial T}{\partial V} \right)_P \left(\frac{\partial V}{\partial P} \right)_T = -1 : \quad (8.16)$$

Նկատի ունենալով ջերմային ծավալային ընդարձակման α գործակցի և իզոքերմական սեղմելիության β_T գործակցի սահմանումները՝

$$\alpha = \frac{1}{V} \left(\frac{\partial V}{\partial T} \right)_P, \quad \beta_T = \beta = - \frac{1}{V} \left(\frac{\partial V}{\partial P} \right)_T, \quad (8.17)$$

ինչպես նաև վիճակի (8.15) հավասարումից հետևադ

$$\left(\frac{\partial P}{\partial T} \right)_V = \frac{\gamma}{V} \cdot \left(\frac{\partial U}{\partial T} \right)_V = \gamma \frac{C_V}{V} \quad (8.18)$$

կապը, (8.16)-(8.18) բանաձևերից կստանանք՝

$$\alpha = \gamma \frac{\beta C_V}{V} \quad (8.19)$$

առնչությունը, որը հայտնի է որպես Գրյունայգենի հավասարում: Այն կարելի է օգտագործել γ պարամետրը հաշվելու համար, քանի որ մնացած բոլոր բնութագրերը՝ α -ն, β -ն և C_V -ն, փորձում անմիջականորեն չափվող մեծություններ են: γ պարամետրի արժեքները որոշ տարրերի համար

տրված են Աղյուսակ IV.3-ում (փակազգերում նշված է զերմաստիճանի փոփոխման տիրույթը):

Համաձայն Գրյունայգենի հավասարման, զերմային ընդարձակումը լրիվ պայմանավորված է աններդաշնակությամբ՝ $\alpha = 0$, եթե $\gamma = 0$, այսինքն, եթե $\omega_j(q)$ հաճախությունները կախված չեն պինդ մարմնի ծավալից, ինչը տեղի ունի ներդաշնակ մոտավորության շրջանակներում:

Սեղմելիության (8.17) սահմանումից և վիճակի (8.15) հավասարումից կարելի է սահմանալ սեղմելիության հակադարձ մեծության (ծավալային սեղմման մոդուլի) արևահայտությունը՝

$$\frac{1}{\beta} = V \left(\frac{\partial^2 E_0}{\partial V^2} \right)_T + \frac{\gamma(\gamma+1)}{V} (U - E_0) - \frac{\gamma^2 C_V T}{V} : \quad (8.20)$$

Համաձայն (8.15), (8.19) և (8.20) բանաձևերի, Գրյունայզենի հաստատունի ներմուծումը հնարավորություն է ընծեռում վիճակի հավասարումը և նրա հետ կապված α և β բնութագրերն արտահայտել ջերմային հատկությունները նկարագրող մեծությունների՝ ներքին էներգիայի և ջերմունակության միջոցով, օգտագործելով նրանց տեսական հաշվարկների արդյունքները:

Դեբայի տեսության շրջանակներում վիճակի հավասարումը և սեղմնալությունը ստացվում են ներքին էներգիայի (4.23) և ջերմունակության (4.24) բանաձևերի օգնությամբ՝

$$P = - \left(\frac{\partial E_0}{\partial V} \right)_T + \gamma \frac{3Nk_B\theta_D}{V} D_E \left(\frac{\theta_D}{T} \right), \quad (8.21)$$

$$\frac{1}{\beta} = V \left(\frac{\partial^2 E_0}{\partial V^2} \right)_T + \frac{\gamma(\gamma+1)}{V} 3Nk_B\theta_D D_E \left(\frac{\theta_D}{T} \right) - \gamma^2 \frac{3Nk_B T}{V} D \left(\frac{\theta_D}{T} \right). \quad (8.22)$$

Այժմ պարզենք զրոյական տատանումների էներգիայի կախումը համակարգի ծավալից: Նկասի ունենալով (2.7) արտահայտությունը և ըստ մոդերի գումարից անցնելով ինսենգրալի, կստանանք՝

$$\begin{aligned} E_0 &= \Phi_0 + \frac{1}{2} \sum_{j=1}^3 \sum_{\mathbf{q}} \hbar \omega_j(\mathbf{q}) = \Phi_0 + \frac{9N\hbar}{2\omega_D^3} \int_0^{\omega_D} \omega^3 d\omega = \\ &= \Phi_0 + \frac{9}{8} N \hbar \omega_D = \Phi_0 + \frac{9}{8} N k_B \theta_D. \end{aligned} \quad (8.23)$$

Ածանցելով (8.23) արտահայտությունն ըստ ծավալի և նկատի ունենալով (8.13) սահմանումը, կստանանք

$$\left(\frac{\partial E_0}{\partial V} \right)_T = \left(\frac{\partial \Phi_0}{\partial V} \right)_T - \gamma \frac{9Nk_B\theta_D}{8V}, \quad (8.24)$$

$$\left(\frac{\partial^2 E_0}{\partial V^2} \right)_T = \left(\frac{\partial^2 \Phi_0}{\partial V^2} \right)_T + \gamma(\gamma+1) \frac{9Nk_B\theta_D}{8V^2}, \quad (8.25)$$

որոնց համաձայն զրոյական տատանումներով պայմանավորված ներդրումները ծավալից կախված են $V^{-(\gamma+1)}$ օրենքով: Ջերմաստիճանը բարձրացնելիս ջերմային ընդարձակման հետևանքով այս ներդրումները փորձանում են, նվազում են նաև (8.24) և (8.25) արտահայտությունների առա-

չին անդամները:

$$\text{Եթե } T = 0\text{K}, D_E(\theta_D/T) = D(\theta_D/T) = 0 \text{ և} \\ \frac{1}{\beta_0} = V \left(\frac{\partial^2 E_0}{\partial V^2} \right)_{T=0} : \quad (8.26)$$

Մյուս կողմից, եթե $T \rightarrow 0\text{K}$, $C_V \sim T^3$, ուստի, համաձայն Գրյունայզենի (8.19) հավասարման

$$\alpha \sim C_V \sim T^3 : \quad (8.27)$$

U_0 պոտենցիալ էներգիան նվազագույնն է $T = 0\text{K}$ -ում և քանի որ $\alpha \rightarrow 0$, եթե $T \rightarrow 0$, ապա (8.25) բանաձևի I գումարելին շատ քոյլ ջերմաստիճանային կախում կունենա: Հետևաբար, $1/\beta$ մեծության ջերմաստիճանային կախումը $T \ll \theta_D$ տիրույթում պայմանավորված կլինի (8.22) արտահայտության II և III գումարելիներով: Օգտվելով (4.34) և (4.35) բանաձևերից, հեշտությամբ կստանանք սեղմելիության ջերմաստիճանային կախումն արտահայտող բանաձևը $T \ll \theta_D$ տիրույթում՝

$$\frac{1}{\beta} = \frac{1}{\beta_0} - \frac{9\pi^4 \gamma (\gamma - 1) N k_B \theta_D}{5V} \left(\frac{T}{\theta_D} \right)^4 : \quad (8.28)$$

Բարձր՝ $T > \theta_D$ ջերմաստիճաններում ջերմոնակությունը ձգուում է հաստատուն արժեքի, ուստի ջերմային ընդարձակման գործակիցը կունենա վերջավոր հաստատուն արժեք՝ $\alpha = const$: Արդյունքում ջերմաստիճանի փոփոխման հետ (8.22) բանաձևում կփոփոխվի $1/\beta$ մեծության և առաջին, և երկրորդ գումարելին: Զերմային ընդարձակման հետևանքով իրարից հեռացող ատամների փոխազդեցության էներգիան կփոքրանա, հետևաբար, կփոքրանա I գումարելու ներդրումը $1/\beta$ -ում: Մյուս կողմից, ներքին էներգիայով պայմանավորված II և III անդամների գումարը ջերմաստիճանի բարձրացման հետ մեծանում է ($\sim T$ -ին): Առաջին գործոնը բերում է բյուրեղի սեղմելիության մեծացմանը (ցանցի «փափկեցմանը»), իսկ երկրորդը՝ սեղմելիության փոքրացմանը (ցանցի «կրշտացմանը»): Փորձից հետևում է, որ գերակշռում է առաջին գործոնը, և ջերմաստիճանը բարձրացնելիս ցանցի սեղմելիությունն աճում է:

Աներդաշնակությամբ է պայմանավորված նաև պինդ մարմնի՝ հաստատուն ճնշման դեպքում (C_P) և հաստատուն ծավալի դեպքում (C_V) ունեցած ջերմունակությունների տարրերությունը:

C_P և C_V ջերմունակությունները կապված են հետևյալ ընդհանուր բերմողինամիկական առնչությամբ՝

$$C_P - C_V = TV \frac{\alpha^2}{\beta} : \quad (8.29)$$

Օգտվելով Գյունայզենի (8.19) հավասարումից, (8.29) արտահայտության փոխարեն կրկնենանք՝

$$\frac{C_P - C_V}{C_V} = \gamma \cdot \alpha \cdot T : \quad (8.30)$$

Ցածր՝ $T \ll \theta_D$ ջերմաստիճաններում $\gamma \alpha T \sim T^4 \rightarrow 0$, և C_P և C_V ջերմունակությունները գործնականորեն իրարից չեն տարբերվում: Այդ տարբերությունը փոքր է անգամ բարձր ջերմաստիճաններում, ինչը հետևանք է ջերմային ընդարձակման գործակցի համեմատաբար փոքր արժեքի (սես Աղյուսակ IV.3): Իրոք, եթե $T \sim 1000\text{K}$, $\alpha \sim 10^{-5}\text{K}^{-1}$, ապա $\gamma \alpha T \approx 0,02$, այսինքն՝ C_P -ն C_V -ից տարբերվում է մի քանի տոկոսով: Ակնհայտ է, որ $\gamma = 0$ դեպքում (ներդաշնակ մոտավորություն) $C_P = C_V$: Պինդ մարմնի առաձգական հաստատունների ջերմաստիճանային կախումը նույնանուն ենթական է ուժային հաստատունների՝ աններդաշնակության հետևանքով ծավալից ունեցած կախման, ուստի $\alpha = 0$ դեպքում վերանում է նաև առաձգական հաստատունների կախումը ջերմաստիճանից:

Հարադրված տեսությունը մասմակիորեն է նկարագրում աններդաշնակությամբ պայմանավորված երևոյթները, քանի որ պոտենցիալ էներգիայի Φ_α աններդաշնակ մասը հաշվի է առնվազն ոչ անմիջականորեն, այլ միայն պոտենցիալ էներգիայի II կարգի ածանցյալների՝ ծավալից ունեցած կախման միջոցով: Այս պատճառով տեսությունը տալիս է ցանցի՝ ծավալից կախված հատկությունների կիսաքանակական նկարագրությունը:

Այժմ պարզենք աններդաշնակության ազդեցությունը ցանցային ջերմունակության վրա:

Համաձայն ջերմունակության քվանտային տևողաբան, բարձր ջերմաստիճաններում պինդ մարմնի ջերմունակությունը ձգառում է $3R$ սահմանային արժեքին, մնալով միշտ նրանից փոքր (անս (2.29) բանաձևը): Սակայն փոքրությունը ջերմունակությունը զերազանցում է $3R$ դասական արժեքը, ընդունում դերմաստիճանը բարձրացնելիս շեղումը դասական արժեքից աճում է գծային օրենքով:

Աներդաշնակության ազդեցությունն առավելագույնս արտահայտվում է համեմատաբար մեծ շեղումների դեպքում, այսինքն՝ բարձր ջերմաստիճաններում (անս (6.22) բանաձևը), ուստի հաշվարկները կատարելիս կարող ենք օգտվել դասական վիճակագրությունից:

$$Z = \int \cdots \int \exp \left\{ -\beta E(p_1, \dots, p_N; u_1, \dots, u_N) \right\} dp_1 \cdots dp_N du_1 \cdots du_N = \\ = \int \cdots \int \exp \left\{ -\beta [H_0(p_1, \dots, p_N; u_1, \dots, u_N) + \right. \\ \left. + \Phi_a(u_1, u_2, \dots, u_N)] \right\} dp_1 \cdots dp_N du_1 \cdots du_N, \quad (8.31)$$

որտեղ ցանցի $H_0(p_1, \dots, p_N; u_1, \dots, u_N)$ էներգիան ներդաշնակ մոտավորությամբ p , ինպակաների u , շեղումների քառակուսային ֆունկցիա է, իսկ պոտենցիալ էներգիայի $\Phi_a(u_1, \dots, u_N)$ անեներդաշնակ մասը տրվում է (8.1) արտահայտությամբ, $\beta = 1/k_B T$:

(8.31) արտահայտությունը վերածենք շարքի, համարելով Φ_a մեծությունը փոքր գրգռում H_0 էներգիայի նկատմամբ և սահմանափակվենք վերլուծության քառակուսային անդամներով՝

$$Z = \int \cdots \int \exp(-\beta H_0) \left[1 - \beta \Phi_a + \frac{1}{2} \beta^2 \Phi_a^2 + \cdots \right] dp_1 \cdots dp_N du_1 \cdots du_N = \\ = Z_0 \left[1 - \beta \langle \Phi_a \rangle_h + \frac{1}{2} \beta^2 \langle \Phi_a^2 \rangle_h + \cdots \right], \quad (8.32)$$

որտեղ ներդաշնակ ցանցի Z_0 վիճակագրական ինսենցրալը տրվում է (1.10) բանաձևով, իսկ ըստ ներդաշնակ մոտավորության $\langle \cdots \rangle_h$ միջինները տրվում են

$$\begin{aligned}\langle \Phi_a^k \rangle_h &= \frac{1}{Z_0} \int \cdots \int \exp(-\beta H_0) \Phi_a^k(u_1, \dots, u_N) dp_1 \cdots dp_N du_1 \cdots du_N = \\ &= \frac{\int \cdots \int \exp(-\beta \Phi_2) \Phi_a^k(u_1, \dots, u_N) du_1 \cdots du_N}{\int \cdots \int \exp(-\beta \Phi_2) du_1 \cdots du_N} \quad (8.33)\end{aligned}$$

արտահայտությամբ, որտեղ $k = 1, 2, \dots$, իսկ Φ_2 մնջությունը պոտենցիալ էներգիայի ներդաշնակ մասն է (III.5.3 բանաձև):

Օգտվելով համակարգի ազատ էներգիայի և վիճակագրական ինտեգրալի միջև կապից և նկատի ունենալով (8.32) առնչությունը, ցանցի ազատ էներգիայի համար կստանանք՝

$$F = -k_B T \ln Z = -k_B T \ln Z_0 - k_B T \ln \left[1 - \beta \langle \Phi_a \rangle_h + \frac{1}{2} \beta^2 \langle \Phi_a^2 \rangle_h + \dots \right]: \quad (8.34)$$

Վերլուծենք այն շարքի ըստ Φ_a վարքը պարագների: Օգտվելով $x \ll 1$ դեպքում հայտնի

$$\ln(1-x) \approx -x - \frac{x^2}{2} - \frac{x^3}{3} + \dots$$

արտահայտությունից, ազատ էներգիայի համար կստանանք՝

$$F = F_h + \langle \Phi_a \rangle_h + \frac{1}{2k_B T} [\langle \Phi_a \rangle_h^2 - \langle \Phi_a^2 \rangle_h] + \dots, \quad (8.35)$$

որտեղ F_h -ը ազատ էներգիան է ներդաշնակ մոտավորությամբ:

Հետագա պարզեցումների նպատակով կսահմանավակվենք աններդաշնակության $n = 3$ և $n = 4$ անդամներով, այսինքն, կենքաղրենք, որ

$$\Phi_a \cong \Phi_3 + \Phi_4 : \quad (8.36)$$

Քանի որ միջինացումը, համաձայն (8.33) սահմանման, կատարվում է ըստ u_i , շեղումների համաչափ $\exp(-\beta \Phi_2)$ ֆունկցիայով, ապա շեղումների կենս աստիճաններ պարունակող անդամների միջինները հավասարվում են զրոյի՝

$$\langle \Phi_3 \rangle_h \sim \langle u_i^3 \rangle_h = 0, \quad \langle \Phi_3 \cdot \Phi_4 \rangle_h \sim \langle u_i^7 \rangle_h = 0, \quad (8.37)$$

իսկ շեղման գույց աստիճաններով անդամների միջինները թվային գործակցի ճշտությամբ կարող ենք գրել (6.22) բանաձևի օգնությամբ՝

$$\langle \Phi_4 \rangle_h \sim AN \langle u_i^2 \rangle^2 \approx AN \left(\frac{k_B T}{m\omega^2} \right)^2, \quad (8.38)$$

$$\langle \Phi_3^2 \rangle_h \sim B^2 N \langle u_i^2 \rangle^6 \approx B^2 N \left(\frac{k_B T}{m\omega^2} \right)^3, \quad (8.39)$$

որտեղ B գործակիցն արտահայտվում է պոտենցիալ էներգիայի III կարգի, իսկ A -ը՝ IV կարգի ածանցյալների միջոցով:

(8.35)-(8.39) արտահայտություններից զերմունակության համար կստանանք՝

$$C_V = -T \left(\frac{\partial^2 F}{\partial T^2} \right)_V \cong 3Nk_B + 2Nk_B \cdot k_B T \left[\frac{B^2}{(m\omega^2)^3} - \frac{A}{2(m\omega^2)^2} \right]: \quad (8.40)$$

Զերմունակության՝ աններդաշնակությամբ պայմանավորված մասում Φ_3 անդամի ներդրումը միշտ դրական է ($\sim B^2$), իսկ Φ_4 անդամի ներդրումը՝ անորոշ, կախված A գործակցի նշանից:

Դժվար չէ համոզվել, որ (8.40) արտահայտության մեջ փակազգերում գրված գումարելիները նույն կարգի մեծություններ են, իսկ աններդաշնակությամբ պայմանավորված ուղղումը շատ փոքր է զերմունակության $3Nk_B$ դասական արժեքից: Իրոք, ըստ մեծության կարգի

$$B \sim \left(\frac{\partial^3 \Phi}{\partial u_i^3} \right)_0 \sim \frac{\Phi}{a^3}, \quad A \sim \left(\frac{\partial^4 \Phi}{\partial u_i^4} \right)_0 \sim \frac{\Phi}{a^4}, \quad m\omega^2 \sim \frac{\Phi}{a^2},$$

որտեղ a պարամետրը ցանցի հաստատունն է, ենտևաբար

$$\frac{B^2}{(m\omega^2)^3} \sim \frac{\Phi^2 a^{-6}}{\Phi^3 a^{-6}} \sim \frac{1}{\Phi}, \quad \frac{A}{2(m\omega^2)^2} \sim \frac{\Phi a^{-4}}{\Phi^2 a^{-4}} \sim \frac{1}{\Phi}.$$

իսկ զերմունակության ուղղումը՝

$$\Delta C_V \sim Nk_B \cdot \frac{k_B T}{\Phi} \approx Nk_B \cdot \frac{k_B T}{m\omega^2} \cdot \frac{1}{a^2} \approx Nk_B \cdot \frac{\langle u^2 \rangle}{a^2}, \quad (8.41)$$

համեմատական է ներդաշնակ տեսության $\langle u^2 \rangle/a^2$ փոքր պարամետրին:

ՄԵԿՈՒՄԻՉՆԵՐԻ ԷԼԵԿՏՐԱԿԱՆ ՀԱՏԿՈՒԹՅՈՒՆՆԵՐԸ

§1. Էլեկտրական դաշտը մեկուսիչներում: Դիէլեկտրական թափանցելիություն

Մեկուսիչների (կամ դիէլեկտրիկների) ամենահիմնական հատկությունը նրանց անհաղորդիչ լինելու վաստան է, այն, որ նրանցում հաստատուն էլեկտրական հոսանք գոյություն չի կարող ունենալ: Հետևաբար, ի տարբերություն հաղթրդիչների, հաստատուն էլեկտրական դաշտի լարվածությունը մեկուսիչում տարբեր է զրոյից:

Ընդունված է մեկուսիչ համարել այն նյութերը, որոնց տեսակարար դիմացությունը 10^{10} Օհմ·սմ·ից մեծ է, ինչը գերազանցում է մետաղների տեսակարար դիմացությունն առնվազն 10^{14} անգամ:

Էլեկտրաստատիկ երևոյթների բազմազանությունը մեկուսիչներում նկարագրվում է Մաքսվելի միկրոսկոպական հավասարումներով՝

$$\operatorname{div} \mathbf{e} = 4\pi\rho' , \quad (1.1)$$

$$\operatorname{rot} \mathbf{e} = 0 , \quad (1.2)$$

որտեղ «միկրոսկոպական» էլեկտրաստատիկ \mathbf{e} դաշտը պայմանավորված է լրիվ «միկրոսկոպական» լիցքի ρ' խսությամբ: Իրական ֆիզիկական խնդիրներում հնարավոր չեն տալ առանձին լիցքերի բաշխումը, քանի որ նյութի մակրոսկոպական ծավալներում պարունակվում են հսկայական թվականներ, որոնցից յուրաքանչյուրը գերմային գրգռման կամ զրոյական տատանումների հետևանքով ավել կաս սլակա չափով շարժունակ է:

Բարեբախտաբար, մակրոսկոպական խնդիրներում, որպիսիք են գործնականում հանդիպող բոլոր խնդիրները, չի պահանջվում գտնել դաշտը նմուշի ցանկացած կետում, որը շատ արագ, կետից կետ փոփոխվում է: Միանգամայն բավարար է խմանալ էլեկտրական դաշտի միջին լարվածությունը $I \approx 10^{-2} \div 10^{-3}$ սմ զծային չափություն: Այսպիսի

տիրույթներում պարունակվող ասումների թիվը՝ $N_i \sim l^3/a^3 \geq 10^{15}$ է ($a^3 \sim 10^{-24}$ սմ³ ասումի ծավալն է), ենաւ արագական միջառության էլեկտրական դաշտի լարվածության շեղումները լրիվ կմիջինացվեն:

Այսպիսով, մենք գործ կանոնականք էլեկտրասասատիկ դաշտի լիցքի խտության՝ ըստ «ֆիզիկորեն անվերջ վտքք» $\Delta V \sim l^3$ ծավալի միջինացված մեծությունների են: Միջինացման արդյունքում էլեկտրական դաշտի լարվածության միջին արժեքի՝ $E = \langle e \rangle$ -ի համար, որը դաշտի մակրոսկոպական բնութագիր է, (1.1) և (1.2) հավասարություններից ստացվում են

$$\operatorname{div} E = 4\pi\rho - 4\pi P, \quad (1.3)$$

$$\operatorname{rot} E = 0 \quad (1.4)$$

հավասարություն, որտեղ

$$\rho = \sum_i N_i \langle e_i \rangle + \rho_0, \quad (1.5)$$

N_i -ը i տեսակի մոլեկուլների թիվն է միավոր ծավալում, $\langle e_i \rangle$ -ն՝ նրանց միջին լիցքը, ρ_0 -ն՝ լրացուցիչ (ազատ) լիցքի խտությունը: P -ն միջավայրի բևեռացման վեկտորն է, այսինքն՝ միջավայրի միավոր ծավալի էլեկտրական կամ դիպոլային մոմենտը՝

$$P = \sum_i N_i \langle p_i \rangle, \quad (1.6)$$

որտեղ $\langle p_i \rangle$ -ն i տեսակի մոլեկուլի միջին դիպոլային մոմենտն է: Քանի որ, որպես կանոն, մոլեկուլներն էլեկտրաչեղոք են, ապա $\langle e_i \rangle = 0$, և լիցքի լրիվ խտությունը՝ $\rho(r) = \rho_0(r)$:

(1.3) հավասարությը կարելի է ներկայացնել նաև

$$\operatorname{div} D = 4\pi\rho \quad (1.7)$$

տեսքով, որտեղ

$$D = E + 4\pi P \quad (1.8)$$

մեծությունը էլեկտրական ինդուկցիայի վեկտորն է:

Արտաքին դաշտի բացակայության դեպքում նյութի միջին բևեռացմը՝ $P = 0$ (այս պնդումը չի վերաբերվում պիրտէլեկտրիկներին, որոնք օժտված են $P \neq 0$ դիպոլային մոմենտով. տես §8): $P(E)$ ֆունկցիան

կարելի է վերլուծել շարքի ըստ E -ի կենսա աստիճանների (E -ի զույգ աստիճանների բացակայությունը հետևանք է $P \rightarrow -P$ հասկության, եթե $E \rightarrow -E$), այսինքն՝

$$P(E) = \chi E + bE^3 + \Lambda : \quad (1.9)$$

Ինչպես ցույց են տալիս փորձերը, լաբորատոր պայմաններում հասանելի էլեկտրական դաշտերի համար (1.9) վերլուծության մեջ մեծ ճշությամբ կարելի է սահմանափակվել ըստ դաշտի գծային անդամով, քանի որ փորձում ստացվող դաշտերը շատ փոքր են ներառումական էլեկտրական դաշտերից. $|E| \ll E_0 \sim 10^8 \div 10^9$ Վ/սմ: (1.9) արտահայտության II գումարելին սովորաբար հաշվի է առնվում ոչ գծային օպտիկայի խնդիրներում, եթե օգտագործվում են $E \sim 10^5 \div 10^6$ Վ/սմ լարվածությամբ լազերային դաշտեր:

Իգուարուպ միջավայրերում թևեռացման վեկտորը զուգահեռ է E վեկտորին, և համեմատականության գործակիցը կախված չէ նրա ուղղությունից:

$$P = \chi E , \quad (1.10)$$

որսնդունակ մեծությունը կոչվում է միջավայրի դիէլեկտրական ընկալունակություն: Այս դեպքում, համաձայն (1.8) սահմանման

$$D = E + 4\pi P = E(1 + 4\pi\chi) \equiv \varepsilon E , \quad (1.11)$$

որսնդունակ

$$\varepsilon = 1 + 4\pi\chi \quad (1.12)$$

մեծությունը նյութի դիէլեկտրական թափանցելությունն է (դիէլեկտրական հաստատությունը): Եթե միջավայրը ոչ միայն իգուարու է, այլ նաև համասեռ, ապա դիէլեկտրական հաստատունը կախված չէ կոորդինատներից:

Եթե միջավայրն անիզոտրոպ է, ապա կապը D և E , ինչպես նաև P և E վեկտորների միջև ունի տենզորական բնույթ՝

$$D_i = \varepsilon_{ik} E_k , \quad P_i = \chi_{ik} E_k , \quad (1.13)$$

որտեղ ε_{ik} -ն և χ_{ik} -ն II կարգի համաչափ տենզորներ են (կրկնվող ցուցիչներով կատարվում է գումարում): Վերջիններս կապված են

$$\varepsilon_{ij} = \delta_{ij} + 4\pi\chi_{ij} \quad (1.14)$$

առնչությամբ, որանդ ծ, -ն Կրոնեկերի խորերդանիշն է:

§2. Ապարևեռացնող դաշտ: Ապարևեռացման գործակից

Նշանակենք E_0 -ով նմուշից դուրս գտնվող լիցքերի կողմից սաեղծված էլեկտրական դաշտի լարվածությունը: Նմուշի առկայությամբ դաշտի լարվածություն մեջ ներդրում է տակիս ինչպես E_0 արտաքին դաշտը, այնպէս էլ նմուշի բներացման հետևանքով առաջացած դաշտը:

Պարզենք բներացման ներդրումը մակրոսկոպական դաշտի լարվածությամբ մեջ: Դրս համար անհրաժեշտ է գտնել նմուշի բոլոր դիպոլների կողմից սաեղծված էլեկտրական դաշտը: Քանի որ նմուշի միավոր ծավալի դիպոլային մոմենտը P է, ապա dV ծավալն օժտված կլինի PdV դիպոլային մոմենտով: Համաձայն էլեկտրաստատիկայից հայտնի բանաձևի, նմուշի դիպոլային մոմենտով ստեղծված դաշտի պոտենցիալը՝

$$\varphi(r) = \int dV \cdot P \cdot \text{grad} \frac{1}{r}, \quad (2.1)$$

որանդ ինտեգրումը կատարվում է ըստ նմուշի ծավալի:

Զեավտիսենը բնդիմտեզրալ արտահայտությունը՝

$$P \cdot \text{grad} \frac{1}{r} = \text{div} \frac{P}{r} - \frac{1}{r} \text{div } P : \quad (2.2)$$

Տեղադրելով այն (2.1) ինտեգրալում և օգտվելով Գաուսի թեորեմից, կստանանք՝

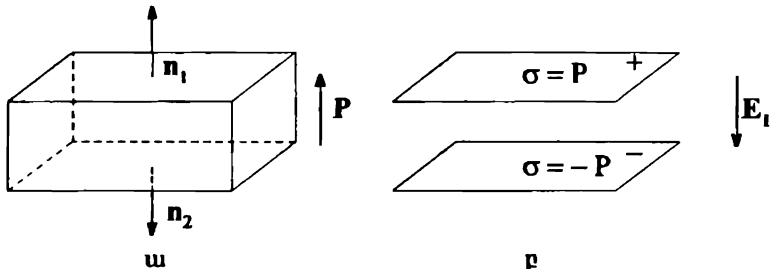
$$\begin{aligned} \varphi(r) &= \int dV \left\{ \text{div} \frac{P}{r} - \frac{1}{r} \text{div } P \right\} = \\ &= \int \frac{n dS \cdot P}{r} - \int \frac{\text{div } P}{r} dV = \int dS \frac{P_n}{r} - \int \frac{\text{div } P}{r} dV, \end{aligned} \quad (2.3)$$

որտեղ P_n մեծարյունը P վեկտորի պրոյեկցիան է նմուշի մակերևույթի n նորմալի վրա, իսկ ինտեգրումն առաջին գումարելիում կատարվում է ըստ նմուշի մակերևույթի:

Համեմատելով (2.3) բանաձևը սյունանցիալի ընդհանուր արտահայտության հետ, կստանանք, որ $\sigma = n \cdot P$ մեծարյունը լիցքի մակերևությային խստությունն է, իսկ $\rho = -\text{div } P$ մեծարյունը՝ լիցքի ծավալային խստությունը:

Եթե նմուշը բևեռացված է համասեռ՝ $P = const$, ապա $\rho = -\operatorname{div} P = 0$:

Դիտարկենք համասեռ բևեռացված դիէլեկտրական թիթեղ: Համաձայն վերը նշված արդյունքի, բևեռացմամբ ստեղծված դաշտը թիթեղի ցանկացած կետում հավասար է թիթեղի մակերևույթների վրա ծագած $\sigma = n \cdot P$ խտությամբ լիցքերի ստեղծած էլեկտրական դաշտին (Յկ. V.1, n_1 և n_2 միավոր վեկտորները թիթեղի վերին և ստորին մակերևույթների նորմալներն են):



Յկ. V.1

Լիցքավորված մակերևույթների միջև ստեղծված դաշտը՝

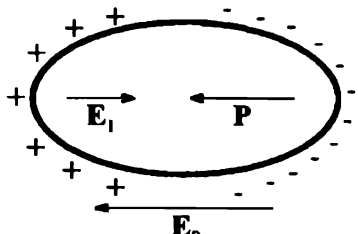
$$E_1 = -4\pi |\sigma| = -4\pi P : \quad (2.4)$$

Այսպիսով, թիթեղի ներառմ լրիվ մակրոսկոպական դաշտը՝

$$E = E_0 + E_1 = E_0 - 4\pi P \cdot n_1 : \quad (2.5)$$

Ինչպես հետևում է (2.5) բանաձևից, բևեռացմամբ պայմանավորված E_1 դաշտը նմուշի ներառմ ուղղված է արտաքին E_0 դաշտին հակառակ, ուստի այն կոչվում է ապարենուացնող:

Ապարենուացնող դաշտի մեծությունը կախված է նմուշի ձևից: Դիտարկենք էլիպսարդի տեսք ունեցող դիէլեկտրական նմուշ: Նմուշի ձևի ընտրությունը պայմանավորված է այն հանգամանքով, որ էլիպսարդի կիսառանցքների հարաբերությունների տարրեր սահմանային դեպքերում կարելի է հեշտությամբ ստանալ զնդի, ծողի և սկավառակի ձև ունեցող նմուշների համար համապա-



Յկ. V.2

տասխան արտահայտություններ:

Կարևոր է նաև այն հանգամանքը, որ նշված ձևերն ունեցող նմուշներում համասեռ բևեռացումը բերում է ապարնեռացման համասեռ դաշտի (նկ. V.2):

Եթե ուղղանկյուն կոօրդինատական համակարգի առանցքներն ուղղենք էլիպսարդի զիսավոր առանցքներով, ապա ապարնեռացման դաշտի բաղադրիչների համար կունենանք՝

$$E_{lx} = -4\pi n_x P_x, \quad E_{ly} = -4\pi n_y P_y, \quad E_{lz} = -4\pi n_z P_z, \quad (2.6)$$

որտեղ n_x, n_y, n_z դրական մեծություններն ապարնեռացման գործակիցներն են, որոնց արժեքները կախված են էլիպսարդի զիսավոր կիսառանցքների մեծությունների հարաբերությունից և որոնց գումարը՝

$$n_x + n_y + n_z = : \quad (2.7)$$

Պտտման էլիպսարդների համար ապարնեռացման գործակիցներն արտահայտվում են տարրական ֆունկցիաներով:

Նշանակենք a, b, c -ով էլիպսարդի կիսառանցքների երկարությունները: Զգված պտտման էլիպսարդի համար ($a > b = c$)

$$n_x = \frac{1-\eta^2}{2\eta^3} \left(\ln \frac{1+\eta}{1-\eta} - 2\eta \right), \quad (2.8)$$

$$n_y = n_z = \frac{1}{2}(1-n_x), \quad (2.9)$$

որտեղ $\eta = (1-b^2/a^2)^{1/2}$ մեծությունը էլիպսարդի եքսենսիվիտեսն է:

Գնդաձև նմուշի համար (2.7) առնչությունից և գնդի համաչափությունից հետևում է, որ $n_x = n_y = n_z = 1/3$: Եթե էլիպսարդը քիչ է տարբերվում գնդից՝ $b \rightarrow a$, $\eta \rightarrow 0$, ապա

$$n_x = \frac{1}{3} - \frac{2}{15}\eta^2, \quad n_y = n_z = \frac{1}{3} + \frac{1}{15}\eta^2 : \quad (2.10)$$

Սեղմված էլիպսարդի համար ($a = b > c$)

$$n_z = \frac{1+\xi^2}{\xi^3} (\xi - \operatorname{arctg} \xi), \quad n_x = n_y = \frac{1}{2}(1-n_z), \quad (2.11)$$

որտեղ $\xi = \left[\left(a/c \right)^2 - 1 \right]^{1/2}$: Եթե $c \rightarrow a$, ապա

$$n_z = \frac{1}{3} + \frac{2}{15} \xi^2, \quad n_x = n_y = \frac{1}{3} - \frac{1}{15} \xi^2 : \quad (2.12)$$

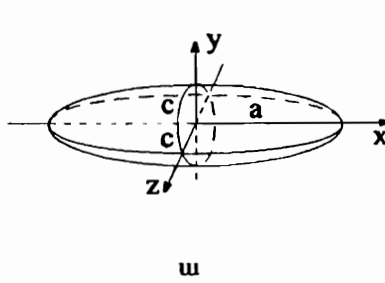
Եթե նմուշն ունի զլանի տեսք ($b/a \rightarrow 0$, $\rightarrow 1$, նկ. V.3, ա) ապա (2.8) բանաձևից կստանանք՝

$$n_x = (1 - \eta) \left[\ln \frac{2}{1 - \eta} - 2 \right] \rightarrow 0, \quad n_y = n_z = \frac{1}{2} : \quad (2.13)$$

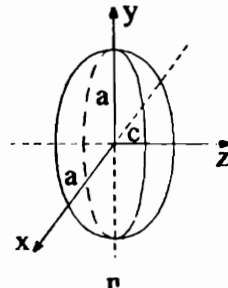
Եթե նմուշն ունի սկավառակի տեսք ($\xi \approx a/c \rightarrow \infty$, նկ. V.3, բ), ապա (2.11) բանաձևից կստանանք՝

$$n_z = 1 - \frac{\pi}{2\xi}, \quad n_x = n_y = \frac{\pi}{4\xi} \rightarrow 0 : \quad (2.14)$$

Ինչպես հետևում է ապաբևուացման գործակիցների համար ստացված սահմանային (2.13) արտահայտություններից, ապաբևուացնող դաշտը կարելի է փոքրացնել մինչև զրո, օգտագործելով բարակ և երկար նմուշներ:



Նկ. V.3



Երբեմն, եթե նմուշը թիթեղի տեսք ունի, ապաբևուացնող դաշտի փոքրացման համար կարճ միացնում են թիթեղի հանդիպակաց նիստերին նստեցված մետաղե էլեկտրոդները:

Եթե E_0 համասեռ դաշտն ուղղված է էլիպսարդաձև նմուշի զլսավոր առանցքով, ապա

$$E = E_0 + E_1 = E_0 - 4\pi n P : \quad (2.15)$$

Համաձայն (1.10) արտահայտության

$$P = \chi E = \chi (E_0 - 4\pi n P) . \quad (2.16)$$

որտեղից

$$P = \frac{\chi}{1 + 4\pi n \chi} E_0 : \quad (2.17)$$

Այսպիսով, տրված E_0 արտաքին դաշտում բևեռացման մեծությունը կախված է նմուշի ծեփ՝ n մեծությունից: Եթե $4\pi n \chi \ll 1$, ապա ապարնեռացնող դաշտի դերը կարելի է անտեսել: Սակայն եթե $\chi >> (4\pi n)^{-1}$, ապա

$$P = \frac{E_0}{\frac{1}{1 + 4\pi n} + \frac{\chi}{4\pi n}} \approx \frac{1}{4\pi n} E_0 , \quad (2.18)$$

այսինքն՝ բևեռացման մեծությունը հիմնականում որոշվում է նմուշի ծեռվ:

§3. Տեղային դաշտ: Լորենցի դաշտ

Դիցուք՝ նմուշը գտնվում է E_0 արտաքին էլեկտրաստատիկ դաշտում: Նմուշի բևեռացման հետևանքով առաջացած էլեկտրական դաշտի հաշվառումով մակրոսկոպական դաշտի համար ստացանք $E = E_0 + E_1$ արտահայտությունը: Այժմ պարզենք, թե ինչպիսին է դաշտը որևէ մոլեկուլի (դիպոլի) գտնվելու կետում, այսինքն՝ ինչպիսի՞ դաշտ է անմիջականորեն ագրում այդ դիպոլի վրա: Քանի որ դիպոլը գտնվում է որոշակի կետում, օրինակ՝ ցանցի հանգույցում, ապա նրա վրա ազդող դաշտը կտարբերվի մակրոսկոպական դաշտից, որը ստացվում է «ֆիզիկորեն անվերջ փոքր» ծավալով միջինացման արդյունքում: Այդ դաշտը, որը կոչվում է տեղային (E_{loc}) (օգտագործվում են նաև «գործող», «ներքին» կամ «արոյունարար» անվանումները), վերջին հաշվով որոշում է մոլեկուլի բևեռացման աստիճանը: Եթե մոլեկուլների միջև միջին հեռավորությունը զգայիրեն գերազանցում է նրանց չափերը՝ $r >> a$, ինչը տեղի ունի նույն գագերում, ապա

$E_{loc} \equiv E \approx E_0$, այսինքն՝ տեղային դաշտը կարելի է նույնացնել մակրոսկոպական դաշտի հետ:

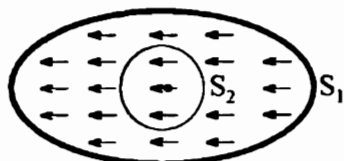
Այլ է իրադրությունը կոնդենսացված միջավայրերում (խիտ գազեր, ենդուկտորներ, պինդ մարմիններ): Իրոք, տրված մոլեկուլի վրա ազդող դաշտն էապես կախված է մյուս մոլեկուլների կեկտրական դաշտերից, ուստի անհրաժեշտ է հաշվի առնել դիպոլների կեկտրաստատիկ փոխազդեցությունը: Այս փոխազդեցության հաշվառման հաճրահայտ մեթոդն առաջարկվել է Հ.Լորենցի կողմից:

Ընտրենք որևէ մոլեկուլ և հաշվենք նրա վրա ազդող դաշտը: Այն արտաքին E_0 դաշտի և նմուշի բոլոր մոլեկուլների դիպոլային մոմենտների կողմից ստեղծված դաշտերի գումարն է՝

$$E_{loc} = E_0 + \sum_i E_i^{dip} = E_0 + \sum_i \frac{3(p_i r_i) r_i - p_i r_i^2}{r_i^5}, \quad (3.1)$$

որտեղ p_i -ն i -րդ հանգույցում գտնվող դիպոլային մոմենտն է:

Ընդունելով այդ մոլեկուլը որպես կենտրոն, նրան մտովի շրջապատենք զնդոլորտով, որի R շառավիղը շատ ավելի մեծ է, քան մոլեկուլների միջև հեռավորությունը, սակայն շատ փոքր է մակրոսկոպական հեռավորությունների համեմատությամբ («ֆիզիկորեն անվերջ փոքր» զնդոլորտ): Այն դիպոլները, որոնք գտնվում են զնդոլորտի կենտրոնից $R \geq 10a$ (a -ն ցանցի հաստատունն է) հեռավորությունների վրա, տալիս են գործնականում անընդհատ փոփոխվող ներդրում, որը կարելի է, համաձայն (2.3) բանաձևի, ներկայացնել երկու մակերեսութային ինտեգրալների տեսքով՝ արտաքին (S_1) և ներքին (S_2) մակերեսույթներով (էլիպսարդի ներսում $\text{div } P = 0$): I մակերեսութային ինտեգրալը տալիս է E_1 ապարենոացման դաշտը: II ինտեգրալը տալիս է R շառավողը զնդոլորտի S_2 մակերեսույթի վրա եղած լիցրով ստեղծված E_2 դաշտը (Լորենցի դաշտ): Ստանանք նրա արտահայտությունը:



Նկ. V.4

Գնդի մակերևույթի dS տարրի σdS լիցքի ստեղծած դաշտը գնդի կենտրոնում՝

$$dE_s = \frac{\sigma dS}{R^2} = \sigma \cdot \sin \theta d\theta d\varphi = P \cdot \cos \theta \cdot \sin \theta d\theta d\varphi \quad (3.2)$$

և ուղղված է dS տարրը գնդի կենտրոնին միացնող ուղղությամբ: Նրա պրոյեկցիան մակրոսկոպական դաշտի ուղղության վրա հավասար է $dE_s \cdot \cos \theta = P \cdot \cos^2 \theta \cdot \sin \theta d\theta d\varphi$: Գնդի մակերևույթով բաշխված լիցքի դաշտը գնդի կենտրոնում՝

$$E_2 = P \int_0^{\pi} d\theta \int_0^{2\pi} d\varphi \cdot \cos^2 \theta \cdot \sin \theta d\theta d\varphi = 2\pi \int_0^{\pi} \cos^2 \theta \sin \theta d\theta = \frac{4\pi}{3} P, \quad (3.3)$$

այսինքն՝ այն համաստ է և ունի քևոացման վեկտորի ուղղությունը:

Վերջապես, գնդի ներսում գտնվող դիպոլների կողմից ստեղծված E_3 դաշտն ուղղակիորեն կախված է բյուրեղի ատոմական կառուցվածքից: Հաշվենք այն, ենթադրենք, որ բյուրեղն օժտված է խորանարդային համաչափությամբ: Դիցուք՝ բոլոր դիպոլներն ուղղված են z առանցքով և ունեն p մեծություն: Այդ դեպքում գնդի կենտրոնում նրանց ստեղծած դաշտի z բաղադրիչը՝

$$E_{3z} = p \cdot \sum_i \frac{3z_i^2 - r_i^2}{r_i^5} = p \cdot \sum_i \frac{2z_i^2 - x_i^2 - y_i^2}{r_i^5}, \quad (3.4)$$

Գումարը տարվում է ըստ գնդում գտնվող բոլոր դիպոլների, բացի նրանից, որի գտնվելու կետում դաշտը հաշվում է: Խնդրի համաչափությունից (գնդակն նմուշ և խորանարդային համաչափություն) բխում է, որ

$$\sum_i \frac{z_i^2}{r_i^5} = \sum_i \frac{x_i^2}{r_i^5} = \sum_i \frac{y_i^2}{r_i^5}. \quad (3.5)$$

Իետևարաբ՝ $E_{3z} = 0$: Նույն ձևով կստանանք, որ $E_{3x} = E_{3y} = 0$, այսինքն՝

$$E_3 = 0 : \quad (3.6)$$

Այսպիսով, կատարված մոտավորությունների շրջանակներում աեղային դաշտի համար կստանանք իետևյալ վերջնական արտահայտությունը՝

$$E_{loc} = E_0 + E_1 + E_2 + E_3 = E + \frac{4\pi}{3} P, \quad (3.7)$$

այսինքն՝ հավասար է արտաքին լիցրերի կողմից ստեղծված դաշտին և էապես տարրերվում է մակրոսկոպական $E = E_0 - 4\pi P/3$ դաշտից:

Օգտագործելով P և E վեկտորների միջև

$$P = \frac{\epsilon - 1}{4\pi} E \quad (3.8)$$

կապը, (3.7) արագակայտությունը կարելի է ներկայացնել

$$E_{loc} = \left(1 + \frac{4\pi}{3} \cdot \frac{\epsilon - 1}{4\pi}\right) E = \frac{\epsilon + 2}{3} E \quad (3.9)$$

տեսքով: Քանի որ $\epsilon \geq 1$, ապա $|E_{loc}| \geq |E|$:

Տ4. Բևեռացվելիության անշուրյունը

Էլեկտրական դաշտում զանգող ատոմը (մոլեկուլը) դաշտի ազդեցության տակ ծնոր է բնրում զրոյից տարրեր դիպոլային մոմենտ: Բնական է ենթադրել, որ այն համեմատական և մոլեկուլի վրա անմիջականորեն ազդող անդային դաշտի լարվածությանը՝

$$\langle p \rangle = \alpha \cdot E_{loc}, \quad (4.1)$$

որտեղ α -ն բևեռացվելիության գործակիցն է: Նկատի ունենալով բևեռացման P վեկտորի (1.6) սահմանումը, (4.1) առնչությունից կստանանք՝

$$P = N \langle p \rangle = N \alpha \cdot E_{loc} = N \alpha \left(E + \frac{4\pi}{3} P \right), \quad (4.2)$$

որտեղ N -ը դիպոլների (մոլեկուլների) խառնությունն է: Այսու կողմից, օգտագործելով P և E վեկտորների միջև (1.10) կապը, (4.2) հավասարումից կստանանք՝

$$\chi = \frac{N\alpha}{1 - \frac{4\pi}{3} N\alpha} : \quad (4.3)$$

Այս առնչությունը կապ է հաստատում նմուշի մակրոսկոպական χ և միկրոսկոպական α բնութագրերի միջև: Եթե նմուշը տարբեր նյութերի խառնություն է, ապա (4.3) առնչությունում $N\alpha$ արտադրյալի վոխարեն հարկ

Է զրել $\sum_j N_j \alpha_j$, որտեղ α_j -ն j տեսակի մոլեկուլի բևեռացվելիությունն է,

N_j -ն՝ այդպիսի մոլեկուլների թիվը միավոր ծավալում: (1.12) և (4.3) արտահայտություններից դիէլեկտրական թափանցելիության համար կսահմանի՝

$$\varepsilon = \frac{1 + \frac{8\pi}{3} \sum_j N_j \alpha_j}{1 - \frac{4\pi}{3} \sum_j N_j \alpha_j}, \quad (4.4)$$

բանաձևը: Ինչպես հետևում է (4.4) բանաձևից, եթե $\sum_j N_j \alpha_j = 3/4\pi$,

$\varepsilon \rightarrow \infty$ («բևեռացման աղետ»): Սա նշանակում է վերջավոր բևեռացում գրյական արտաքին դաշտում:

(4.3) և (1.12) բանաձևերի օգնությամբ բևեռացվելիությունը կարելի է արտահայտել դիէլեկտրական թափանցելիության միջոցով՝

$$\alpha = \frac{3}{4\pi N} \cdot \frac{\varepsilon - 1}{\varepsilon + 2} : \quad (4.5)$$

Ստացված արտահայտությունը հայտնի է որպես Կլաուզիուս-Մոսուսի հավասարում: Քանի որ $N = (\rho/\mu)N_A$, որտեղ ρ -ն նյութի խտությունն է, իսկ μ -ն՝ մոլային զանգվածը, ապա (4.5) հավասարումից հետևում է, որ $(\varepsilon - 1)/(\varepsilon + 2)$ մեծությունը համեմատական է նյութի խտությանը:

Այժմ արտահայտենք բևեռացվելիությունը նյութի միկրոսկոպական բնութագործի միջոցով:

Հայտնի է ատոմների (մոլեկուլների) եամակարգի բևեռացման առաջացման երկու մեխանիզմ՝

ա) ատոմական բևեռացվելիություն, երբ տեղային էլեկտրական դաշտի ազդեցության տակ փոխակում է մոլեկուլում լիցքի բաշխումը, որի արդյունքում մոլեկուլը ձեռք է բերում զրյուից տարրեր դիպոլային մոմենտ,

բ) կողմանորոշումային բևեռացում, երբ աեղային էլեկտրական դաշտի ազդեցության տակ մոլեկուլների քասայնորեն կողմնորոշված հաստատուն դիպոլային մոմենտները ձեռք են բերում որոշակի ուղղորդվածություն:

Ծանոթանանք ատոմային բևեռացվելիության պարզագույն տեսությանը, օգտվելով առաձգականորեն կապված էլեկտրոնների մողելից:

Հավասարակշռության դիրքից շեղված էլեկտրոնի վրա ազդում է քվազիառաձգական

$$F = -m\omega_0^2 r \quad (4.6)$$

ուժը, որտեղ՝ m -ը էլեկտրոնի զանգվածն է, ω_0 -ն՝ սեփական հաճախարժումը, r -ը՝ շեղումը հավասարակշռության դիրքից: F ուժի և դաշտի կողմից էլեկտրոնի վրա ազդող $-eE$ ուժի գումարը հավասարեցնելով զրոյի, կստանանք՝

$$r = \frac{-e}{m\omega_0^2} E, \quad (4.7)$$

ինտևաբար, էլեկտրոնի r շեղումով պայմանավորված դիպոլային մոմենտը՝

$$p = -er = \frac{e^2}{m\omega_0^2} E \equiv \alpha_1 E, \quad (4.8)$$

իսկ բևեռացվելիությունը՝

$$\alpha_1 = \frac{e^2}{m\omega_0^2} : \quad (4.9)$$

Եթե ատոմը պարունակում է Z էլեկտրոն, որոնցից յուրաքանչյուրի համար քվազիառաձգական ուժը հավասար է $-m\omega^2 r$, ապա ատոմի՝ էլեկտրոններով պայմանավորված ստատիկ բևեռացվելիությունը՝

$$\alpha_e = \frac{e^2}{m} \sum_j \frac{f_j}{\omega_j^2}, \quad \sum_j f_j = Z, \quad (4.10)$$

որտեղ՝ f_j մեծություններն այսպես կոչված «տատանակային ուժերն» են: Եթե արտաքին դաշտը (ինտևաբար և տեղայինը) ժամանակից կախված փոխվում է ω հաճախարժյամբ, ապա դիմամիկ բևեռացվելիության համար ստացվում է

$$\alpha_e(\omega) = \frac{e^2}{m} \sum_j \frac{f_j}{\omega_j^2 - \omega^2} \quad (4.11)$$

բանաձևը: Ասումներում որոշ ω , հաճախություններ պատկանում են սպեկտրի օպտիկական ափրույքին (օրինակ՝ մանուշակագոյն ալիքների համար $\omega \approx 5 \cdot 10^{15}$ ռադ·վ⁻¹), ուստի երես $\omega \ll \omega$, ասպա կարելի է օգտվել ստատիկ բևեռացվելիության համար ստացված (4.10) բանաձևից: Գնահատենք α_e ստատիկ բևեռացվելիությունը:

$$\alpha_e \sim \alpha_1 \sim \frac{e^2}{m\omega_0^2} \sim \frac{10^{-19}}{10^{-27} \cdot 10^{31}} \text{ սմ}^3 \approx 10^{-23} \text{ սմ}^3,$$

այսինքն՝ այն ասումի ծավալի կարգի մեծություն է:

Այժմ պարզենք, թե ինչպես լ մոլեկուլների ջերմային շարժումն ազդում դաշտի կողմից մակաձևած դիպոլային մոմենտի մեծության վրա:

ω_0 հաճախությամբ եռաչափ ներդաշնակ տատանակի պոտենցիալ էներգիան z առանցքով ուղղված էնեկտրական դաշտում՝

$$\Phi(x, y, z) = \frac{m\omega_0^2(x^2 + y^2 + z^2)}{2} - eEz : \quad (4.12)$$

Ենթադրելով, որ դիպոլների (տատանակների) համակարգը կարելի է նկարագրել դասական վիճակագրությամբ, մեկ մասնիկին բաժին ընկնող միջին դիպոլային մոմենտի համար կստանանք՝

$$\langle p \rangle = \langle p_z \rangle = e \frac{\int_{-\infty}^{\infty} z \exp \left\{ -\frac{1}{k_B T} \left(\frac{m\omega_0^2}{2} z^2 - ezE \right) \right\} dz}{\int_{-\infty}^{\infty} \exp \left\{ -\frac{1}{k_B T} \left(\frac{m\omega_0^2}{2} z^2 - ezE \right) \right\} dz} : \quad (4.13)$$

Ստացված արտահայտությունը հարմար է ներկայացնել

$$\langle p \rangle = -e \frac{\partial}{\partial \nu} \ln \int_{-\infty}^{\infty} e^{-\gamma z^2 + \nu z} dz$$

տեսքով, որտեղ

$$\nu \equiv eE/k_B T, \gamma = m\omega_0^2/2k_B T : \quad (4.14)$$

Ներկայացնելով ենթադրիմական արտահայտությունը Պուասոնի ինտեգրալի տեսքով (Հավելված 2), կստանանք՝

$$\langle p \rangle = -e \frac{\partial}{\partial \nu} \ln \left[e^{-\frac{\nu^2}{4\gamma}} \cdot \sqrt{\frac{\pi}{\gamma}} \right] = \frac{e\nu}{2\gamma} = \frac{e^2 E}{m\omega_0^2}. \quad (4.15)$$

ինչը նոյնուրյամբ համրնենում է (4.8) արտահայտուրյան հետ:

Այսպիսով, ատոմական բևեռացվելիուրյան համար ստացված (4.9), հետևաբար՝ նաև (4.10) առնչուրյունը ճիշտ է նաև ջերմային շարժման հաշվարման դեպքում:

Այժմ ծանորանանք կողմնորոշումային բևեռացման տեսուրյան հետ:

Դիցուք՝ նյութը կազմող մոլեկուլներն ունեն p_0 դիպոլային մոմենտ, որը կարող է կողմնորոշված լինել ցանկացած ուղղուրյամբ: Եթե արտարին էլեկտրական դաշտը բացակայում է, ապա ջերմային շարժման հետևանքով դիպոլային մոմենտներն ունեն պատահական ուղղուրյուններ, այնպիսին որ համակարգի արդյունարար դիպոլային մոմենտը հավասար է զրոյի:

Եթե կիրառված է էլեկտրական դաշտ, ապա դիպոլները ձգուում են կողմնորոշվել դաշտի ուղղուրյամբ, բանի որ այն համապատասխանում է վտրագույն էներգիայով վիճակին: Արդյունքում համակարգի միջին դիպոլային մոմենտը դառնում է զրոյից տարրեր: Հաշվենք այս:

Էլեկտրական դաշտում p_0 դիպոլային մոմենտը ձեռք է բերում

$$U = -p_0 \cdot E = -p_0 E \cos \theta \quad (4.16)$$

պոտենցիալ էներգիա, որանու մեջ θ -ն p_0 դիպոլի կազմած անկյունն է դաշտի ուղղուրյան հետ: Սևակ մոլեկուլին բաժին ընկնող միջին դիպոլային մոմենտի համար կստանանք՝

$$\begin{aligned} \langle p \rangle &= \frac{\int d\Omega \cdot p_0 \cos \theta \cdot \exp(-U/k_B T)}{\int d\Omega \cdot \exp(-U/k_B T)} = \\ &= p_0 \frac{\int_0^{2\pi} d\phi \int_0^\pi \sin \theta d\theta \cos \theta \cdot \exp\left(\frac{p_0 E}{k_B T} \cos \theta\right)}{\int_0^{2\pi} d\phi \int_0^\pi \sin \theta d\theta \cdot \exp\left(\frac{p_0 E}{k_B T} \cos \theta\right)}, \end{aligned} \quad (4.17)$$

որտեղ $d\Omega = \sin \theta d\theta d\phi$ - մարմնային անկյունն է: (4.17) արտահայտու-

բյունը կարելի է ներկայացնել

$$\langle p \rangle = p_0 \frac{\partial}{\partial \beta} \ln \int_0^\pi e^{\beta \cos \theta} \sin \theta d\theta \quad (4.18)$$

սեպտի, որտեղ

$$\beta = p_0 E / k_B T : \quad (4.19)$$

Ենթալոգարիթմական ինտեղրալը՝

$$\int_0^\pi e^{\beta \cos \theta} \sin \theta d\theta = \int_{-1}^1 e^{\beta x} dx = \frac{e^\beta - e^{-\beta}}{\beta} = \frac{2}{\beta} \operatorname{sh} \beta ,$$

հետևաբար՝

$$\frac{\partial}{\partial \beta} \left\{ \ln \frac{2}{\beta} \operatorname{sh} \beta \right\} = \operatorname{cth} \beta - \frac{1}{\beta} \equiv L(\beta) ,$$

որտեղ

$$L(\beta) = \operatorname{cth} \beta - \frac{1}{\beta} \quad (4.20)$$

արտահայտությունը Լանժըվենի ֆունկցիան է: Այսպիսով, E էլեկտրական դաշտի կողմնորոշչիչ ազդեցության շնորհիվ մեկ մոլեկուլին բաժին ընկնող միջին դիպոլային մոմենտը՝

$$\langle p \rangle = p_0 \cdot L \left(\frac{p_0 E}{k_B T} \right) : \quad (4.21)$$

Ուսումնասիրենք ստացված արտահայտությունը տարբեր սահմանային դեպքերում:

Եթե $\beta = p_0 E / k_B T \ll 1$ («քոյլ» դաշտեր, «քարձր» ջերմաստիճաններ), ապա, օգտվելով Լանժըվենի ֆունկցիայի

$$L(\beta) = \frac{\beta}{3} - \frac{\beta^3}{45} + \dots \quad (4.22)$$

վերլուծությունից, միջին դիպոլային մոմենտի համար կստանանք՝

$$\langle p \rangle \approx \frac{p_0^2 E}{3k_B T} \equiv \alpha_2 E , \quad (4.23)$$

ուստի կողմնորոշումային բևեռացվելությունը՝

$$\alpha_2 \approx \frac{p_0^2}{3k_B T} : \quad (4.24)$$

Սենյակային ջերմաստիճաններում, եթե $k_B T \approx 4 \cdot 10^{-14}$ էրգ, $p_0 \sim e\sigma \sim \sim 10^{-10} \cdot 10^{-8}$ CGSE_q-ամ = 10^{-18} CGSE_p^{*)}, անգամ $E \approx 10^4$ Վ/սմ կարգի դաշտաներում $p_0 E / k_B T \leq 10^{-3}$, իսկ $\alpha_2 \approx 10^{-23}$ ամ³, որը նույն կարգի մեծություն է, ինչ որ լենկարունային բևեռացվելիությունը:

Եթե $\beta = p_0 E / k_B T \gg 1$ («ուժեղ» դաշտեր, «ցածր» ջերմաստիճաններ), ապա, նկատի ունենալով, որ

$$L(\beta) \approx 1 - \frac{1}{\beta} + O(e^{-2\beta}) . \quad (4.25)$$

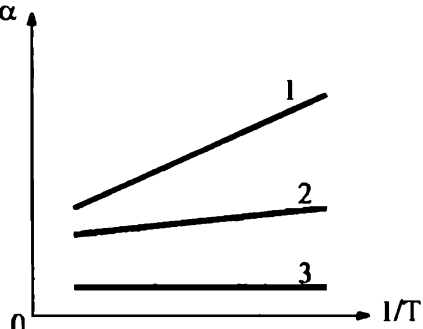
միշտ դիպոլային մոմենտի համար կստանանք՝

$$\langle p \rangle \approx p_0 : \quad (4.26)$$

Սա նշանակում է, որ դիպոլային մոմենտը հասել է հսկեցման, այսինքն, այն ընդունում է հնարավոր ամսնամեծ արժեքը, ինչն, իր հերթին, հետևանք է դաշտի կողմնորոշիչ ազդեցության, որը «ճնշում» է բույլ ջերմային շարժումը: Ընդհանուր դեպքում, եթե բևեռացվելիության երկու մեխանիզմներն էլ զործում են, ընդհանուր բևեռացվելիությունը արվում է

$$\alpha \approx \alpha_1 + \alpha_2 = \alpha_e + \frac{p_0^2}{3k_B T} \quad (4.27)$$

արտահայտությամբ, որը հայտնի է որպես Լանժրվեն-Դերայի բանաձև:



Նկ. V.5

Փորձում, տարրեր ջերմաստիճանային կախվածությունները ունենալու հետևանքով, էլեկտրոնային և կողմնորոշումային բևեռացվելիությունները հեշտությամբ գասավում են իրարից: Նկ. V.5-ում պատկերված է բևեռացվելիության կախումը $1/T$ մեծությունից,

^{*)} 10^{-18} CGSE_q-ամ մեծությունը կոչվում է դեբայ և ծառայում է որպես դիպոլային մոմենտի չափման միավոր

բևուային ($p_0 \neq 0, 1$ և 2 ուղիղներ) և ոչ բևուային ($p_0 = 0, 3$ ուղիղ) մոլեկուլներից բաղկացած համակարգերի համար:

Ատոմային (Էլեկտրոնային) բևուացվելիությունն ուսումնասիրելիս մենք ենքաղըել ենք, որ ատոմի (մոլեկուլի) միջուկը մնում է անշարժ: Սակայն իրականում լեկտրական դաշտի ազդեցության տակ տեղաշարժվում են նաև միջուկները: Այս երևույթը հարկ է հաշվի առնել հատկապես իոնային բյուրեղներում: Մյուս սահմանային դեպքը, եթե ատոմային բևուացվելիությունը հաշվելիս իոնների տեղաշարժը հաշվի է առնվազ, իսկ էլեկտրոնային բաղանքի դեֆորմացիան (Էլեկտրոնային բևուացվելիությունը) անտեսվում է, հայտնի է որպես «կոշտ» խոնների մոտավորություն:

Ստանանք շեղումային բևուացվելիության արտահայտությունը «կոշտ» խոնների մոտավորությամբ:

Դիցուք՝ իոնային բյուրեղի տարրական բջիջը բաղկացած է Ze և $-Ze$ լիցքերով երկու խոններից: Եթե խոնները «կոշտ» են, ապա տարրական բջիջի դիպոլային մոմենտը՝

$$p = Ze \cdot u_+ - Ze \cdot u_- \equiv Ze(u_+ - u_-) \equiv Ze \cdot s, \quad (4.28)$$

որտեղ u_+ -ը (u_- -ը) դրական (բացասական) խոնի շեղումն է հավասարակշռության դիրքից,

$$s = u_+ - u_- : \quad (4.29)$$

Եթե բյուրեղի դեֆորմացիան տարածություն մեջ փոփոխվում է դանդաղ, ապա դրական և բացասական խոնների շեղումների համար կարող ենք գրել հետևյալ շարժման հավասարումները՝

$$m_+ \cdot \ddot{u}_+ = -\kappa(u_+ - u_-) + ZeE_{loc}, \quad (4.30)$$

$$m_- \cdot \ddot{u}_- = -\kappa(u_- - u_+) - ZeE_{loc}, \quad (4.31)$$

որտեղ κ -ն բվագիառաձգական ուժի գործակլիցն է: Անցնելով s մեծությանը, (4.30) և (4.31) հավասարումներից կստանանք՝

$$\ddot{s} = \frac{Ze}{M} E_{loc} - \frac{\kappa}{M} s, \quad (4.32)$$

որտեղ $M = m_+ m_- / (m_+ + m_-)$ մեծությունը բջիջի բերված զանգվածն է:

Եթե տեղային դաշտը ժամանակից կախված փոփոխվում է $E_{loc} =$

$= E_0 e^{-i\omega t}$ օրենքով, ապա (4.32) հավասարման լուծումը կտրվի $s = s_0 e^{-i\omega t}$ տեսքով, որտեղ

$$s_0 = \frac{ZeE_0}{M(\omega_i^2 - \omega^2)}, \quad (4.33)$$

$$\omega_i^2 = \frac{\kappa}{M} : \quad (4.34)$$

Հետևաբար՝ շեղումային բևեռացման համար (4.28) և (4.33) բանաձևերից կստանանք՝

$$\alpha_i = \frac{Ze}{M(\omega_i^2 - \omega^2)} : \quad (4.35)$$

Այս բանաձևից հետևում է, որ շեղումային բևեռացվելիությունը նույն տեսքն ունի, ինչ որ էլեկտրոնային բևեռացվելիությունը: Սակայն ուզո՞ւմանսային ω , հաճախությունը համապատասխանում է ցանցի բնութագրական տատանումների հաճախությանը (սկս III.1), այսինքն, այն ω_D պարամետրի կարգի մեծություն է, որը էլեկտրոնային ω , հաճախություններից փոքր է մոտ $10^2 \div 10^3$ անգամ: Հետևաբար, շեղումային բևեռացվելիությունը եապես կախված կլինի արտաքին դաշտի ω հաճախությունից սպեկտրի ինֆրակարմիր և օպտիկական տիրույթներում: Մյուս կողմից, քանի որ իոնային M զանգվածը մոտ 10^4 անգամ զերազանցում է էլեկտրոնայինը, ապա α , և α_e գործակիցները կարող են լինել նոյն կարգի մեծություններ, ինչոր վկայում է «վլոշա» իոնների մոտավորության սահմանափակ լինելու վաստաբ:

§5. Օպտիկական տատանումները իոնային բյուրեղներում

Օպտիկական տատանումներն առանձնահատուկ դեր են խաղում իոնային բյուրեղներում, քանի որ իոնների շարժման հետևանքով ծագում են զգալի դիպոլային մոմենտներ:

Ուսումնասիրենք օպտիկական տատանումները խորանարդային կա-

սուցվածքով իտնային բյուրեղներում երկարալիքային սահմանում, եթե իտների շարժումը բոլոր բջիջներում համաժամանակային (սինքրոն) է, ինչը բույ և տախս դիտարկել իտների շարժումը միայն մեկ բջջում: Այսուհետեւ կենքաղրենք, որ էլեկտրական դաշախ առկայությամբ իտնը ձեռք է բերում ինչպես Լենկարումային, այնպէս էլ շեղումային բևեռացվելություն (այսպէս կոչված ղեփորմացվող իտների մոտավորություն): Այս դեպքում բևեռացման վեկտորի համար, ի տարրերություն (4.28) արտահայտության, կարող ենք գրել

$$\begin{aligned} P &= N_0 (Zeu_+ + \alpha_+ E_{loc}) + N_0 (-Zeu_- + \alpha_- E_{loc}) = \\ &= N_0 [Ze(u_+ - u_-) + (\alpha_+ + \alpha_-) E_{loc}], \end{aligned} \quad (5.1)$$

որտեղ N_0 -ն միավոր ծավալում բցիցների քիվն է, α_+ -ը՝ դրական և բացասական իտների բևեռացվելությունները: (5.1) բանաձևում առաջին զումարելին պայմանավորված է իտների շեղումներով, իսկ երկրորդը՝ արտադրին դաշտում իտների ձեռք բերած ղիպղային մոմենտներով: Այսպես կոչված «կոշտ» իտների մոտավորության շրջանակներում $\alpha_+ = \alpha_- = 0$:

Անցնելով E_{loc} տեղային դաշտից մակրոսկոպական E դաշտին, (3.7), (5.1) և (4.32) բանաձևերից կստանանք՝

$$P = \frac{N_0}{1 - \frac{4\pi}{3} N_0 \alpha} [Ze(u_+ - u_-) + \alpha E], \quad (5.2)$$

$$M \ddot{s} = -M \omega_0^2 s + \frac{Ze}{1 - \frac{4\pi}{3} N_0 \alpha} E, \quad (5.3)$$

որտեղ կատարված են հետևյալ նշանակումները:

$$\omega_0^2 = \frac{\kappa}{M} - \frac{4\pi}{3M} \cdot \frac{N_0 Z^2 e^2}{1 - \frac{4\pi}{3} N_0 \alpha}, \quad (5.4)$$

$$\alpha = \alpha_+ + \alpha_- \quad (5.5)$$

Հետազա հաշվարկները հեշտացնելու նպատակով մասնանք s վեկտորից հաստատուն զորժակցով տարրերվող մի նոր մեծություն՝

$$w = (MN_0)^{1/2} s , \quad (5.6)$$

և (5.3) և (5.2) հավասարումները ներկայացնենք հետևյալ սկզբով՝

$$\ddot{w} = -\omega_0^2 w + \frac{N_0 Ze}{(MN_0)^{1/2} \left(1 - \frac{4\pi}{3} N_0 \alpha \right)} E , \quad (5.7)$$

$$P = \frac{N_0 Ze}{(MN_0)^{1/2} \left(1 - \frac{4\pi}{3} N_0 \alpha \right)} w + \frac{N_0 \alpha}{1 - \frac{4\pi}{3} N_0 \alpha} E : \quad (5.8)$$

(5.7) և (5.8) հավասարումները ստացվեցին միլրուկոպական եղանակով, սակայն դրանք կարելի է գրել նաև երևորաբանորեն, հիմնվելով զուտ ֆիզիկական դասողությունների վրա:

Իրոք, շարժման

$$\ddot{w} = b_{11} w + b_{12} E \quad (5.9)$$

հավասարումն արտահայտում է այն փաստը, որ խնի արագացումը ($\ddot{w} \sim \ddot{s}$) պայմանավորված է ինչպես քվազիառաձգական ուժով ($-b_{11} w$), այնպես էլ էլեկտրական դաշտի կողմից ազդող $b_{12} E$ ուժով, իսկ

$$P = b_{21} w + b_{22} E \quad (5.10)$$

հավասարման համաձայն, միավոր ծավալի դիպոլային մոմենտը պայմանավորված է ինչպես խոնների շեղումով հավասարակշռության դիրքից ($b_{21} w$), այնպես էլ խոնների քենուացվելիությանը ($b_{22} E$):

Անհրաժեշտ և ճշել, որ շարժման հավասարումներում հաշվի չի առնված նաև L որենցի ուժը, որով մազնիսական դաշտն ազդում է շարժվող խնի վրա, քանի որ բյուրեղական ցանցի պարամետրերի բնութագրական արժեքների համար (ցանցի հաստատունը՝ $\sigma \sim 10^{-8}$ սմ, $\omega_D \sim 10^{13}$ պադ \cdot Վ $^{-1}$) մազնիսական և էլեկտրական դաշտերի կողմից խնի վրա ազդող ուժերի հարաբերությունը՝

$$\left| \frac{f_L}{f_E} \right| \sim \frac{v}{c} \sim \frac{\sigma \cdot \omega_D}{c} \simeq 10^{-5} : \quad (5.11)$$

Վերը գրված հավասարումներում առկա P և E վեկտորները որպես նմ Մաքսվելի հավասարումներից՝

$$\operatorname{div} \boldsymbol{D} = \operatorname{div} (\boldsymbol{E} + 4\pi \boldsymbol{P}) = 0 , \quad (5.12)$$

$$\operatorname{div} \boldsymbol{H} = 0 , \quad (5.13)$$

$$\operatorname{rot} \boldsymbol{E} = -\frac{1}{c} \dot{\boldsymbol{H}} , \quad (5.14)$$

$$\operatorname{rot} \boldsymbol{H} = \frac{1}{c} (\dot{\boldsymbol{E}} + 4\pi \dot{\boldsymbol{P}}) , \quad (5.15)$$

որոնցում արված են հետևյալ էնթադրությունները.

ա) իտնային բյուրեղները մեկուսիչներ են՝ նրանցում ազատ լիցքի խառնությունը զրո է (տես (5.12) հավասարումը),

բ) իտնային բյուրեղները օժտված չեն մազնիսական հատկություններով՝ համակարգի մազնիսական մոմենտը զրո է (տես (5.13) հավասարումը):

(5.9), (5.10) կամ որ նույնն է (5.7), (5.8) և (5.12)-(5.15) հավասարումների համակարգի լուծումները կիմուրենք

$$\begin{aligned} \boldsymbol{w} &= w_0 e^{i(\boldsymbol{k}\boldsymbol{r}-\omega t)} , & \boldsymbol{P} &= P_0 e^{i(\boldsymbol{k}\boldsymbol{r}-\omega t)} , \\ \boldsymbol{E} &= E_0 e^{i(\boldsymbol{k}\boldsymbol{r}-\omega t)} , & \boldsymbol{H} &= H_0 e^{i(\boldsymbol{k}\boldsymbol{r}-\omega t)} \end{aligned} \quad (5.16)$$

տեսքով: Տեղադրելով (5.16) լուծումները նշված համակարգում, կստանանք՝

$$-\omega^2 \boldsymbol{w} = b_{11} \boldsymbol{w} + b_{12} \boldsymbol{E} , \quad (5.17)$$

$$\boldsymbol{P} = b_{21} \boldsymbol{w} + b_{22} \boldsymbol{E} , \quad (5.18)$$

$$\boldsymbol{k} (\boldsymbol{E} + 4\pi \boldsymbol{P}) = 0 , \quad (5.19)$$

$$\boldsymbol{k} \boldsymbol{H} = 0 , \quad (5.20)$$

$$\boldsymbol{k} \times \boldsymbol{E} = \frac{\omega}{c} \boldsymbol{H} , \quad (5.21)$$

$$\boldsymbol{k} \times \boldsymbol{H} = -\frac{\omega}{c} (\boldsymbol{E} + 4\pi \boldsymbol{P}) : \quad (5.22)$$

Տեղադրելով (5.17) հավասարումից որոշված

$$\boldsymbol{w} = \frac{b_{12}}{-\omega^2 - b_{11}} \boldsymbol{E} \quad (5.23)$$

արտահայտությունը (5.18) հավասարման մեջ, կստանանք՝

$$P = \left(\frac{b_{12}}{-\omega^2 - b_{11}} + b_{22} \right) E \quad (5.24)$$

($b_{12} = b_{21}$, ինչը հետևում է (5.7)-(5.10) հավասարումներից):

Նկատի ունենալով կապը D և E վեկտորների միջև՝

$$D(\omega) = E(\omega) + 4\pi P(\omega) = \epsilon(\omega)E(\omega), \quad (5.25)$$

ինչպես նաև (5.24) ասնչությունը, $\epsilon(\omega)$ դիէլեկտրական ֆունկցիայի համար կստանանք՝

$$\epsilon(\omega) = 1 + 4\pi b_{22} - \frac{4\pi b_{12}^2}{b_{11} + \omega^2}; \quad (5.26)$$

Եթե այս բանաձևում տեղադրենք b_{11} , b_{12} և b_{22} գործակիցների արտահայտությունները, որոնք հեշտությամբ ստացվում են (5.7)-(5.10) հավասարումներից, ապա կստանանք $\epsilon(\omega)$ ֆունկցիայի միկրոսկոպական արտահայտությունը: Սակայն ավելի ճպատակահարմար է այն արտահայտել փորձում հեշտությամբ չափվող բնուրագրերի միջոցով:

Այսպես, եթե $\omega \rightarrow \infty$

$$\epsilon(\infty) = 1 + 4\pi b_{22} \quad (5.27)$$

մեծությունը բարձրացնելու համար օպտիկական դիէլեկտրիկական հաստատությունն է, որը ստացվում է բեկման ցուցչից $\omega \gg \omega_0$ հաճախությամբ էլեկտրամագնիսական ալիքների համար: Մյուս կողմից, եթե $\omega \rightarrow 0$

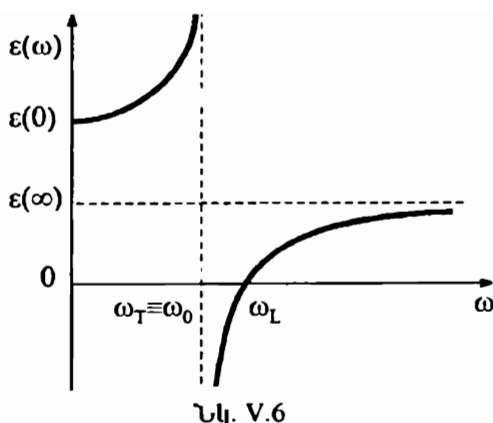
$$\epsilon(0) = 1 + 4\pi b_{22} - \frac{4\pi b_{12}^2}{b_{11}} = \epsilon(\infty) - \frac{4\pi b_{12}^2}{b_{11}}, \quad (5.28)$$

$$4\pi b_{12}^2 = b_{11}[\epsilon(\infty) - \epsilon(0)] = -\omega_0^2[\epsilon(\infty) - \epsilon(0)],$$

որտեղ $\epsilon(0)$ մեծությունը ստատիկ դիէլեկտրական հաստատությունն է: (5.27) և (5.28) բանաձևերի օգնությամբ դիէլեկտրական թափանցելության (5.26) բանաձևը կընդունի հետևյալ տեսքը՝

$$\epsilon(\omega) = \epsilon(\infty) + \frac{\epsilon(0) - \epsilon(\infty)}{1 - (\omega/\omega_0)^2}; \quad (5.29)$$

$\epsilon(\omega)$ ֆունկցիայի զրաֆիկը պատկերված է նկ. V.6-ում:



Նկ. V.6

$\epsilon(0)$ և $\epsilon(\infty)$ հաստատումների արժեքները մի քանի խոնային բյուրեղների համար տրված են Աղյուսակ V.1-ում:

Աղյուսակ V.1

	$\epsilon(0)$	$\epsilon(\infty)$	$\omega_T (10^{13} \text{ռադ}\cdot\text{վ}^{-1})$	$\omega_L (10^{13} \text{ռադ}\cdot\text{վ}^{-1})$
LiF	8,9	1,9	5,8	12
LiCl	12,0	2,7	3,6	7,5
NaCl	5,9	2,25	3,1	5,0
NaBr	6,4	2,6	2,5	3,9
KF	5,5	1,5	3,6	6,1
KCl	4,85	2,1	2,7	4,0
RbF	6,5	1,9	2,9	5,4
RbI	5,5	2,6	1,4	1,9
CsCl	7,2	2,6	1,9	3,1
AgCl	12,3	4,0	1,9	3,4
AgBr	13,1	4,6	1,5	2,5
MgO	9,8	2,95	7,5	14

Համաձայն (5.19) և (5.25) հավասարումների,

$$(kE) \cdot \epsilon(\omega) = 0 : \quad (5.30)$$

Ուսումնախրենք ստացված հավասարումը:

$$I\eta\pi\psi. \quad \epsilon(\omega) = 0, (kE) \neq 0, \quad (5.31)$$

ինչը համարժեք է նաև

$$D = E + 4\pi P = 0 \quad (5.32)$$

հավասարմանը: Նկատի ունենալով վերջին հավասարումը, (5.22) և (5.20) հավասարումներից կստանանք՝

$$H = 0 : \quad (5.33)$$

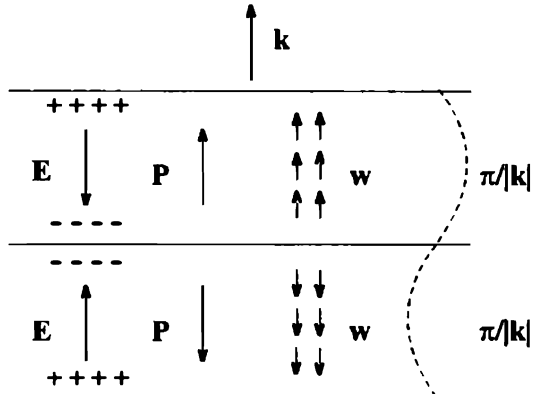
Մյուս կողմից, ըստ (5.21) և (5.33) հավասարումների,

$$k \times E = 0 \quad (5.34)$$

և, քանի որ $E \neq 0$, ապա $E \parallel k$: Եթե E վեկտորն ընարված է, ապա w , P վեկտորները որոշվում են (5.23) և (5.24) հավասարումներից և ուղղված են նույն ուղղով, ինչ որ E վեկտորը: Այսպիսով, քննարկվող դեպքում բռնը վեկտորները երկայնական են՝ $w \parallel P \parallel E \parallel k$, $H = 0$, իսկ հաճախությունները որոշվում են (5.31) պայմանից: Նկատի ունենալով (5.29) հավասարումը, երկայնական տատանումների հաճախության համար կստանանք՝

$$\omega_L = \left[\frac{\epsilon(0)}{\epsilon(\infty)} \right]^{1/2} \omega_0, \quad (5.35)$$

որը կախված չէ k ալիքային վեկտորի մեծությունից:



Նկ. V.7-ում պատկեր-

Նկ. V.7

ված են երկայնական տատանումների դեպքում k , E , P և w վեկտորների ուղղությունները: Այսպիսի տատանումներն ընդունված է անվանել երկայնական օպտիկական (LO-տատանումներ):

$$II \text{ դեպք. } \varepsilon(\omega) \neq 0, (\mathbf{k}E) = 0 : \quad (5.36)$$

Քանի որ $E \neq 0$, ապա $\mathbf{k} \perp E$, այսինքն, տվյալ դեպքում զործ ունենք լայնական տատանումների հետ: Համաձայն (5.21) հավասարման, \mathbf{k} , E և H վեկտորները կազմում են փոխուղղահայաց վեկտորների աջակողմյան համակարգ, հետևաբար

$$\mathbf{k}E = \frac{\omega}{c}H : \quad (5.37)$$

(5.20) հավասարումը տեղի ունի, բանի որ $\mathbf{k} \perp H$, իսկ (5.22) հավասարումը բերվում է:

$$kH = \frac{\omega}{c}(E + 4\pi P) \quad (5.38)$$

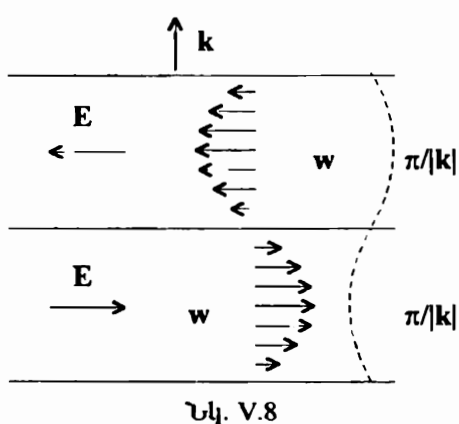
տեսքի: (5.37), (5.38) և (5.25) հավասարումներից հետևում է, որ

$$\frac{k^2 c^2}{\omega^2} E = \varepsilon(\omega) E$$

կամ

$$\frac{k^2 c^2}{\omega^2} = \varepsilon(\omega) = \varepsilon(\infty) \frac{\omega_L^2 - \omega^2}{\omega_0^2 - \omega^2} : \quad (5.39)$$

(5.39) առնչությունից որոշված հաճախությունները կախված են ալիքային \mathbf{k} վեկտորի մեծությունից: Յուրաքանչյուր \mathbf{k} վեկտորի համար կա երկու անկախ լուծում, որոնք համապատասխանում են E լարվածության երկու



հնարավոր և \mathbf{k} վեկտորին ուղղահայաց ընտրություններին: Այսիսով, այս դեպքում բոլոր լուծումները փոխուղղահայաց են \mathbf{k} , ($w \parallel P \parallel E$), H : Նկ. V.8-ում պատկերված են w , P , E և \mathbf{k} վեկտորները լայնական օպտիկական տատանումների դեպքում (TO-տատանումներ): Ինչպես հետևում է (5.9) հավասարումից, լայնական տատանումների դեպ-

բում ($b_{11} = -\omega_0^2$)

$$\ddot{w}_t = -\omega_0^2 w_t ,$$

որտեղ w_t վեկտորը w վեկտորի բաղադրիչն է՝ k ալիքային վեկտորի ուղղությամբ՝ շեղման լայնական բաղադրիչը, ենաևարար՝ լայնական տատանումների հաճախությունը՝ $\omega_T = \omega_0$:

(5.35) արտահայտությունը, զրկած

$$\omega_L^2 = \frac{\varepsilon(0)}{\varepsilon(\infty)} \omega_T^2$$

տեսքով, հայտնի է որպես Լիդեյն-Սաքս-Շելերի բանաձև։ և տեղի ունի նաև ոչ խորանարդային բյուրեղների համար։ Քանի որ $\varepsilon(0) > \varepsilon(\infty)$, ապա միշտ $\omega_L > \omega_T$ ։ Ֆիզիկորեն սա ենտևանք է այն բանի, որ լայնական տատանումների ժամանակ վերադարձնող ուժը քվազիառաջական ուժն է, իսկ երկայնական տատանումների դեպքում ծագում է լրացուցիչ վերադարձնող ուժ, պայմանավորված էլեկտրական դաշտով։

§6*. Էլեկտրամագնիսական ալիքի փոխազդեցությունը ցանցային տատանումների հետ

Այժմ ավելի եանգամանորեն ուսումնասիրենք էլեկտրամագնիսական ալիքի և ցանցի օպտիկական տատանումների փոխազդեցության հետևանքով համակարգում տեղի ունեցող ֆիզիկական երևոյթները։

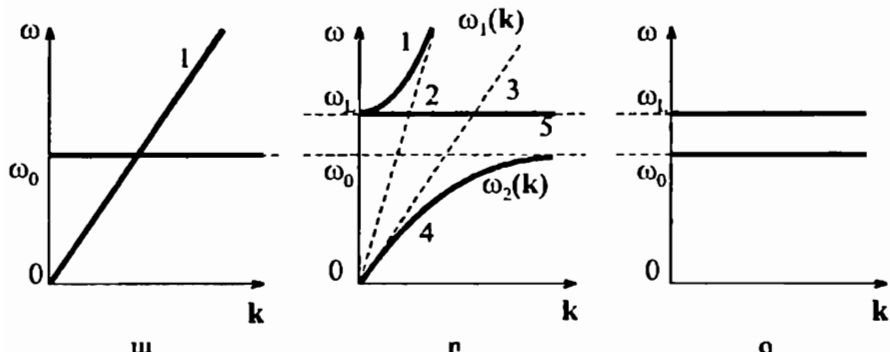
Նախ ենթադրենք, որ ցանցի օպտիկական տատանումները չեն փոխազդում էլեկտրամագնիսական տատանումների հետ՝ $e = 0$ ։ Այս դեպքում Մաքսվելի հավասարումները բերվում են վակուումում էլեկտրամագնիսական ալիքների հավասարմանը, որից ստացվում է լուսային ալիքի դիսպերսիոն հավասարումը՝

$$\omega = c \cdot k , \quad (6.1)$$

իսկ շարժման (5.17) հավասարումից՝ ցանցի օպտիկական ճյուղի տատանումների դիսպերսիոն հավասարումը՝ ($k a \ll 1$ դեպքում)

$$\omega = \omega_0 : \quad (6.2)$$

(6.1) և (6.2) հավասարումները պատկերված են նկ. V.9, առաջ: Նրանց համապատասխանող կորիերը հատվում են: Հատման կետում տարրերը բնույթի՝



Նկ. V.9

մեխանիկական և էլեկտրամագնիսական տատանումների հաճախորյունները համընկնում են, այդ պատճառով անգամ բույլ փոխազդեցորյան առկայությամբ կդիտվի ուղղության, որն էապես կազդի համակարգում ընթացող ինչպես էլեկտրական, այնպես էլ մեխանիկական պրոցեսների վրա: Երբ, փոխազդեցորյան հաշվառմամբ ($e \neq 0$) (5.39) հավասարումից ստացվում են դիսպերսիոն հավասարման երկու ճյուղեր՝

$$\omega_1^2(k) = \frac{1}{2} \left(\omega_L^2 + \frac{k^2 c^2}{\epsilon(\infty)} \right) \left[1 + \left(1 - \frac{4k^2 c^2 \omega_L^2}{\left(\omega_L^2 + \frac{k^2 c^2}{\epsilon(\infty)} \right)^2 \epsilon(0)} \right)^{1/2} \right], \quad (6.3)$$

$$\omega_2^2(k) = \frac{1}{2} \left(\omega_L^2 + \frac{k^2 c^2}{\epsilon(\infty)} \right) \left[1 - \left(1 - \frac{4k^2 c^2 \omega_L^2}{\left(\omega_L^2 + \frac{k^2 c^2}{\epsilon(\infty)} \right)^2 \epsilon(0)} \right)^{1/2} \right]. \quad (6.4)$$

Ուսումնասիրենք ստացված արտահայտությունները երկարակիքային մոտավորության շրջանակներում ($k a \ll 1$) տարբեր սահմանային դեպքերում: **Փոքր՝**

$$k \ll \frac{\omega_L}{c} \sqrt{\epsilon(0)}$$

ալիքային թվերի համար (6.3) և (6.4) հավասարումներից կստանանք՝

$$\omega_1(k) \approx \omega_L + \frac{k^2 c^2}{2\omega_L^2 \epsilon(\infty)}, \quad (\text{նկ. V.9, բ, կոր 1}), \quad (6.5)$$

$$\omega_2(k) \approx \frac{c}{\sqrt{\epsilon(0)}} k, \quad (\text{նկ. V.9, բ, կոր 3}) \quad (6.6)$$

(6.6) բանաձևը էլեկտրամագնիսական ալիքի դիսպերսիոն հավասարումն է $\epsilon(0)$ ստատիկ դիէլեկտրական թափանցելիությամբ միջավայրում: Սա նշանակում է, որ տվյալ դեպքում միջավայրը հասցնում է «համակերպվել» էլեկտրամագնիսական դաշտին և փոքրացնում է միայն ալիքի տարածման արագությունը՝ $c \rightarrow c/\sqrt{\epsilon(0)}$ (նկ. V.9, բ, կոր 3):

Երբ

$$k >> \frac{\omega_L}{c} \sqrt{\epsilon(0)},$$

(6.3) և (6.4) հավասարումներից ստանում ևնք՝

$$\omega_1(k) = \frac{c}{\sqrt{\epsilon(\infty)}} k, \quad (\text{նկ. V.9, բ, կոր 2}), \quad (6.7)$$

$$\omega_2(k) \approx \omega_0 : \quad (6.8)$$

(6.7) բանաձևը էլեկտրամագնիսական ալիքի դիսպերսիոն հավասարումն է $\epsilon(\infty)$ դիէլեկտրական թափանցելիությամբ միջավայրում: Այսպիսով, մեծ՝ $\omega >> \omega_L$ հաճախությամբ էլեկտրամագնիսական ալիքները չեն կարող ցանցը դնել շարժման մեջ նրա իներսության հետևանքով, և արդյունքում ցանցը չի խանգարում էլեկտրամագնիսական ալիքների տարածմանը:

Մեխանիկական և էլեկտրամագնիսական տարածումների փոխազդեցության հետևանքով հաճախությունների սպեկտրում առաջանում է արգել-

Ված տիրույթ: Իրոք, համաձայն $\varepsilon(\omega)$ ֆունկցիայի համար ստացված

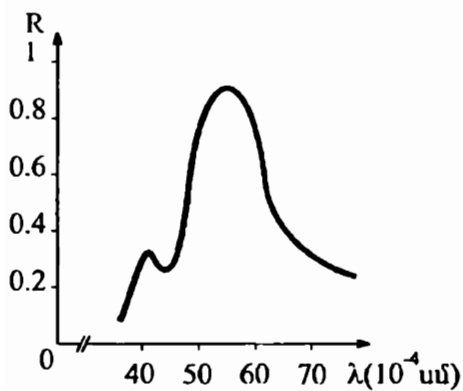
$$\varepsilon(\omega) = \varepsilon(\infty) \frac{\omega_L^2 - \omega^2}{\omega_T^2 - \omega^2} \quad (6.9)$$

արտահայտութան (տև նաև նկ. V.5), $\Delta\omega = \omega_L - \omega_T$ տիրույթին պատկանող հաճախորյունների համար $\varepsilon(\omega) < 0$, և համաձայն (5.39) բանաձևի,

$$k = \frac{\omega}{c} \sqrt{\varepsilon(\omega)} = i \frac{\omega}{c} \sqrt{|\varepsilon(\omega)|} \equiv i |k| \quad (6.10)$$

ալիքային թիվը կեղծ է, ուստի ալիքը մարում է $\exp(ikx) = \exp(-|k|x)$ օրենքով: Այսինքն՝ ալիքը չի կարող անցնել բյուրեղով, որի հաստորյունը x ուղղությամբ ավելի մեծ է, քան $|k|^{-1}$ մեծությունը: Այլ կերպ ասած, $\Delta\omega$ տիրույթին պատկանող հաճախորյուններով Լիկարանագնիսական ալիքներն անդրադառնում են բյուրեղի մակերևութային շերտից:

Այս երևույթն ընկած է «մնացորդային ճառագայթների» (Resonanzschleifen) մեքողի հիմքում, որի միջոցով ստացվում է զործնականորեն համասեն ինֆրակարմիր ճառագայթում, երբ նախապես անհամասեն վունջը բացմիցս անդրադառնում է բյուրեղական շերտերից, այնպես որ վնչում մնում է միայն ամենաուժեղ անդրադարձած հաճախորյունների մի նևո շերտ:



Նկ. V.10

Նկ. V.10-ում պատկերված է NaCl բյուրեղի անդրադարձան զործակցի՝ վործում ստացված կախումը ալիքի երկարությունից սենյակային ջերմասափաններում:

Տեսականորեն անդրադարձան զործակցը վնչի ուղղահայց անկման դեպքում որոշվում է

$$R = \left| \frac{n-1}{n+1} \right|^2 \quad (6.11)$$

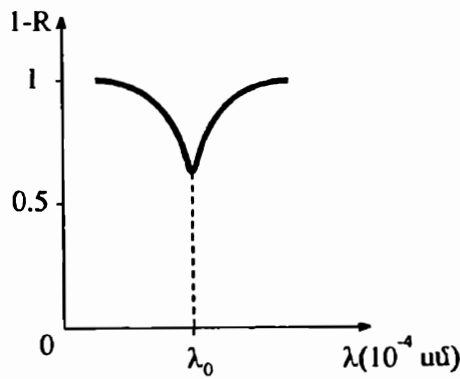
բանաձևով, որտեղ $n = \sqrt{\varepsilon(\omega)}$

մեծությունը միջավայրի բեկման ցուցիչն է:

Եթե ω -ն փոփոխվում է $(0, \omega_T)$ տիրույքում, ապա, համաձայն (6.9) բանաձևի, բեկման ցուցիչն աճում է $\sqrt{\epsilon(0)}$ արժեքից մինչև ∞ ($\omega = \omega_T$): Արգելված տիրույքում՝ $\omega_T \leq \omega \leq \omega_L$ n -ը կեղծ է, և $R = 1$, այսինքն՝ տեղի ունի լրիվ անդրադարձում: $\omega > \omega_L$ տիրույքում անդրադարձման զործակիցը նվազում է և ի վերջո ձգտում $\left[\sqrt{\epsilon(\infty)} - 1 \right]^2 / \left[\sqrt{\epsilon(\infty)} + 1 \right]^2$ սահմանային արժեքին:

Այսպիսով, (6.9) դիսպերսիոն հավասարումը որակապես բացատրում է ընտրողական անդրադարձման երևույթը, սակայն քանակական համապատասխանությունը փորձի և տեսության միջև հեռու է բավարար լինելուց: Մասնավորապես, նշված (ω_T, ω_L) արգելված տիրույքում անդրադարձումը երբեք իդեալական չէ, այսինքն՝ միշտ $R < 1$: Այս անհամապատասխանությունը պայմանավորված է ուսումնասիրված տեսության մոտավոր բնույթով, քանի որ նրանում օգտագործված շարժման հավասարման մեջ հաշվի են առնված շեղման վեկտորի միայն զծային անդամները, ինչը անբավար է հատկապես $\omega \sim \omega_T$ հաճախության մոտակայքում: Վերջին հաշվով հենց ոչ զծային անդամներով և պայմանավորված $\omega \sim \omega_T$ տիրույքում փորձում դիտվող ուժեղ կլանումը:

Նկ. V.11-ում պատկերված է NaCl -ի բարակ ($d = 0,17\mu$ հաստությամբ) թիթեղի բացրողման կորը՝ $(1-R)$ մեծության կախումն ալիքի երկարությունից, եթե ճառագայթումն ընկնում է թիթեղին ուղղակիաց ուղղությամբ: Փորձում $0,1 - 1\mu$ հաստությամբ թիթեղներում բացրողման մինիմումի հաճախությունը զործնականորեն կախված չէ թիթեղի հաստությունից և հավասար է ω_T -ին ($\lambda_T = \lambda_0 \approx 61\mu$):



Նկ. V.11

Այժմ քննարկենք այն սահմանային դեպքը, երբ էլեկտրամագնիսական ալիքի արագությունը՝ $c \rightarrow \infty$, այսինքն, երբ արհամարհվում է ալիքի «ուշացումը»: Ֆիզիկորեն սա նշանակում է, որ լուսի կողմից ցանցի հաստատուն անցնելու ժամանակը՝ $\Delta t \sim a/c$ շատ փոքր է տատանման $T = 2\pi/\omega_0$ պարբերությունից: Այս դեպքում, երբ $k \neq 0$, (5.39) հավասարումից հետևում է $\omega = \omega_0 \equiv \omega_T$ կապը, որը համընկնում է էլեկտրամագնիսական դաշտի հետ չփոխազդրող օպտիկական տատանումների (5.41) դիպերսիոն հավասարման հետ: Եթե $\omega \neq \omega_0$, ապա (5.39) հավասարումը տեղի ունի միայն $k = 0$ արժեքի համար:

Երկայնական ալիքները կախված չեն «ուշացումից», նրանք բվազիստատիկ են: Նկ. V.9, զ-ում պատկերված է $c \rightarrow \infty$ դեպքը: Նկ. V.9, թ և զ կորերի տարրերությունն ի հայտ է զայխ այնպիսի ալիքային բվերի համար, որոնց դեպքում

$$\alpha k \leq \alpha \frac{\omega_0}{c} \sim \frac{v}{c} \sim 10^{-5}, \quad (6.12)$$

որտեղ v -ն բյուրեղում ձայնի տարածման արագությունն է: Գնահատումից բխաւ է, որ ուշացման ազդեցությունը բյուրեղի տատանումների սպեկտրի վրա ի հայտ է զայխ միայն k ալիքային բվի արժեքների շատ փոքր՝ $k \sim \omega_0/c \leq 10^3 \text{ սմ}^{-1}$ տիրույթում: Այսպիսով, բոլոր այն խնդիրներում, որոնցում զործ ունենք երկարալիքային տատանումների հետ, որոնք բավարարում են (6.12) պայմանին, ուշացումը կարելի է անտեսել և լայնական օպտիկական տատանումներին վերագրել ω_T , իսկ երկայնական տատանումներին՝ ω_L հաճախություն:

§7. Դիէլեկտրական ռելաքսացիա

Կողմնորոշումային թեռացվելիության համար ստացված արտահայտություններում ենթադրվում է, որ առանց արտաքին դաշտի դիպոլային մոմենտը կարող է կողմնորոշված լինել ցանկացած ուղղությամբ: Այս ենթադրությունը կարող է իրականանալ ոչ խիստ զագերում, եթե մասնիկների միջև փոխազդեցությունը գործնականում ոչ մի դեր չի խաղում:

Սակայն կոնդենսացված միջավայրերում և, մասնավորապես, պինդ մարմնում, դիսպոլային մոմենտի՝ իր կողմնորոշումը փոխելու ունակությունն էապես կախված է ինչպես մոլեկուլի ձևից, այնպես էլ նրան շրջապատող մասնիկների հետ փոխազդեցությունից: Որքան մոլեկուլի ձևը մոտ է զնդայինին, և որքան փոքր և նրա դիսպոլային մոմենտը, այնքան ավելի հեշտությամբ և արագ մոլեկուլը կարող է վոլուսել իր կողմնորոշումն արտաքին դաշտի մեծությունը կամ ուղղությունը փոփոխելիս: Այնպիսի ոչ համաչափ մոլեկուլներ, ինչպիսիք են **HCl**-ը կամ **H₂O**-ն, պինդ ֆագում ունեն մի քանի կայուն կողմնորոշման ուղղություններ, և մեկից մյուսին են անցնում համեմատարար դաշտայ: Այսպիսի անցնան միջին ժամանակն ընդունված է անվանել ուղարսացիայի ժամանակ, իսկ նրա հակադարձ մեծությունը՝ ռելաքսացիայի հաճախություն:

Եթե արտաքին դաշտի հաճախությունը մեծ է ռելաքսացիայի հաճախությունից, ապա համակարգում տեղի ունեցող փոփոխությունները դաշտի փոփոխությունից եւս են մնում:

Կողմնորոշումային պրոցեսների համար ռելաքսացիայի հաճախությունը լապես կախված է ջերմաստիճանից և փոփոխվում է լայն տիրությունում:

Նեղուկներում ռելաքսացիայի ժամանակամիջոցը (τ) կապված է մածուցիկության հ գործակցի հետ

$$\tau = \frac{4\pi \eta a^3}{k_B T} \quad (7.1)$$

մոտավոր արտահայտությամբ, որտեղ a -ն զնդաձն մոլեկուլի շառավիղն է: Սենյակային ջերմաստիճաններում, ջրի համար ($\eta = 10^{-2}$ պուազ, $a \approx 10^{-8}$ սմ) $\tau \approx 10^{-11}$ վ. ինչը համընկնում է փորձի հետ:

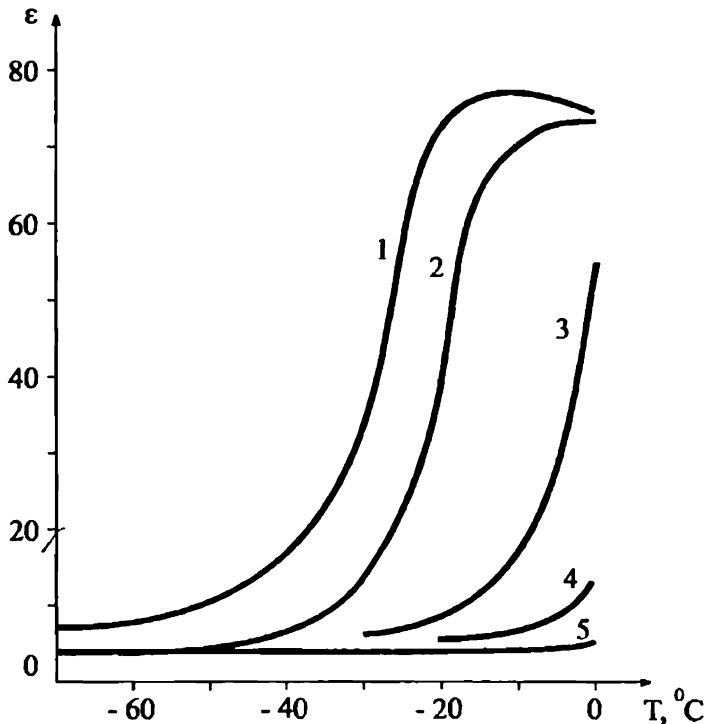
Նկ. V.12-ում սլատկերպած է սառույցի դիելեկտրական քափանցելիության ջերմաստիճանային կախումը տարրեր հաճախությունների համար (կորերին համապատասխանում են հետևյալ հաճախությունները՝ 1 - 300Հց, 2 - 1կՀց, 3 - 5կՀց, 4 - 20կՀց, 5 - 60կՀց):

Համաձայն Պ.Դեբայի, կողմնորոշումային թևեռացվելիության հաճախային կախումն արտաքին $E_0 \exp(-i\omega t)$ դաշտի ω հաճախությունից

տրվում է հետևյալ բանաձևը՝

$$\alpha(\omega) = \frac{\alpha_0}{1 - i\omega\tau}, \quad (7.2)$$

որտեղ α_0 -ն ստատիկ կողմնօրոշումային բևեռացվելիությունն է:



Նկ. V.12

Այժմ ստանանք դիէլեկտրական բավանցելիության արտահայտությունը ռելաքսացիոն պլոցեսների հաշվառմամբ:

Եթե բևեռացվելիությունը պայմանավորված է և էլեկտրոնային (ատոմային), և կողմնօրոշումային բևեռացվելիությամբ, ապա, նկատի ունենալով (7.2) արտահայտությունը, բևեռացման վեկտորի մեծության համար կարող ենք գրել՝

$$P = P_e + P_d = \left(\chi_1 + \frac{\chi_2}{1 - i\omega\tau} \right) E, \quad (7.3)$$

որսեղ χ_1 -ը էլեկտրոնային, իսկ χ_2 -ը կողմնորոշումային քևոացվելիությամբ պայմանավորված ստամիկ ընկալունակություններն են: Ի գումարելու մեջ $i\omega$ անդամի բացակայությունը ֆիզիկորեն նշանակում է, որ էլեկտրոնային քևոացվելիությամբ պայմանավորված քևոացումը դաշտի փոփոխության հետ համաժամանակ է փոփոխվում, ինչը հետևանք է էլեկտրոնների փորք իներտության: (7.3) բանաձևում E լարվածության գործակիցը կոմպլեքս ընկալունակությունն է, որը տեղադրելով (1.12) արտահայտության մեջ, կստանանք՝

$$\epsilon(\omega) = 1 + 4\pi\chi_1 + \frac{4\pi\chi_2}{1 - i\omega\tau} : \quad (7.4)$$

χ_1 և χ_2 մեծություններն արտահայտենք $\epsilon(\omega)$ դիէլեկտրական թափանցելիության սահմանային (փորձում չափվող) արժեքների միջոցով:

Եթե $\omega = 0$, ստատիկ դիէլեկտրական թափանցելիությունը՝

$$\epsilon_s \equiv \epsilon(0) = 1 + 4\pi(\chi_1 + \chi_2) , \quad (7.5)$$

իսկ եթե $\omega >> 1/\tau$ (ձևականորեն $\omega \rightarrow \infty$)

$$\epsilon(\infty) \equiv \epsilon_\infty \equiv n^2 = 1 + 4\pi\chi_1 , \quad (7.6)$$

որտեղ n -ը նյութի բեկման ցուցիչն է: (7.4), (7.5) և (7.6) առնչությունների համաձայն,

$$\epsilon(\omega) = \epsilon_\infty + \frac{\epsilon_s - \epsilon_\infty}{1 - i\omega\tau} \equiv \epsilon_1 + i\epsilon_2 : \quad (7.7)$$

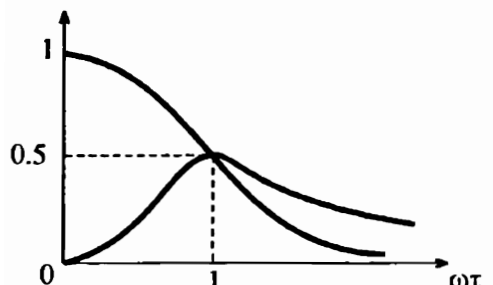
(7.7) բանաձևից դիէլեկտրական թափանցելիության իրական (ϵ_1) և կեղծ (ϵ_2) մասերի համար կստանանք՝

$$\epsilon_1(\omega) = \epsilon_\infty + \frac{\epsilon_s - \epsilon_\infty}{1 + (\omega\tau)^2} , \quad (7.8)$$

$$\epsilon_2(\omega) = \frac{\epsilon_s - \epsilon_\infty}{1 + (\omega\tau)^2} \omega\tau : \quad (7.9)$$

Նկ. V.13-ում պատկերված են $\epsilon_1(\omega)$ և $\epsilon_2(\omega)$ ֆունկցիաները: Համաձայն (7.8) և (7.9) բանաձևերի, ցածրհաճախային՝ $\omega\tau \ll 1$ և բարձրհաճախային՝ $\omega\tau \gg 1$ տիրույթներում $\epsilon_2(\omega) \approx 0$, այսինքն՝ $\epsilon(\omega)$ ֆունկցիան իրական է:

Հայտնի է, որ եթե $\varepsilon_2(\omega) \neq 0$, ապա միջավայրում առկա էն էներգիա-կան կորուստներ: Իրոք, ըստ Զոոլ-Լենցի օրենքի, միավոր ժամանակում, միավոր ծավալում անջատված էներգիան (եթե դաշտը փոփոխվում է $e^{-i\omega t}$ օրենքով):



Նկ. V.13

$$Q = \sigma \cdot \overline{E^2} = \frac{1}{2} \sigma \cdot E_0^2, \quad (7.10)$$

որտեղ միջավայրի σ հաղորդականությունը կապված է ε_2 -ի հետ հեակյալ առնչությամբ:

$$\sigma = \frac{\omega \varepsilon_2(\omega)}{4\pi} : \quad (7.11)$$

(7.10) և (7.11) բանաձևերից էներգիական կորուստների համար կստանանք՝

$$Q = \frac{\omega \varepsilon_2(\omega)}{8\pi} E_0^2 : \quad (7.12)$$

Միջավայրի հաղորդականությամբ պայմանավորված կորուստների (7.12) արտահայտությունը կարելի է ներկայացնել նաև

$$Q = \frac{\omega \varepsilon_1(\omega)}{8\pi} E_0^2 \operatorname{tg} \delta \quad (7.13)$$

տեսքով, որտեղ

$$\operatorname{tg} \delta = \varepsilon_2 / \varepsilon_1, \quad (7.14)$$

իսկ δ մեծությունը կոչվում է կորուստների անկյուն:

Ինչպես հետևում է (7.8) և (7.9) բանաձևերից, $\varepsilon_1(\omega)$ և $\varepsilon_2(\omega)$ մեծություններն իրարից անկախ չեն՝ $\varepsilon_2(\omega) = [\varepsilon_1(\omega) - \varepsilon_\infty] \cdot \omega \tau$:

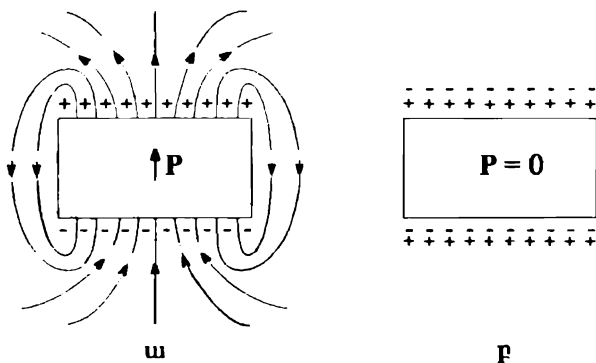
Ընդհանուր դեպքում, անկախ $\varepsilon_1(\omega)$ և $\varepsilon_2(\omega)$ ֆունկցիաների տեսքից, եթե հայտնի է $\varepsilon_1(\omega) - \varepsilon_\infty$ կամ $\varepsilon_2(\omega)$ ֆունկցիաներից որևէ մեկը հաճախությունների $[0, \infty]$ տիրույթում, ապա մյուսը կարելի է որոշել այսպես կոչված դիսպերսիան առնչությունների միջոցով (Հ.Կրամերս, Ռ.Կրոնիզ):

§8. Պիրուէլեկտրականություն

Անիզոտրոպ դիէլեկտրական միջավայրում, ինչպիսին է միաբրյուրեղը, ինդուկցիայի և լեկտրական դաշտի լարվածության վկասորների միջև կապն ավելի բարդ է և չի բերվում նրանց միջև համեմատականության, ինչն արտահայտված է (1.13) առնչությամբ: Ամենաընդհանուր դեպքում այդ կապն արտահայտվում է

$$D_i = D_{0i} + \varepsilon_{ik} E_k \quad (8.1)$$

հավասարումով, որտեղ D_0 -ն հաստատուն (E -ից չկախված) վեկտոր է, իսկ ε_{ik} մեծորյունների համալսումը կազմում է դիէլեկտրական թափանցելիության տեսնորը (կրկնվող k ցուցիչով կատարվում է գումարում՝ $k = 1, 2, 3$): D_0 ազատ անդամը կարող է զրոյից տարրեր լինել միայն որոշակի համաշափությամբ օժտված բյուրեղներում: Եթե $D_0 \neq 0$, ապա դիէլեկտրական նմուշն ինքնարերարար բևեռացված է, այսինքն՝ արտաքին դաշտի բացակայության պայմաններում այն ունի զրոյից տարրեր բևեռացում (նկ. V.14): Այսպիսի բյուրեղները կոչվում են պիրուէլեկտրիկներ: Գործնականում ինքնարերական բևեռացումը միշտ շատ փոքր է (ներմոլեկուլային դաշտերի համեմատությամբ), բանի որ ներքին էլեկտրական դաշտի ազդեցության տակ նմուշում առաջանում է բույլ էլեկտրական հոսանք: Այն զրոյից տարրեր է այնքան ժամանակ, քանի դեռ մակերևույթի վրա առաջացող ազատ լիցքերը լրիվ չեն համակշռել բևեռային լիցքերը և ներ-



Նկ. V.14

քին դաշտը չեն դարձրել զրությունը: Նույն ձևով են գործում նաև օդից դիէլեկտրիկի նակերևույթին անցնող խմբները (նկ. V.14, բ):

Սակայն եթե բյուրեղի ջերմաստիճանը արագ փոխենք ΔT -ով, ապա ինքնարեական P_0 բևեռացումը կփոխվի ΔP_0 -ով, և նմուշի մակերևույթին կառաջանանա:

$$\sigma = \Delta P_0 = p_m \cdot \Delta T \equiv \left(\frac{\partial P}{\partial T} \right)_X \Delta T \quad (8.2)$$

Խստությամբ մակերևութային լիցք. p_m գործակիցը պիրուէլեկտրական հաստատումն է, իսկ X -ով նշանակված է այն բնուրագրերի համախամբը, որոնք նմուշի ջերմաստիճանը փոփոխելիս պահպան են հաստատուն: Տուրմալինի բյուրեղի համար 20°C -ում $p_m \approx 1,3 \text{ CGSE}_q/\text{սմ}^2$. Կ: Ինչպես ցույց են տալիս փորձերը, p_m գործակիցի ջերմաստիճանային կախումը նույն է բյուրեղի ջերմունակության և ջերմային ընդարձակման գործակիցների ջերմաստիճանային կախամներին:

Պիրուէլեկտրական երևույթը պայմանավորված է որոշ բարդ բյուրեղական կառուցվածքներում էլեկտրական լիցքերի ոչ համաչափ բաշխումով: Անգամ արտաքին ազդակների բացակայությամբ դրական և բացասական լիցքերի «ծանրության կենտրոնները» չեն համրնենամ, այսինքն՝ բյուրեղն ինքնարեաբարար բևեռանում է:

Ինքնարեական բևեռացման ջերմաստիճանային կախումը պայմանավորված է երկու պատճառով: Նախ, ջերմաստիճանի փոփոխության հետ ազատ բյուրեղը փոփոխում է իր ծավալը, հետևապես և նմուշի միավոր ծավալին բաժին ընկնող դիմուլային մոմենտը: Երկրորդ, եթե անգամ նմուշը սեղմված է, այսինքն՝ ջերմաստիճանի փոփոխությունը չի ուղեկցվում դեֆորմացիայով, ապա նմուշը կրում է ներքին, կառուցվածքային փոփոխություններ:

Պիրուէլեկտրական նյութերամբ բևեռացման մեծությունը գծայնորեն է կախված ներքին դաշտի լարվածությունից՝

$$P_0 = \alpha \cdot E, \quad (8.3)$$

որտեղ α գործակիցը կախված չէ E -ից (ի տարրերություն սեղմետաէլեկտրիկների, որոնցում $\alpha = \alpha(E)$, տես §10):

Քանի որ բյուրեղի համաշավության բոլոր ծևափոխաթյունների դեպքում նրա բոլոր հատկությունները պետք է մնան անփոփոխ, ապա ակնհայտ է, որ պիրուէլեկտրական կարող է լինել միայն այն բյուրեղը, որում գոյություն ունի համաշավության բոլոր ծևափոխաթյունների ժամանակ անփոփոխ մնացող ուղղություն, որով և ուղղված է P_0 վեկտորը: Մասնավորապես, պիրուէլեկտրական չեն կարող լինել համաշավության կենտրոն ունեցող բյուրեղները:

Պիրուէլեկտրական նյութերի համար բնօրոշ է ֆազային անցումների բացակայությունը և ինքնաբերական թևեռացման առկայությունը նրանց գոյության ջերմաստիճանային ամբողջ տիրապես:

Պիրուէլեկտրական երևոյթի հակադարձ երևոյթը, եթե էլեկտրական դաշտի ազդեցության տակ փոխվում է բյուրեղի ջերմաստիճանը, հայտնի է «էլեկտրակալորական երևոյթ» անվամբ: Էլեկտրակալորական երևոյթը նկարագրվում է

$$\Delta T = q\Delta E \equiv \left(\frac{\partial T}{\partial E} \right)_X \Delta E \quad (8.4)$$

հավասարումով, որտեղ q մեծությունը էլեկտրակալորական երևոյթի գործակիցն է: Այն կապված է պիրուէլեկտրական p_m հաստատունի հետ

$$q = -p_m \frac{T}{C} \quad (8.5)$$

առնչությամբ, որտեղ C -ն բյուրեղի տեսակարար ջերմունակությունն է:

§9. Պիեզոէլեկտրականություն

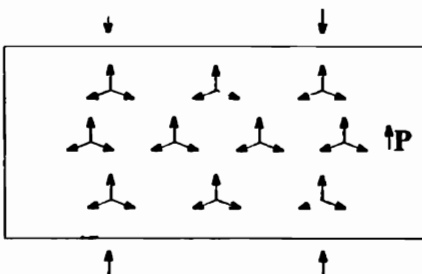
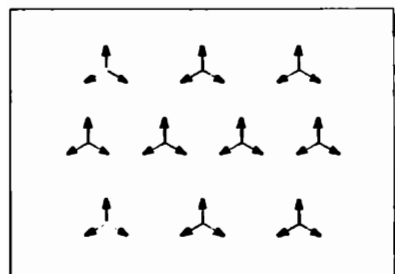
Ինչպես հայտնի է, արտաքին էլեկտրական դաշտում գտնվող բյուրեղում առաջանամ են ներքին մեխանիկական լարումներ, որոնց ազդեցությամբ նմուշի ծավալը փոփոխվում է: Ծավալի փոփոխաթյունը համեմատական է էլեկտրական դաշտի լարվածության քառակուսուն՝ $\Delta V \sim E^2$: Այս երևոյթը հայտնի է էլեկտրաստրիկցիա անունով և տեղի ունի բոլոր բյուրեղային և ոչ բյուրեղային պինդ մարմիններում:

Սակայն որոշ բյուրեղներում էլեկտրական դաշտի ազդեցությամբ ծագող ներքին լարումները գծայնորեն են կախված դաշտի լարվածությունից: Նույն բյուրեղներում դիտվում է նաև հակառակ երևույթը, երբ մեխանիկական լարման ազդեցությամբ բյուրեղը ծեռը է բերում թևեսացում: Այս երևույթը հայտնի է պիեզոէլեկտրական անունով և հայտնաբերվել է Ժ. և Պ. Կյուրիների կողմից 1880թ. քվարցի բյուրեղներում: Պիեզոէլեկտրական հատկությամբ օժտված բյուրեղները կոչվում են պիեզոէլեկտրաբիկներ (Նկ. V.15)

Եթե պիեզոէլեկտրիկի որոշակի ձևով կտրված թիթեղը ենթարկենք մեխանիկական լարման (ձգում, սեղմում կամ սակր), ապա նրա մակերևույթներին կծագեն էլեկտրական լիցքեր, որոնք պայմանավորված են թիթեղի թևեսացմամբ: Երևույթի ֆիզիկական էտապունք բացատրվում է մեխանիկական լարումների ազդեցության տակ լիցքերի շեղման հետևանքով բյուրեղի արրրական բջջի թևեսացման ծագմամբ կամ վոլտությամբ (այսպէս կոչված ուղիղ պիեզոէլեկտրույթ):

Եթե թիթեղը տեղադրենք էլեկտրական դաշտում, ապա դաշտի ազդեցության տակ տարրական բջջում տեղի կունենա լիցքերի անդաշարժ և, որպես հետևանք, նրանց միջև միջին հետավորությունների փոփոխություն, այսինքն՝ դեֆորմացիա (հակադարձ պիեզոէլեկտրույթ):

Պիեզոէլեկտրականության գոյուրյան անհրաժեշտ սլայմանը բյուրեղի համաշափության կենտրոնի բացակայությունն է:



Նկ. V.15

Հարկ է իրարից տարբերել բնական պիեզոէլեկտրույթը, որը ի հայտ է գալիս որոշ միաբյուրեղներում (քվարց, տուրմալին, ցինկի խարուսակ և այլն) և

արհեստական պիեզոնրեսույքը, որը ստեղծվում է որոշ նյութերում (նաև ոչ բյուրեղային) պիեզոէլեկտրական սեխտուրա, այսինքն՝ բևեռացման անգոտորապիտ ստեղծելու միջոցով: Վերջինս իրականացվում է էլեկտրական դաշտի կամ մեխանիկական հատուկ մշակման ճանապարհով: Արհեստական պիեզոէլեկտրական նյութերում (էլեկտրեաներ, պիեզոինտեգրիտեր) պիեզոէլեկտրական հաակություններն արտահայտված են առավել ցայտուն ձևով:

Դիէլեկտրիկների պիեզոէլեկտրական հատկություններն արտահայտվում են մեխանիկական լարմաների σ_{ik} տենզորի կամ դեֆորմացիայի u_{ik} տենզորի տարրերի և, մյուս կողմից, բևեռացման P (կամ D) և էլեկտրական դաշտի լարվածության E վեկտորի բաղադրիչների միջև զգային կապերով:

Պիեզոէլեկտրականության երևութարանական տեսությունը հիմնվում է համակարգի բերմողինամիկական վիճակի՝ արսաքին ազդակներից (մեխանիկական լարումներ, էլեկտրական դաշտեր) և ջերմասալիճանից կախված փոփոխությունների մասին սյասկերացումների վրա: Ընդունին, պիեզոէրեսույքի հավասարումները ստացվում են բյուրեղի հավասարակության, այսինքն՝ համապատասխան բերմողինամիկական պոտենցիալների մինիմումի պայմանից:

Եթե որպես անկախ փոփոխականներ ընարենք ջերմաստիճանը, շեղման տենզորի u_{ik} և էլեկտրական դաշտի լարվածության վեկտորի E , բաղադրիչները, ապա միավոր ծավալում պարունակվող նյութի քանակի ազատ էներգիայի դիֆերենցիալի համար կարող ենք գրել՝

$$dF = -SdT + \sigma_{ik}du_{ik} - \frac{1}{4\pi}D_idE_i, \quad (9.1)$$

որտեղ S -ը էնտրոպիայի խսությունն է (կրկնվող ցուցիչներով ենթադրվում է գումարում, $i, k = 1, 2, 3$):

Երբեմն նպատակահարմաք է որպես անկախ փոփոխականներ ընտրել լարման տենզորի σ_{ik} բաղադրիչները: Դրա համար (9.1) առնչությունն արտագրենք հետևյալ տեսքով՝

$$d(F - u_{ik}\sigma_{ik}) = -SdT - u_{ik}d\sigma_{ik} - \frac{1}{4\pi}D_idE_i : \quad (9.2)$$

Փակագծերում գրված

$$\Phi = F - u_{ik} \sigma_{ik} \quad (9.3)$$

մեծությունը քերմողինամիկական (կամ Գիրսի) պոտենցիալն է, որի վոլովութականներն են (T, σ_{ik}, E_i) մեծությունները, թվով 10 (T , 6 հատ σ_{ik} և 3 հատ E_i): (9.2) և (9.3) արտահայտությունների համաձայն

$$d\Phi = -SdT - u_{ik} d\sigma_{ik} - \frac{1}{4\pi} D_i dE_i : \quad (9.4)$$

(9.4) հավասարումից ինդուկցիայի վեկտորի D_i և դեֆորմացիայի տենզորի u_{ik} բաղադրիչները կարող են արտահայտվել քերմողինամիկական $\Phi(T, \sigma_{ik}, E_i)$ պոտենցիալի միջոցով՝

$$D_i = -4\pi \left(\frac{\partial \Phi}{\partial E_i} \right)_{T, \sigma_{ik}} , \quad (9.5)$$

$$u_{ik} = - \left(\frac{\partial \Phi}{\partial \sigma_{ik}} \right)_{T, E} : \quad (9.6)$$

Օգսվենք միավոր ծավալում պարունակվող զանգվածի քերմողինամիկական պոտենցիալի հայտնի արտահայտությունից՝

$$\Phi = \Phi_0 - \frac{1}{2} \mu_{iklm} \sigma_{ik} \sigma_{lm} - \frac{1}{8\pi} \varepsilon_{ik} E_i E_k - \frac{1}{4\pi} E_i D_{0i} - d_{i,kl} E_i \sigma_{kl} , \quad (9.7)$$

որտեղ Φ_0 -ն համապատասխանում է $\sigma_{ik} = 0, E_i = 0$ վիճակին, μ_{iklm} -ը առածզական հաստատունների տենզորն է, իսկ $d_{i,kl}$ -ը պիեզոէլեկտրական հաստատունների անգորն է, որը համաչափ է ըստ k և l ցուցիչների՝

$$d_{i,kl} = d_{i,lk} : \quad (9.8)$$

Վերջին հատկությունը հետևանք է լարումների տենզորի $\sigma_{kl} = \sigma_{lk}$ համաշափության հատկության:

(9.5)-(9.7) արտահայտություններից ստացվում են պիեզոէլեկտրականության հետապյան հիմնական հավասարամանները՝

$$D_i = D_{0i} + \varepsilon_{ik} E_{ik} + 4\pi d_{i,kl} \sigma_{kl} , \quad (9.9)$$

$$u_{ik} = \mu_{iklm} \sigma_{lm} + d_{i,ik} E_i : \quad (9.10)$$

(9.9) հավասարումը տալիս է լարման տենզորի տրված արժեքների համար ինդուկցիայի վեկտորի բաղադրիչների կախամը էլեկտրական դաշտի լարվածությունից, իսկ (9.10)-ը՝ դեֆորմացիայի տենզորի բաղադրիչների կախումը լարման տենզորի բաղադրիչներից տրված E դաշտում: (9.9) հավասարման երրորդ անդամը պիեզոէլեկտրական հետևանքով առաջացած քեռացումն է (բազմապատկած 4π -ով):

$$P_i = d_{i,kl} \sigma_{kl} : \quad (9.11)$$

(9.10) հավասարման երկրորդ գումարելին էլեկտրական դաշտով պայմանավորված ներդրումն է դեֆորմացիայի տենզորում, այսինքն՝ այն նկարագրում է հակադարձ պիեզոէլեկտրական երևայքը: Այսպիսով, և ուղիղ, և հակադարձ պիեզոէլեկտրական երևույթները բնուրագրվում են միևնույն $d_{i,kl}$ տենզորի միջոցով:

Եթե որոշակի պայմաններում դեֆորմացիան տեղի է ունենալ տրված ինդուկցիայի դեպքում, կամ դիտարկվում է ինդուկցիայի վեկտորի բաղադրիչների կախամը էլեկտրական դաշտի լարվածությունից տրված դեֆորմացիայի դեպքում, ապա նշված մեծությունների միջև կապերում ε_{ik} և μ_{iklm} գործակիցների փոխարեն հանդես են զալիս նոր գործակիցներ, որոնք սակայն կարող են արտահայտվել ε_{ik} , μ_{iklm} և $d_{i,kl}$ գործակիցների միջոցով:

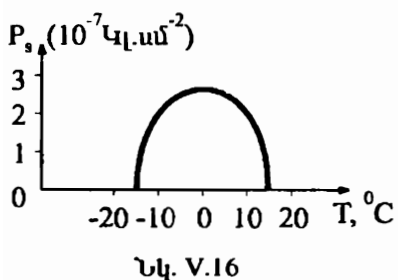
Պիեզոէլեկտրական նմուշում էլեկտրական դաշտը, ինչպես նաև լարման դաշտը, որոշվում է էլեկտրաստատիկայի և առաձգականության տեսության

$$\operatorname{div} D = 0, \quad \operatorname{rot} E = 0, \quad \frac{\partial \sigma_{ik}}{\partial x_k} = 0 \quad (9.12)$$

իմնական հավասարումների համատեղ լուծումից՝ (9.9) և (9.10) «նյութական» հավասարումների և համապատասխան եզրային պայմանների օգնությամբ:

§10*. Սեղմետակտիկանուրյուն

Որոշ դիէլեկտրական բյուրեղներ, որոնք դեֆորմացված չեն, ջերմաստիճանը փոփոխվելիս որաշակի ջերմաստիճանում, որն ընդունված է անվանել Կյուրիի ջերմաստիճան՝ T_c , անցնում են նոր վիճակի, որը բնորբազրվում է գրայից տարրեր ինքնարերական բևեռացման ի հայտ գալով: Այսինքն, T_c ջերմաստիճանում նմուշը $P_s = 0$ չբևեռացված, այսպես կոչված «պարակտիկական», վիճակից անցնում է $P_s \neq 0$ պիրուէլեկտրական վիճակի: Այդպիսի բյուրեղները կոչվում են սեղմետակտիկիներ: ⁹ Սեղմետակտիկարիկների մեծ մասի մոտ պիրուէլեկտրական վիճակն իրականանում է $T < T_c$ տիրույթում (Աղյուսակ V.2): Սակայն հայտնի են նաև այնպիսի սեղմետակտիկներ, որոնք կարող են զտնվել պիրուէլեկտրական վիճակում ջերմաստիճանների միայն որոշակի տիրույթում, որից դուրս, ինչպես ցածր, այնպես էլ բարձր ջերմաստիճաններում նրանք անցնում են պարակտիկական վիճակի (օրինակ՝ սեղմետյան աղը, նկ. V.16):



Նկ. V.16

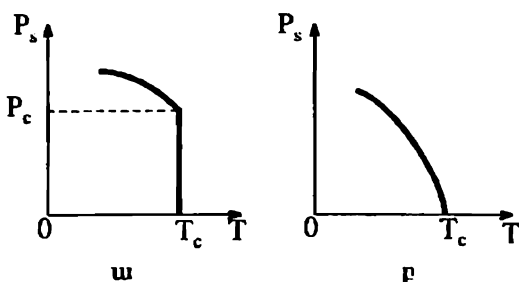
Եթե պարակտիկական վիճակից պիրուէլեկտրականին անցնելիս ինքնարերական բևեռացումը փոփոխվում է բոլիչքով (նկ. V.17), ապա զործունենք առաջին կարգի ֆազային անցման հետ: Իսկ եթե նշված անցման ժամանակ այն փոփոխվում և անընդհատ ծևով, ապա անցումը երկրարդ կարգի է: Որոշ սեղմետակտիկիներ չունեն Կյուրիի ջերմաստիճան, քանի որ ջերմաստիճանը բարձրացնելիս նրանք հալվում են, ընդհուպ մինչև հալման ջերմաստիճանը մնալով սեղմետակտիկի:

⁹ Արտասահմանյան գրականության մեջ ընդունված է ֆեռոէլեկտրիկներ (ֆեռոէլեկտրականություն) անվանումը, ինչը պայմանավորված է ֆեռոմագնիսական նյութերում ինքնարերական մագնիսացման երևույթի հետ առկա նմանությամբ:

Բյուրեղ	T_c , K	P , մկՎ/սմ ²
Կալիումի դիմիուրֆոսֆատ (KH_2PO_4)	123	4,75
Կալիումի դիդեյտերիումֆոսֆատ (KD_2PO_4)	213	4,83
Ռուբիումի դիմիուրֆոսֆատ (RbH_2PO_4)	147	5,6
Ռուբիումի դիդեյտերիումֆոսֆատ (RbD_2PO_4)	218	—
Բարիումի տիտանատ ($BaTiO_3$)	393	26,0
Կապարի տիտանատ ($PbTiO_3$)	763	> 50
Կազմիումի տիտանատ ($CdTiO_3$)	55	—
Կալիումի նիոբատ ($KNbO_3$)	708	30,0
Սեղմետյան աղ ($NaKC_4H_4O_6 \cdot 4D_2O$)	297 (max) 255 (min)	0,25

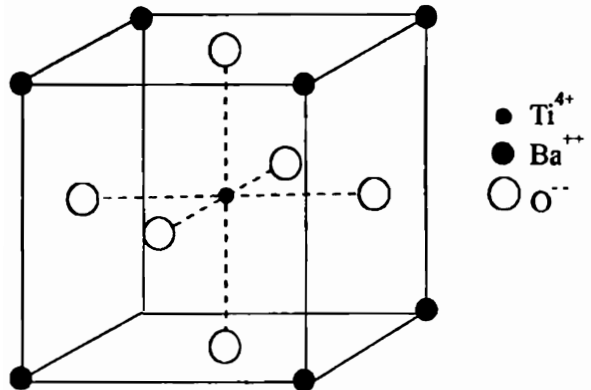
Սեղմետյան աղը կարելի է բաժանել երկու հիմնական խմբի՝ ա) կարգավորմամբ քնորոշվող և բ) շեղմամբ քնորոշվող:

Առաջին խմբի նմուշներում անցումը պայմանավորված է իոնների կարգավորմամբ, իսկ երկրորդ խմբի նմուշներում՝ միմյանց նկատմամբ խոնային ենթացանցերի շեղմամբ:



Նկ. V.17

Սեղնետաէլեկտրիկների առաջին խմբին են պատկանում ջրածնային կապով բյուրեղները, որոնցում $P_s \neq 0$ քևոացումը կապված է ջրածնի խոնճերի տեղաշարժերի հետ: Եթե այս խմբի որոշ նյութերում ջրածնի խոնճ պրոտոռ, փոխարինվի դեյտերիումով (ծանր ջրածնով), ապա Կյուրիի ջերմաստիճանը մեծանում է մոտ 2 անգամ (օրինակ KH_2PO_4 -ի համար $T_c \approx 123\text{K}$, իսկ KD_2PO_4 -ի համար՝ $T_c \approx 213\text{K}$, Աղյուսակ V.2): Այսպիսի զգալի իզոտոպական շեղումը սովորաբար կապում են ջրածնի խոնճ՝ մի քանի հավասարակշռության դիրքերի միջև քանտուային քոննելային անցման հնարավորության հետ:

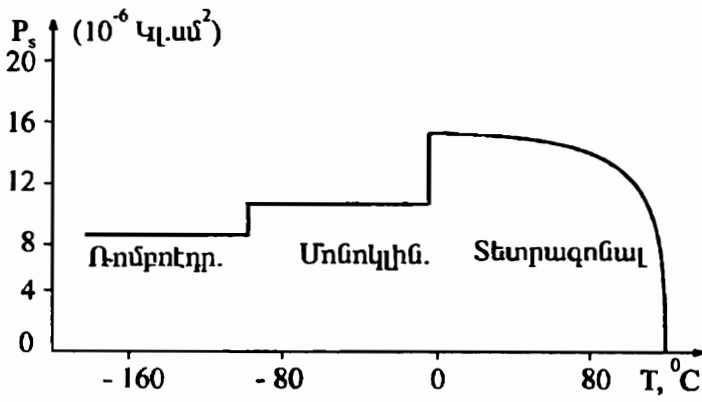
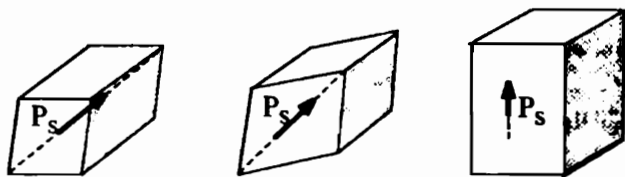


Նկ. V.18

Վում են բարիումի Ba^{++} խոնճերը, նիստերի կենսարուներում՝ բրվածնի O^- խոնճերը, իսկ խորանարդի կենտրոնում՝ տիտանի Ti^{4+} խոնճը: Եթե $T < T_c$, այս խորանարդային կառուցվածքը որոշ չափով դեֆորմացվում է՝ Ba^{++} և Ti^{4+} խոնճերը տեղաշարժվում են O^- խոնճերի նկատմամբ, արդյունքում տարրական քիչը ձեռք է բերաւ դիպոլային մոմենտ: Եթե շարտունակենք ցածրացնել ջերմաստիճանը, ապա 0°C -ին և ապա -90°C -ին մոտ ջերմաստիճաններում BaTiO_3 բյուրեղը կրում է կառուցվածքային փոփոխություններ, տետրագոնալ կառուցվածքից անցնելով նախ մոնոկլինային, ապա՝ ռոմբոէդրական կառուցվածքի, որոնց համապատասխանում են ինքնաբերական քևոացման վեկտորի տարրեր ուղղություններ (նկ. V.19):

Սեղնետաէլեկտրիկների երկրորդ խմբին են պատկանում պերովսկիտի (CaTiO_3) տիպի կառուցվածքով խոնճային բյուրեղները (նկ. V.18): Այդ խմբին պատկանող բարիումի տիտանատի (BaTiO_3) բյուրեղն ունի խորանարդային կառուցվածք: Խորանարդի զագաթներում գտնը-

Ծանոթանանք սեղմետակետրականության երևաբառական տեսությանը, որը ֆազային անցումների տեսության կոմլքետ կիրառության մի օրինակ է:



Նկ. V.19

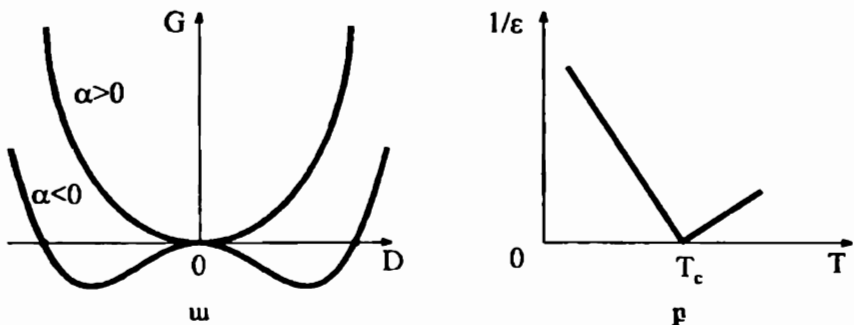
Օգտվենք Գիբսի G պոտենցիալի արտահայտությունից, որը, ի տարբերություն (9.3) բանաձևով տրվող $\Phi(T, \sigma_{ik}, E_i)$ քերմողինամիկական պատենցիալի, կախված է T, σ_{ik} և D_i անկախ փոփոխականներից՝

$$dG = -SdT - u_{ik}d\sigma_{ik} + \frac{1}{4\pi} E_i dD_i : \quad (10.1)$$

Պարզության համար կենթադրենք, որ $D_i = D$ ինդակցիան ստղված է այն բյուրեղագրական առանցքով, որով ստղվում է ինքնաբերական բևեռացումը և կիրառվող էլեկտրական դաշտը: Կենթադրենք նաև, որ մեխանիկական լարումները բացակայում են, և չըևնոացված ֆազը կենտրոնահամաշափ է: Արված ենթադրությունների շրջանակներում Գիբսի քերմողինամիկական պոտենցիալը կարելի է ներկայացնել բազմանդամի տեսքով՝

$$G(D, T, \sigma) \equiv \frac{1}{4\pi} \left(\frac{\alpha}{2} D^2 + \frac{\gamma}{4} D^4 + \frac{\delta}{6} D^6 \right) \quad (10.2)$$

և հաշվարկվում է պարաելեկտրական վիճակում ունեցած արժեքից: α , γ և δ գործակիցներն ընդհանուր դեպքում ջերմաստիճանից կախված մեծություններ են, ընդունաբար անհրաժեշտ է, որ $\delta > 0$, որպեսզի ապահովվի համակարգի վիճակի կայունությունը, եթե $D \rightarrow \infty$: (10.2) արտահայտության մեջ D -ի կենտ աստիճաններով անդամների բացակայությունն ապահովում է G պոտենցիալի անվտվոխտությունը $D \rightarrow -D$ ձևափոխության նկատմամբ:



Նկ. V.20

Սկզբում ուստմնասիրենք II կարգի ֆազային անցումները՝ $\gamma > 0$:

Եթե $\alpha > 0$, ապա G պոտենցիալն ունի միակ մինիմում $D = 0$ կետում, սակայն եթե $\alpha < 0$, ապա այն ընդունում է նվազագույն արժեք D -ի՝ գործից տարրեր արժեքների համար (Նկ. V.20, ա): Եթե $\alpha(T)$ գործակիցը, անընդհատ փոփոխվելով, ընդունում է (T_c -ում) զրյական արժեք, ապա զորդ տնենք II կարգի ֆազային անցումների հետ: Անցման T_c կետի շրջակայքում $\alpha(T)$ գործակիցը ներկայացնենք

$$\alpha = \beta(T - T_c) \quad (10.3)$$

տեսքով, որտեղ β -ն դրական հաստատուն է:

Կապը լարվածության և ինդուկցիայի միջև, (10.1)) և (10.2) առնչությունների համաձայն, տրվում է

$$E = 4\pi \left(\frac{\partial G}{\partial D} \right)_T = \alpha(T) \cdot D + \gamma D^3 + \delta D^5 \quad (10.4)$$

հավասարություն:

Եթե $T \geq T_c$, ապա փոքր D -երի համար, արեամարիելով γD^3 և δD^5 անդամները, (10.4) հավասարությունից կստանանք՝

$$D = \frac{E}{\alpha(T)} = \frac{E}{\beta(T - T_c)} \equiv \varepsilon E, \quad \varepsilon = \frac{1}{\beta(T - T_c)} : \quad (10.5)$$

Մասնավորապես, եթե $E = 0$, ապա $D = 0$ և, հետևաբար, նմուշի բներացումը՝ $P = 0$ (նկ. V.17, բ):

Եթե $T \leq T_c$ և $E = 0$, ապա, նկատի ունենալով D -ի փոքր լինելու հանգամանքը, (10.4) հավասարությունից կստանանք՝

$$D_0 \approx \left(-\frac{\alpha}{\gamma} \right)^{1/2} = \left(\frac{\beta}{\gamma} \right)^{1/2} \cdot (T_c - T)^{1/2} : \quad (10.6)$$

(10.6) արտահայտությունից հետևում է, որ այս դեպքում նմուշն օժտված է

$$P_s = \frac{1}{4\pi} D_0 = \frac{1}{4\pi} \left(\frac{\beta}{\gamma} \right)^{1/2} \cdot (T_c - T)^{1/2} \quad (10.7)$$

ինքնաբերական բներացմամբ:

Քանի որ D և E մեծությունների միջև (10.4) հավասարությունը տրված կախումն ունի ոչ գծային բնույթ, ապա անհրաժեշտ է օգտվել դիֆերենցիալ դիելեկտրական բափանցելիության սահմանումից՝

$$\varepsilon = \frac{dD}{dE}, \quad (10.8)$$

որը $D(E)$ գծային ֆունկցիայի դեպքում համընկնում է (1.11) սահմանման հետ: Այսպիսով, $E \rightarrow 0$ դեպքում (10.4), (10.6) և (10.8) առնչություններից պիրուելեկտրական վիճակում գտնվող սեզմոստաէլեկտրիկի դիելեկտրական բափանցելիության համար կստանանք՝

$$\varepsilon = \left(\frac{dD}{dE} \right)_{E=0} \equiv \frac{1}{-\beta(T_c - T) + 3\gamma D_0^2} = \frac{1}{2\beta(T_c - T)} \quad (10.9)$$

արտահայտությունը, որտեղ հաշվի չի առնված $D_0^4 \sim (T_c - T)^2$ կարգի անդամը:

Ինչպես հետևում է (10.5) և (10.9) առնչություններից, դիէլեկտրական քափանցելիության հավաղարձ մեծությունը պիրտկարական վիճակում երկու անգամ մեծ է, քան պարակելեկտրական վիճակում (նկ. V.20, բ):

Նմուշի էնտրոպիան պարակելեկտրական և սիլիումկարական ֆազերամ ($E = 0$ դեպքում) ընդունում է հետևյալ արժեքները՝

$$S = \frac{1}{2} \frac{\beta^2}{\gamma} (T - T_c), \text{ եթե } T < T_c \quad \text{և} \quad S = 0, \text{ եթե } T > T_c: \quad (10.10)$$

Այսպիսով, էնտրոպիան, որպես ջերմաստիճանի ֆունկցիա, անընդհատ է $T = T_c$ կետում, ի տարբերություն ջերմունակության (քննարկվող դեպքում՝ հաստատուն $\sigma_{ik} = 0$ լարման համար), որը $T = T_c$ կետում ունի

$$\Delta C = \left(T \frac{\partial S}{\partial T} \right)_{T \leq T_c} - \left(T \frac{\partial S}{\partial T} \right)_{T \geq T_c} = \frac{\beta^2 T_c}{2\gamma} \quad (10.11)$$

Վերջապար թոիչը:

Այժմ անցնենք I կարգի ֆազային անցումների օւստմնասիրությանը սեղմետակելեկտրական բյուրեղներում, եթե (10.2) արտահայտության մեջ γ գործակիցը բացասական է՝ $\gamma < 0$:

Այս դեպքում G պոտենցիալը կարող է ունենալ միևնույն նվազագույն արժեքը ինչպես $D = 0$, այնպես էլ $D = \pm D_s$ արժեքների դեպքում: Նորից կենքաղրենք, որ $\alpha(T)$ գործակիցը կարելի է ներկայացնել

$$\alpha = \beta(T - T_0) \quad (10.12)$$

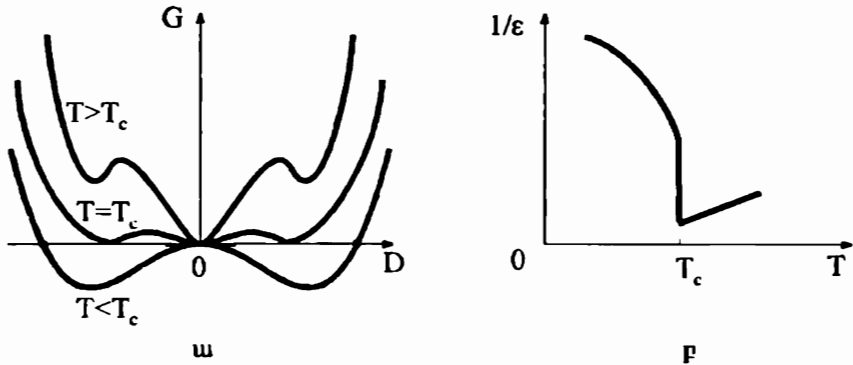
տեսքով, որտեղ T_0 -ն կոչվում է Կյուրի-Վեյսի ջերմաստիճան և հավասար չէ անցման T_c ջերմաստիճանին: Նշանակելով $\gamma' = -\gamma > 0$, (10.2) առնչությունից կստանանք՝

$$G = \frac{1}{4\pi} \left[\frac{\beta(T - T_0)}{2} D^2 - \frac{\gamma'}{4} D^4 + \frac{\delta}{6} D^6 \right]. \quad (10.13)$$

որից բխում է վիճակի դիէլեկտրական հավասարումը՝

$$E = 4\pi \left(\frac{\partial G}{\partial D} \right)_T = \beta(T - T_0)D - \gamma'D^3 + \delta D^5 : \quad (10.14)$$

G պոտենցիալի՝ D ինդուկցիայից կսխման կորերը տարրեր ջերմաստիճաններում պատկերված են նկ. V.21, առևմ: Ակնհայտ է, որ Ի կարգի ֆա-



Նկ. V.21

զային անցում ($E = 0$ դաշտում) տեղի է ունենում, եթե G -ն և նրա Ի կարգի ածանցյալը միաժամանակ դասոնում են զրո, այսինքն, եթե

$$\frac{1}{2}\beta(T - T_0) - \frac{\gamma'}{4}D_0^2 + \frac{\delta}{6}D_0^4 = 0 , \quad (10.15)$$

$$\beta(T - T_0) - \gamma'D_0^2 + \delta D_0^4 = 0 \quad (10.16)$$

հավասարումները բավարարվում են միաժամանակ:

(10.15) և (10.16) հավասարումներից անմիջապես հետևում է կապը T_0 և T_c ջերմաստիճանների միջև՝

$$T_c = T_0 + \frac{3}{16} \frac{\gamma'^2}{\beta\delta} : \quad (10.17)$$

Տեղադրելով (10.15) հավասարման մեջ $T = T_c$, և օգտվելով (10.17) առնչությունից, ինքնաբերական բնեուացման համար կստանանք հետևյալ արտահայտությունը՝

$$P_s = \frac{1}{4\pi} D_0 , \quad \text{որտեղ} \quad D_0^2 = \frac{3\gamma'}{4\delta} , \quad \text{եթե } T = T_c : \quad (10.18)$$

Հակադարձ դիէլեկտրական քափանցելության համար $E = 0$ դեպքում
(10.14) հավասարումից կստանանք՝

$$\varepsilon^{-1} = \left(\frac{\partial E}{\partial D} \right)_{E=0} = \beta(T - T_0) - 3\gamma'D_0^2 + 5\delta D_0^4 : \quad (10.19)$$

Եթե $T > T_c$, $D_0 = 0$ և

$$\varepsilon^{-1} = \beta(T - T_0) \quad (10.20)$$

(նկ. V.21, բ):

Եթե $T \leq T_c$, $D_0(T)$ ֆունկցիան որոշելու համար անհրաժեշտ է լուծել

(10.15) հավասարումը: Կատարենք նշանակում՝

$$\xi = T_c - T, \quad \xi \rightarrow 0. \quad (10.21)$$

ξ -ի զծային անդամների հաշվառումով (10.15) հավասարումից կստանանք՝

$$D_0^2 \approx D_0^2(T_c) + \frac{2\beta}{\gamma'} \xi : \quad (10.22)$$

Տեղադրելով ստացված արտահայտությունը (10.19) առնչության մեջ և նկատի ունենալով (10.17) բանաձևը, հակադարձ դիէլեկտրական քափանցելության համար կստանանք՝

$$\frac{1}{\varepsilon} = \frac{3\gamma'^2}{4\delta} + 8\beta\xi = \frac{3\gamma'^2}{4\delta} + 8\beta(T_c - T), \quad T \rightarrow T_c^-, \quad (10.23)$$

որտեղ T_c^- (T_c^+)-ը նշանակում է, որ $T \rightarrow T_c^-$ -ին, մնալով նրանից փոքր (մեծ):

Պարակելեկտրական ֆազում ε^{-1} -ի համար ստացված (10.20) արտահայտությունը կարելի է ներկայացնել

$$\frac{1}{\varepsilon} = \frac{3\gamma'^2}{16\delta} + \beta(T - T_c), \quad T \rightarrow T_c^+ \quad (10.24)$$

Մերժություն, որից հետևում է, որ $T = T_c$ կետում

$$\left(\frac{1}{\varepsilon} \right)_{T \rightarrow T_c^+} = \left(\frac{1}{\varepsilon} \right)^+ = \frac{3}{16} \cdot \frac{\gamma'^2}{\delta} : \quad (10.25)$$

Հստ (10.23) արտահայտության, եթե $T = T_c$

$$\left(\frac{1}{\varepsilon}\right)_{T \rightarrow T_c^-} = \left(\frac{1}{\varepsilon}\right)^- = \frac{3}{4} \cdot \frac{\gamma'^2}{\delta} = 4 \left(\frac{1}{\varepsilon}\right)^+ : \quad (10.26)$$

Այսպիսով, հակադարձ դիէլեկտրական թափանցելիությունը T_c կետում ունի վերջավոր քոչք, իսկ նրան T_c անցման կետում ծախսից ($T \rightarrow T_c^+$) և աջից ($T \rightarrow T_c^-$) տարված շոշափողներն ընդունում են

$$\frac{d}{dT} \left(\frac{1}{\varepsilon} \right)^- = -8\beta, \quad \frac{d}{dT} \left(\frac{1}{\varepsilon} \right)^+ = \beta \quad (10.27)$$

արժեքները (Յկ. V.21, թ.):

Սեզմետաէլեկտրիկի բևեռացման քոչքածի փոփոխաթյունը T_c կետում բերում է էնտրոպիայի քոչքածի փոփոխաթյան՝

$$\Delta S = -\beta D_0^2 / 2, \quad (10.28)$$

հետևաբար, անցման թաքնված զերմությունը՝

$$T_c \Delta S = \frac{1}{2} T_c \beta D_s^2 : \quad (10.29)$$

Ինչպես հետևում է ստացված արդյունքներից, անկախ ֆազային անցման կարգից, սեզմետաէլեկտրիկի դիէլեկտրական թափանցելիությունը անցման T_c կետին մատենալիս շատ արագ աճում է: Համաձայն թազմաքիվ փորձների, այն կարող է ընդունել մինչև 10^5 կարգի արժեքներ: Դիէլեկտրական թափանցելիության այսպիսի վարը հիշեցնում է «քենուացման աղետը» (տես (4.4) բանաձևը): Մյուս կողմից, համաձայն Լիդեյն-Սարս-Թելերի

$$\frac{\omega_T^2}{\omega_L^2} = \frac{\varepsilon(\infty)}{\varepsilon(0)} \quad (10.30)$$

բանաձևի, եթե ստատիկ դիէլեկտրական թափանցելիաթյունը ծգություն է անսահմանության (իրականում՝ ընդունում է մեծ արժեքներ), ապա լայնական օպտիկական տատանումների հաճախությունը՝ $\omega_T \rightarrow 0$ (ընդունում է շատ փոքր արժեքներ): Եթե $\omega_T \approx 0$, ապա տվյալ բյուրեղական կառուցվածքը դառնում է անկայուն, և նրանում տեղի են ունենում կառուցվածքային փոփոխություններ: Սա նշանակում է, որ $T < T_c$ դեպքում բյուրեղն ինքնաբերաբար և անընդհատ դեֆորմացվում է, որի հետևանքով էլ առաջանում է

ՔԱԵԿԱԳՎԱԾ ՎԻՃԱԿ:

Մինչև այժմ քննարկումների ընթացքում ենթադրվել է, որ նմուշը, որի հետ գործ ունենք, համասեռ է և անվերջ մեծ: Իրական բյուրեղներին անցնելիս հարկավոր է նկատի ունենալ ինչպես նմուշի սահմանների, այնպես էլ նրանում տարրեր տիպի արատների առկայությունը:

Եթե նմուշն օժտված է զրոյից տարրեր քևոացմամբ, ապա նրանից դուրս գոյություն ունի էլեկտրական ապարենոացնող դաշտ, որն օժտված է որոշակի էներգիայով: Էներգիական տեսակետից նպատակահարմար է, որ նմուշում առաջանան առանձին տիրապես ներկայացներ (դրուններ), որոնց քևոացման վեկտորների գումարը լինի զրոյին մոտ, քանի որ այդ դեպքում ապարենոացնող դաշտը գործնականում կբացակայի: Դոմենների չափերը կախված են նմուշի չափերից, ինչպես նաև ջերմաստիճանից $\approx 10^{-4} \div 1$ սմ կարգի են: Տարբեր քևոացմամբ դրուններ միմյանցից բաժանված են այսպես կրչված դրունային պատերազ, որմնց հաստությունը մի քանի ցանցի հաստատումի կարգի է, և որոնք օժտված են էներգիայով: Նմուշը տվյալ պայմաններում դադարում է արակել նոր դրունների, եթե տրամադան հետևանքով ապարենոացման դաշտի էներգիայի փոքրացումը դառնում է նոր դրունային պատ ստեղծելու համար անհրաժեշտ էներգիայի կարգի: (Դոմենների առաջացման, նրանց չափերի որոշման, դրունային պատերի շարժման, հիստերեզիսի և նման այլ հարցեր ավելի հանգամանորեն շարադրված են զրքի II մասում, մազնիսականությանը նվիրված բաժնում):

Հավելված 1. ՖԻԶԻԿԱԿԱՆ ՄԵԾՈՒԹՅՈՒՆՆԵՐԻ ԱՂՅՈՒՄԱԿ
(ըստ Rev. Mod. Phys. 41, 375 (1969) հոդվածի)

Սեծություն	Նշանակում	Թվային արժեք և միավոր (CGSE)
Էլեկտրոնի հանգստի զանգված	m	$9,10956 \cdot 10^{-28}$ q
Տարրական լիցք	e	$4,80325 \cdot 10^{-10}$ CGSE _q
Պրոտոնի հանգստի զանգված	M_p	$1,67261 \cdot 10^{-24}$ q
Լուսի արագություն	c	$2,997925 \cdot 10^{10}$ սմ/վ
Պլանկի հաստատուն	\hbar $\hbar = h/2\pi$	$6,62620 \cdot 10^{-27}$ էրգ·վ $1,05459 \cdot 10^{-27}$ էրգ·վ
Ավոգադրոյի թիվ	N_A	$6,02217 \cdot 10^{23}$ մոլ ⁻¹
Բոլցմանի հաստատուն	k_B	$1,3806 \cdot 10^{-16}$ էրգ/աստ
Պրոտոնի և էլեկտրոնի զանգ- վածների հարաբերությունը	M_p/m	1836,11
Նորի կառուցվածքի հաստատուն	$\alpha = e^2/\hbar c$	$7,2973 \cdot 10^{-3}$
Բորի շառավիղ	$a_B = \hbar^2/me^2$	$0,52918 \cdot 10^{-8}$ սմ
Ռիդբերգի հաստատուն	$Ry = me^4/2\hbar^2$	13,6058 (ԷՎ)
Բորի մազմետոն	$\mu = e\hbar/2mc$	$0,92741 \cdot 10^{-20}$ էրգ/Գս
Էլեկտրոնի դասական շառավիղ	$r_e = e^2/mc^2$	$2,81794 \cdot 10^{-13}$ սմ
Էլեկտրոնի կոմպտոնյան ալիքի երկարությունը	$\lambda_e = \hbar/mc$	$3,86159 \cdot 10^{-11}$ սմ
I էլեկտրոն-Վոլտ	1 ԷՎ	$1,60219 \cdot 10^{-12}$ էրգ $2,41797 \cdot 10^{14}$ Հց $8,06546 \cdot 10^3$ սմ ⁻¹ $1,16048 \cdot 10^4$ K

Հավելված 2. ՄԱԹԵՄԱՏԻԿԱԿԱՆ ԼՐԱՑՈՒՄՆԵՐ

I. Ինտեգրալների հաշվարկ Պուասոնի ինտեգրալի միջոցով

ա) Դասընթացում համոյիպող մի շարք ինտեգրալներ կարելի է հեշտությամբ հաշվել զիտենալով Պուասոնի ինտեգրալը՝

$$I_0(\alpha) = \int_{-\infty}^{\infty} e^{-\alpha x^2} dx, \quad \alpha > 0, \quad (2.1)$$

որը α պարամետրի ֆունկցիա է: $I_0(\alpha)$ ինտեգրալը կարելի է հաշվել հեակալ պարզ ձևով: Գրենք $I_0(\alpha)$ ինտեգրալի քառակուսու արտահայտությունը՝

$$I_0^2(\alpha) = \int_{-\infty}^{\infty} e^{-\alpha x^2} dx \cdot \int_{-\infty}^{\infty} e^{-\alpha y^2} dy = \int_{-\infty}^{\infty} \int_{-\infty}^{\infty} e^{-\alpha(x^2+y^2)} dx dy : \quad (2.2)$$

(2.2) կրկնակի ինտեգրալուն (x, y) վայիշխականներից անցնելով (ρ, φ) կոորդինատներին՝

$$x = \rho \cos \varphi, \quad y = \rho \sin \varphi, \quad dx dy = \rho d\rho d\varphi,$$

կստանանք՝

$$I_0^2(\alpha) = \int_0^{2\pi} d\varphi \int_0^{\infty} \rho d\rho e^{-\alpha \rho^2} = \pi \int_0^{\infty} dt e^{-\alpha t} = \frac{\pi}{\alpha},$$

այսինքն՝

$$I_0(\alpha) = \left(\frac{\pi}{\alpha} \right)^{1/2} \quad (\alpha > 0) \quad (2.3)$$

(2.1) արտահայտության մեջ ընդունուելով ֆունկցիան զույգ է, ուստի

$$\int_0^{\infty} e^{-\alpha x^2} dx = \frac{1}{2} I_0(\alpha) = \frac{1}{2} \sqrt{\frac{\pi}{\alpha}} \quad (2.4)$$

բ) Հաշվենք հետևյալ ինտեգրալը՝

$$I_{2n}(\alpha) = \int_{-\infty}^{\infty} x^{2n} e^{-\alpha x^2} dx = 2 \int_0^{\infty} x^{2n} e^{-\alpha x^2} dx, \quad (n = 0, 1, 2, \dots) : \quad (2.5)$$

Եթե $e^{-\alpha x^2}$ ֆունկցիան ածանցենք ըստ α պարամետրի, ապա կստանանք $e^{-\alpha x^2}$ ֆունկցիան՝ բազմայատկած ($-x^2$) գործակցով: n անգամ ածանցելով հետո կստանանք $(-1)^n x^{2n} e^{-\alpha x^2}$, այսինքն՝

$$\begin{aligned} I_{2n}(\alpha) &= \int_{-\infty}^{\infty} x^{2n} e^{-\alpha x^2} dx = (-1)^n \frac{d^n}{d\alpha^n} \int_{-\infty}^{\infty} e^{-\alpha x^2} dx = \\ &= (-1)^n \frac{d^n I_0(\alpha)}{d\alpha^n} = (-1)^n \cdot \pi^{1/2} \frac{d^n}{d\alpha^n} (\alpha^{-1/2}) = \frac{(2n-1)!!}{(2\alpha)^n} \sqrt{\frac{\pi}{\alpha}}. \end{aligned} \quad (2.6)$$

Կենտ ցուցչի դեպքում զրոյից տարբեր է հետևյալ ինտեգրալը՝

$$\begin{aligned} \tilde{I}_{2n+1}(\alpha) &= \int_0^{\infty} x^{2n+1} e^{-\alpha x^2} dx = (-1)^n \frac{d^n}{d\alpha^n} \int_0^{\infty} x e^{-\alpha x^2} dx = \\ &= \frac{1}{2} (-1)^n \frac{d^n}{d\alpha^n} \int_0^{\infty} e^{-\alpha t^2} dt = \frac{1}{2} (-1)^n \frac{d^n}{d\alpha^n} \frac{1}{\alpha} = \frac{n!}{2\alpha^{n+1}}. \end{aligned} \quad (2.7)$$

(2.5) և (2.7) ինտեգրալները կարելի են երկայացնել մեկ բանաձևով՝

$$\tilde{I}_k(\alpha) = \int_0^{\infty} x^k e^{-\alpha x^2} dx, \quad (k = 0, 1, 2, \dots) \quad (2.8)$$

որը $t = \alpha x^2$ փափոխականի փախարինումից հետո արտահայտվում է Էյլերի Γ -ֆունկցիայի միջոցով՝

$$\tilde{I}_k(\alpha) = \frac{1}{2\alpha^{(k+1)/2}} \Gamma\left(\frac{k+1}{2}\right) \quad (2.9)$$

Մասնավորապես, $k = 0$ դեպքում $\Gamma(1/2) = \sqrt{\pi}$ և

$$\tilde{I}_0(\alpha) = \frac{1}{2} \sqrt{\frac{\pi}{\alpha}} : \quad (2.10)$$

զ) Հաշվենք հետևյալ ինտեգրալը՝

$$I_0(\alpha, \beta) = \int_{-\infty}^{\infty} e^{-\alpha x^2 + \beta x} dx, \quad \alpha > 0, \quad \beta - ն կամայական մեծություն է: \quad (2.11)$$

Ընդիմանեգրալային էքսպոնենտի ցուցիչում ստեղծենք լրիվ քառակուսի և անցնենք ինտեգրման նոր փափոխականի՝

$$\begin{aligned}
 I_0(\alpha, \beta) &= \int_{-\infty}^{\infty} e^{-\alpha\left(x - \frac{\beta}{2\alpha}\right)^2 + \frac{\beta^2}{4\alpha}} dx = \exp\left(\frac{\beta^2}{4\alpha}\right) \int_{-\infty}^{\infty} e^{-\alpha y^2} dy = \\
 &= \exp\left(\frac{\beta^2}{4\alpha}\right) I_0(\alpha) = \exp\left(\frac{\beta^2}{4\alpha}\right) \cdot \sqrt{\frac{\pi}{\alpha}}.
 \end{aligned} \tag{2.12}$$

$I_0(\alpha, \beta)$ ինտեգրալի օգնությամբ կարելի է հաշվել նաև

$$I_k(\alpha, \beta) = \int_{-\infty}^{\infty} e^{-\alpha x^2 + \beta x} \cdot x^k dx, \quad (k = 1, 2, \dots) \tag{2.13}$$

ինտեգրալը: Այսպես՝

$$\begin{aligned}
 I_k(\alpha, \beta) &= \frac{d^k}{d\beta^k} \int_{-\infty}^{\infty} e^{-\alpha x^2 + \beta x} dx = \frac{d^k I_0(\alpha, \beta)}{d\beta^k} = \\
 &= \sqrt{\frac{\pi}{\alpha}} \cdot \frac{d^k}{d\beta^k} \exp\left(\frac{\beta^2}{4\alpha}\right).
 \end{aligned} \tag{2.14}$$

II. Ֆուրյե-գործակցի II.5.20 արտահատության ստացումը

Լիցքի բաշխման $\rho^\varepsilon(R)$ ֆունկցիայի ֆուրյե-վերլուծության գործակից-ները, համաձայն I.5.25 բանաձևի, տրվում են

$$\rho_g^\varepsilon = \frac{1}{V_0} \int_{V_0} \rho^\varepsilon(R) e^{-igR} dR \tag{2.15}$$

ինտեգրալով: II.5.14, II.5.19 բանաձևերի համաձայն,

$$\rho^\varepsilon(R) = \sum_l e \cdot \varepsilon^3 \cdot \pi^{-3/2} \exp[-\varepsilon^2(R-l)^2] - \frac{e}{V_0} : \tag{2.16}$$

Տեղադրելով (2.16) բաշխումը (2.15) արտահայտության մեջ, կստանանք՝

$$\rho_g^\varepsilon = \frac{e\varepsilon^3}{V_0\pi^{3/2}} I_g^\varepsilon - \frac{e}{V_0} \delta_{g,0}, \tag{2.17}$$

որտեղ

$$I_g^\varepsilon = \sum_l \int_{v_0} e^{-igR - \varepsilon^2(R-l)^2} dR : \quad (2.18)$$

Զևսիոնիսենք (2.18) ինտեգրալը, նկատի ունենալով, որ $\exp(i g l) = 1$, ինչպես նաև ըստ տարրական բջջի v_0 ծավալով ինտեգրումից անցնենք ըստ բյուրեղի $V(\rightarrow \infty)$ ծավալով ինտեգրալի՝

$$\begin{aligned} I_g^\varepsilon &= \sum_l \int_{v_0} e^{-ig(R-l) - \varepsilon^2(R-l)^2} dR = \\ &= \int_{V(\rightarrow \infty)} e^{-igr - \varepsilon^2 r^2} dr = \int_{V(\rightarrow \infty)} e^{-\varepsilon^2 \left(r + i \frac{g}{2\varepsilon^2}\right)^2 - \frac{g^2}{4\varepsilon^2}} dr = \\ &= e^{-\frac{g^2}{4\varepsilon^2}} \int_{V(\rightarrow \infty)} e^{-\varepsilon^2 r^2} dr = 4\pi e^{-\frac{g^2}{4\varepsilon^2}} \int_0^\infty r^2 e^{-\varepsilon^2 r^2} dr = \\ &= 4\pi e^{-\frac{g^2}{4\varepsilon^2}} \left[-\frac{d^2}{d\varepsilon^2} \frac{1}{2} I_0(\varepsilon^2) \right] = \pi^{3/2} \varepsilon^{-3} e^{-\frac{g^2}{4\varepsilon^2}}. \end{aligned} \quad (2.19)$$

(2.19) և (2.17) արտահայտություններից կստանանք II.5.20 առնչությունը՝

$$\rho_g^\varepsilon = \frac{e}{v_0} \left(e^{-g^2/4\varepsilon^2} - \delta_{g,0} \right) : \quad (2.20)$$

III. Ցանցային գումարների հաշվում

Ստանանք ըստ ուղիղ և հակադարձ ցանցերի հանգույցների գումարների համար արտահայտություններ:

Դիտարկենք

$$\rho(r) = \sum_l \delta(r-l) \quad (2.21)$$

պարբերական ֆունկցիան, որի միջոցով կարելի է տալ ցանցում զանգվածի, լիցքի կամ այլ մեծությունների բաշխումը: Ներկայացնենք (2.21) ֆունկցիան նույնի շարքի տեսքով (I.5.12):

$$\rho(r) = \sum_g \rho_g e^{igr}, \quad (2.22)$$

որտեղ, ըստ I.5.12 բանաձևի, ֆուրյե-գործակիցը՝

$$\begin{aligned}\rho_g &= \frac{1}{V} \int_V \rho(r) e^{-igr} = \frac{1}{V} \sum_l \int_V \delta(r-l) e^{-igr} dr = \\ &= \frac{1}{V} \sum_l e^{-igl} = \frac{N}{V} = \frac{1}{v_0}.\end{aligned}\quad (2.23)$$

(2.21)-(2.23) բանաձևերից հետևում է ուղիղ և հակադարձ ցանցերով գումարմերի միջև նշանավոր կապը՝

$$\sum_l \delta(r-l) = \frac{1}{v_0} \sum_g e^{igr} : \quad (2.24)$$

Այժմ բազմապատկեր (2.24) առնչությունը e^{-ikr} արտադրիչով և ինտեգրենք ըստ բյուրեղի ծավալի՝

$$\sum_g \int e^{ir(g-k)} dr = v_0 \sum_l \int e^{-ikr} \delta(r-l) dr = v_0 \sum_l e^{-ikl} : \quad (2.25)$$

Նկատի ունենալով I.5.26 առնչությունը, կստանանք՝

$$\sum_g \delta_{g,k} = \frac{v_0}{V} \sum_l e^{-ikl} = \frac{1}{N} \sum_l e^{-ikl} : \quad (2.26)$$

Զախ մասում զրկած գումարը հավասար է 0-ի, եթե $k \neq g$ և հավասար 1 ի, եթե $k = g$, որտեղ g -ն հակադարձ ցանցի կամայական վեկտոր է։ Այսպիսով,

$$\frac{1}{N} \sum_l e^{-ikl} = \frac{1}{N} \sum_l e^{ikl} = \delta_{k,g} : \quad (2.27)$$

(2.27) առնչությունը կարելի է ստանալ նաև ուղղակի հաշվարկի միջոցով։ Ըստ I վեկտորի գումարը կարելի է ներկայացնել հետևյալ տեսքով՝

$$\sum_l e^{-ikl} = \sum_{k_1, k_2, k_3} e^{-i k_1 a_1 - i k_2 a_2 - i k_3 a_3} : \quad (2.28)$$

k վեկտորը փոփոխվում է հակադարձ տարածության մեջ, ուստի, օգտվելով III.6.7 բանաձևից, կստանանք՝

$$ka_1 = \frac{2\pi p_1}{N_1}, \quad ka_2 = \frac{2\pi p_2}{N_2}, \quad ka_3 = \frac{2\pi p_3}{N_3}, \quad (2.29)$$

որտեղ p_1, p_2, p_3 -ը կամայական ամբողջ թվեր են։

(2.28) գումարը երեք նույնատիպ գումարների արտադրյալ է: Հաշվենք դրանցից մեկը՝

$$\sum_{-N_1/2 \leq l < N_1/2} e^{-il \frac{2\pi p_1}{N_1}} = \frac{e^{i\pi p_1} - e^{-i\pi p_1}}{1 - e^{-il \frac{2\pi p_1}{N_1}}} = \frac{\sin \pi p_1}{\sin \frac{\pi p_1}{N_1}} e^{il \frac{\pi p_1}{N_1}} = \\ = \begin{cases} 0, & \text{եթե } p_1 \neq 0 \\ N_1, & \text{եթե } p_1 = 0 \end{cases} \equiv N_1 \cdot \delta_{p_1, 0}:$$
(2.30)

Հետևաբար՝

$$\sum_l e^{-ikl} = N_1 N_2 N_3 \cdot \delta_{p_1, 0} \delta_{p_2, 0} \delta_{p_3, 0} = N \cdot \delta_{k, 0}:$$

Եթե $k \rightarrow k - g$, ապա

$$\sum_l e^{-i(k-g)l} = \sum_l e^{-ikl} = N \cdot \delta_{k-g, 0} \equiv N \cdot \delta_{k, g}:$$

ԳՐԱԿԱՆՈՒԹՅՈՒՆ

Ընդեմուր գրականություն

1. Ч.Киттель. Введение в физику твердого тела. М., Наука, 1978.
2. Дж.Займан. Принципы теории твердого тела. М., Мир, 1974.
3. Н.Ашкрофт, Н.Мермин. Физика твердого тела (тт. I, II). М., Мир, 1979.
4. А.И.Ансельм. Введение в теорию полупроводников. М., Наука, 1978.
5. Дж.Блейкмор. Физика твердого тела. М., Мир, 1988.
6. Ч.Киттель. Элементарная теория твердого тела. М., Наука, 1978.
7. Ч.Уерт, Р.Томсон. Физика твердого тела. М., Мир, 1966.
8. Дж.Най. Физические свойства кристаллов и их описание при помощи тензоров и матриц. М., ИЛ, 1970.
9. Задачи по физике твердого тела, под. ред. Г.Дж.Голдсмида, М., Наука, 1976.
10. В.М.Варикаш, Ю.М.Хачатрян. Избранные задачи по физике твердого тела. Минск, Вышэйш. школа, 1969.
11. Л.Д.Ландау, Е.М.Лифшиц. Статистическая физика, ч.І, М., Наука, 1976.
12. Л.Д.Ландау, Е.М.Лифшиц. Квантовая механика. М., ФМЛ, 1963.
13. Р.Кубо. Статистическая механика. М., Мир, 1967.
14. Таблицы физических величин. Справочник, под ред. акад. И.К.Кикоина. М., Атомиздат, 1976.

I զվար գրականություն

1. М.П.Шаскольская. Очерки о свойствах кристаллов. М., Наука, 1978.
2. Е.Е.Флинт. Начала кристаллографии. М., Выш. школа, 1961.
3. Р.Джеймс. Оптические принципы дифракции рентгеновских лучей. М., ИЛ, 1950.

4. Պ.Հ.Բեղվազանյան, Ռենտգենյան ինտեղուուրյունների ֆիզիկական հիմունքները, Երևան, ԵՊՀ հրատ., 1977.

II զլսի զրականություն

1. Дж.Гиршфельдер, Ч.Кертисс, Р.Берд. Молекулярная теория газов и жидкостей. М., ИЛ, 1961.
2. В.Хабердитцл. Строение материи и химическая связь. М., Мир, 1974.
3. Дж.Слэтер. Диэлектрики, полупроводники, металлы. М., Мир, 1969.
4. П.П.Павицкий. Введение в теорию твердого тела. Изд. Ленинградского университета, 1979.
5. Г.Лейбфриц. Микроскопическая теория механических и тепловых свойств кристаллов. М., ФМЛ, 1963.
6. А.А.Левин. Введение в квантовую химию твердого тела. М., Химия, 1974.
7. Дж.Маррел, С.Кеттл, Дж.Теддер. Химическая связь. М., Мир, 1980.

III զլսի զրականություն

1. Л.Бриллюэн, М.Пароди. Распространение волн в периодических структурах. М., ИЛ, 1959.
2. М.Борн, Х.Кунь. Динамическая теория кристаллических решеток. М., ИЛ, 1958.
3. Р.Пайерлс. Квантовая теория твердых тел. М., ИЛ, 1956.
4. А.Марауддин, Э.Монтролл, Дж.Вейсс. Динамическая теория кристаллической решетки в гармоническом приближении. М., Мир, 1965.
5. А.М.Косевич. Физическая механика реальных кристаллов. Киев, Наукова думка, 1981.
6. Л.Д.Ландау, Е.М.Лифшиц. Механика. М., Наука, 1988.

IV құлғиң қршақшылар

1. Г.Лейбфрид. Микроскопическая теория механических и тепловых свойств кристаллов. М., ФМЛ, 1963.
2. Дж.Слэтер. Диэлектрики, полупроводники, металлы. М., Мир, 1969.
3. Л.Жирифалько. Статистическая физика твердого тела. М., Мир, 1975.
4. Г.Лейбфрид, В.Людвиг. Теория ангармонических эффектов в кристаллах. М., ИЛ, 1963.
5. Р.Пайерлс. Квантовая теория твердых тел. М., ИЛ, 1956.
6. Ю.Б.Румер, М.Ш.Рывкин. Термодинамика, статистическая физика и кинетика. М., Наука, 1972.
7. В.Н.Жарков, В.А.Калинин. Уравнения состояния твердых тел при высоких давлениях и температурах. М., Наука, 1968.

V құлғиң қршақшылар

1. Дж.Джексон. Классическая электродинамика. М., Мир, 1965.
2. А.Зоммерфельд. Электродинамика. М., ИЛ, 1958.
3. М.Борн, Х.Кунь. Динамическая теория кристаллических решеток. М., ИЛ, 1958.
4. Л.Д.Ландау, Е.М.Лифшиц. Электродинамика сплошных сред. М., Наука, 1982.
5. Г.Фрелих. Теория диэлектриков. М., ИЛ, 1960.
6. В.Браун. Диэлектрики. М., ИЛ, 1961.
7. М.Лайнс, А.Гласс. Сегнетоэлектрики и родственные им материалы. М., Мир, 1981.
8. И.С.Желудев. Физика кристаллических диэлектриков. М., Наука, 1968.
9. Ф.Иона, Д.Ширане. Сегнетоэлектрические кристаллы. М., Мир, 1965.
10. Г.А.Смоленский, Н.Н.Крайник. Сегнетоэлектрики и антисегнетоэлектрики. М., Наука, 1968.

Ա. ԿԻՐԱԿՈՍՅԱՆ

ՊԻՆԴ ՄԱՐՄԻՆԻ ՖԻԶԻԿԱՅԻ ՆԵՐԱԾՈՒԹՅՈՒՆ ՍԱՍ I

Խմբագիր՝ ակադեմիկոս Է.Մ.Ղազարյան

**Հանձնված է շարվածքի 20.01.98 թ.: Ստորագրված է տպագրության
10.03.98 թ.: Գրաչափ՝ 60x84 1/16: Թուղթը՝ օֆսեր: Տառատեսակը՝ «Գրքի
սովորական»: Տպագրական մամոլ՝ 18.25:**

**«ՀԱՅԻՆՖՈ» գործակալություն:
Երևան, Խսահիսլյան 28, հեռ. 52-64-16, 52-85-30**